

**ATUALIZAÇÃO DE BANCOS DE DADOS  
OBJETO-RELACIONAIS ATRAVÉS DE VISÕES  
XML**

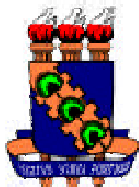
Por

Wamberg Gláucun Chaves de Oliveira

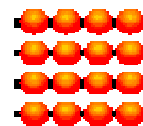
Orientadora: Prof<sup>a</sup>. Dr<sup>a</sup>. Vânia Maria Ponte Vidal

Dissertação apresentada ao Mestrado em  
Ciência da Computação da Universidade  
Federal do Ceará – UFC, como requisito  
parcial para a obtenção do título de  
Mestre em Ciência da Computação.

FORTALEZA - CEARÁ  
Setembro - 2004



UNIVERSIDADE FEDERAL DO CEARÁ  
DEPARTAMENTO DE COMPUTAÇÃO  
MESTRADO EM CIÊNCIA DA COMPUTAÇÃO



# ATUALIZANDO BANCO DE DADOS OBJETO-RELACIONAL ATRAVÉS DE VISÕES XML

Wamberg Gláucun Chaves de Oliveira<sup>1</sup>

Setembro de 2004

## Banca Examinadora

- Profa. Dra. Vânia Maria Ponte Vidal
- Prof. Dr. Alberto Henrique Frade Laender
- Prof. Dr. Javam de Castro Machado
- Profa. Dra. Bernadette Farias Lóscio

---

<sup>1</sup> Bolsista CAPES

# Agradecimentos

---

De formas variadas e em momentos diferentes, muitas pessoas direta ou indiretamente, ajudaram no desenvolvimento deste trabalho. A cada uma delas, sinceramente, agradeço.

À Deus que me guia em todos os meus passos e a Ele entrego minha vida.

À minha mãe, que sempre foi meu amparo, porto seguro, durante todos estes anos da minha vida e que fez de tudo para que eu trilhasse pelo melhor caminho.

Aos meus irmãos Elker e Maysa, por terem aguentado o meu mau humor nos momentos difíceis e por compartilharem dos momentos de felicidade.

À minha orientadora, Prof.<sup>a</sup> Vânia Vidal, pela orientação criteriosa, por seu entusiasmo, paciência, atenção e participação na realização deste trabalho.

À Prof.<sup>a</sup> Bernadete Farias Lóscio por disponibilizar seu tempo e me ajudar na redação final da dissertação.

Ao Departamento de Computação e a CAPES por tornarem possível a realização deste mestrado.

Aos amigos do laboratório de banco de dados, presentes ou não, Lineu, Valdiana, Marcel, Juliana, Renata, Fernando, Denis, Fábio, que de alguma forma me ajudaram muito, pelo apoio e pela convivência agradável que irei sentir falta.

Aos colegas do mestrado que durante o curso foram sempre amigos e prestativos, e que de alguma forma tornaram a vida acadêmica menos árdua.

À Vanessa, meu amor e grande amiga, que sempre esteve do meu lado nos momentos difíceis, com carinho e alegria, e me ensinou a persistir nos meus sonhos. Obrigado por existir na minha vida.

# Resumo

---

O modelo XML (eXtended Markup Language) vem se tornando um padrão para troca e integração de dados na WEB. Isto cria a necessidade de publicar dados, que estão armazenados em bancos de dados convencionais, no formato XML. A publicação desses dados é feita através do uso de visões XML. Atualmente, diversos sistemas têm proposto soluções para consultar bancos de dados convencionais utilizando visões XML. Entretanto, com o intuito de tornar XML um padrão completo para representação de dados e compartilhamento de informações, deve ser possível não somente consultar, mas também atualizar esses bancos de dados através de visões XML.

Neste trabalho abordamos o problema de atualização de bancos de dados objeto-relacionais (BDOR) através de visões XML. Uma atualização da visão é simplesmente uma atualização que é especificada em uma visão XML, mas que deve ser traduzida em atualizações a serem executadas no banco de dados. O problema de tradução da atualização da visão XML refere-se à questão de definir traduções corretas para atualizações submetidas através de visões XML.

No enfoque proposto, utilizamos o XML *Publisher*, um *framework* para publicação de dados armazenados em bancos de dados relacionais ou objeto-relacionais no formato XML. O *framework* permite a publicação de visões XML, assim, utilizamos uma extensão da linguagem *XQuery*, também apresentada neste trabalho, para atualizar o banco de dados através dessas visões.

No enfoque proposto, para atualizar o banco de dados através das visões XML, deve-se definir uma visão de objetos, denominada visão de objetos *default* (VOD), de modo que os objetos da VOD possuam a mesma estrutura dos elementos da visão XML. Atualizações definidas sobre o esquema da visão XML são traduzidas em atualizações sobre o esquema da respectiva VOD, e que por sua vez são traduzidas, através de tradutores de atualização (triggers) em atualizações sobre o banco de dados.

Para o XML *Publisher* desenvolveu-se um ambiente para facilitar a publicação e manutenção das visões XML publicadas. No ambiente proposto, a publicação de uma visão começa com o projetista definindo, através de uma interface gráfica, o esquema XML da

visão. Em seguida, o esquema da VOD é automaticamente gerado pela ferramenta DSG (*Default Object View Schema Generator*). Então, a partir do esquema da VOD gerado e do esquema do banco de dados, o projetista utiliza a ferramenta TAV (Tradutores de Atualização de Visão) para gerar de forma gráfica as assertivas de correspondência da visão, as quais especificam os relacionamentos entre o esquema da visão e o esquema do banco de dados. Com base nas assertivas da visão, TAV gera automaticamente os tradutores de atualização (*instead of triggers*) para a VOD.

# Sumário

---

<b>Capítulo 1 - Introdução .....</b>	<b>1</b>
<b>1.1 Motivação .....</b>	<b>1</b>
<b>1.2 Problema de Atualização de Visão.....</b>	<b>2</b>
<b>1.3 Trabalhos Relacionados.....</b>	<b>3</b>
1.3.1 Abordagens para atualização de banco de dados através de visões de objetos .....	3
1.3.2 Abordagens para atualização de banco de dados através de Visões XML .....	5
<b>1.4 Enfoque Proposto e Objetivos.....</b>	<b>13</b>
<b>Capítulo 2 - Modelo Objeto-Relacional.....</b>	<b>16</b>
<b>2.1 Esquema Objeto-Relacional.....</b>	<b>16</b>
<b>2.2 Notação Gráfica.....</b>	<b>18</b>
<b>2.3 SQL3.....</b>	<b>19</b>
<b>2.4 Visões de Objetos.....</b>	<b>21</b>
<b>Capítulo 3 - XML: Modelo de Dados, Linguagens de Esquema e Consulta ....</b>	<b>25</b>
<b>3.1 XML : Sintaxe Básica .....</b>	<b>25</b>
<b>3.2 Esquemas XML.....</b>	<b>27</b>
3.2.1 XML Schema .....	28
3.3.2 Representação Gráfica para XML Schema.....	35
<b>3.3 Linguagens de Consulta para XML.....</b>	<b>36</b>
3.3.1 Xpath.....	37

3.3.2 Xquery.....	39
3.3.3 Operadores para atualizar dados XML.....	40
<b>Capítulo 4- Atualização de Visões XML no XML Publisher.....</b>	<b>43</b>
<b>4.1 Introdução.....</b>	<b>43</b>
<b>4.2 Ambiente para publicação de visões XML no XML Publisher.....</b>	<b>44</b>
4.2.1. Especificação do Esquema da visão XML .....	44
4.2.2. Geração da VOD e INSTEAD OF Triggers da VOD .....	46
4.2.3. Configurações do XML <i>Publisher</i> .....	49
<b>4.3 Disponibilizando o XML Publisher na Web .....</b>	<b>49</b>
<b>4.3 Processamento de atualizações no XML Publisher .....</b>	<b>50</b>
<b>4.5 Algoritmo para gerar o esquema da VOD.....</b>	<b>52</b>
<b>Capítulo 5 - Geração de tradutores para atualização de Banco de Dados Relacional através de Visões de Objeto.....</b>	<b>57</b>
<b>5.1 Assertivas de Correspondências no Modelo Objeto-Relacional.....</b>	<b>57</b>
5.1.1 Terminologias.....	58
5.1.2 Assertivas de Correspondência de Extensão .....	59
5.1.3 Assertivas de Correspondência de Caminho.....	59
5.1.4 Assertivas de Correspondência de Objeto.....	60
5.1.5 Usando Assertivas de Correspondência para especificar Visões de Objetos .....	60
<b>5.2 Gerando Tradutores de Atualização com TAV .....</b>	<b>65</b>
<b>5.3 Definindo Tradutores para Operações de Adição em Coleções Aninhadas.....</b>	<b>68</b>
<b>5.4 Definindo Tradutores para Operações de Remoção em Coleções Aninhadas.....</b>	<b>78</b>
<b>5.5 Definindo Tradutores para Operações de Adição em Visões .....</b>	<b>82</b>
<b>5.6 Definindo Tradutores para Operações de Remoção em Visões.....</b>	<b>88</b>

<b>5.7 Definindo Tradutores para Operações de Modificação de Atributos Monovalorados da Visão</b> .....	90
<b>Capítulo 6 – XUpdateTranslator - O Tradutor de Atualizações do XML Publisher</b> .....	<b>97</b>
<b>6.1 Tradução de atualizações no XUpdateTranslator</b> .....	97
6.1.1 Fase de <i>Parsing</i> .....	97
6.1.2 Fase de Tradução .....	98
6.1.3 Fase de Execução .....	99
<b>6.2 Atualizações XQuery Válidas</b> .....	99
<b>6.3 Módulo Tradutor</b> .....	100
6.3.1 Algoritmo para traduzir uma inserção XQueryV em inserções ou modificações SQL3 .....	101
Caso 1: .....	101
6.3.2 Algoritmo para traduzir uma remoção XQueryV em remoções ou modificações em SQL3 .....	113
6.3.3 Algoritmo para traduzir uma modificação XQueryV em modificações SQL3 .....	119
<b>Capítulo 7 - Conclusões</b> .....	<b>124</b>
<b>ANEXO A</b> .....	<b>126</b>
<b>Referências Bibliográficas</b> .....	<b>137</b>

# Lista de Figuras

---

<b>Figura 1.1:</b> Tradução de atualização de visão .....	2
<b>Figura 1.2:</b> Esquema do Banco de Dados .....	7
<b>Figura 1.3:</b> Consulta UXQuery(A) e Visão XML (B).....	7
<b>Figura 1.4:</b> Visões Relacionais .....	7
<b>Figura 1.5:</b> Banco de Dados Matérias Relacionadas.....	10
<b>Figura 1.6:</b> Página XSQL V3.xsql.....	10
<b>Figura 1.7:</b> Esquemas XML para V3.xsql.....	10
<b>Figura 1.8:</b> Publicação de dados XML baseado em consultas SQL usando XSQL <i>Pages</i> ...	11
<b>Figura 1.9:</b> Página XSQL <i>InserAutor.xsql</i> (A) e Folha de estilo XSLT <i>InserAutor.xslt</i> (B) .....	12
<b>Figura 1.10:</b> Três níveis de esquema .....	13
<b>Figura 1.11:</b> Arquitetura do XML Publisher.....	14
<b>Figura 2.1:</b> Esquema objeto-relacional <i>Pedidos</i> .....	17
<b>Figura 2.2:</b> Representação gráfica do esquema <i>Pedidos</i> .....	19
<b>Figura 2.3:</b> Definição dos tipos da visão <i>Pedidos_v</i> .....	22
<b>Figura 2.4:</b> Esquema da visão de objetos <i>Pedidos_v</i> .....	22
<b>Figura 2.5:</b> Definição da visão <i>Pedidos_v</i> .....	23
<b>Figura 2.6:</b> Esquema do banco de dados <i>Pedidos_rel</i> .....	23
<b>Figura 2.7</b> <i>Instead of trigger</i> <i>Adiciona_Cliente</i> .....	24
<b>Figura 3.1:</b> <i>Bib.xml</i> .....	29
<b>Figura 3.2:</b> XML Schema de <i>Bib.xml</i> .....	30
<b>Figura 3.3:</b> XML Schema de <i>Bib.xml com restrições de integridade</i> .....	33
<b>Figura 3.4:</b> Declaração de Restrição de Chave .....	34
<b>Figura 3.5:</b> Declaração de Restrição de Integridade Referencial .....	35
<b>Figura 3.6:</b> Representação gráfica para <i>Bib.xml</i> .....	36
<b>Figura 3.7:</b> Extensão XQuery.....	40
<b>Figura 3.8:</b> Operadores da extensão XQuery .....	40
<b>Figura 3.9:</b> Inserção XQuery.....	41
<b>Figura 3.10:</b> Remoção XQuery .....	41
<b>Figura 3.11:</b> Modificação Xquery .....	42
<b>Figura 4.1:</b> Tipo do elemento raiz. ....	45
<b>Figura 4.2:</b> Especificando o esquema da visão XML.....	46
<b>Figura 4.3:</b> Esquema do Banco de Dados <i>Pedidos</i> .....	47
<b>Figura 4.4:</b> Esquemas da Visão <i>Pedidos</i> .....	47
<b>Figura 4.5:</b> Definição da VOD <i>Pedidos_v</i> .....	48
<b>Figura 4.6:</b> Trigger de inserção na NT <i>listaItens</i> da VOD <i>Pedidos_v</i> .....	49
<b>Figura 4.7:</b> Processamento de atualizações no XML <i>Publisher</i> .....	51
<b>Figura 4.8:</b> Atualização XQuery <i>A1</i> .....	51
<b>Figura 4.9:</b> Atualização SQL <i>A2</i> .....	52

<b>Figura 4.10:</b> Algoritmo <b>GeraEsquemaOR</b> .....	53
<b>Figura 4.11:</b> Procedimento <b>SubstituiElementoMultiocorrencia</b> .....	54
<b>Figura 4.12:</b> Esquema intermediário da visão XML <b>Pedidos_v</b> .....	55
<b>Figura 4.13:</b> Esquema da VOD <b>Pedidos_v</b> .....	56
<b>Figura 5.1:</b> Esquema da Visão de Objetos <b>Pedidos_v</b> .....	61
<b>Figura 5.2:</b> Esquema Relacional do Banco de Dados <b>Pedidos_rel</b> .....	62
Figura 5.3: ACC's de <b>Pedidos_v</b> .....	63
<b>Figura 5.4:</b> ACO's de <b>Pedidos_v</b> .....	64
<b>Figura 5.5:</b> Definição da visão de objetos <b>Pedidos_v</b> .....	64
<b>Figura 5.6:</b> Telas do TAV: (a)Editor de Tipo; (b)Editor de Atributo; (c)Editor de Assertivas do TAV .....	66
<b>Figura 5.7:</b> Tradutor AdiçãoEmListaltens .....	67
<b>Figura 5.8:</b> Exemplo de inserção na coleção aninhada <b>listaltens</b> da visão <b>Pedidos_v</b> .....	68
<b>Figura 5.9:</b> Coleção aninhada lista_Tc (a) e Caminho $\varphi = l_1 \bullet \dots \bullet l_{n-1} \bullet l_n$ de $T_{Rb}$ (tipo da tabela base $R_b$ ) (b) .....	69
<b>Figura 5.10:</b> Tradutor para Adição Em lista_Tc (Caso 1) .....	71
<b>Figura 5.11:</b> Tradutor AdiçãoEmListaltens .....	73
<b>Figura 5.12:</b> Tradução de Atualização de Visão .....	74
<b>Figura 5.13:</b> Caminho $\varphi = l_1 \bullet l_2 \bullet \dots \bullet l_{j-1} \bullet \dots \bullet l_n$ do tipo base $T_b$ .....	75
<b>Figura 5.14:</b> Tradutor para Adição Em lista_Tc (Caso 2) .....	75
<b>Figura 5.15:</b> Esquema do Banco de Dados (a) e da Visão de Objetos Autores_v (b) .....	77
<b>Figura 5.16:</b> Tradutor AdiçãoEmLista_pub .....	78
<b>Figura 5.17:</b> Exemplo de remoção na coleção aninhada <b>listaltens</b> da visão <b>Pedidos_v</b> .....	79
<b>Figura 5.18:</b> Caminho $\varphi = l_1 \bullet l_2 \bullet \dots \bullet l_{j-1} \bullet \dots \bullet l_n$ do tipo base $T_{Rb}$ .....	80
<b>Figura 5.19:</b> Tradutor para “RemoçãoEm lista_Tc_Caso1” .....	81
<b>Figura 5.20:</b> Tradutor “RemoçãoEmListaltens” .....	81
<b>Figura 5.21:</b> Tradutor para “RemoçãoEm lista_Tc_Caso2” .....	82
<b>Figura 5.22:</b> Exemplo de inserção na visão <b>Pedidos_v</b> .....	83
<b>Figura 5.23:</b> Esquema da Visão <b>V</b> .....	83
<b>Figura 5.24:</b> Template do tradutor “AdiçãoNaVisãoV” .....	85
<b>Figura 5.25:</b> Tradutor Adiciona_Pedidos .....	88
<b>Figura 5.26:</b> Exemplo de remoção na visão <b>Pedidos_v</b> .....	88
<b>Figura 5.27:</b> Tradutor para “RemoçãoNaVisãoV” .....	89
<b>Figura 5.28:</b> Tradutor Remove_Pedidos .....	90
<b>Figura 5.28:</b> Exemplo de Atualização na visão <b>Pedidos_v</b> .....	90
<b>Figura 5.29:</b> Tradutor “ModificaVisãoVCaso1” .....	91
<b>Figura 5.30:</b> Tradutor “ModificaVisãoVCaso2” .....	91
<b>Figura 5.31:</b> Tradutor “ModificaEnderecoEntregaVisaoPedidos_v” .....	92
<b>Figura 5.32:</b> Caminho $\varphi = l_1 \bullet l_2 \bullet \dots \bullet l_{j-1} \bullet \dots \bullet l_n \bullet b$ do tipo base $T_{Rb}$ .....	93
<b>Figura 5.33:</b> Tradutor “ModificaVisãoVCaso3” .....	94
<b>Figura 5.34:</b> Esquema do Banco de Dados (a) da Visão de Objetos <b>Gerentes_v</b> (b) .....	95
<b>Figura 5.35:</b> Tradutor “ModificaProjeto” .....	95
<b>Figura 6.1:</b> Arquitetura do <b>XUpdateTranslator</b> .....	98
<b>Figura 6.2-</b> Operadores da extensão XQuery .....	99
<b>Figura 6.3</b> – Atualização XQuery $Q_1$ .....	100
<b>Figura 6.4:</b> Algoritmo <b>TraduzInserçãoXQuery</b> .....	101

<b>Figura 6.5:</b> Caso 1 do Algoritmo <b>TraduzInserçãoXQuery</b> .....	102
<b>Figura 6.6:</b> Esquemas da visão XML <b>Pedidos</b> (a) e da visão de objetos <b>Pedidos_v</b> (b) ..	104
<b>Figura 6.7:</b> Atualização <i>XQueryVC</i> <b>A<sub>1</sub></b> (A) e tradução SQL3 de <b>A<sub>1</sub></b> (B) .....	105
<b>Figura 6.8:</b> Caso 2 do Algoritmo <b>TraduzInserçãoXQuery</b> .....	108
<b>Figura 6.9:</b> Atualização <i>XQueryVC</i> <b>A<sub>2</sub></b> (A) e tradução SQL3 de <b>A<sub>2</sub></b> (B) .....	110
<b>Figura 6.10:</b> Caso 3 do Algoritmo <b>TraduzInserçãoXQuery</b> .....	111
<b>Figura 6.11:</b> Atualização <i>XQueryVC</i> <b>A<sub>3</sub></b> (A) e tradução SQL3 de <b>A<sub>3</sub></b> (B) .....	113
<b>Figura 6.12:</b> Algoritmo <b>TraduzRemoçãoXQuery</b> .....	114
<b>Figura 6.13:</b> Caso 1 do Algoritmo <b>TraduzRemoçãoXQuery</b> .....	114
<b>Figura 6.14:</b> Atualização <i>XQueryVC</i> <b>A<sub>4</sub></b> (A) e tradução SQL3 de <b>A<sub>4</sub></b> (B) .....	115
<b>Figura 6.15:</b> Atualização <i>XQueryVC</i> <b>A<sub>5</sub></b> (A) e tradução SQL3 de <b>A<sub>5</sub></b> (B) .....	116
<b>Figura 6.16:</b> Caso 2 do Algoritmo <b>TraduzRemoçãoXQuery</b> .....	117
<b>Figura 6.17:</b> Atualização <i>XQueryVC</i> <b>A<sub>6</sub></b> (A) e tradução SQL3 de <b>A<sub>6</sub></b> (B) .....	119
<b>Figura 6.18:</b> Algoritmo <b>TraduzModificaçãoXQuery</b> .....	119
<b>Figura 6.19:</b> Caso 1 do Algoritmo <b>TraduzModificaçãoXQuery</b> .....	120
<b>Figura 6.21:</b> Caso 2 do Algoritmo <b>TraduzModificaçãoXQuery</b> .....	122
<b>Figura 6.22:</b> Atualização <i>XQueryVC</i> <b>A<sub>8</sub></b> (A) e tradução SQL3 de <b>A<sub>8</sub></b> (B) .....	123

## Lista de Tabelas

---

Tabela 5.1: Casos do Procedimento $GVA_1$ .....	72
Tabela 5.2: Casos do Procedimento $GVA_2$ .....	76
Tabela 5.3: Casos do Procedimento $GVA_3$ .....	86
Tabela 6.1: Procedimento CriaObjeto1 .....	102
Tabela 6.2: Casos do procedimento Valor( $e_i$ ) para CriaObjeto1 .....	103
Tabela 6.3: Procedimento CriaObjeto2 .....	106
Tabela 6.4: Algoritmo CriaInserção .....	106
Tabela 6.5: Casos do procedimento Valor( $S_j$ ) para CriaInserção .....	106
Tabela 6.6: Casos do procedimento Valor( $S_j^k$ ) para CriaInserção .....	107

# Capítulo 1 - Introdução

---

## 1.1 Motivação

Desde seu surgimento, XML [1] vem rapidamente emergindo como padrão para troca, publicação e integração de dados na Web, pois é uma linguagem para representação de dados autodescritível e bastante flexível, o que a torna ideal para representar dados estruturados e semi-estruturados.

De fato, aplicações que necessitam processar dados representados em XML estão sendo desenvolvidas. Como exemplo, podemos citar as aplicações de comércio eletrônico, onde diferentes organizações colaboram para atender um cliente, bem como aplicações direcionadas aos dispositivos portáteis.

Além do mais, como a maioria dos dados está armazenada em bancos de dados convencionais, isto é, relacionais ou baseados em objetos, isto cria a necessidade de se publicar esses dados corporativos no formato XML. Uma forma geral de publicar esses dados é feita através do uso de visões XML, que podem ser consultadas e atualizadas por aplicações/usuários *web* utilizando linguagens de consultas próprias para XML, tais como *XML-QL* [2], *XPath* [3], *XQuery* [4] etc. Sendo assim, temos que XML está sendo usado como uma camada intermediária entre aplicações e bancos de dados.

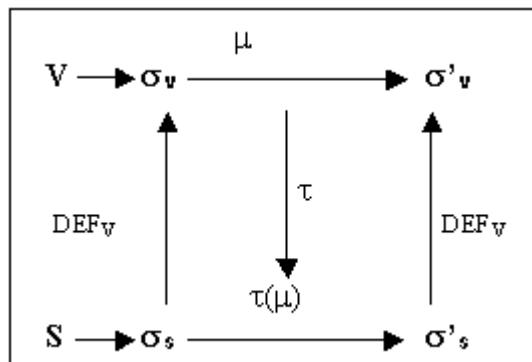
Já existem alguns sistemas como o *XPeranto* [5,6,7] e o *Silkroute* [8,9] que dão suporte à publicação de dados relacionais, através de visões XML. Nesses sistemas, consultas são submetidas às visões XML e traduzidas em consultas nos bancos de dados. Entretanto, estes sistemas não efetuam atualizações sobre visões XML. Objetivando tornar XML um padrão completo para representação de dados, compartilhamento e integração de informações, deve-se permitir não somente consultar, mas também possibilitar que usuários e componentes de aplicações atualizem estes bancos de dados através de visões XML.

O uso de visões XML também tem uma grande importância em sistemas de integração de dados que adotam uma arquitetura de mediadores baseada em XML [10,11,12,13]. O mediador suporta uma visão integrada XML e as fontes locais exportam visões XML. Consultas e atualizações submetidas ao mediador são decompostas em

consultas e atualizações sobre as visões XML das fontes locais. Consultas e atualizações sobre as visões XML são então traduzidas em consultas e/ou atualizações numa linguagem específica da fonte de dados correspondente.

## 1.2 Problema de Atualização de Visão

Na arquitetura de três níveis de esquemas, as visões constituem interfaces através das quais os usuários acessam e atualizam um banco de dados. Consultas e atualizações especificadas nas visões devem ser traduzidas em consultas e atualizações a serem executadas no banco de dados. O processo de tradução de uma atualização de visão é descrito no diagrama da Figura 1.1. O estado inicial do banco de dados  $\sigma_s$  é mapeado pelo mapeador de instâncias  $DEF_V$  no estado da visão  $\sigma_v$ . O usuário especifica a atualização  $\mu$  sobre o estado da visão. A atualização da visão  $\mu$  deve ser traduzida em uma seqüência de atualizações sobre o banco de dados  $\tau(\mu)$ .  $\tau(\mu)$  é executada no estado do banco de dados  $\sigma_s$  para obter o novo estado do banco de dados  $\sigma'_s$ . Com o novo estado do banco de dados  $\sigma'_s$ , obtemos o novo estado da visão correspondente  $\sigma'_v$  [14].



**Figura 1.1:** Tradução de atualização de visão

Um pedido de atualização submetido à visão pode ter nenhuma, uma, ou múltiplas traduções. Uma das dificuldades associada ao problema de tradução de atualização de visão surge quando existem mais de uma tradução possível, e apenas uma deve ser escolhida. Existem algumas formas de ambigüidades que podem ser resolvidas em "tempo de definição" da visão. É o que chamamos de ambigüidades no "nível de esquema", uma vez

que estas são causadas pela existência de mais de um componente do esquema onde se pode realizar a atualização. Nesse caso, a escolha do componente mais apropriado pode ser feita em tempo de definição da visão. No caso das ambigüidades no "nível de dados", que são causadas pela existência de mais de uma instância onde se pode realizar a atualização, não podemos resolvê-las em tempo de projeto. Estas formas de ambigüidades só podem ser resolvidas em tempo de atualização, e para resolvê-las se faz necessário um diálogo com o usuário (em tempo de atualização) para que ele escolha a instância mais apropriada.

Nesta dissertação, apresentamos um enfoque para atualização de bancos de dados objeto-relacionais através de visões XML que utiliza visões de objetos [15] como interface entre a visão XML e o banco de dados. Na nossa proposta, visões XML são atualizadas utilizando uma extensão da linguagem de consulta XQuery definida em[16].

O restante deste Capítulo está organizado como se segue. Na Seção 1.3, apresentamos os trabalhos relacionados e discutimos suas limitações. E, na Seção 1.4, apresentamos o enfoque proposto e os objetivos da dissertação.

## **1.3 Trabalhos Relacionados**

O objetivo principal desta dissertação é a proposta de um mecanismo para atualização de bancos de dados objeto-relacionais através de visões XML. Nesse cenário, duas abordagens principais relacionadas podem ser identificadas: atualização de bancos de dados através de visões de objetos e atualização de bancos de dados através de visões XML. A seguir, essas duas abordagens são discutidas.

### **1.3.1 Abordagens para atualização de banco de dados através de visões de objetos**

O problema de definir traduções para atualizações de visões tem sido considerado por muitos pesquisadores, incluindo [17],[18],[19],[20],[21]. O enfoque de definir procedimentos gerais de tradução [17,18] somente pode ser aplicado a uma classe restrita de atualizações de visões, porque alguns tipos de atualização de visões requerem que mais semântica seja fornecida pelo usuário, para eliminar ambigüidades nas traduções das atualizações em visões [20,21].

O enfoque de Keller propõe que a semântica necessária para remover ambigüidades na tradução das atualizações seja obtida através de diálogo com o usuário na hora da definição da visão. Nesse enfoque as visões são definidas pelo administrador do banco de dados (DBA) que fornece a semântica necessária para escolher um tradutor, a semântica é meramente a seqüência de decisões feitas pelo DBA. As questões são apresentadas para o DBA, sendo fornecida assim uma enumeração completa de todas as traduções possíveis para as atualizações da visão, baseada no esquema da visão, no esquema do banco de dados e nas respostas de questões anteriores. Nesta seção, discutimos os principais enfoques que tratam da atualização de bancos de dados através de visões.

O projeto Penguin [23, 24] propõe um framework unificado para o desenvolvimento de sistemas que compartilham informações. Esse framework armazena os dados em bancos de dados relacionais distribuídos e os apresentam para a aplicação na forma de objetos através das visões de objetos. Visões de objetos projetadas sobre bancos de dados relacionais permitem que cada aplicação tenha seu próprio esquema de objetos ao invés de requerer que todas as aplicações compartilhem o mesmo esquema. Nesse projeto, as relações do banco de dados são mapeadas em templates de objetos através de um diálogo com o usuário, onde cada template pode ser uma combinação complexa de operações de junções e projeções das relações bases.

Para garantir a correta definição dos templates a partir do esquema do banco de dados é usado o modelo estrutural proposto em Penguin [22]. Cada template é ancorado numa relação pivô e a chave desta relação serve como um identificador de objeto quando os objetos são instanciados. Os templates de objetos são arranjados em uma rede de objetos que coletivamente formam o esquema de objetos. Esse processo é guiado pelo conhecimento do usuário, através do uso da semântica da estrutura do banco de dados. Uma vez criada a definição da visão de objetos, o sistema Penguin fornece módulos de instanciação e decomposição de objetos, para suportar as operações de recuperação e armazenamento de objetos. A instanciação é feita a partir dos dados das relações do banco de dados e a decomposição consiste em distribuir as atualizações sobre as relações bases.

O Penguin gera e manipula instâncias de objetos temporários através da ligação das relações base com os templates de objetos pré-definidos. Os usuários atualizam os objetos e finalmente o resultado deve ser colocado à disposição de outros usuários, traduzindo as

atualizações para as tabelas do banco de dados relacional. O módulo de decomposição de objetos faz essa tarefa e mapeia as instancias de objetos de volta para o banco de dados. Esse módulo é chamado quando alguma mudança, feita nas instancias de objetos, deve ser tornadas persistentes no nível do banco de dados. Em tempo de geração do template, todas as possíveis ambigüidades são enumeradas e resolvidas. Quando operações de atualização são executadas nas instâncias, estas atualizações devem ser traduzidas e movidas da representação de objetos para as relações base do banco de dados. Em [22] é apresentado um esquema para tratar operações de atualização em objetos de visão. Atualizações realizadas sobre objetos da visão devem ser traduzidas em operações válidas nas tabelas base. A consistência do banco de dados, definida pelas regras de integridade do modelo estrutural, é mantida para prevenir ou corrigir atualizações ilegais.

### **1.3.2 Abordagens para atualização de bancos de dados através de visões XML**

Na literatura, diversos enfoques para construir visões XML de bancos de dados convencionais têm sido propostos. Muitos deles [5,6,7,8,9] focam o problema de construir visões somente para consultar dados dos bancos de dados. Outros [25,26,27,28,29,30] também provêem a construção de visões XML que atualizam os bancos de dados.

Nesta seção discutimos os principais enfoques que tratam da atualização de bancos de dados através de visões XML.

#### **1.3.2.1 Updating XML**

O enfoque Updating XML [28] propõe um conjunto de operações primitivas que modificam a estrutura e conteúdo de um documento XML, tais como: rename, delete, insert e replace. Por conseguinte, é apresentada uma extensão da linguagem de consulta XQuery (XML Query Language), o qual está em processo de padronização na W3C ( World Wide Web Consortium). Esta extensão corresponde à implementação destas operações primitivas na sintaxe do XQuery, possibilitando assim operações de atualização ao utilizar a linguagem. No Capítulo 3, apresentamos a sintaxe destas operações de atualização.

O enfoque propõe também algoritmos que possibilitam a atualização de bancos de dados relacionais através de atualizações XQuery na visão XML. Além disso, apresenta algumas estratégias de tradução e atualizações XML em atualizações SQL, tais como: Triggers (Per-Tuple e Per-Statement) e o método Access Support Relations (ASR), o qual é um método para otimizar a validação de expressões de caminho em bancos de dados orientados a objetos e semi-estruturados. Por último, o enfoque faz uma análise da performance de diferentes estratégias de atualização.

Entretanto, o enfoque é baseado na premissa que documentos XML são fragmentados (shredded) e o esquema do banco de dados relacional é derivado de uma DTD. Assim, não discute o caso em que o esquema relacional é predefinido, então, ambos, esquema relacional e definição da visão são entradas do algoritmo.

### 1.3.2.2 UXQuery

Neste trabalho é proposto um subconjunto da linguagem XQuery, UXQuery [25], para construir visões XML de bancos de dados relacionais que sejam atualizáveis. UXQuery é acrescida de dois novos recursos: a função *table*, que extrai dados de bancos de dados relacionais e transforma as tuplas em um conjunto de nós XML, e o operador *xnest* para facilitar o aninhamento.

Também é definido um método para mapear uma visão XML construída usando UXQuery[26] para um conjunto de visões relacionais correspondentes, as quais podem ser úteis para verificar se a visão XML é atualizável.

Neste enfoque, atualizações nas visões XML são traduzidas para atualizações nas visões relacionais correspondentes. Para traduzir as atualizações nas visões relacionais em atualizações nas tabelas do banco de dados é utilizada a técnica de Dayal e Bernstein [32].

Uma operação de atualização na visão XML é uma tripla  $\langle u, \Delta, ref \rangle$ , onde *u* é o tipo da operação (insert, delete, modify);  $\Delta$  é a árvore XML a ser inserida, ou um valor atômico; e *ref* é uma simples expressão de caminho XPath a qual indica onde ocorre a atualização. Em remoções não é necessário especificar a  $\Delta$ , desde que todos os nós filhos de *ref* serão deletados.

Seja o banco de dados da Figura 1.2. A consulta UXQuery da Figura 1.3 (a) gera a visão XML da Figura 1.3 (b). As visões relacionais (Figura 1.4) são geradas a partir da visão XML. A seguir, apresentamos alguns exemplos de tradução de atualização na visão XML em atualizações nas visões relacionais.

Author			Conference	
id	name	email	confid	confName
1	Mary Jones	maryjones@aaa.com	DEXA	Conference on Database and Expert Systems Applications
2	Charles Green	charles@bbb.com	PODS	Symposium on Principles of Database Systems
3	Michael Kurt	kurt@ccc.com	VLDB	Conference on Very Large Data Bases

Ba		Paper			
author	isbn	pid	title	confid	year
1	1234	IR	Databases and IR	VLDB	2002
1	1235	QWEB	Querying the Web	DEXA	2000
1	1238	WS	Web Survey	VLDB	2001
2	1234				
2	1237				
2	1238				
3	1235				
3	1236				

Pa		Book		
author	pid	isbn	title	year
1	IR	1234	Book1	2000
1	QWEB	1235	Book2	2001
1	WEB	1236	Book3	2000
2	IR	1237	Book4	2001
2	WEB	1238	Book5	2001
3	WEB			

**CONSTRAINTS**  
 On table Paper:  
 CONSTRAINT ConfPaper  
 foreign key (confid) references Conference  
 On table Ba:  
 CONSTRAINT AuthorBa  
 foreign key (author) references Author  
 CONSTRAINT BookBa  
 foreign key (isbn) references Book  
 On table Pa:  
 CONSTRAINT AuthorPa  
 foreign key (author) references Author  
 CONSTRAINT PaperPa  
 foreign key (pid) references Paper

Figura 1.2: Esquema do Banco de Dados

```

(A)
<authors>
  {for $a in table("author")
  return
  <author id="{ $a/id/text() }">
    { $a/name
    <address>
      { $a/email
      </address>
      {xnest $ba in table("ba"), $b in table("b"),
      $pa in table("pa"), $p in table("paper")
      by $year in ($b/year | $p/year)
      where $ba/author=$a/id and $b/isbn=$ba/isbn ar
      $pa/author=$a/id and $p/pid=$pa/pid
      return
      <publications year="{ $year/text() }">
        {<book>
          { $b/title
          { $b/isbn
          </book>
          {<conf>
            { $p/title
            { $p/pid
            </conf>
          </publications>
          }
        }
      </author>
    }
  </authors>

(B)
<authors>
  <author id="1">
    <name>Mary Jones</name>
    <address>
      <email>maryjones@aaa.com</email>
    </address>
    <publications year="2000">
      <book><title>Book1</title><isbn>1234</isbn></book>
      <conf>
        <title>Querying the Web</title><pid>QWEB</pid>
      </conf>
    </publications>
    <publications year="2001">
      <book><title>Book2</title><isbn>1235</isbn></book>
      <book><title>Book5</title><isbn>1238</isbn></book>
      <conf><title>Web Survey</title><pid>WS</pid></conf>
    </publications>
    <publications year="2002">
      <conf>
        <title>Databases and IR</title><pid>IR</pid>
      </conf>
    </publications>
  </author>
  <author id="2">
    <name>Charles Green</name>
    <address>
      <email>charles@bbb.com</email>
    </address>
    <publications year="2000">
      <book><title>Book1</title><isbn>1234</isbn></book>
    </publications>
  </author>
  ...
</authors>

```

Figura 1.3: Consulta UXQuery(A) e Visão XML (B)

```

CREATE VIEW VIEWBOOK AS
SELECT a.id AS id, a.name AS name, a.email AS email, b.year AS year, b.title AS title,
       b.isbn AS isbn
FROM (author AS a LEFT JOIN ba AS ba ON ba.author=a.id) LEFT JOIN book AS b ON b.isbn=ba.isbn

CREATE VIEW VIEWPAPER AS
SELECT a.id AS id, a.name AS name, a.email AS email, p.year AS year, p.title AS title,
       p.pid AS pid
FROM (author AS a LEFT JOIN pa AS pa ON pa.author=a.id) LEFT JOIN paper AS p ON p.pid=pa.pid

```

Figura 1.4: Visões Relacionais

**Exemplo 1.1:** Inserir um elemento author na visão XML:

$U_1: u = \text{insert}, \text{ref} = /authors,$

```
 $\Delta = \{ \langle \text{author id}="4" \rangle$   
     $\langle \text{name} \rangle \text{Robert White} \langle / \text{name} \rangle$   
     $\langle \text{address} \rangle$   
         $\langle \text{email} \rangle \text{white@zzz.com} \langle / \text{email} \rangle$   
     $\langle / \text{address} \rangle$   
 $\langle / \text{author} \rangle \}.$ 
```

Essa inserção é traduzida nas seguintes inserções nas visões relacionais:

```
INSERT INTO VIEWBOOK (id, name, email)  
VALUES (4, "Robert White", "white@zzz.com")
```

```
INSERT INTO VIEWPAPER (id, name, email)  
VALUES (4, "Robert White", "white@zzz.com")
```

**Exemplo 1.2:** Modifica o elemento title do livro de ISBN=1234 na visão XML:

$U_4: u = \text{modify}, \Delta = \{ \text{Querying the Web using XML} \},$

$\text{ref} = // \text{book}[\text{isbn}="1234"] / \text{title}.$

Essa inserção é traduzida na seguinte inserção na visão relacional VIEWBOOK:

```
UPDATE VIEWBOOK SET title="Querying the Web using XML"  
WHERE isbn=1234
```

**Exemplo 1.3:** Inserir um novo author na visão XML:

$U_5: u = \text{delete}, \text{ref} = // \text{author}[\text{id}="1"]$

$/ \text{publications}[\text{year}="2000"].$

Essa inserção é traduzida nas seguintes inserções nas visões relacionais:

```
DELETE FROM VIEWBOOK  
WHERE id=1 AND year=2000
```

```
DELETE FROM VIEWPAPER  
WHERE id=1 AND year=2000
```

### 1.3.2.3 SQL Server 2000

O Microsoft SQL *Server* 2000 [29,30] é um SGBD relacional que possui um mecanismo para publicação de seus dados através de visões XML. O ponto chave desse mecanismo é o conceito de esquema anotado. Um esquema anotado consiste em um

documento XML que armazena a estrutura da visão XML juntamente com “anotações” que descrevem o mapeamento entre cada elemento ou atributo da visão XML e o banco de dados. No *SQL Server 2000*, esquemas anotados podem ser definidos usando a linguagem *XML Schema* ou a linguagem *XDR (XML Data Reduced)*.

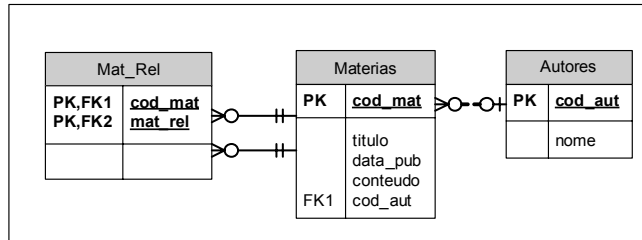
Visões XML definidas no *SQL Server 2000* podem ser consultadas através de consultas definidas em um subconjunto de *XPath*. Para processar consultas *XPath*, o *SQL Server 2000* utiliza o esquema anotado para traduzir a *XPath* em uma consulta FOR XML que retorna somente os dados XML requisitados. FOR XML é uma extensão da linguagem SQL para o *SQL Server 2000* que permite indicar o formato XML do resultado de uma consulta SQL na própria consulta.

No *SQL Server*, uma visão XML gerada por um XML Schema anotado pode ser modificada usando *updategrams*. Ao invés de usar operações de INSERT, UPDATE ou DELETE, o usuário provê uma imagem anterior (before) da visão XML e uma imagem posterior (after) da visão. O sistema computa a diferença entre essas imagens e gera as operações SQL correspondentes que refletem as mudanças no banco de dados.

#### **1.3.2.4 XSQL Pages Publishing Framework**

A tecnologia *XSQL Pages* (páginas XSQL) [31], desenvolvida pela *Oracle* [33], combina o poder de XML, XSLT [34] e XSQL para publicar conteúdo dinâmico na *web* baseado em informações extraídas de bancos de dados objeto-relacionais. Considere, por exemplo, o banco de dados da Figura 1.5 e a página XSQL da Figura 1.6 (V3.xsql), a qual publica o resultado da consulta SQL3 contida em <xsql:query> no formato do esquema XML mostrado na Figura 1.7 (b). O resultado da consulta SQL3 é transformado pelo processador XSQL em um documento XML no formato canônico. A Figura 1.7 (a) mostra o esquema XML do documento XML retornado pelo XSQL para a consulta em V3.xsql. Um exemplo de um documento no formato canônico é mostrado na Figura 1.8. Com o uso da tecnologia XSLT, a estrutura do documento XML canônico pode ser alterada de acordo com o interesse do projetista. Para isso, na página XSQL da Figura 1.6, o atributo href associa um documento stylesheet denominado V3.xsl, que utiliza uma folha de estilo XSLT para transformar o documento XML canônico no formato do esquema XML apresentado na Figura 1.7 (b). A correspondência entre os elementos do esquema XML canônico e os

elementos do esquema XML também são mostradas na Figura 1.7. A Figura 1.8 mostra um exemplo das transformações aplicadas a um resultado da consulta SQL3 na página da Figura 1.6.



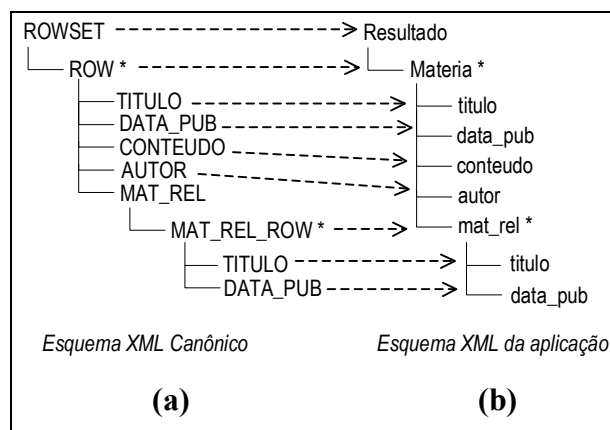
**Figura 1.5:** Banco de Dados Matérias Relacionadas.

```

<?xml version="1.0"?>
<?xml-stylesheet type="text/xsl" href="V3.xsl"?>
<xsql:query connection="xml" xmlns:xsql="urn:oracle-xsql">
  SELECT m.titulo as titulo, m.data_pub as data_publicação, m.conteudo as conteudo,
  ( SELECT a.nome
  FROM Autores a
  WHERE m.cod_aut = a.cod_aut) as autor,
  CURSOR ( SELECT m2.titulo, m2.data_pub
  FROM Materias m2, Mat_Rel mr
  WHERE mr.mat_rel = m2.cod_mat
  AND mr.cod_mat = m.cod_mat ) as mat_rel
  FROM Materias m
  WHERE m.titulo = {@titulo}
</xsql:query>

```

**Figura 1.6:** Página XSQL V3.xsql.

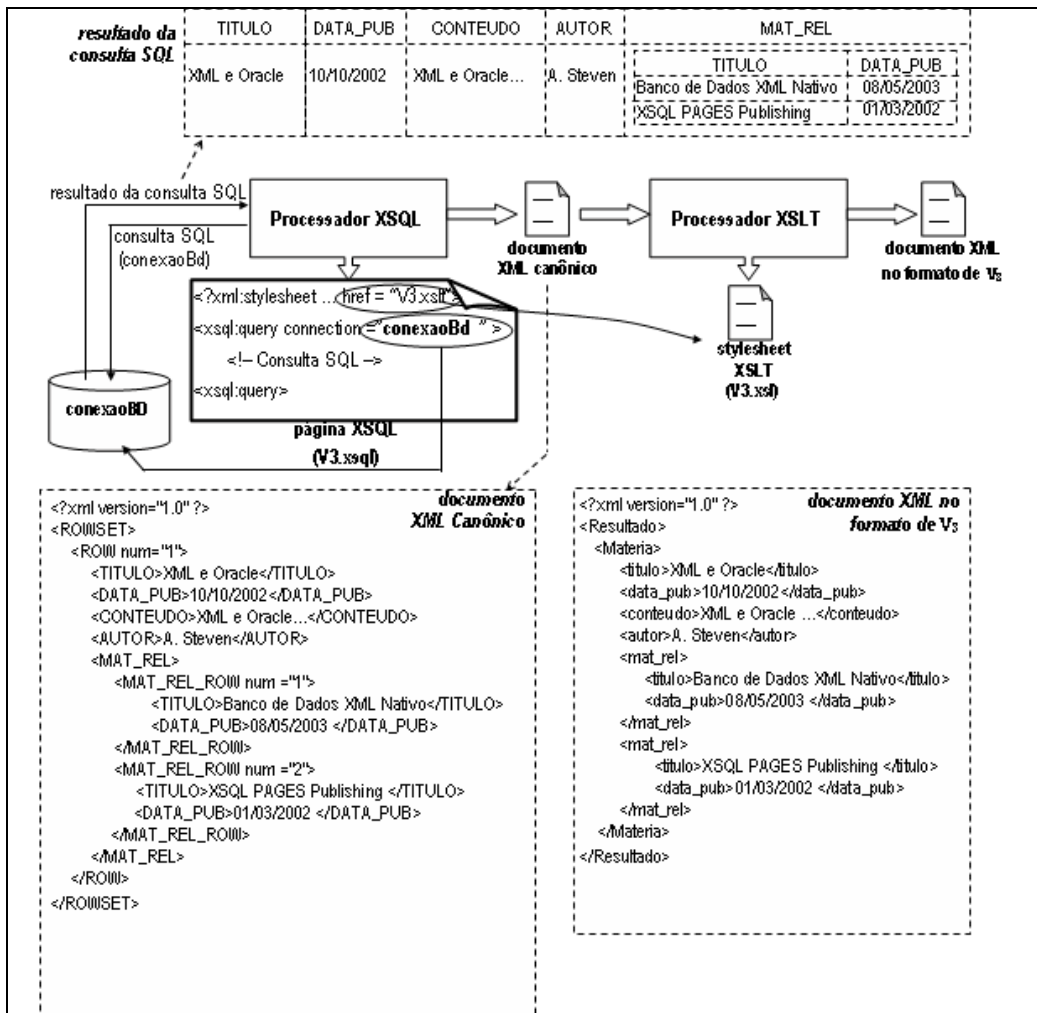


**Figura 1.7:** Esquemas XML para V3.xsql.

Uma página XSQL é mais versátil quando seus resultados podem mudar com base nos valores de um ou mais parâmetros passados com a requisição. Observe a expressão {@titulo} na cláusula WHERE da consulta SQL3 da página XSQL apresentada na Figura 1.6.

Essa expressão denota um parâmetro de nome título. A cada requisição a essa página, a expressão {*@título*} será substituída pelo valor do parâmetro título passado na requisição.

A tecnologia XSQL Pages também é utilizada para carga de dados, isto é, inserção, modificação e remoção de dados do banco de dados. Para efetuar uma operação de atualização é necessário saber como está representado o esquema do banco de dados. Assim, XSQL requer um formato canônico para inserções, remoções e atualizações em uma tabela ou visão alvo do banco de dados. Além do mais, XSQL cria uma página para cada operação de atualização.



**Figura 1.8:** Publicação de dados XML baseado em consultas SQL usando XSQL Pages.

Na Figura 1.9, apresentamos a página XSQL de uma inserção, a partir de um documento XML, definido numa folha de estilo XSLT (Figura 1.6), de dados na tabela

Autores. Note que, o documento XML da Figura 1.7(B) possui a mesma estrutura da tabela Autores. O resultado dessa inserção é o documento XML:

“<?xml version="1.0" ?> <xsql-status action="xsql:insert-request" rows="1" />”.

<pre>&lt;?xml version="1.0"?&gt; &lt;xsql:insert-request connection="conexaoBdteste" xmlns:xsql="urn:oracle-xsql" table="autores" transform="InserAutor.xsl"/&gt;</pre> <p style="text-align: center;"><b>(A)</b></p>	<pre>&lt;?xml version="1.0"?&gt; &lt;ROWSET xmlns:xsl="http://www.w3.org/1999/XSL/Transform" xmlns:xsql="urn:oracle-xsql" xsl:version="1.0"&gt;   &lt;xsl:for-each select="request/parameters"&gt;     &lt;ROW&gt;       &lt;COD_AUT&gt;3&lt; COD_AUT &gt;       &lt;NOME&gt;Wamberg&lt;/NOME&gt;     &lt;/ROW&gt;   &lt;/xsl:for-each&gt; &lt;/ROWSET&gt;</pre> <p style="text-align: center;"><b>(B)</b></p>
---	--

**Figura 1.9:** Página XSQL InserAutor.xsql (A) e Folha de estilo XSLT InserAutor.xslt (B)

### 1.3.2.5 Limitações

Updating XML, UXQuery e SQL Server 2000, apresentam as seguintes limitações: (i) aplicam-se somente a bancos de dados relacionais;(ii) existe uma forte dependência entre a visão XML canônica/Esquema anotado e o banco de dados, de modo que uma mudança no banco de dados requer a redefinição das Visões XML; UXQuery e SQL Server 2000 utilizam linguagens de atualização XML proprietárias; Updating XML não discute o caso em que o esquema relacional é predefinido.

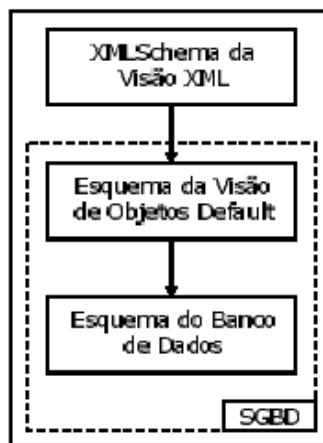
O nosso enfoque se diferencia dos demais, pois utilizamos o modelo objeto-relacional. O problema de atualização de um banco de dados objeto-relacional (BDOR) é bem mais complexo que no caso relacional, pois, além de estruturas relacionais, o modelo objeto-relacional permite o uso de tabelas de objetos, os quais possuem estruturas complexas, como atributos multivalorados (coleções aninhadas), atributos estruturados e de referência. Além do mais, utilizamos XQuery, que é a linguagem de atualização que está em processo de padronização pelo W3C

A tecnologia Oracle XSQL Pages aplica-se ao modelo objeto-relacional, entretanto para efetuar uma operação de atualização é necessário saber como está representado o

esquema do banco de dados. Assim, XSQL requer um formato canônico para inserções, remoções e atualizações em uma tabela ou visão alvo do banco de dados. Além do mais, XSQL cria uma página para cada operação de atualização.

## 1.4 Enfoque Proposto e Objetivos

Neste trabalho, implementamos o Módulo de Tradução de Atualizações do XML *Publisher*, um *framework* para publicação de dados objeto-relacionais através de visões XML que foi proposto em [35]. No XML *Publisher* os dados são descritos em três níveis de esquema como ilustrado na Figura 1.10. Para publicar uma visão XML, o projetista deve definir uma visão de objeto [15], denominada Visão de Objeto *Default* (VOD), de modo que os objetos da VOD possuem a mesma estrutura dos elementos da visão XML. Visões de objeto provêm uma técnica poderosa para determinar visões lógicas, ricamente estruturadas, sobre um banco de dados já existente. No *Oracle 9i*, uma visão de objeto é definida através de uma consulta SQL3, a qual especifica como os objetos da visão são sintetizados a partir dos dados do banco de dados; e, caso atualizações sejam permitidas, devem ser definidos tradutores (*instead of triggers*) que especificam como atualizações definidas sobre a visão de objeto são traduzidas em atualizações especificadas sobre o banco de dados.

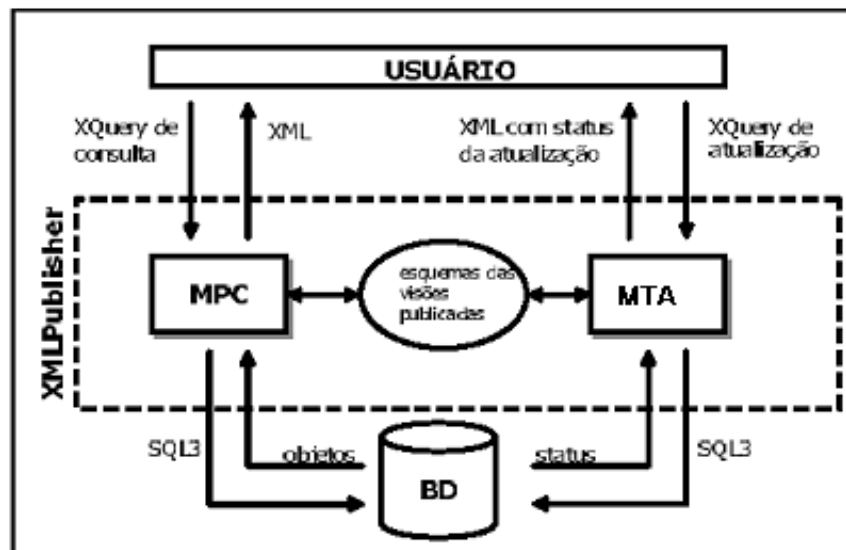


**Figura 1.10:** Três níveis de esquema

No XML *Publisher*, consultas e atualizações definidas sobre o esquema da visão XML são traduzidas em consultas e atualizações sobre o esquema da visão de objeto, e que, por sua vez, são traduzidas pelo mecanismo de visão do SGBD em consultas e atualizações

definidas sobre o esquema do banco de dados. A Figura 1.11 mostra os principais componentes do *XML Publisher*. O Módulo de Processamento de Consultas (MPC) é responsável pelo processamento de consultas *XQuery* definidas sobre a Visão XML e o Módulo de Tradução de Atualização (MTA) pela tradução de atualizações definidas sobre a Visão XML. O MPC foi implementado em [35]. O *XML Publisher* é disponibilizado como uma aplicação web, de forma que seus serviços podem ser acessados por um cliente através de requisições *HTTP GET*.

**Figura 1.11:** Arquitetura do XML Publisher



Atualizações sobre as visões XML publicadas no *XML Publisher* são definidas através de uma extensão da linguagem *XQuery* [28]. Como apresentado na Figura 1.11, uma atualização submetida ao *XML Publisher* é processada pelo Módulo de Tradução de Atualização (MTA) seguindo os seguintes passos: (i) a atualização *XQuery* é traduzida em uma atualização *SQL3* definida sobre a VOD correspondente; (2) as atualizações na visão de objeto *default* são por sua vez traduzidas pelos “*instead of triggers*”, em atualizações definidas sobre o esquema do banco de dados. Um “*instead of trigger*” contém um bloco de comandos PL/SQL [36] para traduzir atualizações aplicadas a uma visão de objetos em atualizações nas tabelas do banco de dados. No Capítulo 5, apresentamos a ferramenta para automatizar o processo de geração dos tradutores de atualizações de visões de objeto.

Nesta dissertação abordamos apenas os aspectos referentes à atualização de dados objeto-relacionais através de visões XML no *XML Publisher*. Os aspectos referentes ao

processamento de consultas *XQuery* e a definição de visões de objetos *default* no XML *Publisher* estão definidos em [35]. Então, baseado no modelo objeto-relacional do SGBD *Oracle 9i*, desenvolvemos os seguintes itens:

1. TAV (*Tradutor de Atualização de Visões*), um protótipo de uma ferramenta semi-automática para criar tradutores (“instead of triggers”) de visões de objetos. O processo de criação de um tradutor com TAV tem início com o usuário definindo, através de uma interface gráfica, o tipo dos objetos da visão. O usuário deve, então, carregar o esquema do banco de dados e através de uma GUI, definir as assertivas de correspondência do esquema da visão com o esquema do banco de dados [14,37]. Com base no conjunto de assertivas de correspondência da visão, TAV gera automaticamente os tradutores básicos da visão de objetos.
2. DSG (*Default object view Generator*), uma ferramenta que gera automaticamente o esquema da visão de objeto *default*. O processo de geração da VOD tem início com o usuário definindo, através de uma interface gráfica, o XML *Schema* [38,39] da visão XML. O XML *Schema* [38,39] da visão XML é utilizado para gerar automaticamente o tipo da VOD.
3. Um *software* denominado *XUpdateTranslator*, para a tradução de atualizações *XQuery* no XML *Publisher*. O *XUpdateTranslator* transforma uma atualização *XQuery* numa atualização SQL3 aplicada à respectiva VOD. Em seguida, uma vez que os tradutores (“instead of triggers”) da VOD foram criados pelo TAV, o banco de dados é atualizado.

Os capítulos a seguir estão organizados da seguinte forma. No Capítulo 2, apresentamos o Modelo Objeto-Relacional e o mecanismo de Visões de Objetos; no Capítulo 3, apresentamos algumas características da tecnologia XML abordadas neste trabalho; no Capítulo 4, damos uma visão geral do processo de tradução de atualizações no XML *Publisher*; no Capítulo 5, discutimos a geração de tradutores para atualização de bancos de dados objeto-relacionais através de visões de objeto; no Capítulo 6 apresentamos nosso enfoque para atualização de bancos de dados objeto-relacionais através de visões XML; e, no Capítulo 7, apresentamos nossas conclusões e direções para trabalhos futuros.

## Capítulo 2 - Modelo Objeto-Relacional

---

Neste capítulo apresentamos o modelo objeto-relacional baseado no modelo de dados do Oracle 9i [40]. O modelo objeto-relacional estende o modelo de dados relacional fornecendo um sistema de tipos mais rico, incluindo orientação a objeto e acrescentando estruturas a linguagens de consulta relacionais, como SQL, para tratar os tipos de dados acrescentados [41]. É importante ressaltar que um esquema objeto-relacional pode ser puramente relacional ou objeto-relacional.

Este capítulo é organizado como se segue. Na Seção 2.1, apresentamos as características do modelo objeto-relacional. Na Seção 2.2, apresentamos uma notação gráfica para representar esquemas objeto-relacionais. Na Seção 2.3, abordamos as características orientadas a objetos da linguagem SQL3 utilizadas nesta dissertação e na Seção 2.4, apresentamos o mecanismo das Visões de Objetos proposto no Oracle 9i.

### 2.1 Esquema Objeto-Relacional

O modelo objeto-relacional pode ser visto como uma extensão do modelo relacional para suportar a capacidade de modelagem do modelo orientado a objetos. A extensão inclui mecanismos para permitir aos usuários estender o banco de dados com tipos e funções específicas da aplicação.

Nos últimos anos a Oracle Corporation trabalhou na extensão do seu Sistema de Gerência de Banco de Dados Relacional com o objetivo de transformá-lo em um Sistema de Gerência de Banco de Dados Objeto-Relacional adicionando suporte a extensão de tipos, armazenamento de objetos, controle de cache de objetos, extensão de consultas, suporte a tipos de dados multimídia, visões de objetos, entre outras características. O modelo objeto-relacional utilizado neste trabalho é baseado no modelo de dados do Oracle 9i.

No SGBD Oracle 9i [33], um esquema objeto-relacional é uma tripla  $S=(T, R, I)$ , onde **T** é um conjunto de definições de tipos, **R** é um conjunto de tabelas e **I** é um conjunto de restrições de integridade. Uma das principais características do uso de objetos é que além

do usuário poder usar os tipos pré-definidos pelo SGBD pode também construir tipos próprios para sua aplicação. Esses tipos são chamados de Tipos Abstratos de Dados (TAD) que podem ser usados da mesma forma que são usados os tipos pré-definidos.

Um tipo serve como molde para a criação de objetos (instâncias do tipo) e serve para definir a estrutura de dados (atributos) e as operações (métodos) que são comuns às instâncias do tipo. Para criar um TAD em um banco de dados objeto-relacional, usamos o comando CREATE TYPE.

Os atributos de um TAD podem ser classificados em *monovalorados* ou *multivalorados*. O valor de um atributo monovalorado é um objeto (atômico ou estruturado) ou uma referência para um objeto. Já o valor de um atributo multivalorado é uma coleção de objetos ou uma coleção de referências para objetos. Um atributo multivalorado pode ser representado como uma *Nested Table* (coleção ilimitada de objetos) ou *Varray* (coleção limitada de objetos). Considere, por exemplo, o esquema objeto-relacional Pedidos apresentado na Figura 2.1:

```
CREATE TYPE Tcliente AS OBJECT
( codigo INTEGER, nome VARCHAR2(50) );

CREATE TYPE Titem AS OBJECT
( codigo INTEGER, produto VARCHAR2(30),
  quantidade INTEGER );

CREATE TYPE Tendereco AS OBJECT
( rua VARCHAR2(30), cidade VARCHAR2(15),
  estado VARCHAR2(2), cep VARCHAR2(8) );

CREATE TYPE Tlista_item AS TABLE OF Titem ;

CREATE TYPE Tpedido AS OBJECT
( codigo INTEGER, data DATE, dataEntrega DATE,
  enderecoEntrega Tendereco, cliente_ref REF Tcliente,
  listaltens Tlista_item);

CREATE TABLE Clientes OF Tcliente
( codigo PRIMARY KEY );

CREATE TABLE Pedidos OF Tpedido
( codigo PRIMARY KEY, cliente_ref REFERENCES Clientes)
NESTED TABLE listaltens STORE AS listaltens_nt_tab;
```

**Figura 2.1:** Esquema objeto-relacional Pedidos.

- O atributo nome, do tipo  $T_{cliente}$ , é monovalorado atômico;

- O atributo `endereçoEntrega`, do tipo  $T_{pedido}$ , é monovalorado estruturado cujo valor é uma instância do tipo  $T_{endereço}$ ;
- O atributo `cliente_ref`, do tipo  $T_{pedido}$ , é monovalorado de referência cujo valor é uma referência para uma instância do tipo  $T_{cliente}$ ;
- O atributo `listaItens`, no tipo  $T_{pedido}$ , é multivalorado (Nested Table) de tipo  $T_{lista\_item}$  cujo valor é uma coleção de instâncias de  $T_{item}$ .

O modelo objeto-relacional do Oracle 9i suporta dois tipos de tabela: tabelas de tuplas e tabelas de objetos. As tabelas de tuplas são as tabelas do modelo relacional. Uma tabela de objetos possui associado um tipo e os objetos inseridos na tabela possuem um identificador único (OID), permitindo, assim, que os objetos possam ser referenciados por outros objetos através de atributos de referência. A tabela `clientes` no esquema `Pedidos` da Figura 2.1 é uma tabela de objetos, cujos objetos são instâncias do tipo  $T_{cliente}$ . Estes objetos são referenciados pelas instâncias de  $T_{pedido}$  através do atributo `cliente_ref`. O escopo de um atributo de referência (tabela ou visão que contém os objetos referenciados) é especificado com as restrições de escopo [40]. Por exemplo, na tabela `Pedidos`, a restrição referencial `cliente_ref REFERENCES Clientes` especifica que o escopo do atributo de referência `cliente_ref` é a tabela `Clientes`.

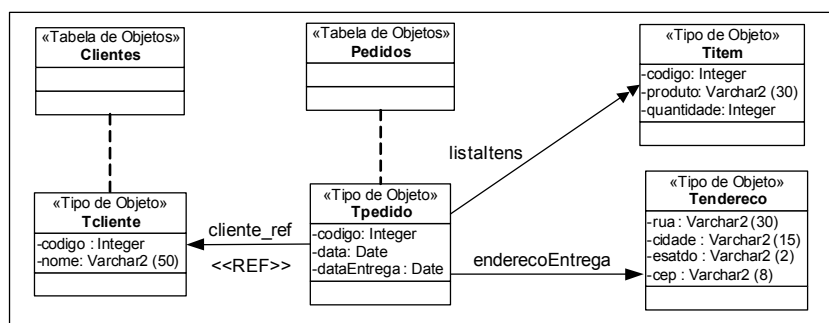
Antes de inserir um objeto em uma tabela de objetos devemos criá-lo usando um construtor de objetos. Um construtor de objetos é uma função que cria um objeto de um determinado tipo. Considere, por exemplo, o esquema `Pedidos` apresentado na Figura 2.1. Um exemplo de construtor de objeto para o tipo  $T_{cliente}$  é  $T_{cliente}(1, \text{“Wamberg”})$ . Um objeto do tipo  $T_{lista\_item}$  pode ser criado com o construtor  $T_{lista\_item}(T_{item}(10, \text{‘Água’}, 10), T_{item}(11, \text{‘Suco’}, 10))$ . Observe que  $T_{lista\_item}$  é uma Nested Table que contém duas instâncias do tipo  $T_{item}$ .

## 2.2 Notação Gráfica

A Unified Modeling Language (UML) [42] tem se tornado um padrão para modelagem de objetos durante as fases de análise e projeto do desenvolvimento de softwares. Neste trabalho adotamos uma notação gráfica baseada em [43] que estende o diagrama de classes da UML, através do uso de *estereótipos*, para representar um esquema objeto-relacional. Neste trabalho utilizamos *estereótipos*, que permitem modelar, além de

tipo de objetos (chamado de classe na UML), também tabelas de objetos, tabelas relacionais e visões de objetos.

A Figura 2.2 mostra a representação gráfica do esquema objeto-relacional Pedidos da Figura 2.1. Na notação gráfica, os retângulos com o estereótipo <<Tipo de Objeto>> representam um TAD; os retângulos com o estereótipo <<Tabela de Objeto>> representam tabelas de objetos; os retângulos com o estereótipo <<Tabela Relacional>> representam tabelas de tuplas; e os retângulos com o estereótipo <<Visão de Objeto>> representam uma tabela virtual de objetos. Os atributos cujos tipos são pré-definidos são escritos dentro dos retângulos. Os demais atributos cujos tipos são definidos pelo usuário são representados por setas rotuladas com o nome do atributo. Usamos setas simples para atributos monovalorados e setas duplas para atributos multivalorados. Para os de referência, adicionamos o estereótipo <<REF>> à seta.



**Figura 2.2:** Representação gráfica do esquema Pedidos.

## 2.3 SQL3

SQL (*Structured Query Language*) é a linguagem padrão para a definição e manipulação de dados armazenados em banco de dados relacionais. Ela pode ser considerada uma das maiores razões para o sucesso da tecnologia de bancos de dados relacionais [44]. Em sua mais recente versão (SQL:1999 ou SQL3), adicionou novas características para permitir o suporte a dados orientados a objetos. Alguns SGBD's, como DB2 e Oracle, já dão suporte às características de orientação a objetos da linguagem SQL3.

Algumas das funcionalidades que caracterizam SQL3 como uma linguagem de definição de dados (LDD), orientados a objetos, foram apresentadas na seção anterior (TAD,

tabela de objetos, OID, atributo multivalorado, atributo de referência). A seguir, discutiremos alguns operadores da linguagem SQL3 como uma linguagem de manipulação de dados (LMD) orientados a objeto:

– **TABLE**

Esse operador permite desaninhar uma coleção de objetos (*Nested Table* ou *Varray*) dentro de uma cláusula FROM, bem como também é utilizado nas cláusulas INSERT, DELETE E UPDATE. Dessa forma, conseguimos acessar individualmente cada objeto de uma coleção. Considere, por exemplo, o esquema Pedidos apresentado na Figura 2.2. Para inserir o item de código 10, produto “livro” e quantidade 5 na coleção de objetos listatens do pedido de número 1, devemos criar o seguinte comando de atualização SQL3:

```
INSERT INTO TABLE
(SELECT p.listatens FROM
Pedidos p WHERE p.codigo = 1)
VALUES(10,'livro',5);
```

– **REF**

Esse operador pode ser usado em consultas para obter uma referência para um objeto. Considere, por exemplo, o esquema Pedidos apresentado na Figura 2.2. A consulta a seguir retorna o OID de todos os clientes que fizeram algum pedido:

```
SELECT REF(p)
FROM Pedidos p
```

– **CURSOR**

Esse operador oferece uma forma de sintetizar coleções de objetos (*Nested Table* ou *Varray*) em consultas. Considere, por exemplo, o esquema relacional Pedidos\_rel (Figura 2.6.). Na consulta abaixo, para cada cliente será retornado seu nome e uma coleção de objetos contendo os códigos dos seus pedidos:

```
SELECT c.cnome,CURSOR( SELECT p.pcodigo
                        FROM Pedidos_rel p
                        WHERE c.ccodigo = p.pcliente)
FROM Clientes_rel c
```

## 2.4 Visões de Objetos

Uma visão relacional é uma tabela virtual que deriva seus dados de outras tabelas. Estas tabelas podem ser tabelas base ou visões previamente definidas. As vantagens de usar visões são: (i) proporcionam um nível adicional de segurança, restringindo o acesso a um conjunto de linhas e colunas de uma tabela, (ii) ajudam a alcançar um certo grau de independência lógica, uma vez que é possível alterar o esquema do banco de dados sem alterar a visão, (iii) permitem o acesso a dados que estão em várias tabelas de forma transparente, assim simplificando o comando para os usuários.

Assim como uma visão relacional é uma tabela virtual, uma visão de objetos é uma tabela virtual de objetos. Além das características das visões tradicionais, as visões de objetos possuem as seguintes características:

- Os objetos das visões possuem identificadores, que fornecem a capacidade para referenciar e serem referenciados por outros objetos;
- Provê a co-existência de aplicações relacionais e OO. Elas tornam mais fácil introduzir aplicações OO para dados relacionais já existentes sem ter que fazer mudanças drásticas de um paradigma para o outro;
- Facilidade para evolução de esquemas. As visões de objetos fornecem a flexibilidade de ver, de mais de uma maneira, o mesmo dado relacional ou orientado a objetos. Sendo assim, cada aplicação pode ter seu próprio esquema orientado a objetos sem ter que mudar o esquema do banco de dados;
- Consistência e compartilhamento de dados relacionais com novas aplicações baseadas em objetos.

No Oracle 9i, para criar uma visão de objetos, primeiro deve-se criar os tipos da visão. A Figura 2.3 contém a definição dos tipos de uma visão Pedidos\_v, cuja representação gráfica é mostrada na Figura 2.4. Depois, então, define-se a visão através de uma consulta SQL3 que especifica como os objetos da visão são sintetizados a partir dos dados do banco de dados. A Figura 2.5 contém a consulta SQL3 que define a visão Pedido\_v baseada no esquema do banco de dados relacional Pedido\_rel, apresentado na Figura 2.6. A visão

Pedidos\_v contém um conjunto de objetos do tipo Tpedido, os quais são sintetizados a partir das tuplas das tabelas base.

```

CREATE TYPE Tcliente_v AS OBJECT
( codigo INTEGER, nome VARCHAR2(50) );

CREATE TYPE Titem_v AS OBJECT
( codigo INTEGER, produto VARCHAR2(30),
  quantidade INTEGER );

CREATE TYPE Tendereco_v AS OBJECT
( rua VARCHAR2(30), cidade VARCHAR2(15),
  estado VARCHAR2(2), cep VARCHAR2(8) );

CREATE TYPE Tlista_item_v AS TABLE OF Titem_v ;

CREATE TYPE Tpedido_v AS OBJECT
( codigo INTEGER, data DATE, dataEntrega DATE,
  enderecoEntrega Tendereco_v, cliente_ref REF
  Tcliente_v,
  listaltens Tlista_item_v);

```

Figura 2.3: Definição dos tipos da visão Pedidos\_v.

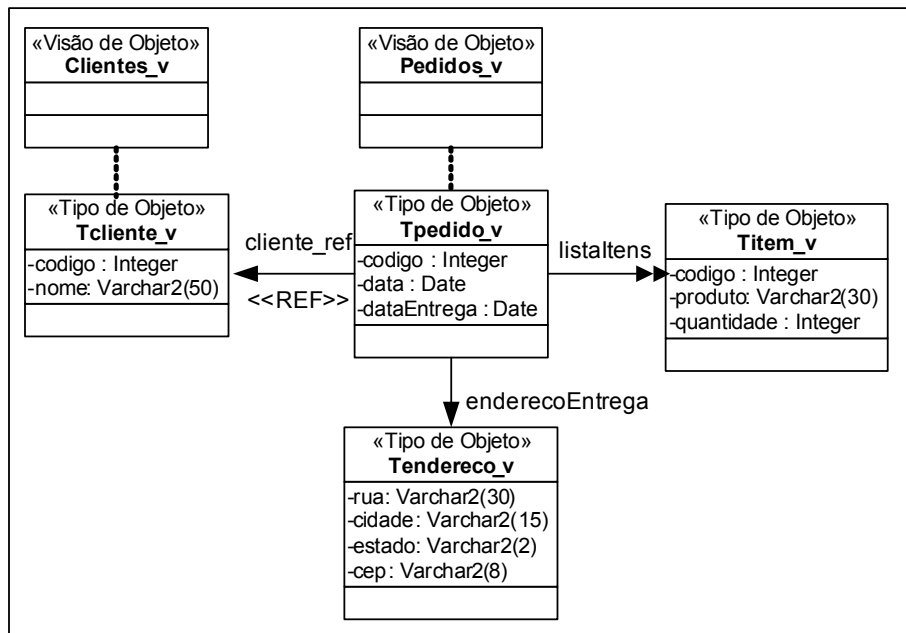


Figura 2.4: Esquema da visão de objetos Pedidos\_v.

```

CREATE VIEW Pedidos_v OF T_pedido
WITH OBJECT IDENTIFIER (codigo) AS
  SELECT
    T_pedido(
      t_pedidos_rel.pcodigo,
      t_pedidos_rel.pdata,
      t_pedidos_rel.pdataEntrega,
      Tendereco ( t_pedidos_rel.prua, t_pedidos_rel.pcidade, t_pedidos_rel.pestado, t_pedidos_rel.pcep ),
      (SELECT REF (t_cliente)
      FROM Clientes_v t_cliente, Clientes_rel t_clientes_rel
      WHERE t_pedidos_rel.pcliente = t_clientes_rel.ccodigo
            t_clientes_rel.ccodigo = t_cliente.codigo),
      CAST(MULTISET( SELECT
                            T_item(
                              t_itens_rel.icodigo,
                              (SELECT t_produtos_rel.pnome
                               FROM Produtos_rel t_produtos_rel
                               WHERE t_itens_rel.iproduto= t_produtos_rel.pcodigo),
                              t_itens_rel.iquantidade)
                            FROM Itens_rel t_itens_rel
                          ) AS T_lista_item )
    FROM Pedidos_rel t_pedidos_rel

```

Figura 2.5: Definição da visão Pedidos\_v.

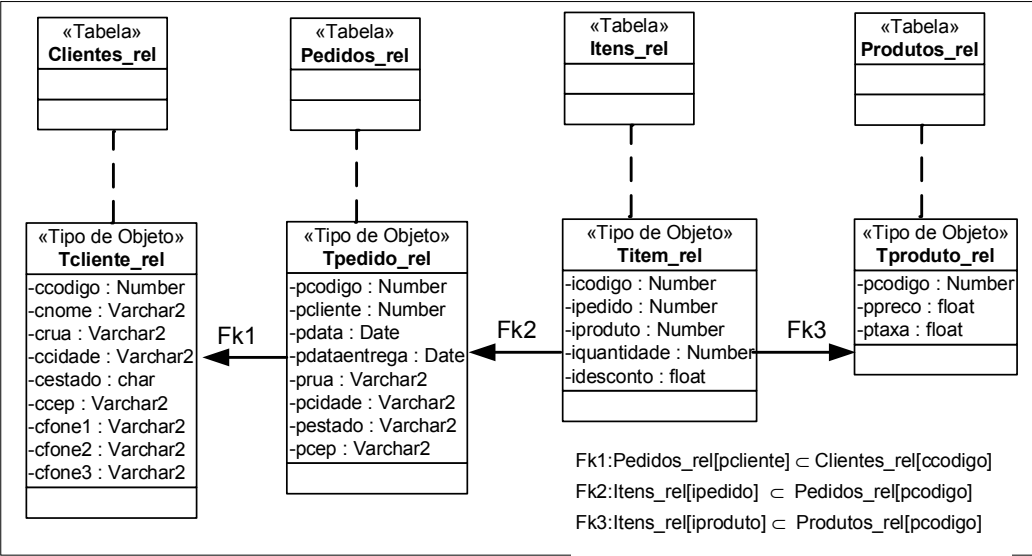


Figura 2.6: Esquema do banco de dados Pedidos\_rel.

Consultas SQL3 ,definidas sobre uma visão de objetos, são traduzidas em consultas sobre o banco de dados. No caso em que atualizações sobre uma visão de objetos são permitidas, devemos definir tradutores (“instead of triggers”) que especifiquem como

atualizações sobre a visão de objetos são traduzidas em atualizações especificadas sobre o banco de dados. O código do “*instead of trigger*” é executado quando inserções, atualizações ou remoções são solicitadas na visão ou em algum atributo multivalorado da visão. A Figura 2.7 mostra, a título de ilustração, o “*instead of trigger*” Adiciona\_Cliente, o qual traduz a adição de um pedido na visão Clientes\_v (Figura 2.4) em uma adição na tabela relacional Clientes\_rel (Figura 2.6).

```
CREATE TRIGGER Adiciona_Cliente
INSTEAD OF TRIGGER INSERT ON Clientes_v
FOR EACH ROW
BEGIN
    INSERT INTO CLIENTES_REL
    (ccodigo, cnome)
    VALUES (:new.codigo, :new.nome)
END
```

**Figura 2.7** *Instead of trigger* Adiciona\_Cliente.

# Capítulo 3 - XML: Modelo de Dados, Linguagens de Esquema e Consulta

---

A linguagem modelo XML (*eXtended Markup Language*) [1] vem se tornando um padrão para troca e integração de dados na WEB. Isto cria a necessidade de publicar dados, os quais estão armazenados em bancos de dados convencionais, no formato XML. Neste capítulo apresentamos a linguagem XML. Na seção 3.1, apresentamos uma visão geral sobre XML e a sintaxe básica para a criação de documentos; na Seção 3.2 descrevemos a linguagem padrão de definição de esquemas XML - XML Schema e sua representação gráfica; na Seção 3.3 apresentamos a linguagem de consulta XQuery e descrevemos operadores da sua extensão proposta em [16] para suportar operações de atualização sobre dados XML.

## 3.1 XML : Sintaxe Básica

XML (*eXtensible Markup Language*) [1] é uma linguagem de marcação desenvolvida pelo W3C (*World Wide Web Consortium*) [45] para descrever informações. Assim como HTML [46], XML tem origem na SGML (*Standard Generalized Markup Language*), que é um padrão internacional para definição de formatos de representação de texto em meio eletrônico. Entretanto, ao contrário de HTML, que foi projetada para descrever a apresentação dos dados, XML foi projetada para descrever o conteúdo dos dados. A seguir, destacamos alguns aspectos que tornam a linguagem XML mais poderosa que HTML:

- **Independência de conteúdo e apresentação.** XML aborda apenas o conteúdo de um documento. A apresentação pode ser tratada por linguagens específicas para apresentação, tais como: *Cascading Style Sheets (CSS)* e *eXtensible Stylesheet Language (XSL)*;
- **Linguagem Extensível.** XML permite que os usuários definam novas marcas de acordo com o domínio que está sendo modelado. Estas marcas servem para descrever o conteúdo de um documento;

- **Validação.** Um documento XML pode ser associado a uma definição de esquema XML, a qual define a estrutura do documento. Assim, aplicações podem validar seus dados de acordo com um esquema;
- **Linguagem flexível.** XML permite a apresentação de um mesmo conteúdo em diversos formatos.

XML também pode ser vista como uma metalinguagem, pois, por ser extensível, permite a criação de outras linguagens de marcadores. Estas linguagens podem ser definidas para domínios específicos (matemática, química, comércio eletrônico, entre outros). Assim, os marcadores podem capturar mais semântica sobre os dados que estão sendo modelados, o que não ocorre em um documento HTML, pois seus marcadores têm função apenas de formatar o texto para apresentação.

Um documento XML consiste de vários elementos. *Os elementos são os blocos principais da estrutura hierárquica de um documento XML.* Um elemento é descrito por um marcador inicial (i.e, <nome\_do\_elemento>) e um marcador final (i.e, </nome\_do\_elemento>). que delimitam o conteúdo do elemento. Cada elemento pode conter texto, conter outros elementos aninhados (subelementos), ter conteúdo misto (texto e subelementos) ou ser vazio.

**Exemplo 3.1:** Considere o documento XML abaixo:

```
< Pessoa >
  < nome > Wamberg < / nome >
  < e-mail > wamberg@lia.ufc.br < / e-mail >
< / Pessoa >
```

Os marcadores < Pessoa > e < / Pessoa > descrevem a estrutura do elemento Pessoa. O elemento Pessoa é composto por dois sub-elementos: nome e e-mail. Como podemos observar, os marcadores de um documento são balanceadas, ou seja, são fechadas na ordem inversa da que foram abertas.

Um elemento pode possuir um ou mais atributos. Estes são especificados no marcador inicial do elemento. O valor de um atributo é sempre um texto e deve aparecer entre aspas.

**Exemplo 3.2:** Considere o documento XML apresentado no Exemplo 3.1 acrescido do CPF como atributo do elemento `pessoa`. O novo documento é apresentado a seguir:

```
<pessoa cpf="75700998315">  
  <nome>Wamberg </nome>  
  <e-mail>wamberg@lia.ufc.br </e-mail>  
</pessoa>
```

Um documento XML pode ser considerado bem formado e válido. Para ser bem formado, o documento deve obedecer algumas regras, tais como: (1) conter pelo menos um elemento; (2) conter um único marcador inicial e marcador final descrevendo um elemento que contenha todo o documento (chamado elemento raiz); e (3) todas as outras marcas devem estar aninhadas apropriadamente. Os documentos XML apresentados anteriormente (Exemplo 3.1 e Exemplo 3.2) são documentos XML bem formados.

Para ser válido um documento precisa ser bem-formado e deve estar de acordo com a gramática que define sua estrutura. Esta gramática é definida através de um esquema XML, que descreve a estrutura de um documento, determinando os elementos que podem participar deste documento e também os que podem estar associados a esses elementos. A Seção 3.2 mostra como definir esquemas para documentos XML.

A verificação sintática de um documento XML, que identifica se este é ou não bem formado, é realizada por um *parser*. Os *parsers* de validação, além de detectar se um documento é bem formado, são capazes de verificar se o mesmo está de acordo com o seu esquema XML associado, ou seja, verifica se o documento é válido ou não.

## 3.2 Esquemas XML

Um esquema descreve a estrutura lógica de uma fonte de informação, incluindo os tipos dos dados, os relacionamentos entre os dados e as restrições envolvendo os dados. Para XML, um esquema é usado para descrever os elementos, o conteúdo dos elementos, a lista de atributos de um determinado elemento e as restrições sobre os elementos/atributos. Além disso, um esquema é útil para validar o conteúdo de um documento, ou seja, para determinar se um documento está de acordo com a gramática definida pelo esquema. E essa gramática pode ser reutilizada para validar e definir a estrutura de outros documentos.

A funcionalidade de validar um documento XML é muito importante no contexto de aplicações *web* que trocam informações entre diversas fontes, pois com a definição de esquema é possível verificar se um determinado documento está de acordo com a estrutura esperada, facilitando o processamento de dados pelas aplicações.

A primeira linguagem proposta para definição de esquemas XML foi a DTD (*Document Type Definition*) [47]. Entretanto, a DTD possui algumas limitações como pode ser observado em [48]. Para sobrepor as limitações da DTD, outras linguagens foram propostas. Entre elas, destacamos: XML Schema [38,39] e RDF [49]. Estas linguagens são mais ricas em semântica e oferecem recursos adicionais para definição de esquemas. Uma análise comparativa dessas e de outras linguagens para definição de esquemas XML é apresentada no trabalho [50].

Os esquemas das visões XML publicadas pelo XML *Publisher* são definidos usando um subconjunto da linguagem XML *Schema*. Sendo assim, na seção a seguir discutimos as características dessa linguagem, destacando apenas as características implementadas no XML *Publisher*.

### 3.2.1 XML Schema

A linguagem XML *Schema* introduz novos construtores que a tornam mais expressiva que DTD e permite não só especificar a sintaxe de um documento XML, mas também: especificar o tipo de dados do conteúdo de cada elemento; herdar sintaxe de outros esquemas; criar tipos de dados simples e complexos; especificar o número mínimo e máximo de vezes que um elemento pode ocorrer; entre outros. Com isso, XML *Schema* pode ser utilizada em uma maior variedade de aplicações, além de ter a vantagem de ser escrita em sintaxe XML, não sendo necessário, portanto, aprender uma nova sintaxe. Essa facilidade nos permite utilizar qualquer ferramenta que trabalha com documentos XML para trabalhar com XML *Schema* [51].

Na Figura 3.2, apresentamos um exemplo de uso da linguagem XML *Schema*. Como pode ser observado, trata-se de um documento XML cujo elemento raiz é **Schema**. Na linguagem, todas as declarações de elementos, atributos e tipos devem ser inseridas entre os marcadores do elemento **Schema**.

<pre> &lt;bib&gt; &lt;livro autoresref="A"&gt;   &lt;ano&gt; 1999 &lt;/ano&gt;   &lt;isbn&gt; 3826561422 &lt;/isbn&gt;   &lt;titulo&gt; Transaction Management in Multidatabase Systems &lt;/titulo&gt;   &lt;editora&gt; Shaker-Verlag &lt;/editora&gt; &lt;/livro&gt; &lt;artigo autoresref="A1 A2"&gt;   &lt;ano&gt; 2000 &lt;/ano&gt;   &lt;cdu&gt; 681.31:061.68 &lt;/cdu&gt;   &lt;titulo&gt; Temporal Serialization Graph Testing &lt;/titulo&gt;   &lt;local_publicacao&gt; XV SBBDD &lt;/local_publicacao&gt; &lt;/artigo&gt; &lt;autor id_autor="A" instituicaoref="I"&gt;   &lt;nome&gt; Ângelo Brayner &lt;/nome&gt;   &lt;e-mail&gt; brayner@unifor.br &lt;/e-mail&gt; &lt;/autor&gt; &lt;autor id_autor="A2" instituicaoref="I1 I2"&gt;   &lt;nome&gt; José Maria Monteiro &lt;/nome&gt; </pre>	<pre>   &lt;e-mail&gt; zemaria@lia.ufc.br &lt;/e-mail&gt; &lt;/autor&gt; &lt;instituicao id_instituicao="I"&gt;   &lt;nome&gt; Unifor &lt;/nome&gt;   &lt;endereco&gt;     &lt;cidade&gt; Fortaleza &lt;/cidade&gt;     &lt;estado&gt; Ceará &lt;/estado&gt;     &lt;pai&gt; Brasil &lt;/pais&gt;   &lt;/endereco&gt; &lt;/instituicao&gt; &lt;instituicao id_instituicao="I2"&gt;   &lt;nome&gt; UFC &lt;/nome&gt;   &lt;telefone&gt; 288-9845 &lt;/telefone&gt;   &lt;endereco&gt;     &lt;cidade&gt; Fortaleza &lt;/cidade&gt;     &lt;estado&gt; Ceará &lt;/estado&gt;     &lt;pais&gt; Brasil &lt;/pais&gt;   &lt;/endereco&gt; &lt;/instituicao&gt; &lt;/bib&gt; </pre>
---	---

**Figura 3.1: Bib.xml**

A seguir, descrevemos os principais componentes da linguagem XML *Schema*. Para exemplificar o uso destes componentes, utilizamos o esquema que representa a estrutura do documento Bib.xml, apresentado na Figura 3.1.

### **Declaração de Elemento**

Elementos são declarados utilizando o marcador `<element>`. Os principais atributos deste são: `name`, que associa o elemento declarado a um nome; `type`, que atribui um tipo ao elemento; e `minOccurs` e `maxOccurs`, que especificam a restrição mínima e máxima de ocorrência do elemento, respectivamente: se a restrição mínima for igual a zero, o elemento é opcional, caso contrário é obrigatório; e se a restrição máxima for igual a um, o elemento é mono-ocorrência, caso contrário é multi-ocorrência.

Considere, por exemplo, o elemento `autor`. A declaração `<element name="autor" type="Tautor" minOccurs="0" maxOccurs="unbounded"/>` especifica que este elemento é do tipo `Tautor` e a restrição de ocorrência é opcional e multi-ocorrência.

### **Declaração de Atributo**

Atributos são declarados utilizando o marcador `<attribute>`. Os principais atributos deste são: `name`, que associa o atributo declarado a um nome; `type`, que atribui um tipo ao atributo (o tipo do atributo indica a sua cardinalidade: se o tipo do atributo for `IDREFS`, este é multivalorado, caso contrário é monovalorado) e `use`, que especifica a restrição de

ocorrência do atributo: se o use não estiver explícito na declaração do atributo ou se seu valor for *optional*, o valor do atributo é opcional, caso contrário é obrigatório.

Considere o atributo id\_instituição. A declaração `<attribute name="id_instituição" type="ID" use="required"/>` especifica que este atributo é do tipo ID é monovalorado e obrigatório.

1 <Schema>	34 <extension base="Tpublicacao">
2 <element name="bib">	35 <sequence>
3 <complexType>	36 <element name="editora" type="String"/>
4 <sequence>	37 </sequence>
5 <element name="livro" type="Tlivro" minOccurs="0"	38 </extension>
maxOccurs="unbounded"/>	39 </complexContent>
6 <element name="artigo" type="Tartigo" minOccurs="0"	40 </complexType>
maxOccurs="unbounded"/>	41 <complexType name=" Tautor">
7 <element name="autor" type="Tautor" minOccurs="0"	42 <sequence>
maxOccurs="unbounded"/>	43 <element name="nome" type="String"/>
8 <element name="instituicao" type="Tinstituicao"	44 <element name="e-mail" type="String"/>
minOccurs="0" maxOccurs="unbounded"/>	45 </sequence>
9 </sequence>	46 <attribute name="id_autor" type="ID" use="required"/>
10 </complexType>	47 <attribute name="instituicaoref" type="IDREF"
11 </element>	use="optional"/>
12 <complexType name=" Tpublicacao">	48 </complexType>
13 <sequence>	49 <complexType name=" Tinstituicao">
14 <element name="ano" type="String"/>	50 <sequence>
15 <choice>	51 <element name="nome" type="String"/>
16 <element name="isbn" type="Integer"/>	52 <element name="telefone" minOccurs="0"
17 <element name="cdu" type="Integer"/>	maxOccurs="1" />
18 </choice>	53 <element name="endereco" type="Tendereco"/>
19 <element name="titulo" type="String"/>	54 </sequence>
20 </sequence>	55 <attribute name="id_instituicao" type="ID"
21 <attribute name="autoresref" type="IDREFS"	use="required"/>
use="required"/>	56 </complexType>
22 </complexType>	57 <complexType name="Tendereco">
23 <complexType name="Tartigo">	58 <sequence>
24 <complexContent>	59 <element name="cidade" type="String"/>
25 <extension base="Tpublicacao" >	60 <element name="estado" type="String"/>
26 <sequence>	61 <element name="pais" type="String"/>
27 <element name="local-publicacao" type="String"/>	62 </sequence>
28 </sequence>	63 </complexType>
29 </extension>	64 </Schema>
30 </complexContent>	
31 </complexType>	
32 <complexType name="Tlivro">	
33 <complexContent>	

**Figura 3.2:** XML Schema de *Bib.xml*

## Definição de Tipos

Os tipos restringem o conteúdo permitido para um elemento ou atributo. Existem duas espécies de tipos em XML *Schema*: tipos simples (`simpleType`) e tipos complexos (`complexType`). Um tipo simples restringe o conteúdo de um atributo ou o conteúdo textual de um elemento. Um tipo complexo restringe o conteúdo permitido para elementos, em termos dos seus atributos ou sub-elementos.

Na linguagem XML *Schema*, para definir um tipo complexo, usamos o marcador `<complexType>`. Os tipos simples não precisam ser definidos, pois a especificação da XML *Schema* contempla um conjunto expressivo de tipos primitivos [39]. No entanto, é possível criar novos tipos de dados simples que correspondem a refinamentos de tipos primitivos. Para esse propósito, usamos o marcador `<simpleType>`.

O atributo `name` dos marcadores `<simpleType>` e `<complexType>` define o nome do tipo que está sendo definido. Quando esses marcadores não possuem o atributo `name`, dizemos que se trata de uma declaração de tipo anônima. Neste caso, a definição do tipo vem aninhada na declaração de um elemento. Por exemplo, no esquema da Figura 3.2, a declaração do elemento `bib` (linhas 2 a 11) contém uma definição de tipo anônima, que especifica que o elemento `bib` contém os elementos `artigo`, `livro`, `autor` e `instituicao`.

Nas declarações de tipos complexos, além das restrições de ocorrência declaradas para elementos individuais, a XML *Schema* provê restrições a serem aplicadas a grupos de elementos. Essas restrições também podem ser chamadas de delimitadores de grupos. Existem três tipos de delimitador de grupo:

- *sequence*, indica que os elementos do grupo devem aparecer no documento na mesma ordem em que foram declarados no esquema. Por exemplo, na Figura 3.2 (linhas 49 a 56), a declaração do tipo complexo `Tinstituicao` especifica que os elementos `nome`, `telefone` e `endereco`, contidos neste tipo, devem aparecer nesta ordem no documento. Os tipos complexos definidos nos esquemas XML das visões XML publicadas no XML *Publisher*, usam apenas esse delimitador de grupo;
- *all*, estabelece que todos os elementos do grupo podem aparecer uma ou nenhuma vez, e que eles podem aparecer em qualquer ordem;
- *choice*, indica que somente um dos elementos declarados no grupo pode aparecer no documento.

Um tipo complexo também pode ser definido a partir da extensão de um outro tipo complexo. No esquema da Figura 3.2 a definição do tipo `Tartigo` (linhas 23 a 31) especifica que o tipo complexo `Tartigo` é definido a partir do tipo complexo `Tpublicacao` (linha 25). Assim, um elemento do tipo complexo `Tartigo` contém os elementos do tipo complexo `Tpublicacao`, além do elemento `local-publicacao`. Neste caso, podemos dizer que `Tartigo` é um subtipo de `Tpublicacao`.

### **Restrições de Integridade**

XML Schema oferece, além do ID/IDREF/IDREFS, outros mecanismos de restrição de integridade, tais como: `key` e `keyref`. Estas restrições de integridade oferecem vantagens em relação ao ID/IDREF/IDREFS, tais como: (i) podem ser aplicadas tanto a elementos como a atributos; (ii) podem ser aplicadas a mais de um elemento ou atributo; (iii) permitem limitar o escopo, no qual o valor do elemento ou do atributo deve ser único, ou deve referenciar; e (iv) a restrição `keyref` permite capturar o tipo dos elementos ou dos atributos que estão sendo referenciados através do escopo da chave referenciada.

Para exemplificar a especificação de restrições de integridade na linguagem XML Schema, redefinimos o esquema XML Schema `Bib1`. Esta nova versão é apresentada na Figura 3.3.

### **Restrição de Integridade de Chave**

XML Schema permite especificar, através do construtor `key`, que o valor de um conjunto de elementos ou atributos deve ser único dentro de um determinado escopo e, além de único, pode ser referenciado.

Considere a restrição de chave `key#3` (linhas 12 a 16). Esta restrição especifica que os valores dos elementos `nome` e `e-mail` são únicos dentro do escopo do conjunto de elementos `autor1` selecionados pela expressão de caminho `$bib1/autor`.

A Figura 3.4 mostra como uma `key` é declarada. Como podemos observar, o construtor `key` contém:

- um atributo `name` (N), que identifica unicamente a restrição.
- um elemento `selector` ( $\delta_1$ ), que especifica o escopo, através de uma expressão de caminho, para o qual a restrição é declarada.

- um ou mais elementos field ( $\delta_{11}, \dots, \delta_{1n}$ ), que determina(m), através de uma ou mais expressões de caminho, o conjunto de elementos ou atributos que deve ser único dentro do escopo especificado pelo selector.

<pre> 1 &lt;schema&gt; 2 &lt;element name="bib"&gt; 3 &lt;key name="key#1"&gt; 4 &lt;selector xpath="artigo"/&gt; 5 &lt;field xpath="isbn"/&gt; 6 &lt;field xpath="titulo"/&gt; 7 &lt;/key&gt; 8 &lt;key name="key#2"&gt; 9 &lt;selector xpath="livro"/&gt; 10 &lt;field xpath="isbn"/&gt; 11 &lt;/key&gt; 12 &lt;key name="key#3"&gt; 13 &lt;selector xpath="autor"/&gt; 14 &lt;field xpath="nome"/&gt; 15 &lt;field xpath="e-mail"/&gt; 16 &lt;/key&gt; 17 &lt;key name="key#4"&gt; 18 &lt;selector xpath="instituição"/&gt; 19 &lt;field xpath="@id_instituição"/&gt; 20 &lt;/key&gt; 21 &lt;keyref name="keyref#1" refer="key#3"&gt; 22 &lt;selector xpath="artigo"/&gt; 23 &lt;field xpath="nome-autor"/&gt; 24 &lt;field xpath="e-mail-autor"/&gt; 25 &lt;/keyref&gt; 26 &lt;keyref name="keyref#2" refer="key#3"&gt; 27 &lt;selector xpath="livro"/&gt; 28 &lt;field xpath="nome-autor"/&gt; 29 &lt;field xpath="e-mail-autor"/&gt; 30 &lt;/keyref&gt; 31 &lt;keyref name="keyref#3" refer="key#4"&gt; 32 &lt;selector xpath="autor"/&gt; 33 &lt;field xpath="@instituiçãoref"/&gt; 34 &lt;/keyref&gt; 35 &lt;complexType&gt; 36 &lt;sequence&gt; 37 &lt;element name="artigo" type="Tartigo" 38 minOccurs="0" maxOccurs="unbounded"/&gt; 39 &lt;element name="livro" type="Tlivro" 40 minOccurs="0" maxOccurs="unbounded"/&gt; 41 &lt;element name="autor" type="Tautor" 42 minOccurs="0" maxOccurs="unbounded"/&gt; 43 &lt;element name="instituição" type="Tinstituição" 44 minOccurs="0" maxOccurs="unbounded"/&gt; 45 &lt;/sequence&gt; 46 &lt;/complexType&gt; 47 &lt;/element&gt; </pre>	<pre> 44 &lt;complexType name="Tpublicação"&gt; 45 &lt;sequence&gt; 46 &lt;element name="ano" type="Integer"/&gt; 47 &lt;element name="isbn" type="String"/&gt; 48 &lt;element name="titulo" type="String"/&gt; 49 &lt;element name="nome-autor" type="String" 50 minOccurs="1" maxOccurs="unbounded"/&gt; 51 &lt;element name="e-mail-autor" type="String" 52 minOccurs="1" maxOccurs="unbounded"/&gt; 53 &lt;/sequence&gt; 54 &lt;/complexType&gt; 55 &lt;complexType name="Tartigo"&gt; 56 &lt;complexContent&gt; 57 &lt;extension base="Tpublicação" &gt; 58 &lt;sequence&gt; 59 &lt;element name="local-publicação" type="String"/&gt; 60 &lt;/sequence&gt; 61 &lt;/extension&gt; 62 &lt;/complexContent&gt; 63 &lt;/complexType&gt; 64 &lt;complexType name="Tlivro"&gt; 65 &lt;complexContent&gt; 66 &lt;extension base="Tpublicação"&gt; 67 &lt;sequence&gt; 68 &lt;element name="editora" type="String"/&gt; 69 &lt;/sequence&gt; 70 &lt;/extension&gt; 71 &lt;/complexContent&gt; 72 &lt;/complexType&gt; 73 &lt;complexType name="Tautor"&gt; 74 &lt;sequence&gt; 75 &lt;element name="nome" type="String"/&gt; 76 &lt;element name="e-mail" type="String"/&gt; 77 &lt;/sequence&gt; 78 &lt;attribute name="instituiçãoref" type="IDREF"/&gt; 79 &lt;/complexType&gt; 80 &lt;complexType name="Tinstituição"&gt; 81 &lt;sequence&gt; 82 &lt;element name="nome" type="String"/&gt; 83 &lt;element name="endereço" type="String"/&gt; 84 &lt;/sequence&gt; 85 &lt;attribute name="id_instituição" type="ID"/&gt; 86 &lt;/complexType&gt; 87 &lt;/schema&gt; </pre>
--	--

**Figura 3.3:**

```

<key name="N">
  <selector xpath="δ1">
  <field xpath="δ11">
  ...
  <field xpath="δ1n">
</key>

```

**de integridade**

**Figura 3.4:** Declaração de Restrição de Chave

**Restrição de Integridade Referencial**

XML Schema permite declarar, através do construtor `keyref`, que o valor de um conjunto de elementos ou atributos é uma referência ao valor de um outro conjunto de elementos ou atributos.

Considere a restrição referencial `keyref#1` (linhas 21 a 25). Esta restrição especifica que, dentro do escopo do conjunto de elementos em `$bib/artigo`, os elementos `nome-autor` e `e-mail-autor` destes elementos referenciam a chave `key#3`. Ou seja, para qualquer `$p` em `$bib1/artigo`, existe um `$a` em `$bib1/autor` tal que `$p/nome-autor = $a/nome` e `$p/e-mail-autor = $a/e-mail`.

A Figura 3.5 mostra como uma `keyref` é declarada. O construtor `keyref` contém:

- um atributo `name` (`ref`), que identifica unicamente a restrição.
- um atributo `refer` (`N`), que indica a restrição de chave associada à referência.
- um elemento `selector` (`δ2`), que especifica o escopo, através de uma expressão de caminho, para o qual a restrição é declarada.
- um ou mais elementos `field` (`δ21`, ..., `δ2n`), que determina(m), através de uma ou mais expressões de caminho, o conjunto de elementos ou atributos que deve corresponder ao conjunto de elementos ou atributos especificado pela restrição de chave correspondente.

```
<keyref name="ref" refer="N">
  <selector xpath="δ2">
    <field xpath="δ21">
      ...
    <field xpath="δ2n">
  </keyref>
```

**Figura 3.5:** Declaração de Restrição de Integridade Referencial

### 3.3.2 Representação Gráfica para XML Schema

Nesta seção apresentamos a notação utilizada neste trabalho para representar graficamente a estrutura definida por um XML *Schema*. Esta notação utiliza uma representação estruturada em “árvore de diretórios”, onde cada nó da árvore representa um elemento ou atributo declarado no respectivo esquema XML.

Para cada declaração de elemento ou atributo é gerado um nó na árvore. Se o elemento for de um tipo complexo, será gerado um nó-filho na árvore para cada item da sua estrutura. Cada nó deve ser rotulado com o nome do elemento ou atributo, seu tipo (se não for anônimo) e sua restrição de ocorrência. Para atributos, seu nome é precedido do símbolo “@”. Se o elemento ou atributo é monocorrência e obrigatório, a restrição de ocorrência é vazia. Se o elemento for monocorrência e opcional, a restrição de ocorrência é “?”. Se o elemento for multiocorrência e opcional, a restrição de ocorrência é “\*”. Finalmente, se o elemento for multiocorrência e obrigatório, a restrição de ocorrência é “+”.

A árvore mostrada na Figura 3.6 acima é a representação gráfica do esquema XML apresentado na Figura 3.2. O primeiro nó da árvore é bib, e representa o elemento raiz bib declarado na linha 2 do XML *Schema*. Como podemos perceber no XML *Schema*, a declaração de tipo desse elemento é anônima. Sendo assim, sua representação gráfica não acompanha um tipo como nos demais nós da árvore. Os nós filhos de bib são livro, autor e instituicao, pois no XML *Schema* esses elementos estão declarados como o conteúdo do tipo complexo de bib (linhas 3 a 10 da Figura 3.2). Cada um desses nós filhos são rotulados com o nome do respectivo elemento, o símbolo “\*”, que denota a restrição de ocorrência zero ou muitos, e o nome do respectivo tipo.

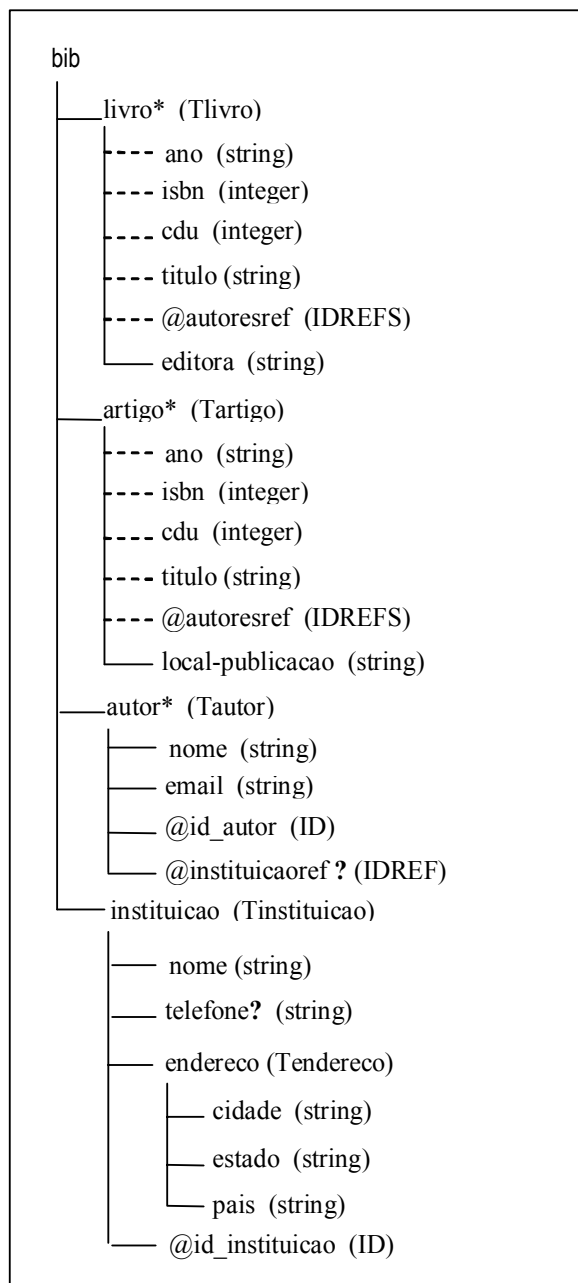


Figura 3.6: Representação gráfica para Bib.xml.

### 3.3 Linguagens de Consulta para XML

Como grandes quantidades de dados estão sendo armazenadas, trocadas e publicadas utilizando o modelo XML. A habilidade de consultar inteligentemente bancos de dados XML tornou-se muito importante. Entretanto, dados XML são diferentes dos dados de banco de dados relacionais ou orientados a objetos. Em bancos de dados relacionais e orientados a objetos, existe a noção de esquema fixo, pré-definido e independente dos dados.

Em XML, o esquema existe juntamente com os dados, bem como, dados XML não seguem uma estrutura rígida. Assim, linguagens de consulta convencionais como SQL e OQL não são adequadas para especificar consultas em documentos XML. Devido a essa flexibilidade da linguagem XML, devemos ter uma linguagem de consulta XML que possua características para retornar e interpretar as informações consultadas.

Muitas linguagens de consulta para XML têm sido propostas, como, XML-QL [2], XSL [34], XQL [52], *XPath* [3] e *XQuery* [4]. Neste trabalho, utilizamos a linguagem de consulta XQuery, a qual está em processo de recomendação pela W3C e agrega características de diversas outras linguagens de consulta para XML [52,53], bem como SQL e OQL.

As visões XML publicadas no *XML Publisher* podem ser atualizadas usando a extensão da linguagem *XQuery* que será apresentada na Seção 3.3.3 e no Capítulo 6. *XQuery* usa *XPath* para endereçar partes do documento XML consultado. Sendo assim, descrevemos a seguir os principais aspectos das linguagens *XPath* e *XQuery* propostas pelo W3C.

### **3.3.1 XPath**

A linguagem *XPath* é uma recomendação do W3C para acessar partes de um documento XML. Esta linguagem usa uma notação de caminhos para navegar através da estrutura hierárquica de um documento XML e foi projetada para ser inserida em outras linguagens chamadas de *host languages*, tais como XSLT e *XQuery*.

*XPath* modela um documento XML como uma árvore de nós. Este modelo em árvore é apenas conceitual e possui diferentes tipos de nós, tais como, nós-documento, nós-elemento, nós-texto, nós-atributo, entre outros. Para cada tipo de nó, há um modo de determinar seu valor literal (*string-value*). Para alguns tipos de nós o valor é parte do nó; para outros, esse valor é computado a partir do valor de nós descendentes. Por exemplo, o valor de um nó-elemento consiste da concatenação do valor de todos os nós-texto descendentes do nó-elemento na ordem do documento.

O nó-documento encapsula todo o documento XML; ele é o ponto de partida na árvore que descreve o documento XML. Os nós-elemento encapsulam os elementos XML, e podem ter nós-elemento, nós-texto e outros como seus filhos. Nós-elementos também podem conter nós- atributos.

A linguagem XPath é utilizada para navegar através de caminhos em um documento XML. Está sendo desenvolvida pelos grupos *W3C XML Query Working Group* e *XSL Working Group* e projetada para ser inserida em outras linguagens (chamadas de *host language*), como por exemplo, XQuery.

XPath utiliza o modelo de dados de consulta XML do W3C, o qual representa um documento XML como uma árvore rotulada nos nós. XPath explora o contexto hierárquico e seqüencial de elementos em um documento XML para localizar um elemento de interesse.

O bloco de construção básico da linguagem XPath é a expressão. A linguagem provê diversos tipos de expressão que podem ser construídos a partir de palavras-chave, símbolos e operandos. Em geral, os operandos de uma expressão são outras expressões. XPath é uma linguagem funcional que permite que vários tipos de expressão sejam aninhados.

A expressão que localiza um nó em uma árvore e retorna uma seqüência de nós distintos na ordem do documento é chamada de expressão de caminho. Tal expressão consiste de um ou mais passos. Cada passo representa um movimento ao longo do documento em uma determinada direção e retorna uma lista de nós que servem como um ponto de partida para o próximo passo.

A seguir, exemplificamos algumas expressões de caminho utilizadas para consultar o documento XML *bib.xml* apresentado na Figura 3.1.

**Exemplo 3.3:** A expressão de caminho **document("bib.xml")/bib/artigo/titulo** consiste em quatro passos: o primeiro passo seleciona o documento XML *bib.xml*; o segundo seleciona o elemento raiz de *bib.xml*; o terceiro seleciona os elementos *artigo*, filhos do elemento raiz e o quarto passo seleciona os elementos *titulo* dos elementos *artigo* recuperados no passo anterior. Assim, essa expressão retorna todos os elementos *titulo* contidos nos elementos *artigo*, contidos no elemento *bib* do documento *bib.xml*. O exemplo abaixo mostra o XML retornado por essa consulta:

```
<titulo> Temporal Serialization Graph Testing </titulo>
```

Para simplificar o próximo exemplo, utilizamos a variável **\$bib** para substituir a expressão **document("bib.xml")/bib**:

**Exemplo 3.4:** A expressão de caminho **\$bib/livro [ano = “1999”]** retorna todos os elementos livro em **\$bib** que possuem o elemento ano igual a “1999”. O exemplo abaixo mostra o XML retornado por essa consulta:

```
<livro autoresref="A">
  <ano> 1999 </ano>
  <isbn> 3826561422 </isbn>
  <titulo> Transaction Management in Multidatabase Systems </titulo>
  <editora> Shaker-Verlag </editora>
</livro>
```

### 3.3.2 XQuery

*XQuery* [4] é a linguagem de consulta padrão que está sendo elaborada pelo W3C e utiliza o mesmo modelo de dados apresentado na seção anterior. Trata-se de uma linguagem funcional na qual consultas são representadas como expressões. Numa consulta *XQuery* expressões têm a forma de variáveis, expressões de caminhos, chamada a funções, expressões condicionais, construtores de elementos, expressões FLWR( For-Let-Where-Return) etc., e podem ser aninhadas e combinadas usando operadores lógicos e aritméticos.

Para navegar através de caminhos na estrutura de um documento XML, *XQuery* usa expressões de “caminho” cuja sintaxe é uma abreviação da sintaxe *XPath*. O resultado do cálculo de uma expressão de caminho sobre um documento XML retorna uma floresta ordenada consistindo em nós que satisfazem a expressão e seus descendentes [9]. A ordem do resultado é ditada pela ordem dos elementos dentro do documento XML consultado.

Uma característica poderosa de *XQuery* é a presença de expressões FLWR. Uma expressão FLWR é usada sempre que é necessário interagir sobre elementos de uma coleção. As cláusulas *for-let* fazem variáveis interagirem sobre o resultado de uma expressão ou atribui o valor de expressões arbitrárias a variáveis. A cláusula *where* permite especificar restrições sobre essas variáveis. A cláusula *return* gera a saída da expressão FLWR, que pode ser um nodo, uma floresta ordenada de nodos, ou um valor primitivo. A cláusula *return* contém uma expressão geralmente composta por construtores de elementos, variáveis e sub-expressões aninhadas.

A seguir, apresentamos uma extensão da linguagem de consulta XQuery que permite atualizar dados XML.

### 3.3.3 Operadores para atualizar dados XML

Neste trabalho, utilizamos a extensão da linguagem de consulta XQuery proposta em [16]. Esta extensão corresponde à implementação dos operadores que são necessários para efetuarmos operações de atualização em documentos XML.

São definidos os seguintes operadores insert, delete e replace:

**INSERT (conteúdo):** Insere um conteúdo (o qual pode ser PCDATA, elemento, atributo ou referência) em um objeto selecionado na expressão de caminho.

**DELETE (\$filho):** Se \$filho é membro do objeto selecionado na expressão de caminho, ele será removido. Tipos válidos para para \$filho incluem PCDATA, atributo, IDREF dentro de uma lista de IDREFS e elemento.

**REPLACE (\$filho, conteúdo):** Operação atômica de substituição, equivalente a execução de um INSERT (conteúdo) seguido da execução de um DELETE (\$filho).

O conjunto de operações apresentadas expressa logicamente atualizações XML. Em [16], essas operações são mapeadas para a sintaxe da linguagem XQuery. XQuery foi estendida com a seguinte estrutura para atualizações : FOR...LET... WHERE...UPDATE. Sendo especificada uma seqüência de suboperações na cláusula UPDATE:

```
FOR $L1 IN ExpressãodeCaminho(Xpath)...,
LET $L := ExpressãodeCaminho(Xpath) ...,
WHERE predicado1,.....
UpdateOp
```

**Figura 3.7:** Extensão XQuery

Onde **UpdateOp** é definido da seguinte forma:

```
UPDATE $L {subOp {subOp}*}
E subOp é:
DELETE $filho |
INSERT conteúdo (PCDATA | elemento| atributo) |
REPLACE $filho WITH $conteúdo |
FOR $L' IN SubExpressãodeCaminho(Xpath) ...,
WHERE predicado2...,
UpdateOp
```

**Figura 3.8:** Operadores da extensão XQuery

Considere o documento Bib.xml da Figura 3.1. Agora apresentamos um exemplo XQuery para cada uma das operações básicas:

- Inserção - Apresentamos o operador de inserção no exemplo da Figura 3.9, o qual insere um elemento “livro”. O elemento “livro” contém os seguintes elementos filhos: “ano”, “título”, “isbn” e “editora”, bem como, possui o atributo: “autoresref”, o qual é uma referência para o elemento “autor” do tipo Tautor.

```
LET $a := document("bib.xml")/Bib
UPDATE $a {
INSERT
<livro autoresref="A1">
  <ano> 1999 </ano>
  <isbn> 3826561422 </isbn>
  <título> Transaction Management in Multidatabase Systems </título>
  <editora> Shaker-Verlag </editora>
</livro> }
```

**Figura 3.9:** Inserção XQuery

- Remoção - Apresentamos o operador de remoção no exemplo da Figura 3.10, o qual apaga um elemento “livro” que possui o título “Transaction Management in Multidatabase Systems”.

```
FOR $a IN document("bib.xml")/bib/livro
WHERE $a/título = "Transaction Management in
Multidatabase Systems"
UPDATE $a {
DELETE $a }
```

**Figura 3.10:** Remoção XQuery

- Modificação – Modificar o valor de um item tem o mesmo efeito que uma operação de remoção seguida de uma inserção, entretanto é útil possibilitar que uma atualização aconteça através de uma simples operação atômica. Assim, na Figura 3.8, apresentamos o operador de modificação **replace**, o qual modifica o valor do elemento “título” para “Transaction Management”, onde o isbn do elemento “livro” é “3826561422”.

```
FOR $a in document("bib.xml")/bib/livro[isbn="3826561422"]
UPDATE $a {
REPLACE $a/titulo/text() WITH "Transaction Management" }
```

**Figura 3.11:** Modificação Xquery

## Capítulo 4 - Atualização de Visões XML no XML Publisher

---

Neste Capítulo, apresentamos o processo de tradução de atualizações de visões XML no XML *Publisher*, um *framework* para publicação (consulta e atualização) de dados objeto-relacionais através de visões XML proposto em [24]. No XML *Publisher*, para cada visão XML publicada existe uma visão de objetos associada, chamada visão de objetos *default* (VOD), e consultas e atualizações sobre as visões XML são especificadas em *XQuery*. A tradução de consultas e atualizações *XQuery* no *framework* é facilitada; uma vez que a visão XML e sua VOD têm a mesma estrutura.

Este capítulo é organizado da seguinte forma. A Seção 4.1 contém uma visão geral do *framework*, com ênfase na tradução de atualizações; na Seção 4.2, descrevemos os passos para publicar visões XML no XML *Publisher*; na Seção 4.3, mostramos como atualizações *XQuery* são traduzidas no *framework*; na Seção 4.4, apresentamos como acessar o XML *Publisher* através de requisições http; na Seção 4.5, descrevemos o algoritmo para gerar o tipo da VOD a partir do esquema da visão XML.

### 4.1 Introdução

Para publicar uma visão XML no XML *Publisher*, o projetista deve definir uma visão de objetos denominada Visão de Objeto *Default* (VOD), cujos objetos têm a mesma estrutura dos elementos da visão XML, e os “*instead of triggers*” da VOD. No *framework* proposto, atualizações sobre a visão XML são traduzidas em atualizações sobre o esquema da visão de objeto. Essa tradução é simplificada, dado que os elementos da visão XML têm estrutura isomórfica à estrutura dos objetos da VOD. As visões de objeto são definidas sobre o esquema do banco de dados, ficando assim a cargo destas resolver o problema do mapeamento de tuplas de tabelas (relacionais ou objeto relacionais) em objetos de tipo complexo cuja estrutura é compatível com a estrutura do tipo dos elementos da visão XML.

Como foi discutido no Capítulo 2, através do mecanismo de visões de objeto conseguimos facilmente definir visões lógicas, ricamente estruturadas, sobre um banco de

dados já existente. No Oracle 9i, uma visão de objeto é definida através de uma consulta SQL3 que especifica como os objetos da visão são sintetizados a partir dos dados do banco de dados, e um “*instead of trigger*” é definido através de um bloco de comandos PL/SQL3 que especifica como atualizações definidas sobre a visão de objeto são traduzidas em atualizações especificadas sobre o banco de dados.

Nesta dissertação, apresentamos o processo de geração dos tradutores (*instead of triggers*) de atualizações das visões de objeto *default* e o Módulo de Tradução de de Atualização (MTA). O processo de geração de visões de objeto *default* e o Módulo de Processamento de Consultas (MPC) são discutidos em [35].

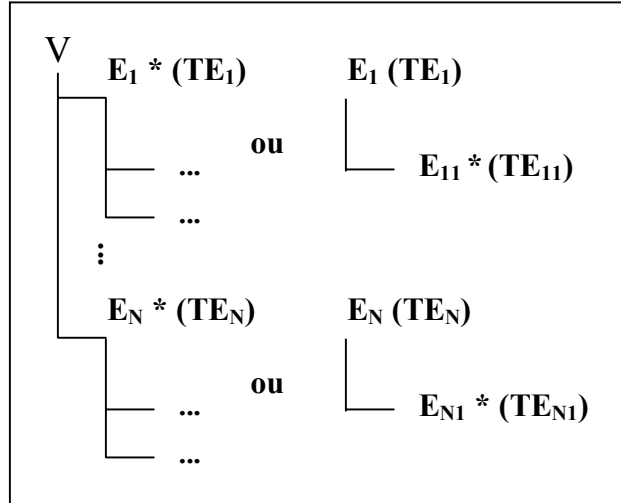
## 4.2 Ambiente para Publicação de Visões XML no XML Publisher

O XML *Publisher* oferece um ambiente para auxiliar o projetista no processo de publicação de visões XML. O processo de publicação compreende os seguintes passos: (i) especificação do esquema da visão XML; (ii) geração da respectiva VOD e “*instead of triggers*” da VOD; e (iii) configuração da visão XML no XML *Publisher*. Esses passos serão explicados nas seções a seguir.

### 4.2.1. Especificação do Esquema da visão XML

A tarefa de publicação no XML *Publisher* começa com o projetista definindo o esquema da visão XML. Consultas e atualizações *XQuery* sobre a visão XML serão definidas de acordo com esse esquema.

O esquema de cada visão XML deve ser especificado usando a linguagem XML *Schema*. Assim como uma visão de objetos contém um conjunto de objetos do mesmo tipo, uma visão XML no XML *Publisher* contém um conjunto de elementos do mesmo tipo. Sendo assim, o tipo do elemento raiz de cada visão XML definida no XML *Publisher* deve conter uma ou mais declarações de elementos multiocorrência ou monocorrência, como apresentado na figura 4.1:



**Figura 4.1:** Tipo do elemento raiz.

Observe que o elemento raiz  $V$  é composto por elementos  $E_i$  do tipo  $TE_i$ ,  $1 \leq i \leq n$ . Como veremos a seguir, escolhe-se um elemento  $E_i$  que determina o nome da VOD. Caso o elemento  $E_i$  seja multiocorrência, a estrutura de  $TE_i$  determina a estrutura da VOD. Caso contrário,  $TE_i$  é um **tipo coleção**<sup>2</sup> e a estrutura da VOD será obtida a partir da estrutura do elemento filho de  $E_i$ .

No Ambiente de publicação do XML *Publisher*, o esquema da visão XML pode ser especificado com o auxílio de uma ferramenta gráfica. Inicialmente, a ferramenta solicita o nome do elemento raiz, o caminho para o arquivo que irá armazenar o esquema XML (Figura 4.2 (a)). Em seguida, o projetista deve especificar o tipo para cada elemento filho da raiz e seus elementos (Figura 4.2 (b)). Para cada elemento são pedidos seu tipo e sua cardinalidade. No caso de elementos de tipo complexo, então um novo tipo deve ser criado (nome e elementos).

<sup>2</sup> Um tipo coleção é um tipo complexo do esquema XML composto por uma única definição de elemento multiocorrência

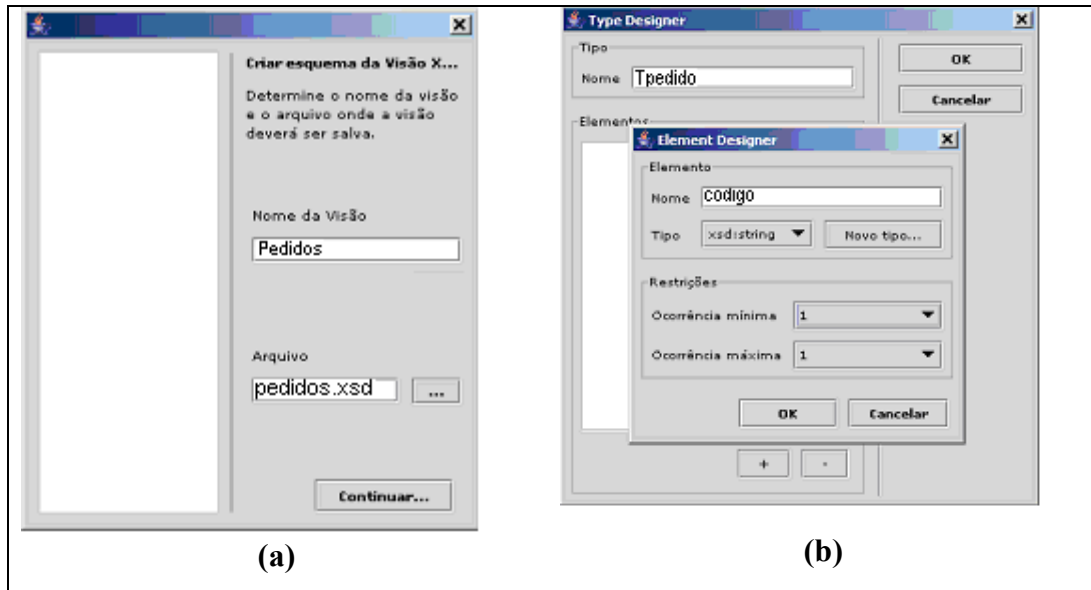


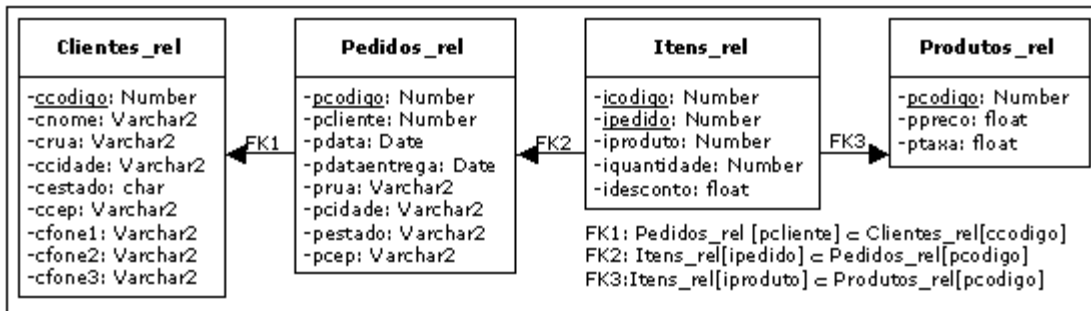
Figura 4.2: Especificando o esquema da visão XML.

#### 4.2.2. Geração da VOD e “*instead of triggers*” da VOD

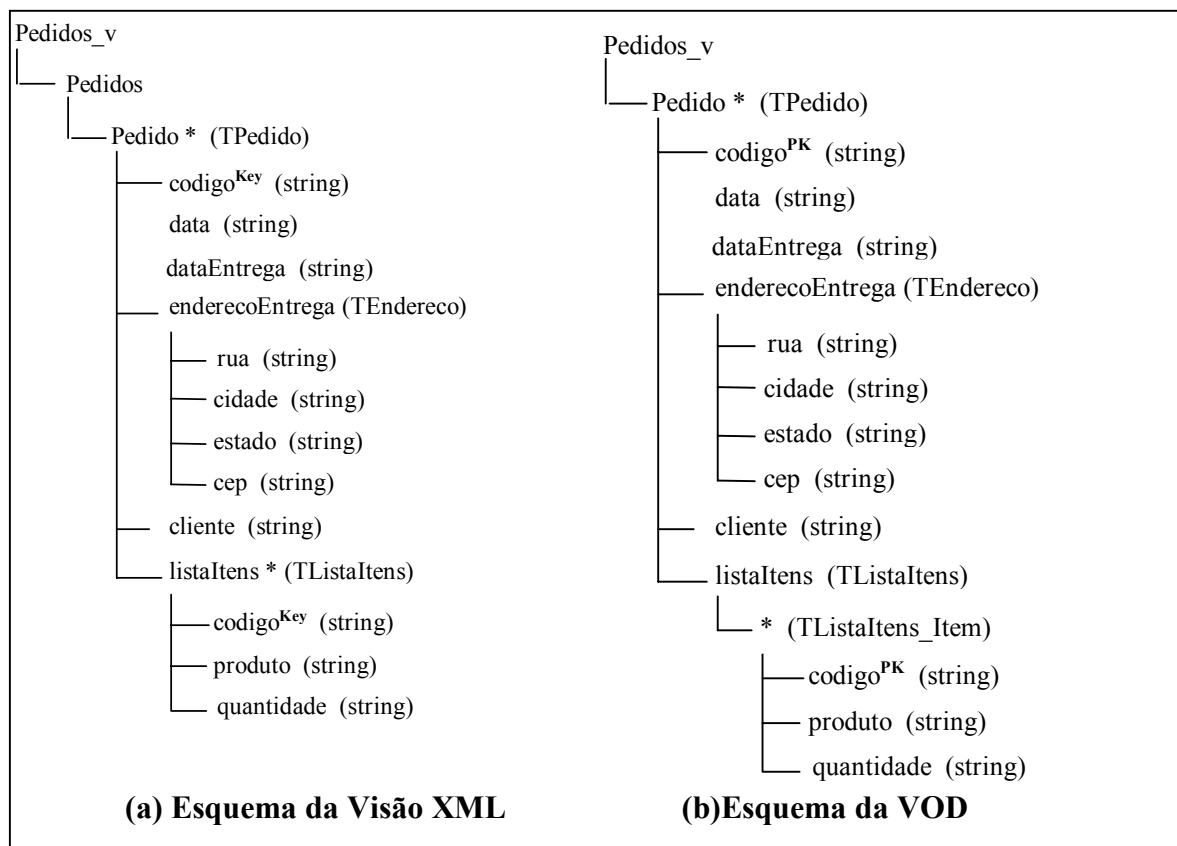
Após especificar o esquema da visão XML, o projetista segue definindo a visão de objetos *default* e os “*instead of triggers*” para a VOD. Como foi visto no Capítulo 2, para definir uma visão de objetos em um banco de dados objeto-relacional devemos criar os tipos da visão (esquema da visão) e uma consulta SQL3 que especifica como construir os objetos da visão a partir dos objetos do banco de dados. Então, o processo de geração da VOD e dos “*instead of triggers*” para a VOD consiste de três passos, como discutido a seguir.

##### Passo 1: Geração do Esquema da VOD

Os tipos da VOD têm a mesma estrutura dos tipos complexos da visão XML. Considere, por exemplo, o esquema do banco de dados  $B_1$  apresentado na Figura 4.3. Suponha que o projetista deseja publicar a visão XML Pedidos definida sobre  $B_1$ , cuja estrutura está definida na Figura 4.4 (a). O esquema da VOD de Pedidos é apresentado na Figura 4.4 (b). Observe que elementos monocorrência e multiocorrência da visão XML são diretamente mapeados em atributos monovalorados e multivalorados, respectivamente, da VOD. Por exemplo, o elemento multiocorrência listaltens é mapeado no atributo multivalorado listaltens, cujo tipo é composto por objetos do tipo  $T_{itens}$ . Os elementos de listaltens são mapeados em atributos de  $T_{itens}$ .



**Figura. 4.3:** Esquema do Banco de Dados Pedidos



**Figura 4.4:** Esquemas da Visão Pedidos

No ambiente de publicação do XML *Publisher*, a ferramenta DSG (*Default Object View Schema Generator*) gera automaticamente o esquema da VOD, com base no esquema XML da visão XML. O algoritmo implementado por essa ferramenta será apresentado na Seção 4.5.

**Passo 2:** Geração da consulta SQL3 da VOD

```
CREATE VIEW Pedidos_v OF T_pedido
WITH OBJECT IDENTIFIER (codigo) AS
  SELECT
  T_pedido( t_pedidos_rel.pcodigo,
           t_pedidos_rel.pdata,
           t_pedidos_rel.pdataEntrega,
           T_endereco ( t_pedidos_rel.prua, t_pedidos_rel.pcidade, t_pedidos_rel.pestado, t_pedidos_rel.pcep ),
           (SELECT t_clientes_rel.cnome
            FROM Clientes_rel t_clientes_rel
            WHERE t_pedidos_rel.pcliente = t_clientes_rel.ccodigo),
           CAST(MULTISET( SELECT
                       T_item( t_itens_rel.icodigo,
                              (SELECT t_produtos_rel.pnome
                               FROM Produtos_rel t_produtos_rel
                               WHERE t_itens_rel.iproduto= t_produtos_rel.pcodigo),
                              t_itens_rel.iquantidade)
                       FROM Itens_rel t_itens_rel ) AS T_lista_item )
  FROM Pedidos_rel t_pedidos_rel
```

**Figura 4.5:** Definição da VOD Pedidos\_v.

A Figura 4.5 apresenta a definição da VOD de Pedidos\_v aplicada ao banco de dados B<sub>1</sub>. A definição da VOD pode ser gerada de forma automática no ambiente de publicação do XML Publisher, através da ferramenta VBA (*View-By-Assertion*), que foi definida em [35].

**Passo 3:** Geração dos “*instead of triggers*” da VOD

Após especificar a definição da VOD, o projetista segue definindo os “*instead of triggers*” da VOD. A Figura 4.6 apresenta a definição do “*instead of trigger*” AdiçãoEmListaItens. Este trigger traduz inserções na coleção aninhada (NESTED TABLE) listaltens da visão Pedidos\_v em inserções na tabelas Itens\_rel. Observe que os valores dos atributos da tabela Itens\_rel são obtidos a partir do objeto (:new) inserido na coleção aninhada listaltens e da visão Pedidos\_v ( :parent). Os “*instead of triggers*” podem ser gerados de forma semi-automática no ambiente de publicação do XML Publisher, através da ferramenta TAV (Tradutores de Atualização de Visão), a qual é apresentada no Capítulo 5. Com TAV, o projetista inicialmente carrega o esquema da VOD e o esquema do banco de dados e, através de uma GUI, define as assertivas de correspondência entre esses esquemas. Com base no conjunto de assertivas de correspondência da visão, TAV gera

automaticamente os “*instead of triggers*” da VOD de acordo com o mapeamento definido pelas assertivas.

```
CREATE TRIGGER AdicaoEmListaItens
INSTEAD OF INSERT ON NESTED TABLE listaItens OF Pedidos_v
BEGIN
INSERT INTO Itens_rel(icodigo, iquantidade, iproduto, ipedido)
VALUES (:new.codigo,
        :new.quantidade,
        :new.produto,
        :parent.codigo);
END;
```

**Figura. 4.6:** Trigger de inserção na NT listaItens da VOD Pedidos\_v

### 4.2.3. Configurações do XML *Publisher*

Após definir o esquema da visão XML, criar a consulta SQL3 da respectiva VOD e definir “*instead of triggers*” da VOD, devemos atualizar o arquivo de configuração do XML *Publisher* para efetivar a publicação. As configurações do XML *Publisher* são armazenadas em um documento XML de nome WXSCconfig.xml. Esse documento contém informações que serão utilizadas pelo XML *Publisher* para o processamento de consultas e atualizações XQuery. Em [35], detalhes da configuração do XML *Publisher* são apresentados.

## 4.3 Disponibilizando o XML *Publisher* na Web

O XML *Publisher* é disponibilizado como uma aplicação web, de forma que seus serviços podem ser acessados por um cliente através de requisições *HTTP GET*. Essas requisições têm o seguinte formato: `http://host/path?REQUEST=operação&param=value`, onde `host` denota o endereço da aplicação *web* que hospeda o XML *Publisher*, `path` é o caminho da aplicação XML *Publisher* na aplicação *web* e `REQUEST` é o parâmetro da requisição que indica a operação submetida ao XML *Publisher*. O nome (`param`) e o valor (`value`) para o segundo parâmetro da requisição, variam de acordo com a operação. As operações permitidas no XML *Publisher* são:

1. **GetCapabilities:** requisita os nomes das visões XML publicadas e ações suportadas (consultas e/ou atualizações) por estas.
2. **GetSchema:** requisita o XML *Schema* de uma visão XML publicada.

3. *ExecuteQuery*: requisita consultas XQuery definidas sobre o esquema da visão XML publicada.
4. *ExecuteUpdate*: requisita atualizações XQuery definidas sobre o esquema da visão XML publicada.

**Exemplo 4.1:**

Seja  $A_1$  uma atualização XQuery definida para a visão XML **Pedidos**. Para executar essa atualização no XML *Publisher*, a aplicação *web* deve submeter a seguinte requisição ao XML *Publisher*:

`http://www.lia.ufc.br/bd/xmlPublisher?REQUEST=ExecuteUpdate&QUERY=  $A_1$`

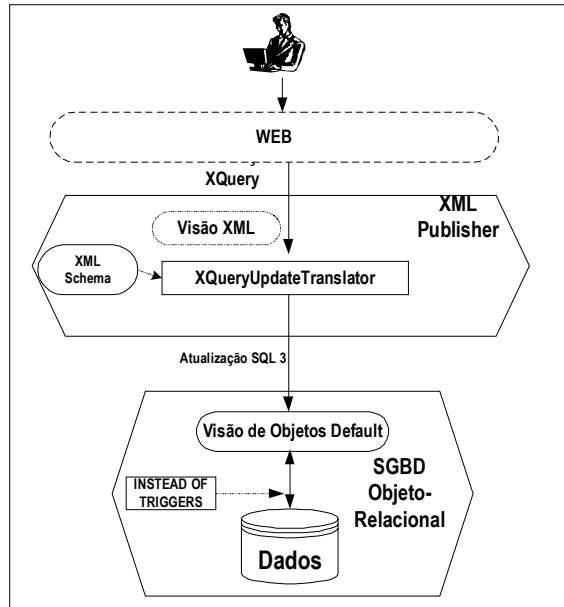
Note que a atualização  $A_1$  foi passada como o valor do parâmetro QUERY. Observe que não foi preciso passar o nome da visão a ser atualizada, pois o nome da visão já está definido na própria atualização  $A_1$ , como veremos no Capítulo 6.

### 4.3 Processamento de Atualizações no XML Publisher

Nesta seção, apresentamos uma visão geral sobre o processamento de atualizações XQuery no XML *Publisher*. Para realizar esse processamento, desenvolvemos um *software* chamado *XUpdateTranslator*, o qual será apresentado com mais detalhes no Capítulo 6.

Os passos para o processamento de atualizações XQuery no XML *Publisher* são apresentados na Figura 4.7. Seja  $A$  uma atualização XQuery aplicada a uma visão XML  $X_1$ . Para processar  $A$  o XML *Publisher* procede da seguinte forma:

- i. O *XUpdateTranslator* traduz  $A$  em uma atualização SQL3  $S$  aplicada à respectiva VOD. Dado que a estrutura dos objetos da VOD tem a mesma estrutura dos elementos da visão XML, a tradução é facilitada e pode ser feita com base apenas no esquema da visão XML. Em seguida,  $S$  é submetido ao SGBD.
- ii. A atualização  $S$  gerada é traduzida, pelos tradutores de atualizações (*instead of triggers*), em atualizações nas tabelas do banco de dados. No Capítulo 5, discutimos os algoritmos que geram os tradutores (*instead of triggers*) de atualização da visão de objetos.



**Figura 4.7:** Processamento de atualizações no XML *Publisher*

#### Exemplo 4.2:

A seguir apresentamos um exemplo de processamento de uma atualização na visão Pedidos\_v usando XML Publisher. Considere a atualização XQuery definida sobre a visão XML **Pedidos\_v** (Figura 4.8). A atualização XQuery requisita a inserção do elemento `item` como filho dos nós `$v2` satisfazendo as seguintes condições:  $\$v2 \in \$v1/\text{listaItens}$  onde  $\$v1 \in \text{view}(\text{"Pedidos\_v"})/\text{Pedidos}/\text{Pedido}$  e  $\$v1/\text{cliente} = \text{"Wamberg"}$ .

```

for $v1 in view("Pedidos_v")/Pedidos/Pedido,
  $v2 in $v1/listaItens
where $v1/cliente = "Wamberg"
update $v2
insert
<item>
  <codigo>10</codigo>
  <produto>Impressora</produto>
  <quantidade>100</quantidade>
</item>

```

**Figura 4.8:** Atualização XQuery A<sub>1</sub>

No *XUpdateTranslator* essa atualização XQuery é traduzida em uma seqüência de atualizações definidas sobre a VOD Pedidos\_v mostrada na Figura 4.9. Dado que os tipos dos objetos da VOD Pedidos\_v têm a mesma estrutura do tipo da visão XML, essa tradução é facilitada e pode ser realizada com base apenas no XML esquema da visão Pedidos\_v.

As atualizações definidas sobre a VOD Pedidos\_v são traduzidas pelo “*instead of trigger*” da Figura 4.6 em atualizações sobre o esquema do banco, sendo então processadas pelo SGBD.

```
DECLARE
COD_PED NUMBER;
CURSOR TabObjPai IS
    SELECT REF(v1)
    FROM Pedidos_v v1
    WHERE v1.cliente = 'Wamberg'
BEGIN
OPEN TabObjPai;
LOOP

    FETCH TabObjPai INTO COD_PER;
    EXIT WHEN PED_CUR%NOTFOUND;
    INSERT INTO TABLE( SELECT v1.listaltens
                        FROM Pedidos_v v1
                        WHERE REF(v1)=
COD_PED)
    VALUES(Titem('10','Impressora','100'))
END_LOOP;
END.
```

**Figura 4.9:** Atualização SQL A<sub>2</sub>.

## 4.5 Algoritmo para Gerar o Esquema da VOD

Uma visão de objetos num banco de dados objeto-relacional é criada a partir do esquema da visão (tipos da visão) e sua definição, que é uma consulta sobre o Banco de Dados Objeto Relacional (BDOR) a qual especifica como os objetos da visão são gerados a partir do banco de dados. Neste trabalho discutiremos apenas como gerar o esquema da VOD. O problema de gerar a definição de visões de objetos é tratado em [35].

A Figura 4.10 apresenta o algoritmo **GeraEsquemaOR**, o qual gera o esquema de uma VOD a partir do esquema XML da visão XML. Inicialmente o algoritmo chama o procedimento **NomeiaTiposAnonimos** para transformar as definições de tipo anônimo do esquema XML em definições de tipos complexos nomeadas, a partir da declaração do elemento primário. Isso garante que todo tipo complexo do esquema XML seja mapeado em um tipo do esquema da VOD.

```

GeraEsquemaOR ( $S_1$ : esquema da visão XML)
Início
 $\varphi = \emptyset$  ;
NomeiaTiposAnonimos ( $S_1$ )
SubstituiElementoMultiocorrencia ( $S_1$ )
Para toda definição de tipo complexo T em  $S_1$ , diferente do tipo do elemento raiz, faça:
  Caso 1: T é do TipoColeção
    Seja  $T_a$  o tipo do elemento A e n sua ocorrência máxima
    Seja P o elemento pai de A
    Se P é um elemento do tipo do elemento raiz/* Cria uma Nestead Table T de referências a  $T_a$ 
       $\varphi = \varphi + \text{Create Type T as Table of Ref } T_a$ ;
    Senão
      Se  $T_a$  é uma referencia para um tipo /* Cria uma Nestead Table T de referências a  $T_a$ 
         $\varphi = \varphi + \text{Create Type T as Table of Ref } T_a$ ;
      Senão
        Se  $T_a$  possui um elemento E cujo tipo é um TipoColeção
          /* Cria uma Nestead Table T de referências a  $T_a$ 
             $\varphi = \varphi + \text{Create Type T as Table of Ref } T_a$ ;
          Senão
            Se n é UNBOUNDED (Caso 1.2)* Cria uma Nestead Table T de  $T_a$ 
               $\varphi = \varphi + \text{Create Type T as Table of } T_a$ ;
            Senão /* Cria um VARRAY T de  $T_a$  com cardinalidade n
               $\varphi = \varphi + \text{Create Type T as VARRAY(n) of } T_a$ ;
            Fim-se ;
          Fim-se ;
        Fim-se;
      Fim-se;
    Fim-se;
  Caso 2: T não é do tipo coleção /* Cria um tipo Ty com o mesmo nome de T
     $\varphi = \varphi + \text{"Create Type Ty as Object(}$ 
    Para cada elemento/atributo  $E_i$ ,  $1 \leq i \leq n$ , em T faça:
      Seja  $A_i$  a declaração de atributo do esquema default de objetos associada ao elemento  $E_i$  de T.
      Seja  $T_i$  o tipo do elemento  $E_i$  e n sua ocorrência máxima.
      Se  $T_i$  é um tipo referência (Caso 2.1)
        Se n = 1
           $\varphi = \varphi + A_i \text{ REF } T_i$ ,
        Senão ( n > 1)
          Seja TC o TipoColeção que possui o elemento multiocorrência do tipo  $T_i$ 
             $\varphi = \varphi + A_i \text{ TC}$ ,
          Fim_se;
        Senão (Caso 2.2.)
           $\varphi = \varphi + A_i T_i$ ,
        Fim_Se;
      Fim_para;
     $\varphi = \varphi + )$ ;
  Fim_se;
Fim_para;
Retorne( $\varphi$ );}
/* Fim do Algoritmo GeraEsquemaOR */

```

**Figura 4.10: Algoritmo GeraEsquemaOR.**

O algoritmo segue com uma chamada ao procedimento SubstituiElementoMultiocorrencia (Figura 4.11) . Esse procedimento transforma as definições de

elementos multiocorrência do esquema da visão XML em definições de tipo coleção, quando necessário. Um tipo coleção é um tipo complexo do XML *Schema* composto por uma única definição de elemento multiocorrência. Essa transformação é necessária, pois um XML *Schema* só pode ser diretamente mapeado em um esquema objeto-relacional se todos os seus elementos multiocorrência são definidos como tipos coleção. Essa propriedade garante que os elementos multiocorrência definidos em um XML *Schema* sejam facilmente mapeados em *Nested Tables* ou *Varrays*, como indicado no Caso 1 do algoritmo GeraEsquemaOR.

Em seguida, o algoritmo GeraEsquemaOR transforma cada tipo complexo do esquema da visão XML em um tipo de objeto (tipo abstrato de dado - TAD) no esquema da VOD. Elementos monocorrência são transformados em atributos dos tipos da VOD. Elementos multiocorrência são descartados, uma vez que objetos numa *Nested Table* ou *Varray* não são nomeados.

1.	<b>SubstituiElementoMultiocorrecencia</b> ( $S_2$ : esquema da visão XML)
2.	Início
3.	<b>Para</b> cada tipo complexo $T$ do esquema $S_2$ que não é um <b>TipoColeção</b> <b>faça</b>
4.	<b>Para</b> cada elemento multiocorrência $E$ de $T$ <b>faça</b>
5.	Seja $TE$ o tipo do elemento $E$
6.	Se $TE$ não é um tipo referência então
7.	Criar um tipo complexo $TE\_item$ , composto pelos elementos de $TE$ ;
8.	Em $TE$ , substituir o seu conteúdo por um elemento multiocorrência
9.	<b><math>E\_item</math></b> do tipo $TE\_item$ ;
10.	Em $T$ , a cardinalidade do elemento $E$ passa a ser monocorrência.
11.	<b>Fim_se;</b>
12.	<b>Fim_para;</b>
13.	<b>Fim_para;</b>
14.	Fim.

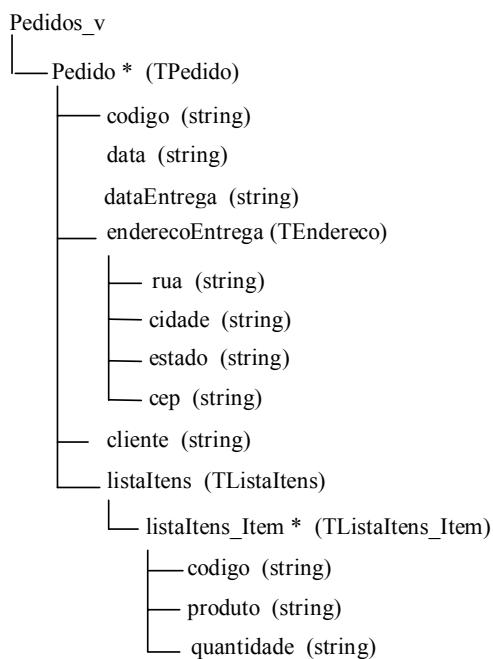
**Figura 4.11:** Procedimento **SubstituiElementoMultiocorrecencia**.

Note que o esquema da visão XML é modificado apenas em caráter temporário, ou seja, as modificações servem apenas para gerar o esquema da VOD. Atualizações XQuery submetidas ao XML *Publisher* devem ser definidas sobre o XML *Schema* inicial. A seguir, apresentamos um exemplo para ilustrar o funcionamento desse algoritmo.

### Exemplo 4.3:

Considere o esquema da visão XML Pedidos apresentado na Figura 4.4 (a). Para gerar o esquema da VOD de Pedidos, o algoritmo **GeraEsquemaOR** inicialmente chama o procedimento **NomeaTiposAnonimos**, mas como todos os tipos complexos a partir da declaração do elemento raiz do esquema da visão XML são possuem um nome, a chamada a esse procedimento não altera o esquema. Em seguida, chama o procedimento **SubstituiElementoMultiocorrencia**. Esse procedimento modifica a definição do tipo  $T_{pedido}$ , pois o elemento **listaitens** desse tipo é multiocorrência e  $T_{pedido}$  não é de tipo coleção.

O procedimento **SubstituiElementoMultiocorrencia** cria um tipo complexo  $T_{listaitens\_item}$  composto pelos elementos do tipo complexo  $T_{listaitens}$ ; o tipo complexo  $T_{listaitens}$  será composto unicamente pelo elemento multiocorrência **listaitens\_item** do tipo  $T_{listaitens\_item}$ ; a cardinalidade do elemento **listaitens** do tipo complexo  $T_{pedido}$  passa a ser monocorrência. Essas alterações no XML *Schema* da visão XML  $X_1$  são apresentadas na Figura 4.12.



**Figura 4.12:** Esquema intermediário da visão XML **Pedidos\_v**.

O próximo passo agora é gerar os tipos do esquema da VOD. Os quatro tipos do esquema da Figura 4.12 geram os quatro tipos de objeto no esquema da Figura 4.13. Os tipos  $T_{endereco}$ ,  $T_{pedido}$  e  $T_{listaitens\_item}$  são tratados pelo caso 2 do algoritmo, pois não são do tipo

coleção. Note que os elementos que compõem cada um desses tipos são mapeados em atributos no respectivo tipo de objeto no esquema da VOD. O tipo `TListaltens_item` é tratado pelo caso 1, pois é do tipo coleção. Este tipo é mapeado em um tipo Nested Table da VOD. Observe que o elemento desse tipo não é mapeado para o esquema da VOD.

<pre> create type Tendereco as object(   rua varchar(30),   cidade varchar(30),   estado varchar(30),   cep varchar(30) ); / create type TListaltens_Item as object(   codigo varchar(30),   produto varchar(30),   quantidade varchar(30) ); </pre>	<pre> / create type TListaItens as table of TListaItens_Item; / create type Tpedido as object(   codigo varchar(30),   data varchar(30),   dataEntrega varchar(30),   enderecoEntrega Tendereco,   cliente varchar(30),   listaItens TListaItens ); </pre>
--	--

**Figura 4.13:** Esquema da VOD Pedidos\_v.

# Capítulo 5 - Geração de Tradutores para Atualização de Bancos de Dados Relacionais através de Visões de Objeto

---

Neste capítulo, descrevemos os algoritmos que geram tradutores para as operações de atualização de visões de objetos em bancos de dados relacionais. Os algoritmos recebem como entrada: o esquema da visão, o esquema do banco de dados e as assertivas de correspondências da visão; e gera tradutores para as operações básicas de atualização de bancos de dados relacionais. Neste trabalho usamos assertivas de correspondências para especificar formalmente a correspondência entre o esquema da visão de objetos e o esquema relacional do banco de dados. Consideramos apenas as visões que preservam objetos. Uma visão preserva os objetos, quando cada objeto da visão é semanticamente equivalente a um objeto de uma tabela base. Os objetos  $o_1$  e  $o_2$  são semanticamente equivalentes ( $o_1 \equiv o_2$ ) se e somente se representam uma mesma entidade do mundo real.

Este capítulo está organizado com se segue. Na Seção 5.1 apresentamos o processo de geração das assertivas de correspondências de uma visão de objetos. Na Seção 5.2, discutimos TAV, uma ferramenta gráfica para geração semi-automática dos tradutores de atualização de visões de objetos em bancos de dados relacionais. E, nas demais seções apresentamos os algoritmos que geram os tradutores para operações básicas de atualização de visões de objetos em bancos de dados relacionais.

## 5.1 Assertivas de Correspondências no Modelo Objeto-Relacional

Para gerar a definição dos tradutores de atualização de uma visão de objetos é necessário estabelecer as correspondências entre o esquema da visão e o esquema do banco de dados, ou seja, como as informações disponibilizadas em um dos esquemas estão relacionadas com o outro esquema. Nesta seção, apresentamos a definição formal dos vários tipos de assertiva de correspondência (AC) utilizada para especificar formalmente o relacionamento entre elementos de esquemas objeto-relacional. O formalismo proposto permite especificar várias formas de correspondência, inclusive casos onde os esquemas

possuem estruturas diferentes [54]. As AC's da visão de objetos são classificadas em três tipos: (i) AC de Extensão (ACE); (ii) AC de Caminho (ACC) e (iii) AC de Objeto(ACO). A seguir, apresentamos algumas definições necessárias para a definição formal dos tipos de assertiva citados acima.

### 5.1.1 Terminologias

**Definição 5.1:** Usamos o conceito de **ligação** para representar os relacionamentos entre tipos. Considere  $T_1$  e  $T_2$  tipos de um esquema. Existe uma ligação de  $T_1$  para  $T_2$  nas situações descritas a seguir:

- i. (**Ligação de atributo de valor**)  $T_1$  contém um atributo cujo tipo é  $T_2$  ou coleção de objetos do tipo  $T_2$ . Assim,  $a: T_1 \rightarrow T_2$  é uma ligação de  $T_1$  para  $T_2$ . Dada uma instância  $t_1$  de  $T_1$ , a expressão  $t_1 \bullet a$  retorna o valor do atributo  $a$  (uma instância ou coleção de instâncias de  $T_2$ ).
- ii. (**Ligação de atributo de referência**)  $T_1$  contém um atributo cujo tipo é uma referência ou uma coleção de referências para objetos do tipo  $T_2$ . Assim,  $a: T_1 \rightarrow T_2$  é uma ligação de  $T_1$  para  $T_2$ ; Dada uma instância  $t_1$  de  $T_1$ , a expressão  $t_1 \bullet a$  retorna as instâncias de  $T_2$  referenciadas por  $t_1$  através do atributo  $a$ .
- iii. (**Ligação de chave estrangeira**) Existe uma chave estrangeira  $fk = R_1[a_1, \dots, a_n] \subseteq R_2[b_1, \dots, b_n]$ , onde  $T_1$  e  $T_2$  são os tipos<sup>3</sup> das tuplas de  $R_1$  e  $R_2$ , respectivamente. Assim,  $fk: T_1 \rightarrow T_2$  é uma ligação de  $T_1$  para  $T_2$ . Dada uma tupla  $t_1$  de  $R_1$ , a expressão  $t_1 \bullet fk$  retorna a tupla  $t_2$  de  $R_2$  tal que  $t_1 \bullet a_i = t_2 \bullet b_i$ , para  $1 \leq i \leq n$ .
- iv. (**Inversa de ligação**)  $T_2$  tem uma ligação  $\ell: T_2 \rightarrow T_1$  tal que  $\ell$  é uma ligação de atributo de referência ou de chave estrangeira. Então, a inversa da ligação  $\ell$ , dada por  $\ell^{-1}: T_1 \rightarrow T_2$  é uma ligação de  $T_1$  para  $T_2$ . Este tipo de ligação é chamado de **ligação virtual**. Os demais tipos de ligações são chamados de **ligação direta**.

---

<sup>3</sup> Para tratarmos de forma uniforme tabelas de objetos e tabelas de tuplas, assumimos que dada uma tabela de tuplas  $R$ ,  $T_R$  é o tipo das tuplas de  $R$ . Este tipo é na verdade, definido implicitamente na própria criação da tabela  $R$ .

**Definição 5.2:** Um objeto pode estar relacionado com outro objeto através da composição de duas ou mais ligações. Considere as ligações,  $\ell_1: T_1 \rightarrow T_2, \ell_2: T_2 \rightarrow T_3, \dots, \ell_{n-1}: T_{n-1} \rightarrow T_n$ , onde  $T_1, T_2, \dots, T_n$  são tipos de um esquema objeto-relacional. Então,  $\varphi = \ell_1 \bullet \ell_2 \bullet \dots \bullet \ell_{n-1}$  é um caminho de  $T_1$ . Isso significa que as instâncias de  $T_1$  estão relacionadas com as instâncias de  $T_n$  através do caminho  $\varphi$ . Dada uma instância  $t_1$  de  $T_1$ , a expressão  $t_1 \bullet \varphi$  retorna objetos  $t_n$  de  $T_n$  tais que existem as instâncias  $t_2, t_3, \dots, t_{n-1}$  onde  $t_i$  está relacionada com  $t_{i+1}$  através da ligação  $\ell_i$ , para  $1 \leq i < n$ . Assim, o tipo do caminho  $\varphi$  é  $T_n$  ( $T_\varphi = T_n$ ). Se as ligações  $\ell_1, \ell_2, \dots, \ell_{n-1}$  são monovaloradas, então  $\varphi$  é um **caminho monovalorado**, caso contrário  $\varphi$  é um **caminho multivalorado**. Se  $\ell_{n-1}$  é uma ligação de referência então  $\varphi$  é um **caminho de referência**, caso contrário  $\varphi$  é um **caminho de valor**.

### 5.1.2 Assertivas de Correspondência de Extensão

A extensão de uma tabela (ou visão) é o conjunto de objetos que são membros da tabela (ou visão) em um determinado instante. As Assertivas de Correspondência de Extensão (ACE) especificam a correspondência existente entre a extensão da visão com a extensão de sua tabela pivô [55]. No resto desta seção, sejam  $V$  uma visão,  $S$  um esquema OR e  $R$  uma tabela em  $S$ . Existem dois tipos de ACEs, definidas a seguir.

**Definição 5.3:** A ACE  $[V] \equiv [R]$  especifica que, dados  $\sigma_s$  o estado de  $S$  e  $\sigma_v$  a extensão de  $V$  em  $\sigma_s$ ,  $t_v \in \sigma_v$  sss  $\exists t_R \in \sigma_s(R)$  tal que  $t_v \equiv t_R$ .

**Definição 5.4:** A ACE  $[V] \equiv [R[P]]$ , onde  $P$  é um predicado condicional, especifica que, dados  $\sigma_s$  o estado de  $S$  e  $\sigma_v$  a extensão de  $V$  em  $\sigma_s$ ,  $t_v \in \sigma_v$  sss  $\exists t_R \in \sigma_s(R)$  tal que  $t_R$  satisfaz a condição  $P$  e  $t_v \equiv t_R$ .

### 5.1.3 Assertivas de Correspondência de Caminho

No restante desta seção, considere  $T_v$  e  $T_b$ , onde  $T_v$  e  $T_b$  são semanticamente relacionados, no contexto de uma ACE ou ACC. As ACC's podem ser de três tipos como definidas a seguir:

**Definição 5.5:** Seja  $c$  um atributo de  $T_v$  e  $\varphi$  um caminho de  $T_b$ , onde a cardinalidade de  $c$  é igual à cardinalidade de  $\varphi$ . A ACC  $[T_v \bullet c] \equiv [T_b \bullet \varphi]$  especifica que para quaisquer instâncias

$t_v$  de  $T_v$  e  $t_b$  de  $T_b$ , se  $t_v \equiv t_b$ , então  $t_v \bullet c \equiv t_b \bullet \varphi$ . No caso em que  $c$  é monovalorado, dados  $t'_v = t_v \bullet \varphi_v$  e  $t'_b = t_b \bullet \varphi$ , então  $t'_v \equiv t'_b$ . No caso em que  $c$  é multivalorado, temos que  $t'_v$  pertence a  $t_v \bullet \varphi_v$  sss existe  $t'_b$  em  $t_b \bullet \varphi$ , tal que  $t'_v \equiv t'_b$ .

**Definição 5.6:** Suponha  $b_1, b_2, \dots, b_n$  atributos de valor atômico de  $T_b$  e  $a$  um atributo de  $T_v$ , cujo tipo  $T_a$  contém atributos atômicos  $a_1, a_2, \dots, a_n$ . A ACC  $[T_v \bullet a, \{a_1, a_2, \dots, a_n\}] \equiv [T_b, \{b_1, b_2, \dots, b_n\}]$  especifica que dada uma instância  $t_v$  de  $T_v$  e  $t_b$  de  $T_b$ , se  $t_v \equiv t_b$ , então  $t_v \bullet a \bullet a_i = t_b \bullet b_i$ , para  $1 \leq i \leq n$ .

**Definição 5.7:** Seja  $a$  um atributo multivalorado de valor atômico de  $T_v$  e  $\varphi$  um caminho monovalorado de  $T_b$ , de tipo  $T_\varphi$ . Sejam  $c_1, c_2, \dots, c_n$  atributos monovalorados de valores atômicos de  $T_\varphi$ . A ACC  $[T_v \bullet a] \equiv [T_b \bullet \varphi, \{c_1, c_2, \dots, c_n\}]$  especifica que para quaisquer instâncias  $t_v$  de  $T_v$  e  $t_b$  de  $T_b$ , se  $t_v \equiv t_b$ , então  $t'_v$  pertence à  $t_v \bullet a$  sss existe um objeto  $t'_b$  em  $\{t_b \bullet \varphi \bullet c_1, t_b \bullet \varphi \bullet c_2, \dots, t_b \bullet \varphi \bullet c_n\}$ , tal que  $t'_v = t'_b$ .

#### 5.1.4 Assertivas de Correspondência de Objeto

As assertivas de correspondências de objeto (ACO) especificam sob que condições dois objetos, que são instâncias de tipos semanticamente relacionados, representam o mesmo objeto do mundo real, ou seja, são semanticamente equivalentes.

**Definição 5.8:** Considere  $T_v$  um tipo do esquema da visão e  $T_b$  um tipo de uma tabela base, os quais são semanticamente relacionados. Sejam  $v_1, v_2, \dots, v_n$  atributos de  $T_v$  e  $b_1, b_2, \dots, b_n$  atributos de  $T_b$ . A ACO  $\psi: [T_v, \{v_1, v_2, \dots, v_n\}] \equiv [T_b, \{b_1, b_2, \dots, b_n\}]$  especifica que para qualquer instância  $t_v$  de  $T_v$  e  $t_b$  de  $T_b$ , se  $t_v \bullet v_i = t_b \bullet b_i$ ,  $1 \leq i \leq n$ , então  $t_v \equiv t_b$ .

#### 5.1.5 Uso de Assertivas de Correspondência para Especificar Visões de Objetos

Neste trabalho, uma visão de objeto  $V$  sobre o esquema  $S$  é definida por uma 4-tupla  $V = \langle T_v, \psi_v, \mathcal{C}_v, \mathcal{A}_v \rangle$  onde  $T_v$  é o tipo dos objetos de  $V$ ,  $\psi_v$  é uma ACE,  $\mathcal{C}_v$  é um conjunto de ACC e  $\mathcal{A}_v$  é um conjunto de ACO. Isso define um mapeamento funcional, denotado  $DEF_v$ , de estados  $\sigma_s$  de  $S$  em estados da visão, como definido a seguir.

**Caso 1:** Para  $\psi_v$  da forma  $[V] \equiv [R[P]]$ , temos:

$$DEF_V(\sigma_s) = \{ \text{Construtor}_{T_V T_R}(\mathbf{t}) \mid \mathbf{t} \in \sigma_s(\mathbf{R}) \text{ e } P(\mathbf{t}) = \text{true} \},$$

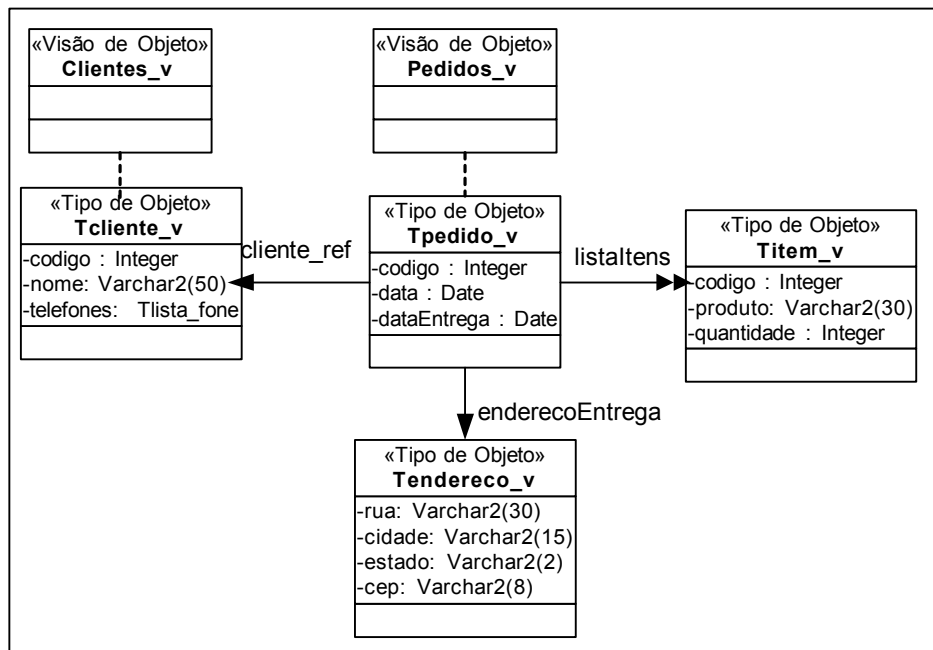
onde  $\text{Construtor}_{T_V T_R}(\mathbf{t})$  cria uma instância  $\mathbf{v}$  de  $T_V$  tal que  $\mathbf{v} \equiv \mathbf{t}$ . Note que se  $\mathbf{v} \equiv \mathbf{t}$  então  $\mathbf{v}$  deve satisfazer a todas as ACC's de  $T_V$  &  $T_b$ . Assim, os valores dos atributos do objeto  $\mathbf{v}$  criado são definidos de acordo com as assertivas de correspondência de caminho de  $T_V$  &  $T_R$ . Em [35] é apresentada uma ferramenta que, a partir das ACCs da visão, gera automaticamente o construtor de objetos da visão.

**Caso 2:** Para  $\psi_v$  da forma  $[V] \equiv [R]$ , temos:

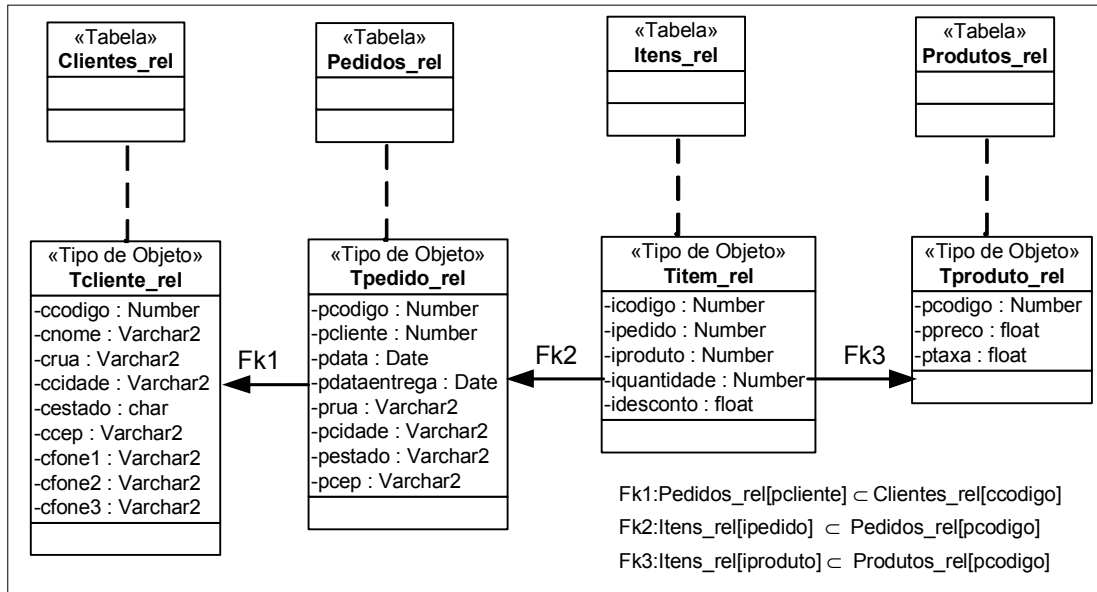
$$DEF_V(\sigma_s) = \{ \text{Construtor}_{T_V T_R}(\mathbf{t}) \mid \mathbf{t} \in \sigma_s(\mathbf{R}) \}.$$

**Exemplo 5.1:**

No resto desta seção, considere a visão **Pedidos\_v** cujos objetos são do tipo  $T_{pedido}$  (vide Figura 5.1) e o esquema do banco de dados **Pedidos\_rel**, apresentado na Figura 5.2. Considere que a ACE de **Pedidos\_v** é dada por  $\psi_1$ :  $[Pedidos_v] \equiv [Pedidos\_rel]$ .  $\psi_1$  especifica que as extensões da visão **Pedidos\_v** e da tabela **Pedidos\_rel** denotam o mesmo conjunto de objetos do mundo real. As ACC's de **Pedidos\_v** são mostradas na Figura 5.3



**Figura 5.1:** Esquema da Visão de Objetos **Pedidos\_v**.



**Figura 5.2:** Esquema Relacional do Banco de Dados Pedidos\_rel.

O processo de geração das assertivas é *top down* e recursivo. Primeiro definimos as ACC's dos atributos de  $T_{pedido\_v}$  com atributos/caminhos da tabela pivô **Pedidos\_rel**. No caso de atributos de referência ou de tipos complexos deve-se então recursivamente definir as ACC's dos seus atributos com o seu tipo base.

Das ACC's de  $T_{pedido\_v}$  &  $T_{pedidos\_rel}$  temos que dada uma instância  $t_v$  de  $T_{pedido\_v}$ , e uma instância  $t_b$  de  $T_{pedidos\_rel}$  tal que  $t_v \equiv t_b$  então:

- (i)  $t_v \bullet codigo = t_b \bullet pcodigo$  (de  $\psi_3$ )
- (ii)  $t_v \bullet data = t_b \bullet pdata$  (de  $\psi_4$ )
- (iii)  $t_v \bullet dataEntrega = t_b \bullet pdataEntrega$  (de  $\psi_5$ )
- (iv)  $t_v \bullet enderecoEntrega = T_{endereco\_v}(t_b \bullet prua, t_b \bullet pcidade, t_b \bullet pestado, t_b \bullet pcep)$  (de  $\psi_6$ )
- (v)  $t_v \bullet cliente\_ref \equiv t_b \bullet Fk_1$  (de  $\psi_7$ ). Como o tipo de cliente\_ref é uma referência para  $T_{cliente\_v}$ , que é um tipo estruturado, deve-se definir as ACC's de  $T_{cliente\_v}$  &  $T_{clientes\_rel}$ .
- (vi)  $t' \in t_v \bullet listaltens$  sss existe  $t \in t_b \bullet Fk_2^{-1}$  e  $t \equiv t'$  (de  $\psi_8$ ). Como listaltens é uma coleção de objetos de tipo  $T_{item\_v}$ , que é um tipo estruturado, deve-se definir as ACC's de  $T_{item\_v}$  &  $T_{itens\_rel}$ .

<p>ACC's de <math>T_{pedido}</math> &amp; <math>T_{pedidos\_rel}</math></p> <p><math>\psi_3: [T_{pedido\_v} \bullet \text{codigo}] \equiv [T_{pedidos\_rel} \bullet \text{pcodigo}]</math></p> <p><math>\psi_4: [T_{pedido\_v} \bullet \text{data}] \equiv [T_{pedidos\_rel} \bullet \text{pdata}]</math></p> <p><math>\psi_5: [T_{pedido\_v} \bullet \text{dataEntrega}] \equiv [T_{pedidos\_rel} \bullet \text{pdataEntrega}]</math></p> <p><math>\psi_6: [T_{pedido\_v} \bullet \text{enderecoEntrega}, \{\text{rua}, \text{cidade}, \text{estado}, \text{cep}\}] \equiv [T_{pedidos\_rel}, \{\text{prua}, \text{pcidade}, \text{peestado}, \text{pcep}\}]</math></p> <p><math>\psi_7: [T_{pedido\_v} \bullet \text{cliente\_ref}] \equiv [T_{pedidos\_rel} \bullet \text{fk}_1]</math></p> <p><math>\psi_8: [T_{pedido\_v} \bullet \text{listatens}] \equiv [T_{pedidos\_rel} \bullet \text{fk}_2^{-1}]</math></p> <p>ACC's de <math>T_{item\_v}</math> &amp; <math>T_{itens\_rel}</math></p> <p><math>\psi_{10}: [T_{item\_v} \bullet \text{codigo}] \equiv [T_{itens\_rel} \bullet \text{icodigo}]</math></p> <p><math>\psi_{11}: [T_{item\_v} \bullet \text{produto}] \equiv [T_{itens\_rel} \bullet \text{iproduto}]</math></p> <p><math>\psi_{12}: [T_{item\_v} \bullet \text{quantidade}] \equiv [T_{itens\_rel} \bullet \text{iquantidade}]</math></p> <p>ACC's de <math>T_{cliente\_v}</math> &amp; <math>T_{clientes\_rel}</math></p> <p><math>\psi_{14}: [T_{item\_v} \bullet \text{codigo}] \equiv [T_{itens\_rel} \bullet \text{ccodigo}]</math></p> <p><math>\psi_{15}: [T_{item\_v} \bullet \text{nome}] \equiv [T_{itens\_rel} \bullet \text{cnome}]</math></p> <p><math>\psi_{16}: [T_{item\_v} \bullet \text{telefonos}] \equiv [T_{itens\_rel}, \{\text{cfone1}, \text{cfone2}, \text{cfone3}\}]</math></p>
---

Figura 5.3: ACC's de **Pedidos\_v**

Das ACC's de  $T_{item\_v}$  &  $T_{itens\_rel}$  temos que dada uma instância  $t_v$  de  $T_{item\_v}$ , e uma instância  $t_b$  de  $T_{itens\_rel}$  tal que  $t_v \equiv t_b$  então:

- (i)  $t_v \bullet \text{codigo} = t_b \bullet \text{icodigo}$  ( de  $\psi_{10}$ )
- (ii)  $t_v \bullet \text{produto} = t_b \bullet \text{iproduto}$  ( de  $\psi_{11}$ )
- (iii)  $t_v \bullet \text{quantidade} = t_b \bullet \text{iquantidade}$  ( de  $\psi_{12}$ )

Das ACC's de  $T_{cliente\_v}$  &  $T_{clientes\_rel}$  temos que dada uma instância  $t_v$  de  $T_{cliente\_v}$ , e uma instância  $t_b$  de  $T_{clientes\_rel}$  tal que  $t_v \equiv t_b$  então:

- (i)  $t_v \bullet \text{codigo} = t_b \bullet \text{ccodigo}$  ( de  $\psi_{14}$ )
- (ii)  $t_v \bullet \text{nome} = t_b \bullet \text{cnome}$  ( de  $\psi_{15}$ )
- (iii)  $t_v \bullet \text{telefonos} = T_{lista\_fone}(t_b \bullet \text{cfone1}, t_b \bullet \text{cfone2}, t_b \bullet \text{cfone3})$  ( de  $\psi_{16}$ )

As assertivas de correspondência de objeto de **Pedidos\_v** são mostradas na Figura 5.4. As ACO's são inferidas a partir das ACC's e das chaves primárias das tabelas do banco de dados. Por exemplo, da ACC  $\psi_3$  e da chave primária da tabela **Pedidos\_rel**, inferimos a ACO  $\psi_2: [T_{pedido\_v}, \{\text{codigo}\}] \equiv [T_{pedido\_rel}, \{\text{pcodigo}\}]$  que especifica que para quaisquer instâncias  $t_v$  de  $T_{pedido\_v}$  e  $t_b$  de  $T_{pedido\_rel}$ , se  $t_v \bullet \text{codigo} = t_b \bullet \text{pcodigo}$ , então  $t_v \equiv t_b$ .

Como definido em [35], a definição SQL3 de uma visão de objetos pode ser gerada automaticamente a partir das ACs da visão. A Figura 5.5 mostra, a título de ilustração, a definição SQL3 da Visão de Objetos **Pedidos\_v** que realiza o mapeamento definido pelas Assertivas. Como mostraremos na Seção 5.3, os tradutores de atualização (*instead of triggers*) de **Pedidos\_v** podem ser gerados automaticamente a partir das ACs da visão.

```

ACO de T_pedido_v & T_pedidos_rel
ψ2: [T_pedido_v, {codigo}] ≡ [T_pedidos_rel, {pcodigo}]

ACO de T_item_v & T_itens_rel
ψ9: [T_item_v, {codigo}] ≡ [T_itens_rel, {icodigo}]

ACO de T_cliente_v & T_clientes_rel
ψ13: [T_cliente_v, {codigo}] ≡ [T_clientes_rel, {ccodigo}]

```

Figura 5.4: ACO's de Pedidos\_v.

```

CREATE VIEW Pedidos_v OF T_pedido
WITH OBJECT IDENTIFIER (codigo) AS
SELECT
1. T_pedido(
2.   t_pedidos_rel.pcodigo,
3.   t_pedidos_rel.pdata,
4.   t_pedidos_rel.pdataEntrega,
5.   T_endereco ( t_pedidos_rel.prua, t_pedidos_rel.pcidade, t_pedidos_rel.pestado, t_pedidos_rel.pcep ),
6.   (SELECT REF (t_cliente)
   FROM Clientes_v t_cliente, Clientes_rel t_clientes_rel
   WHERE t_pedidos_rel.pcliente = t_clientes_rel.ccodigo
        t_clientes_rel.ccodigo = t_cliente.ccodigo),
7.   CAST(MULTISET( SELECT
8.     T_item(
9.       t_itens_rel.icodigo,
10.      (SELECT t_produtos_rel.pcodigo
        FROM Produtos_rel t_produtos_rel
        WHERE t_itens_rel.iproduto= t_produtos_rel.pcodigo),
11.      t_itens_rel.iquantidade)
   FROM Itens_rel t_itens_rel
   ) AS T_lista_item )
FROM Pedidos_rel t_pedidos_rel

```

Figura 5.5: Definição da visão de objetos Pedidos\_v

## 5.2 Geração de Tradutores de Atualização com TAV

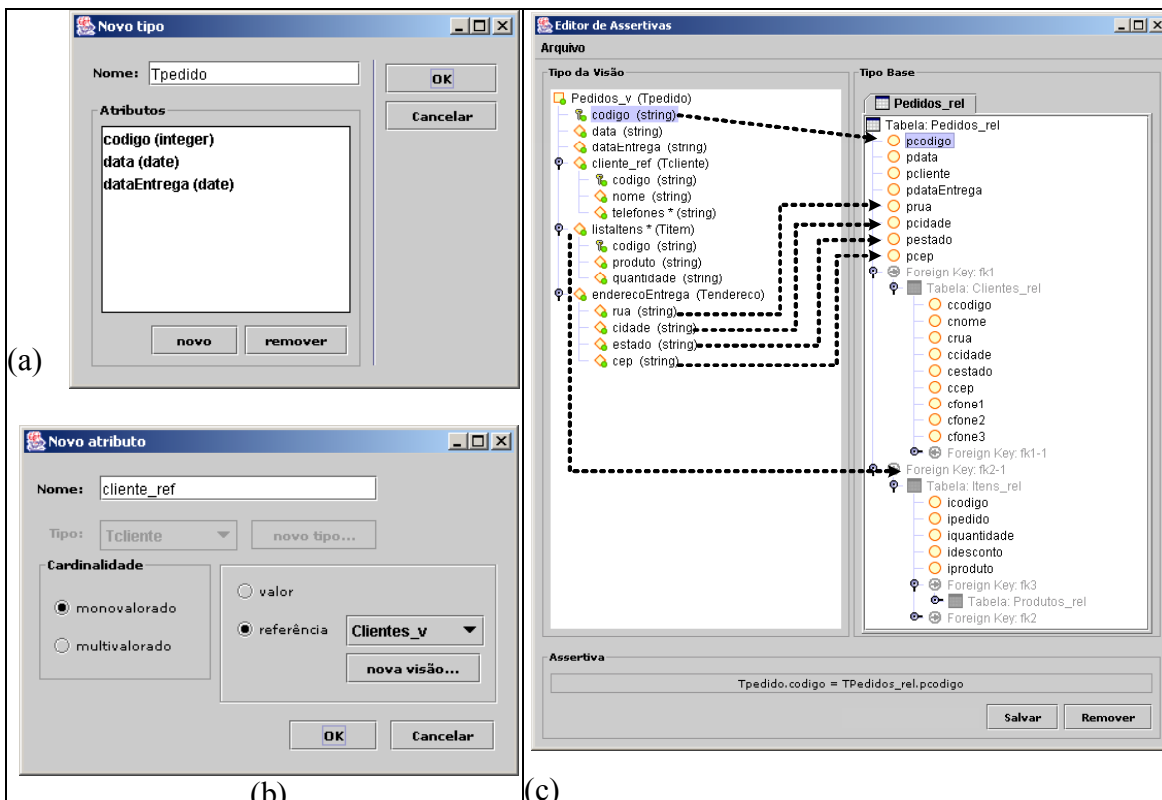
Nesta seção, apresentamos TAV (*Tradutor de Atualização de Visão*), um protótipo de uma ferramenta semi-automática para gerar tradutores de atualização (instead of triggers) para visões de objetos no Oracle 9i [15]. Como estudo de caso, considere o esquema do banco de dados **Pedidos\_rel** apresentado na Figura 5.2 e a visão de objeto **Pedidos\_v** (Figura 5.1), cujos objetos são do tipo  $T_{\text{pedido}}$ .

A seção começa com o usuário definindo o nome da visão e o nome do seu tipo. Em seguida, o usuário deve criar os atributos do tipo da visão (Figura 5.6 (a)). Para isso, usa a tela de criação de atributo (Figura 5.6 (b)). Além do nome, são pedidos o tipo do atributo, sua cardinalidade e se o mesmo é de valor ou de referência. No caso de atributos de tipo estruturado, então um novo tipo deve ser criado (nome e atributos). No caso de atributos de referência, deve-se definir seu escopo (visão de objeto referenciada). Se a visão ainda não existe, deverá ser criada. Quando utilizamos TAV na geração dos tradutores de atualização (instead of triggers) de visões de objeto *default* para o XML *Publisher*, a definição dos atributos do tipo da visão é feita automaticamente pela ferramenta GeraEsquemaVOD, como foi mostrado no Capítulo 4.

Após definir os atributos do tipo da visão, o usuário deve definir as assertivas de correspondência da visão. Primeiro, o usuário deve definir a ACE. Para isso, o usuário seleciona, de uma lista de tabelas e visões do banco de dados, a tabela base ou visão base, e, se necessário, define a condição de seleção. Para a visão **Pedidos\_v** a tabela **Pedidos\_rel** é selecionada e a ACE  $\psi_1: [\text{Pedidos\_v}] \equiv [\text{Pedidos\_Rel}]$  é gerada.

Em seguida, o usuário deve realizar o *matching* [56, 57, 58] do tipo da visão com o tipo base. Para isso, TAV exibe uma tela contendo, em formato de árvore de diretório, a estrutura do tipo da visão e a estrutura do tipo base (Figura 5.6 (c)). Observe que para o tipo base, além dos atributos, são mostradas as demais ligações do tipo (ligações de chave estrangeira e inversas), de modo que o usuário possa definir caminhos que naveguem por essas ligações. Para definir a ACC de um atributo da visão, o usuário relaciona graficamente o atributo da visão com um atributo ou caminho do tipo da tabela base. A seguir mostramos como gerar as ACC's para alguns dos atributos do tipo  $T_{\text{pedido}}$ :

- Para definir a ACC do atributo `codigo`, o usuário seleciona `codigo` no esquema da visão e `pcodigo` no esquema do banco de dados. Ao clicar no botão “Salvar”, TAV mostra a ACC gerada ( $\psi_3: [T_{pedido} \bullet \text{codigo}] \equiv [T_{pedidos\_rel} \bullet \text{pcodigo}]$ );
- Para definir a ACC do atributo `listaltens`, o usuário seleciona `listaltens` no esquema da visão e `fk2-1` no esquema do banco de dados. Observe que para o atributo `listaltens` o “\*” denota que o atributo é multivalorado e  $T_{item}$ , especificado entre parênteses, é o tipo dos objetos em `listaltens`. Como  $T_{item}$  é um tipo estruturado, o usuário deve então definir recursivamente as correspondências para os atributos de  $T_{item}$ .
- Para definir a ACC do atributo `enderecoEntrega`, o qual não tem correspondência direta com nenhum atributo do tipo base, o usuário seleciona o atributo `enderecoEntrega` e a tabela base **Pedidos\_rel**, e, então, salva. Em seguida, o usuário define a correspondência para cada atributo de  $T_{endereco}$  com os atributos de  $T_{pedidos\_rel}$ . A ACC gerada é  $\psi_6: [T_{pedido} \bullet \text{enderecoEntrega}, \{rua, cidade, estado, cep\}] \equiv [T_{pedidos\_rel}, \{prua, pcidade, pestado, pcep\}]$ .



**Figura 5.6:** Telas do TAV: (a) Editor de Tipo; (b) Editor de Atributo; (c) Editor de Assertivas do TAV.

As ACO's de **Pedidos\_v** são inferidas a partir das ACC's e das chaves das tabelas. Por exemplo,  $\psi_2$  é inferida de  $\psi_3$  e do fato de que `pcodigo` é a chave primária da tabela **Pedidos\_rel**. Caso um atributo da chave primária não tenha um correspondente na visão, TAV resolve o problema, adicionando o atributo à ACC correspondente, e, por fim, à ACO.

A geração automática da definição SQL3 da visão de objetos é discutida em [35]. A Figura 5.5 apresenta, a título de ilustração, a definição da visão de objetos **Pedidos\_v**.

Após definir as assertivas da visão, os tradutores de atualização podem ser gerados automaticamente. A Figura 5.7 apresenta o exemplo de um tradutor de atualização para a operação de inserção na coleção aninhada **listaitens** da visão de objetos **Pedidos\_v**.

```
CREATE OR REPLACE TRIGGER AdiçãoEmListaItens
INSTEAD OF INSERT ON NESTED TABLE listaitens OF Pedidos_v
BEGIN
  Insert Into Itens_rel
  ( icodigo, iquantidade, iproduto, ipedido )
  values ( :new.codigo,                (de  $\psi_{10}$ )
          :new.quantidade,             (de  $\psi_{12}$ )
          :new.produto,                (de  $\psi_{11}$ )
          :parent.código               (da ACO  $\psi_9$ )
        );
END;
```

**Figura 5.7:** Tradutor AdiçãoEmListaItens

Em [37], foram definidos os algoritmos que geram tradutores de atualização para bancos de dados objeto-relacionais através de visões de objetos em uma linguagem de alto nível, isto é, de forma independente de implementação. Também foram definidas as condições em que as traduções são possíveis, isto é, onde não existe ambigüidade no nível de dados.

Neste trabalho, utilizamos os resultados apresentados em [37] e geramos os tradutores de atualização (*instead of triggers*) para o Oracle 9i. Utilizamos o enfoque apresentado em [37] para definir quais os tipos de tradutores podem ser gerados.

Nas seções a seguir discutimos os algoritmos para as operações básicas de atualização na visão de objetos. Os algoritmos recebem como entrada: o esquema da visão, o esquema do banco de dados e as assertivas de correspondências da visão; e gera tradutores (*instead of triggers*) para as operações básicas de atualização de banco de dados relacional.

Neste trabalho, desenvolvemos os algoritmos que geram os tradutores de atualização para as seguintes operações básicas de atualização:

- Adição de um objeto em uma coleção aninhada de uma visão;
- Remoção de um objeto de uma coleção aninhada de uma visão;
- Modificação de atributos monovalorados de uma visão;
- Adição de um objeto em uma visão;
- Remoção de um objeto de uma visão.

### 5.3 Definição de Tradutores para Operações de Adição em Coleções Aninhadas

Nesta seção apresentamos o algoritmo para geração dos tradutores para a operação de adição em coleções aninhadas. No Oracle9i o comando INSERT pode ser usado para adicionar objetos em coleções aninhadas. Por exemplo, considere a visão **Pedidos\_v** apresentada na Figura 5.5. Para adicionar um item na coleção aninhada **listaltens** do pedido da visão **Pedidos\_v**, cujo código é 1, podemos usar a atualização mostrada na Figura 5.8. No Oracle 9i, **:new** refere-se ao objeto inserido na coleção aninhada, e **:parent** refere-se ao objeto “pai” do objeto inserido; que no exemplo é o pedido de código=1 da visão **Pedidos\_v**. Note que a subconsulta “TABLE( SELECT v•listaltens FROM Pedidos\_v v WHERE v•codigo =1)” retorna a coleção aninhada do objeto pai selecionado. A condição na cláusula WHERE deve garantir que um único objeto é selecionado.

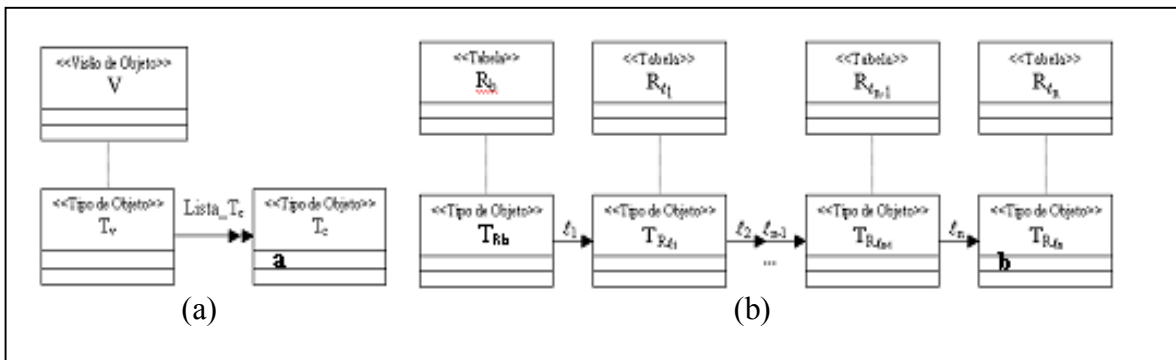
```
INSERT INTO TABLE( SELECT v•listaltens FROM Pedidos_v v WHERE v•codigo =1)
(codigo,produto,quantidade)
VALUES(1,2,10);
```

**Figura 5.8:** Exemplo de inserção na coleção aninhada **listaltens** da visão **Pedidos\_v**

No resto desta seção, considere a visão **V** cujos objetos são do tipo **T<sub>v</sub>** e **lista\_T<sub>c</sub>** um atributo multivalorado (coleção aninhada) de **T<sub>v</sub>**, cujo valor é um conjunto de objetos do tipo **T<sub>c</sub>**, como mostrado na Figura 5.9 (a). Suponha que: (i) a extensão da visão **V** é definida por uma ACE de equivalência  $V \equiv R_b$  ou de subconjunto  $V \subset R_b$ , onde **R<sub>b</sub>** é a tabela base cujos objetos são do tipo **T<sub>R<sub>b</sub></sub>** e (ii) A ACC de **lista\_T<sub>c</sub>** é dada por:  $[T_v \bullet lista\_T_c] \equiv [T_{R_b} \bullet \Phi]$ , onde

$\varphi = \ell_1 \bullet \ell_2 \bullet \dots \bullet \ell_n$  é um caminho de  $\mathbf{T}_{R_b}$  (Figura 5.9 (b)), com ligações  $\ell_1: \mathbf{T}_{R_b} \rightarrow \mathbf{T}_{R_{\ell_1}}$ ,  $\ell_i: \mathbf{T}_{R_{\ell_{i-1}}} \rightarrow \mathbf{T}_{R_{\ell_i}}$ ,  $2 \leq i \leq n$ .

No caso em que esquema do banco de dados é relacional, no caminho  $\varphi = \ell_1 \bullet \ell_2 \bullet \dots \bullet \ell_n$ , temos que  $\ell_1, \dots, \ell_n$  são ligações de chave estrangeira ou inversas de chave estrangeira. No resto desta seção, suponha que  $\ell_1$  é uma ligação de chave estrangeira dada por  $\mathbf{R}_b[f_1^{\ell_1}, \dots, f_{m_1}^{\ell_1}] \subset \mathbf{R}_{\ell_1}[g_1^{\ell_1}, \dots, g_{m_1}^{\ell_1}]$  ou inversa da chave estrangeira dada por  $\mathbf{R}_{\ell_1}[g_1^{\ell_1}, \dots, g_{m_1}^{\ell_1}] \subset \mathbf{R}_b[f_1^{\ell_1}, \dots, f_{m_1}^{\ell_1}]$ ; e  $\ell_i, 2 \leq i \leq n$ , é uma ligação de chave estrangeira dada por  $\mathbf{R}_{\ell_{i-1}}[f_1^{\ell_i}, \dots, f_{m_i}^{\ell_i}] \subset \mathbf{R}_{\ell_i}[g_1^{\ell_i}, \dots, g_{m_i}^{\ell_i}]$  ou inversa da chave estrangeira dada por  $\mathbf{R}_{\ell_i}[g_1^{\ell_i}, \dots, g_{m_i}^{\ell_i}] \subset \mathbf{R}_{\ell_{i-1}}[f_1^{\ell_i}, \dots, f_{m_i}^{\ell_i}]$ .



**Figura 5.9:** Coleção aninhada lista\_  $T_c$  (a) e Caminho  $\varphi = \ell_1 \bullet \dots \bullet \ell_{n-1} \bullet \ell_n$  de  $\mathbf{T}_{R_b}$  (tipo da tabela base  $\mathbf{R}_b$ ) (b)

O algoritmo gera tradutores para os dois casos descritos a seguir. Em ambos os casos, só poderá existir uma única ligação multivalorada no caminho de derivação de lista\_  $T_c$  ( $\varphi$ ), uma vez que, como mostrado em [37], na existência de mais de uma ligação ocorrerá ambigüidade no nível de dados. O Caso 1 trata a situação em que a ligação multivalorada é a última ligação de  $\varphi$ , e o Caso 2, a situação em que a ligação multivalorada não é a última. Mostraremos que nestes casos não existe ambigüidade no nível de dados e a tradução pode ser gerada em tempo de projeto.

### Caso 1: Ligação multivalorada é a última

Neste caso, como mostrado em [37], para garantirmos que não existe ambigüidade no nível de dados, as seguintes condições devem ser satisfeitas,:

1. As ligações  $\ell_1, \dots, \ell_{n-1}$  e suas inversas são ligações monovaloradas e a ligação  $\ell_n$  é multivalorada. Desta forma a ligação multivalorada é a última ligação do caminho e cada objeto de  $\mathbf{R}_b$  está relacionado com um único objeto de  $\mathbf{R}_{\ell_{n-1}}$  através do caminho  $\ell_1 \bullet \ell_2 \bullet \dots \bullet \ell_{n-1}$  e vice-versa.
2. As assertivas de correspondência de caminhos entre  $\mathbf{T}_c$  e  $\mathbf{T}_{R_{\ell_n}}$  podem ser de um dos tipos definidos abaixo:
  - 2.1.  $[\mathbf{T}_c \bullet \mathbf{a}] \equiv [\mathbf{T}_{R_{\ell_n}} \bullet \mathbf{b}]$ , onde  $\mathbf{a}$  é um atributo monovalorado de  $\mathbf{T}_c$  e  $\mathbf{b}$  é um atributo de valor atômico de  $\mathbf{T}_{R_{\ell_n}}$ ;
  - 2.2.  $[\mathbf{T}_c \bullet \mathbf{a}, \{\mathbf{a}_1, \mathbf{a}_2, \dots, \mathbf{a}_n\}] \equiv [\mathbf{T}_{R_{\ell_n}}, \{\mathbf{b}_1, \mathbf{b}_2, \dots, \mathbf{b}_n\}]$ , onde  $\mathbf{a}$  um atributo de  $\mathbf{T}_c$ , cujo tipo  $\mathbf{T}_a$  contém atributos atômicos  $\mathbf{a}_1, \mathbf{a}_2, \dots, \mathbf{a}_n$  e  $\mathbf{b}_1, \mathbf{b}_2, \dots, \mathbf{b}_n$  atributos de valor atômico de  $\mathbf{T}_{R_{\ell_n}}$ ;
  - 2.3.  $[\mathbf{T}_c \bullet \mathbf{a}] \equiv [\mathbf{T}_{R_{\ell_n}}, \{\mathbf{b}_1, \mathbf{b}_2, \dots, \mathbf{b}_n\}]$ , onde  $\mathbf{a}$  é um atributo multivalorado de valor atômico e  $\mathbf{b}_1, \mathbf{b}_2, \dots, \mathbf{b}_n$  atributos de valor atômico de  $\mathbf{T}_{R_{\ell_n}}$ ;

Para os casos 2.4 e 2.5 a seguir, considere  $\varphi' = \ell'_1 \bullet \ell'_2 \dots \bullet \ell'_p$  um caminho de  $\mathbf{T}_{R_{\ell_n}}$ , onde  $\ell'_1$  é uma chave estrangeira de  $R_{\ell_n}$  dada por  $R_{\ell_n}[\mathbf{f}_1^{\ell'_1}, \dots, \mathbf{f}_{m_1}^{\ell'_1}] \subset R'_{\ell_1}[\mathbf{g}_1^{\ell'_1}, \dots, \mathbf{g}_{m_1}^{\ell'_1}]$ , e  $\ell'_i$  é uma ligação de chave estrangeira dada por  $\mathbf{R}'_{\ell'_{i-1}}[\mathbf{f}_1^{\ell'_i}, \dots, \mathbf{f}_{m_i}^{\ell'_i}] \subset \mathbf{R}'_{\ell'_i}[\mathbf{g}_1^{\ell'_i}, \dots, \mathbf{g}_{m_i}^{\ell'_i}]$  ou inversa da chave estrangeira dada por  $\mathbf{R}'_{\ell'_i}[\mathbf{g}_1^{\ell'_i}, \dots, \mathbf{g}_{m_i}^{\ell'_i}] \subset \mathbf{R}'_{\ell'_{i-1}}[\mathbf{f}_1^{\ell'_i}, \dots, \mathbf{f}_{m_i}^{\ell'_i}]$ ,  $2 \leq i \leq p$ , tal que:  $\ell'_1$  é uma ligação monovalorada direta cuja inversa pode ser multivalorada ou monovalorada. As ligações  $\ell'_2 \bullet \dots \bullet \ell'_p$  e suas inversas são monovaloradas. Desta forma, temos que cada objeto de  $\mathbf{R}'_{\ell'_1}$  está relacionado com um único objeto de  $\mathbf{R}'_{\ell'_p}$  e vice-versa;

- 2.4.  $[\mathbf{T}_c \bullet \mathbf{a}] \equiv [\mathbf{T}_{R_{\ell_n}} \bullet \varphi' \bullet \mathbf{k}]$ , onde  $\mathbf{a}$  é um atributo de valor atômico de  $\mathbf{T}_c$  e  $\mathbf{k}$  é um atributo e identificador de  $\mathbf{R}'_{\ell_p}$ . Esta condição garante que uma seleção em  $\mathbf{R}'_{\ell_p}$ , dado um valor de  $\mathbf{k}$ , retorna uma única instância de  $\mathbf{R}'_{\ell_p}$ ;

2.5.  $[T_c \bullet a] \equiv [T_{R_{\ell_n}} \bullet \phi']$ , onde  $a$  é um atributo de valor estruturado ou de referência do tipo  $T_a$ .

```

CREATE OR REPLACE TRIGGER AdiçãoEm lista_Tc_Caso1
INSTEAD OF INSERT ON NESTED TABLE lista_Tc OF V
[DECLARE ]
BEGIN
[UTL_REF_SELECT OBJETC( )]
/* É uma função do Oracle utilizada para “desreferenciar” um objeto*/
INSERT INTO R_{\ell_n}
( b_1, ..., b_n)
values (Q_{b_1}, ..., Q_{b_n});

```

**Figura 5.10:** Tradutor para Adição Em lista\_Tc (Caso 1)

Figura 5.10 mostra o molde do tradutor “AdiçãoEm lista\_Tc” para este caso. De acordo com o tradutor, um pedido de adição de um objeto (:new) do tipo  $T_c$  na coleção lista\_Tc do objeto pai (:parent) é traduzido em uma inserção da tupla  $t_{\text{nov}} = (V_{b_1}, \dots, V_{b_n})$  na tabela  $R_{\ell_n}$ . O valor do atributo  $b_i$  ( $V_{b_i}$ ),  $1 \leq i \leq n$ , de  $t_{\text{nov}}$  é definido pela subconsulta  $Q_{b_i}$ , a qual computa o valor do atributo  $b_i$  a partir do objeto inserido (:new) e seu pai (:parent).  $Q_{b_i}$  é definida com base nas ACs de  $T_c$  &  $T_{R_{\ell_n}}$  e na ACC de lista\_Tc ( $T_v, \text{lista\_Tc} \equiv T_b, \phi$ ), de acordo com os casos definidos para o procedimento GVA<sub>1</sub> (Gera Valor de Atributo) na Tabela 5.1 abaixo:

**Caso 1:**  $b$  é um atributo da chave estrangeira na ligação  $\ell_n$  do caminho  $\phi$  ( $[T_v \bullet \text{lista\_Tc}] \equiv [T_{R_b} \bullet \ell_1 \bullet \dots \bullet \ell_n]$ )

**Caso 1.1:**  $\phi$  possui somente uma ligação ( $\ell_1$ ) inversa da chave estrangeira dada por  $R_{\ell_1}[g_1^{\ell_1}, \dots, g_{m_1}^{\ell_1}] \subset R_b[f_1^{\ell_1}, \dots, f_{m_1}^{\ell_1}]$  e  $b = g_q^{\ell_1}$ ,  $1 \leq q \leq m_1$ , e a ACO de  $T_{R_b}$  com  $T_v$  é dada por:  $[T_{R_b}, \{f_1^{\ell_1}, \dots, f_{m_1}^{\ell_1}\}] \equiv [T_v, \{d_1, \dots, d_{m_1}\}]$ .  
 $Q_b := \text{:parent} \bullet d_q$

**Caso 1.2:**  $\phi$  possui mais de uma ligação ( $n > 1$ ) e  $b = g_q^{\ell_n}$ ,  $1 \leq q \leq m_n$ , onde  $f_q^{\ell_n}$  é parte da chave estrangeira  $R_{\ell_{n-1}}[f_1^{\ell_n}, \dots, f_{m_n}^{\ell_n}] \subset R_{\ell_n}[g_1^{\ell_n}, \dots, g_{m_n}^{\ell_n}]$  e a ACO de  $T_{R_b}$  com  $T_v$  é dada por:  $[T_{R_b}, \{f_1^{\ell_1}, \dots, f_{m_1}^{\ell_1}\}] \equiv [T_v, \{d_1, \dots, d_{m_1}\}]$ .  
 $Q_b :=$ 

```

Select t_{R_{\ell_{n-1}}} \bullet f_q^{\ell_n}
From R_{R_b} t_{R_b}, R_{\ell_1} t_{R_{\ell_1}}, \dots, R_{\ell_{n-1}} t_{R_{\ell_{n-1}}}
Where t_{R_b} \bullet f_q^{\ell_1} = t_{R_{\ell_1}} \bullet g_q^{\ell_1}, 1 \leq q \leq m_1 and t_{R_{\ell_{j-1}}} \bullet f_q^{\ell_j} = t_{R_{\ell_j}} \bullet g_q^{\ell_j}, 1 \leq j \leq n
and t_{R_b} \bullet f_1^{\ell_1} = :parent \bullet d_1 and ... and t_{R_b} \bullet f_{m_1}^{\ell_1} = :parent \bullet d_{m_1}

```

**Caso 2:**  $b$  monovalorado de valor atômico e  $\psi: [T_c \bullet a] \equiv [T_{R_{\ell_n}} \bullet b]$ , onde  $a$  é um atributo monovalorado de  $T_c$   
 $Q_b := \text{:new} \bullet a$ ;

**Caso 3:**  $b = d_i$ ,  $d_i$  é monovalorado de valor atômico e  $\psi: [T_c \bullet a] \equiv [T_{R_{\ell_n}}, \{d_1, d_2, \dots, d_w\}]$ , onde  $a$  é um atributo multivalorado de  $T_c$  do tipo varray  
 $Q_b := \text{:new} \bullet a[i]$ ;

**Caso 4:**  $\mathbf{b} = \mathbf{d}_i$ ,  $\mathbf{d}_i$  é monovalorado de valor atômico e  $\psi: [\mathbf{T}_c \bullet \mathbf{a}, \{\mathbf{a}_1, \mathbf{a}_2, \dots, \mathbf{a}_w\}] \equiv [\mathbf{T}_{R_{\ell_n}}, \{\mathbf{d}_1, \mathbf{d}_2, \dots, \mathbf{d}_w\}]$

$\mathbf{Q}_b := \text{new} \bullet \mathbf{a} \bullet \mathbf{a}_i$ ;

Para os casos 5 e 6 considere  $\varphi' = \ell'_1 \bullet \ell'_2 \dots \bullet \ell'_p$  um caminho de  $\mathbf{T}_{R_{\ell_n}}$ , onde  $\ell'_1$  é uma chave estrangeira de  $R_{\ell_n}$  dada por  $R_{\ell_n}[\mathbf{f}_1^{\ell'_1}, \dots, \mathbf{f}_{m_1}^{\ell'_1}] \subset R_{\ell'_1}[\mathbf{g}_1^{\ell'_1}, \dots, \mathbf{g}_{m_1}^{\ell'_1}]$ , e  $\ell'_i$  é uma ligação de chave estrangeira dada por  $R_{\ell'_i}[\mathbf{f}_1^{\ell'_i}, \dots, \mathbf{f}_{m_i}^{\ell'_i}] \subset R_{\ell'_{i-1}}[\mathbf{g}_1^{\ell'_{i-1}}, \dots, \mathbf{g}_{m_i}^{\ell'_{i-1}}]$  ou inversa da chave estrangeira dada por  $R_{\ell'_i}[\mathbf{g}_1^{\ell'_i}, \dots, \mathbf{g}_{m_i}^{\ell'_i}] \subset R_{\ell'_{i-1}}[\mathbf{f}_1^{\ell'_{i-1}}, \dots, \mathbf{f}_{m_i}^{\ell'_{i-1}}]$ ,  $2 \leq i \leq p$ .

**Caso 5:**  $\mathbf{b}$  é um atributo da ligação  $\ell'_1$  e  $[\mathbf{T}_c \bullet \mathbf{a}] \equiv [\mathbf{T}_{R_{\ell_n}} \bullet \varphi' \bullet \mathbf{k}]$  e  $\mathbf{b} = \mathbf{f}_q^{\ell'_1}$ ,  $1 \leq q \leq m_1$ .

$\mathbf{Q}_b := \text{Select } \mathbf{t}_{R_{\ell'_1}} \bullet \mathbf{g}_q^{\ell'_1}$   
**From**  $R_{\ell'_1} \mathbf{t}_{R_{\ell'_1}}, \dots, R_{\ell'_p} \mathbf{t}_{R_{\ell'_p}}$   
**Where**  $\mathbf{t}_{R_{\ell'_{j-1}}} \bullet \mathbf{f}_k^{\ell'_{j-1}} = \mathbf{t}_{R_{\ell'_j}} \bullet \mathbf{g}_k^{\ell'_j}$ ,  $1 \leq k \leq m_j$ ,  $2 \leq j \leq p$  and  $\mathbf{t}_{R_{\ell'_p}} \bullet \mathbf{k} = \text{new} \bullet \mathbf{a}$

**Caso 6:**  $\mathbf{b}$  é um atributo da ligação  $\ell'_1$  e  $[\mathbf{T}_c \bullet \mathbf{a}] \equiv [\mathbf{T}_{R_{\ell_n}} \bullet \varphi']$ .

**Caso 6.1:**  $\mathbf{a}$  é um atributo de valor estruturado do tipo  $\mathbf{T}_a$

**Caso 6.1.1:**  $\varphi'$  possui somente uma ligação  $\ell'_1$  ( $[\mathbf{T}_c \bullet \mathbf{a}] \equiv [\mathbf{T}_{R_{\ell_n}} \bullet \ell'_1]$ ),  $\mathbf{b} = \mathbf{f}_q^{\ell'_1}$ ,  $1 \leq q \leq m_1$ , e ACO de  $\mathbf{T}_{R_{\ell'_1}}$  com  $\mathbf{T}_a$  é dada por:  $[\mathbf{T}_a, \{\mathbf{h}_1, \dots, \mathbf{h}_{m_1}\}] \equiv [\mathbf{T}_{R_{\ell'_1}}, \{\mathbf{g}_1^{\ell'_1}, \dots, \mathbf{g}_{m_1}^{\ell'_1}\}]$

$\mathbf{Q}_b := \text{new} \bullet \mathbf{a} \bullet \mathbf{h}_q$

**Caso 6.1.2:**  $\varphi'$  possui mais que uma ligação ( $p > 1$ ) e  $\mathbf{b} = \mathbf{f}_q^{\ell'_1}$ ,  $1 \leq q \leq m_1$  e ACO de  $\mathbf{T}_{R_{\ell'_p}}$  com  $\mathbf{T}_a$  é dada por:  $[\mathbf{T}_a, \{\mathbf{h}_1, \dots, \mathbf{h}_m\}] \equiv [\mathbf{T}_{R_{\ell'_p}}, \{\mathbf{e}_1, \dots, \mathbf{e}_m\}]$

$\mathbf{Q}_b := \text{Select } \mathbf{t}_{R_{\ell'_1}} \bullet \mathbf{g}_q^{\ell'_1}$   
**From**  $R_{\ell'_1} \mathbf{t}_{R_{\ell'_1}}, \dots, R_{\ell'_p} \mathbf{t}_{R_{\ell'_p}}$   
**where**  $\mathbf{t}_{R_{\ell'_{j-1}}} \bullet \mathbf{f}_k^{\ell'_{j-1}} = \mathbf{t}_{R_{\ell'_j}} \bullet \mathbf{g}_k^{\ell'_j}$ ,  $1 \leq k \leq m_j$ ,  $2 \leq j \leq p$  and  $\mathbf{t}_{R_{\ell'_p}} \bullet \mathbf{e}_i = \text{new} \bullet \mathbf{a} \bullet \mathbf{h}_i$ ,  $1 \leq i \leq m$

**Caso 6.2:**  $\mathbf{a}$  é um atributo de referência do tipo  $\mathbf{T}_a$

/\* Seja  $\mathbf{\$a}$  o objeto referenciado por  $\text{new} \bullet \mathbf{a}$ . Nesse caso é realizada a chamada da função UTL\_REF\_SELECT OBJETC( $\mathbf{\$a}$ ,  $\text{new} \bullet \mathbf{a}$ ) no tradutor gerado. UTL\_REF\_SELECT OBJETCT é uma função do Oracle utilizada para “desreferenciar” um objeto, então temos que a variável  $\mathbf{\$a}$  do tipo  $\mathbf{T}_a$  recebe o objeto da referência “ $\text{new} \bullet \mathbf{a}$ ” \*/

**Caso 6.2.1:**  $\varphi'$  possui somente uma ligação  $\ell'_1$  ( $[\mathbf{T}_c \bullet \mathbf{a}] \equiv [\mathbf{T}_{R_{\ell_n}} \bullet \ell'_1]$ ),  $\mathbf{b} = \mathbf{f}_q^{\ell'_1}$ ,  $1 \leq q \leq m_1$ , e ACO de  $\mathbf{T}_{R_{\ell'_1}}$  com  $\mathbf{T}_a$  é dada por:  $[\mathbf{T}_a, \{\mathbf{h}_1, \dots, \mathbf{h}_{m_1}\}] \equiv [\mathbf{T}_{R_{\ell'_1}}, \{\mathbf{g}_1^{\ell'_1}, \dots, \mathbf{g}_{m_1}^{\ell'_1}\}]$

$\mathbf{Q}_b := \mathbf{\$a} \bullet \mathbf{h}_q$

**Caso 6.2.2:**  $\varphi'$  possui mais que uma ligação ( $p > 1$ ) e  $\mathbf{b} = \mathbf{f}_q^{\ell'_1}$ ,  $1 \leq q \leq m_1$  e ACO de  $\mathbf{T}_{R_{\ell'_p}}$  com  $\mathbf{T}_a$  é dada por:  $[\mathbf{T}_a, \{\mathbf{h}_1, \dots, \mathbf{h}_m\}] \equiv [\mathbf{T}_{R_{\ell'_p}}, \{\mathbf{e}_1, \dots, \mathbf{e}_m\}]$

$\mathbf{Q}_b := \text{Select } \mathbf{t}_{R_{\ell'_1}} \bullet \mathbf{g}_q^{\ell'_1}$   
**From**  $R_{\ell'_1} \mathbf{t}_{R_{\ell'_1}}, \dots, R_{\ell'_p} \mathbf{t}_{R_{\ell'_p}}$   
**where**  $\mathbf{t}_{R_{\ell'_{j-1}}} \bullet \mathbf{f}_k^{\ell'_{j-1}} = \mathbf{t}_{R_{\ell'_j}} \bullet \mathbf{g}_k^{\ell'_j}$ ,  $1 \leq k \leq m_j$ ,  $2 \leq j \leq p$  and  $\mathbf{t}_{R_{\ell'_p}} \bullet \mathbf{e}_i = \mathbf{\$a} \bullet \mathbf{h}_i$ ,  $1 \leq i \leq m$

**Tabela 5.1:** Casos do Procedimento  $\mathbf{GVA}_1$

A seguir mostramos um exemplo desse caso de tradutor e em seguida mostramos que o tradutor gerado realiza a atualização solicitada na visão.

## EXEMPLO 5.2:

Considere o esquema relacional apresentado na Figura 5.2, o esquema da visão Pedidos\_v, apresentado na Figura 5.1 e as ACs de Pedidos\_v definidas na seção 5.1.5.

Suponha que desejamos gerar o tradutor para inserções na tabela aninha **Listaltens** da visão **Pedidos\_v**. Da AC de **Listaltens** ( $T_{\text{pedido\_v}} \bullet \text{listaltens} \equiv T_{\text{pedido\_rel}} \bullet \text{fk}_2^{-1}$ ) temos que o caminho =  $\text{fk}_2^{-1}$ , onde a ligação multivalorada ( $\text{fk}_2^{-1}$ ) é a última. Figura 5.11 mostra o tradutor para adições na coleção aninhada **Listaltens** de **Pedidos\_v**, gerado pelo algoritmo.

De acordo com o tradutor gerado, um pedido de adição de um objeto (:new) do tipo  $T_{\text{item}}$  na coleção **listaltens** é traduzido em uma inserção da tupla (new.codigo, :new.quantidade, :new.produto, :parent.codigo) na tabela **Itens\_rel**. Sempre que for realizada uma adição na coleção **listaltens** da visão **Pedidos\_v**, o tradutor é disparado.

A seguir mostramos como foram geradas, pelo procedimento  $GVA_1$ , as subconsultas que computam os valores dos atributos **icodigo**, **iquantidade**, **iproduto** e **ipedido**.

- O atributo **icodigo** é um atributo monovalorado de valor atômico. Do Caso 2 do procedimento  $GVA_1$  e da ACC  $\psi_{10}$ :  $[T_{\text{item\_v}} \bullet \text{codigo}] \equiv [T_{\text{itens\_rel}} \bullet \text{icodigo}]$ , temos que  $Q_{\text{icodigo}} = \text{:new.codigo}$  ;

- O atributo **iquantidade** é um atributo monovalorado de valor atômico. Do Caso 2 do procedimento  $GVA_1$  e da ACC  $\psi_{12}$ :  $[T_{\text{item\_v}} \bullet \text{quantidade}] \equiv [T_{\text{itens\_rel}} \bullet \text{iquantidade}]$ , temos que  $Q_{\text{iquantidade}} = \text{:new.quantidade}$ ;

```
CREATE OR REPLACE TRIGGER AdicçãoEmListaItens
INSTEAD OF INSERT ON NESTED TABLE listaItens OF Pedidos_v
BEGIN
  Insert Into Itens_rel
  (
    ( icodigo, iquantidade, iproduto, ipedido )
    values ( :new.codigo,                (de  $\psi_{10}$ )
           :new.quantidade,              (de  $\psi_{11}$ )
           :new.produto,                 (de  $\psi_{12}$ )
           :parent.código                 (da ACO  $\psi_9$ )
    );
END;
```

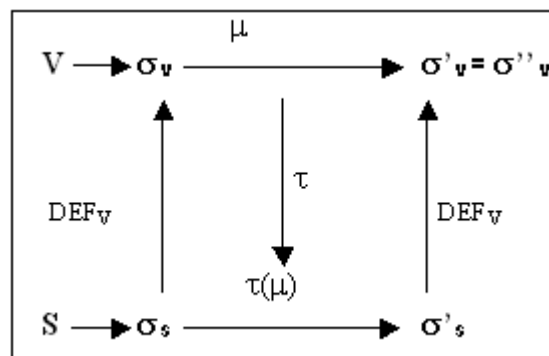
Figura 5.11: Tradutor AdicçãoEmListaItens

- O atributo **iproduto** é atributo monovalorado de valor atômico. Do Caso 2 do procedimento  $GVA_1$  e da ACC  $\psi_{11}$ :  $[T_{item\_v} \bullet produto] \equiv [T_{itens\_rel} \bullet produto]$ , temos que  $Q_{iproduto} = new.produto$ ;
- O atributo **ipedido** é parte da chave estrangeira FK2:  $Itens\_rel[ipedido] \subset Pedidos\_rel[pcodigo]$ . De  $\psi_8: Tpedido\_v.listaltens \equiv Tpedido\_rel.fk_2^{-1}$  temos que o caminho  $\phi = fk_2^{-1}$ . Do Caso 1 do procedimento  $GVA_1$ , da ACO  $\psi_9$   $[T_{item\_v}, \{codigo\}] \equiv [T_{itens\_rel}, \{icodigo\}]$ , e dado que o caminho  $\phi$  possui somente uma ligação, temos que:  $Q_{ipedido} = parent.código$ .

Neste trabalho, consideramos que uma tradução é válida se esta realiza a atualização solicitada com o mínimo de efeitos colaterais [21][37]. Na seção A.1.1 do Anexo A, mostramos que o tradutor gerado realiza a atualização solicitada na visão. No Anexo A, seja:

- $U$  a lista de atualizações requisitadas pelo tradutor ( $U = \tau(\mu)$ );
- $\sigma_s$  e  $\sigma'_s$  são os estados de **S** imediatamente antes e depois de  $U$ ;
- $\sigma_v$  e  $\sigma'_v$  os estados da visão **V** em  $\sigma_s$  e  $\sigma'_s$ ;
- $\sigma''_v$  é o novo estado de **V** após a atualização solicitada  $\mu$ .

Temos que provar que:  $\sigma'_v = \sigma''_v$ . (vide Figura 5.12).



**Figura 5.12:** Tradução de Atualização de Visão

## Caso 2: Ligação multivalorada não é a última

Neste caso, como mostrado em [37], para garantirmos que não existe ambigüidade no nível de dados, as seguintes condições devem ser satisfeitas:

1. A ACC de **lista\_Tc** é dada por:  $[T_v \bullet lista\_Tc] \equiv [T_{R_b} \bullet \phi]$ , onde:

- 1.1.  $\varphi = l_1 \bullet l_2 \bullet \dots \bullet l_j \bullet \dots \bullet l_n$  é um caminho de  $\mathbf{T}_{R_b}$ , com ligações  $l_1: \mathbf{T}_{R_b} \rightarrow \mathbf{T}_{R_{\ell_1}}$ ,  $l_i: \mathbf{T}_{R_{\ell_{i-1}}} \rightarrow \mathbf{T}_{R_{\ell_i}}$ ,  $2 \leq i \leq n$ , como apresentado na Figura 5.13.
- 1.2. As ligações  $l_{1..j-1}$  e  $l_{j+1..n-1}$  e suas inversas são ligações monovaloradas, exceto a inversa da ligação  $l_{j+1}$  que pode ser monovalorada ou multivalorada. Desta forma, temos que cada objeto de  $\mathbf{R}_b$  está relacionado com um único objeto de  $\mathbf{R}_{\ell_{j-1}}$  através do caminho  $l_1 \bullet l_2 \bullet \dots \bullet l_{j-1}$  e vice-versa. Temos ainda que cada objeto de cada objeto de  $\mathbf{R}_{\ell_j}$  está relacionado com um único objeto de  $\mathbf{R}_{\ell_n}$  através do caminho  $l_{j+1} \bullet \dots \bullet l_n$ . A ligação  $l_j$  é multivalorada virtual, obtida da inversa da ligação monovalorada  $l: \mathbf{T}_{R_{\ell_j}} \rightarrow \mathbf{T}_{R_{\ell_{j-1}}}$ , onde  $1 < j < n$ . Essa condição garante que a ligação multivalorada não é a última ligação do caminho  $\varphi$ .
- 1.3.  $\mathbf{T}_{R_{\ell_j}}$  é um tipo que representa um relacionamento N:M ou 1:N entre os tipos  $\mathbf{T}_{R_{\ell_{j-1}}}$  e  $\mathbf{T}_{R_{\ell_{j+1}}}$  [44]. Assim sendo  $\mathbf{T}_{R_{\ell_j}}$  possui apenas duas ligações  $l_{j+1}: \mathbf{T}_{R_{\ell_j}} \rightarrow \mathbf{T}_{R_{\ell_{j+1}}}$  ( $\mathbf{R}_{\ell_j}[\mathbf{f}_1^{\ell_{j+1}}, \dots, \mathbf{f}_{m_{j+1}}^{\ell_{j+1}}] \subset \mathbf{R}_{\ell_{j+1}}[\mathbf{g}_1^{\ell_{j+1}}, \dots, \mathbf{g}_{m_{j+1}}^{\ell_{j+1}}]$ ) e  $l: \mathbf{T}_{R_{\ell_j}} \rightarrow \mathbf{T}_{R_{\ell_{j-1}}}$  ( $\mathbf{R}_{\ell_j}[\mathbf{g}_1^{\ell_j}, \dots, \mathbf{g}_{m_j}^{\ell_j}] \subset \mathbf{R}_{\ell_{j-1}}[\mathbf{f}_1^{\ell_j}, \dots, \mathbf{f}_{m_j}^{\ell_j}]$ ). Todos os outros atributos de  $\mathbf{T}_{R_{\ell_j}}$  admitem valor nulo.

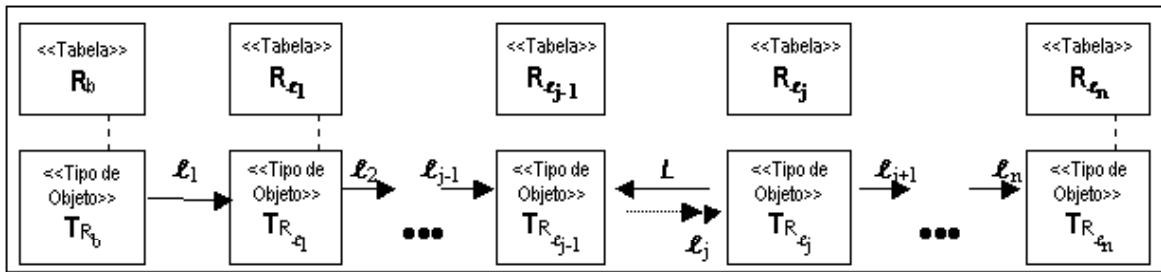


Figura 5.13: Caminho  $\varphi = l_1 \bullet l_2 \bullet \dots \bullet l_{j-1} \bullet \dots \bullet l_n$  do tipo base  $\mathbf{T}_b$

```
CREATE OR REPLACE TRIGGER AdiçãoEm lista_Tc_Caso2
INSTEAD OF INSERT ON NESTED TABLE lista_Tc OF V
BEGIN
INSERT INTO R_{\ell_j}
(b_1, ..., b_n)
VALUES (Q_{b_1}, ..., Q_{b_n});
```

Figura 5.14: Tradutor para Adição Em lista\_Tc (Caso 2)

Figura 5.14 mostra o molde do tradutor “AdiçãoEm lista\_Tc” para este caso. De acordo com o tradutor, um pedido de adição de um objeto (:new) do tipo Tc na coleção lista\_Tc do objeto pai (:parent) é traduzido em uma inserção da tupla  $\mathbf{t}_{\text{nov}} = (\mathbf{V}_{b_1}, \dots, \mathbf{V}_{b_n})$  na tabela  $R_{\ell_j}$ , onde  $\mathbf{b}_1, \dots, \mathbf{b}_n$  são atributos das chaves estrangeiras na ligação  $\ell_j$  ou  $\ell_{j+1}$ . O valor do atributo  $\mathbf{b}_i$  ( $\mathbf{V}_{b_i}$ ),  $1 \leq i \leq n$ , de  $\mathbf{t}_{\text{nov}}$  é definido pela subconsulta  $Q_{b_i}$ , a qual computa o valor do atributo  $\mathbf{b}_i$ ,  $1 \leq i \leq n$ , a partir do objeto inserido (:new) e seu pai (:parent),  $2 \leq i \leq n$ , e é definida com base nas ACs de Tc &  $T_{R_{\ell_n}}$ , e na ACC de lista\_Tc ( $T_v.\text{lista\_Tc} \equiv T_b.\varphi$ ) de acordo com os casos definidos para o procedimento GVA<sub>2</sub> (Gera Valor de Atributo) na Tabela 5.2 abaixo:

<p><b>Caso 1:</b> <math>\mathbf{b}</math> é um atributo da chave estrangeira na ligação <math>\ell_j</math> do caminho <math>\varphi' = \ell_1 \bullet \dots \bullet \ell_j</math></p> <p><b>Caso 1.1:</b> <math>\varphi'</math> possui somente uma ligação <math>\ell_1</math> (<math>\varphi' = \ell_1</math>) inversa da chave estrangeira dada por  <math>R_{\ell_1}[\mathbf{g}_1^{\ell_1}, \dots, \mathbf{g}_{m_1}^{\ell_1}] \subset R_b[\mathbf{f}_1^{\ell_1}, \dots, \mathbf{f}_{m_1}^{\ell_1}]</math> e <math>\mathbf{b} = \mathbf{f}_q^{\ell_1}</math>, <math>1 \leq q \leq m_1</math>, e  a ACO de <math>T_{R_b}</math> com <math>T_v</math> é dada por: <math>[T_{R_b}, \{\mathbf{f}_1^{\ell_1}, \dots, \mathbf{f}_{m_1}^{\ell_1}\}] \equiv [T_v, \{\mathbf{d}_1, \dots, \mathbf{d}_{m_1}\}]</math>.  <math>Q_b := \text{:parent} \bullet \mathbf{d}_q</math></p> <p><b>Caso 1.2:</b> <math>\varphi'</math> possui mais de uma ligação (<math>n &gt; 1</math>) e <math>\mathbf{b} = \mathbf{g}_q^{\ell_j}</math>, <math>1 \leq q \leq m_j</math>, onde <math>\mathbf{g}_q^{\ell_j}</math> é parte da chave estrangeira  <math>R_{\ell_{j-1}}[\mathbf{f}_1^{\ell_j}, \dots, \mathbf{f}_{m_j}^{\ell_j}] \subset R_{\ell_j}[\mathbf{g}_1^{\ell_j}, \dots, \mathbf{g}_{m_j}^{\ell_j}]</math> e a ACO de <math>T_{R_b}</math> com <math>T_v</math> é dada por: <math>[T_{R_b}, \{\mathbf{f}_1^{\ell_1}, \dots, \mathbf{f}_{m_1}^{\ell_1}\}] \equiv [T_v, \{\mathbf{d}_1, \dots, \mathbf{d}_{m_1}\}]</math>.  <math>Q_b := \text{Select } t_{R_{\ell_{j-1}}} \bullet \mathbf{f}_q^{\ell_j}</math>  <b>From</b> <math>R_{R_b} t_{R_b}, R_{\ell_1} t_{R_{\ell_1}}, \dots, R_{\ell_{j-1}} t_{R_{\ell_{j-1}}}</math>  <b>Where</b> <math>t_{R_b} \bullet \mathbf{f}_q^{\ell_1} = t_{R_{\ell_1}} \bullet \mathbf{g}_q^{\ell_1}</math>, <math>1 \leq q \leq m_1</math> <b>and</b> <math>t_{R_{\ell_{k-1}}} \bullet \mathbf{f}_q^{\ell_k} = t_{R_{\ell_k}} \bullet \mathbf{g}_q^{\ell_k}</math>, <math>1 \leq q \leq m_k</math>, <math>2 \leq k \leq j-1</math>  <b>and</b> <math>t_{R_b} \bullet \mathbf{f}_1^{\ell_1} = \text{:parent} \bullet \mathbf{d}_1</math> <b>and</b> ... <b>and</b> <math>t_{R_b} \bullet \mathbf{f}_{m_1}^{\ell_1} = \text{:parent} \bullet \mathbf{d}_{m_1}</math></p> <p><b>Caso 2:</b> <math>\mathbf{b}</math> é um atributo da chave estrangeira na ligação <math>\ell_{j+1}</math> do caminho <math>\varphi'' = \ell_{j+1} \bullet \dots \bullet \ell_n</math></p> <p><b>Caso 2.1:</b> <math>\varphi''</math> possui somente uma ligação <math>\ell_n</math> (<math>\ell_j = \ell_n</math>) inversa da chave estrangeira dada por  <math>R_{\ell_{n-1}}[\mathbf{f}_1^{\ell_n}, \dots, \mathbf{f}_{m_n}^{\ell_n}] \subset R_{\ell_n}[\mathbf{g}_1^{\ell_n}, \dots, \mathbf{g}_{m_n}^{\ell_n}]</math> e <math>\mathbf{b} = \mathbf{f}_q^{\ell_n}</math>, <math>1 \leq q \leq m_n</math>, e  a ACO de <math>T_{R_{\ell_n}}</math> com <math>T_c</math> é dada por: <math>[T_{R_{\ell_n}}, \{\mathbf{g}_1^{\ell_n}, \dots, \mathbf{g}_{m_1}^{\ell_n}\}] \equiv [T_c, \{\mathbf{d}_1, \dots, \mathbf{d}_{m_1}\}]</math>.  <math>Q_b := \text{:new} \bullet \mathbf{d}_q</math></p> <p><b>Caso 2.2:</b> <math>\varphi''</math> possui mais de uma ligação (<math>\ell_j \neq \ell_n</math>) e <math>\mathbf{b} = \mathbf{f}_q^{\ell_{j+1}}</math>, <math>1 \leq q \leq m_{j+1}</math>, onde <math>\mathbf{f}_q^{\ell_{j+1}}</math> é parte da chave estrangeira  <math>R_{\ell_j}[\mathbf{f}_1^{\ell_{j+1}}, \dots, \mathbf{f}_{m_{j+1}}^{\ell_{j+1}}] \subset R_{\ell_{j+1}}[\mathbf{g}_1^{\ell_{j+1}}, \dots, \mathbf{g}_{m_{j+1}}^{\ell_{j+1}}]</math> e a ACO de <math>T_{R_{\ell_n}}</math> com <math>T_c</math> é dada por: <math>[T_{R_{\ell_n}}, \{\mathbf{g}_1^{\ell_n}, \dots, \mathbf{g}_{m_1}^{\ell_n}\}] \equiv [T_c, \{\mathbf{d}_1, \dots, \mathbf{d}_{m_1}\}]</math>.  <math>Q_b := \text{Select } t_{R_{\ell_{j+1}}} \bullet \mathbf{g}_q^{\ell_j}</math>  <b>From</b> <math>R_{\ell_{j+1}} t_{R_{\ell_{j+1}}}, \dots, R_{\ell_n} t_{R_{\ell_n}}</math>  <b>Where</b> <math>t_{R_{\ell_{j+1}}} \bullet \mathbf{f}_q^{\ell_{j+2}} = t_{R_{\ell_{j+2}}} \bullet \mathbf{g}_q^{\ell_{j+2}}</math>, <math>1 \leq q \leq m_j</math> <b>and</b> <math>t_{R_{\ell_{k-1}}} \bullet \mathbf{f}_q^{\ell_k} = t_{R_{\ell_k}} \bullet \mathbf{g}_q^{\ell_k}</math>, <math>1 \leq q \leq m_k</math>, <math>j+2 \leq k \leq n</math>  <b>and</b> <math>t_{R_{\ell_n}} \bullet \mathbf{g}_1^{\ell_n} = \text{:new} \bullet \mathbf{d}_1</math> <b>and</b> ... <b>and</b> <math>t_{R_{\ell_n}} \bullet \mathbf{g}_{m_1}^{\ell_n} = \text{:new} \bullet \mathbf{d}_{m_1}</math></p>
--

**Tabela 5.2:** Casos do Procedimento GVA<sub>2</sub>

Na Seção A.1.2 do Anexo A mostramos que o tradutor gerado realiza a atualização solicitada na visão. A seguir mostramos um exemplo desse caso de tradutor.

### EXEMPLO 5.2:

Considere, por exemplo, o esquema do banco de dados apresentado na Figura 5.15 (a), o esquema da visão **Autores\_v**, apresentado na Figura 5.15 (b) e as ACs definidas abaixo. As ACS são geradas como definido na Seção 5.1.5.

Suponha que desejamos gerar o tradutor para inserções na tabela aninha **lista\_pub** da visão **Autores\_v**. Da AC de **lista\_pub** ( $[T_{\text{autor\_v}} \bullet \text{lista\_pub}] \equiv [T_{\text{autor}} \bullet \text{fk1}^{-1} \bullet \text{fk2}]$ ) temos que o caminho =  $\text{fk1}^{-1} \bullet \text{fk2}$ , onde a ligação multivalorada ( $\text{fk1}^{-1}$ ) não é a última. Figura 5.16 mostra o tradutor para adições na coleção aninhada **lista\_pub** de **Autores\_v**, gerado pelo algoritmo.

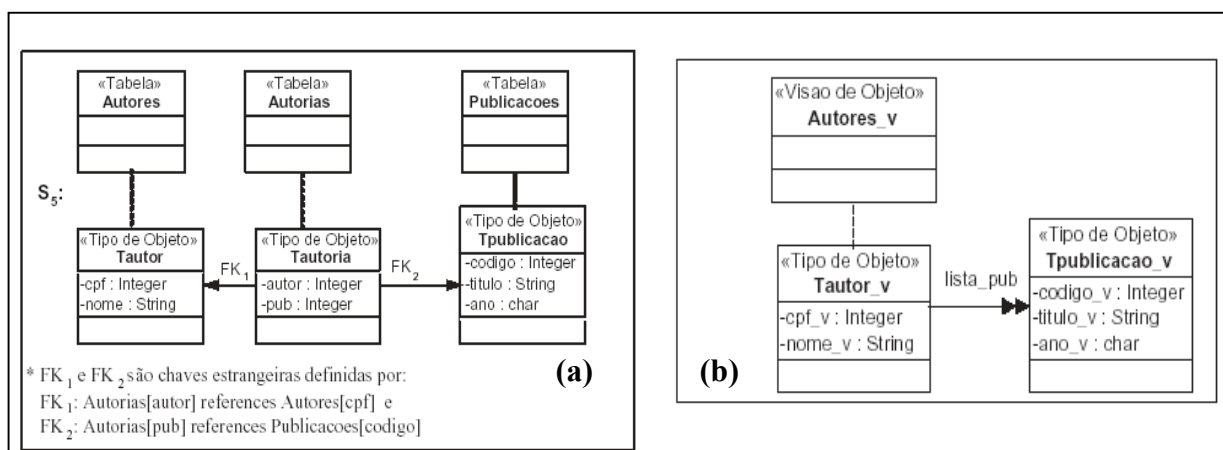


Figura 5.15: Esquema do Banco de Dados (a) e da Visão de Objetos Autores\_v (b)

- Assertiva de Correspondência de Extensão

$$\psi_1: [\text{Autores\_v}] \equiv [\text{Autores}]$$

- Assertivas de Correspondência de Objetos

$$\psi_2: [T_{\text{autor\_v}}, \{\text{cpf\_v}\}] \equiv [T_{\text{autor}}, \{\text{cpf}\}]$$

$$\psi_3: [T_{\text{publicacao\_v}}, \{\text{código\_v}\}] \equiv [T_{\text{publicacao}}, \{\text{codigo}\}]$$

- Assertivas de Correspondência de Caminhos entre os tipos  $T_{\text{autor\_v}}$  e  $T_{\text{autor}}$

$$\psi_4: [T_{\text{autor\_v}} \bullet \text{lista\_pub}] \equiv [T_{\text{autor}} \bullet \text{fk1}^{-1} \bullet \text{fk2}]$$

$$\psi_5: [T_{\text{autor\_v}} \bullet \text{cpf\_v}] \equiv [T_{\text{autor}} \bullet \text{cpf}]$$

$$\psi_6: [T_{\text{autor\_v}} \bullet \text{nome\_v}] \equiv [T_{\text{autor}} \bullet \text{nome}]$$

- Assertivas de Correspondência de Caminhos entre os tipos  $T_{\text{publicacao\_v}}$  e  $T_{\text{publicacao}}$

$$\psi_7: [T_{\text{publicacao\_v}} \bullet \text{codigo\_v}] \equiv [T_{\text{publicacao\_v}} \bullet \text{codigo}]$$

$\Psi_8: [T_{publicacao\_v} \bullet titulo\_v] \equiv [T_{publicacao\_v} \bullet titulo]$

$\Psi_9: [T_{publicacao\_v} \bullet ano\_v] \equiv [T_{publicacao\_v} \bullet ano]$

```
CREATE OR REPLACE TRIGGER AdiçãoEmLista_pub
INSTEAD OF INSERT ON NESTED TABLE lista_pub OF Autores_V
BEGIN
INSERT INTO Autorias
(autor, pub)
values (:parent.cpf_v, :new.codigo_v);
```

**Figura 5.16:** Tradutor AdiçãoEmLista\_pub

De acordo com o tradutor gerado, um pedido de adição de um objeto (:new) do tipo  $T_{publicacao\_v}$  na coleção **lista\_pub** é traduzido em uma inserção da tupla (:parent.cpf\_v, :new.codigo\_v) na tabela **Autorias**. Sempre que for realizada uma adição na coleção **lista\_pub** da visão **Autores\_v**, o tradutor é disparado.

A seguir mostramos como foram geradas, pelo procedimento **GVA<sub>2</sub>**, as subconsultas que computam os valores dos atributos **autor** e **pub**. Dado que  $fk1^{-1}$  é a ligação multivalorada no caminho  $\varphi = fk1^{-1} \bullet fk2$ . Logo temos que :  $\varphi' = FK1^{-1}$  e  $\varphi'' = FK2$ .

- O atributo **autor** é um atributo da chave estrangeira  $Fk1: Autorias[autor] \subset Autores[cpf]$  no caminho  $\varphi' = FK1^{-1}$ . Do Caso 1.1 do procedimento **GVA<sub>2</sub>** e da ACO  $\Psi_2: [T_{autor\_v}, \{cpf\_v\}] \equiv [T_{autor}, \{cpf\}]$ , dado que o caminho  $\varphi'$  possui somente uma ligação ( $\varphi' = FK1^{-1}$ ), temos que  $Q_{autor} = :parent.cpf\_v$ .

- O atributo **pub** é um atributo da chave estrangeira  $FK2: Autorias[pub] \subset Publicacao[codigo]$  no caminho  $\varphi'' = FK2$ . Do Caso 2.1 do procedimento **GVA<sub>2</sub>** e da ACO  $\Psi_3: [T_{publicacao\_v}, \{codigo\_v\}] \equiv [T_{publicacao}, \{codigo\}]$ , temos que:  $Q_{pub} = :new.codigo\_v$ .

## 5.4 Definição de Tradutores para Operações de Remoção em Coleções Aninhadas

Nesta seção apresentamos o algoritmo para geração dos tradutores (*instead of triggers*) para a operação de remoção em coleções aninhadas. No Oracle9i o comando DELETE pode ser usado para remover objetos em coleções aninhadas. Por exemplo, considere a visão **Pedidos\_v** apresentada na Figura 5.5. Para remover um item na coleção aninhada **listaltens** do pedido da visão **Pedidos\_v** da Figura 5.5, cujo código é 1, podemos usar a atualização mostrada na Figura 5.17. No Oracle 9i, **:old** refere-se ao objeto removido

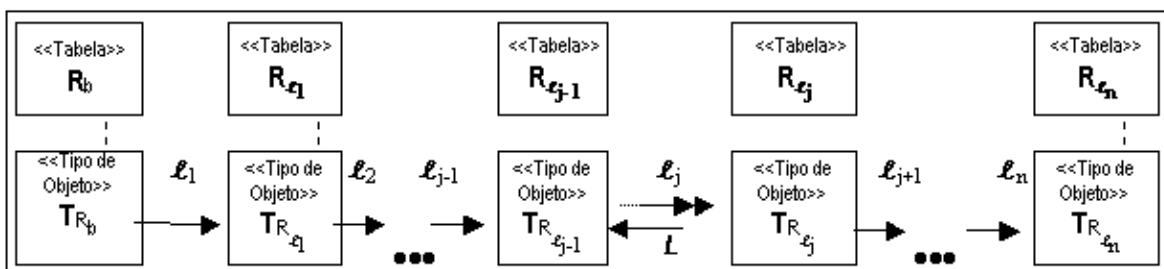
na coleção aninhada, e **:parent** refere-se ao objeto “pai” do objeto removido, que no exemplo é o pedido de código=1 da visão **Pedidos\_v**. Note que a subconsulta “TABLE( SELECT **v•listaltens** FROM **Pedidos\_v** v WHERE **v•codigo=1**)” retorna a coleção aninhada do objeto pai selecionado. A condição na cláusula WHERE da subconsulta deve garantir que um único objeto é selecionado.

```
DELETE FROM TABLE( SELECT v•listaltens FROM Pedidos_v v WHERE v•codigo =1) v1
WHERE v1.codigo=5;
```

**Figura 5.17:** Exemplo de remoção na coleção aninhada **listaltens** da visão **Pedidos\_v**

No resto desta seção, considere a visão **V** cujos objetos são do tipo **T<sub>v</sub>** e **lista\_T<sub>c</sub>** um atributo multivalorado (coleção aninhada) de **T<sub>v</sub>**, cujo valor é um conjunto de objetos do tipo **T<sub>c</sub>**, como mostrado na Figura 5.8 (a). Suponha que: (i) a extensão da visão **V** é definida por uma ACE de equivalência  $V \equiv R_b$  ou de subconjunto  $V \subset R_b$ , onde **R<sub>b</sub>** é a tabela base cujos objetos são do tipo **T<sub>b</sub>** e (ii) A ACC de **lista\_T<sub>c</sub>** é dada por:  $T_v \bullet \text{lista\_T}_c \equiv T_{R_b} \bullet \varphi$ , onde  $\varphi = \ell_1 \bullet \ell_2 \bullet \dots \bullet \ell_n$  é um caminho de **T<sub>R<sub>b</sub></sub>** (Figura 5.18), com ligações  $\ell_1: T_{R_b} \rightarrow T_{R_{\ell_1}}$ ,  $\ell_i: T_{R_{\ell_{i-1}}} \rightarrow T_{R_{\ell_i}}$ ,  $2 \leq i \leq n$  e  $\ell_j$  é uma ligação multivalorada.

No caso em que o esquema do banco de dados é relacional, no caminho  $\varphi = \ell_1 \bullet \ell_2 \bullet \dots \bullet \ell_{j-1} \bullet \dots \bullet \ell_n$ , temos que  $\ell_1, \dots, \ell_{j-1}, \dots, \ell_n$  são ligações de chave estrangeira ou inversas de chave estrangeira. No resto desta seção, suponha que  $\ell_1$  é uma ligação de chave estrangeira dada por  $R_b [f_1^{\ell_1}, \dots, f_{m_1}^{\ell_1}] \subset R_{\ell_1} [g_1^{\ell_1}, \dots, g_{m_1}^{\ell_1}]$  ou inversa da chave estrangeira dada por  $R_{\ell_1} [g_1^{\ell_1}, \dots, g_{m_1}^{\ell_1}] \subset R_b [f_1^{\ell_1}, \dots, f_{m_1}^{\ell_1}]$ ; e  $\ell_i$  é uma ligação de chave estrangeira dada por  $R_{\ell_{i-1}} [f_1^{\ell_i}, \dots, f_{m_i}^{\ell_i}] \subset R_{\ell_i} [g_1^{\ell_i}, \dots, g_{m_i}^{\ell_i}]$  ou inversa da chave estrangeira dada por  $R_{\ell_i} [g_1^{\ell_i}, \dots, g_{m_i}^{\ell_i}] \subset R_{\ell_{i-1}} [f_1^{\ell_i}, \dots, f_{m_i}^{\ell_i}]$ ,  $2 \leq i \leq n$ .



**Figura 5.18:** Caminho  $\varphi = \ell_1 \bullet \ell_2 \bullet \dots \bullet \ell_{j-1} \bullet \dots \bullet \ell_n$  do tipo base  $T_{R_b}$

O algoritmo gera tradutores para os dois casos descritos a seguir. Em ambos os casos, só poderá existir uma única ligação multivalorada no caminho de derivação de  $\text{lista\_T}_c(\varphi)$ , uma vez que na existência de mais de uma ligação ocorrerá ambigüidade a nível de dados. O Caso 1 trata a situação em que a ligação multivalorada é a última ligação de  $\varphi$ , e, o Caso 2, a situação em que a ligação multivalorada não é a última. Mostraremos que nestes casos não existe ambigüidade a nível de dados e a tradução pode ser gerada em tempo de projeto.

### Caso 1: Ligação multivalorada é a última

Neste caso, como mostrado em [37], para garantirmos que não existe ambigüidade no nível de dados, as seguintes condições devem ser satisfeitas:

A ACC de  $\text{lista\_T}_c$  é dada por  $[T_v \bullet \text{lista\_T}_c] \equiv [T_{R_b} \bullet \varphi]$ , onde:

1.  $\varphi = \ell_1 \bullet \ell_2 \bullet \dots \bullet \ell_j \bullet \dots \bullet \ell_n$  é um caminho de  $T_{R_b}$ , com ligações  $\ell_1: T_{R_b} \rightarrow T_{R_{\ell_1}}$ ,  $\ell_i: T_{R_{\ell_{i-1}}} \rightarrow T_{R_{\ell_i}}$ ,  $2 \leq i \leq n$ , como apresentado na Figura 5.18;
2.  $\ell_j$  é a ligação multivalorada, tal que:  $\ell_j$  é a última ligação do caminho  $\varphi$  ( $j=n$ ), então as ligações  $\ell_1, \dots, \ell_{n-1}$  e suas inversas são monovaloradas, ou seja, cada objeto de  $R_b$  está relacionado com um único objeto de  $R_{\ell_{n-1}}$  através do caminho  $\ell_1 \bullet \dots \bullet \ell_{n-1}$  e vice-versa.

A Figura 5.19 mostra o molde do tradutor “RemoçãoEm lista\_Tc\_Caso1” para este caso. De acordo com o tradutor, um pedido de remoção de um objeto (:old) do tipo  $T_c$  na coleção  $\text{lista\_T}_c$  do objeto pai (:parent) é traduzido em uma remoção de uma tupla  $t_{R_{\ell_n}}$  da tabela  $R_{\ell_n}$ , tal que  $\text{:old} \equiv t_{R_{\ell_n}}$ . Note que, de acordo com a ACO de  $T_c$  &  $T_{R_{\ell_n}}$   $\psi: [T_c, \{f_1, f_2, \dots, f_w\}] \equiv [T_{R_{\ell_n}}, \{g_1, g_2, \dots, g_w\}]$ ,  $\text{:old} \equiv t_{R_{\ell_n}}$  sss “ $t_{R_{\ell_n}} \bullet f_k = \text{:old} \bullet g_k$ ,  $1 \leq k \leq w$ ”. Na Seção A.2.1 do Anexo A mostramos que o tradutor gerado realiza a atualização solicitada na visão. A seguir mostramos um exemplo desse caso de tradutor.

```

CREATE OR REPLACE TRIGGER RemoçãoEm lista_Tc_Caso1
INSTEAD OF DELETE ON NESTED TABLE lista_Tc OF V
BEGIN

DELETE FROM Rln tRln
WHERE tRln • f1 =:old • g1 .. AND tRln • fw =:old • cw;

END.

```

**Figura 5.19:** Tradutor para “RemoçãoEm lista\_Tc\_Caso1”

### **EXEMPLO 5.3:**

Considere o esquema do banco de dados apresentado na Figura 5.2, o esquema da visão **Pedidos\_v**, apresentado na Figura 5.1 e as ACs de **V** definidas na seção 5.1.5.

Suponha que desejamos gerar o tradutor para remoções na tabela aninha **listaltens** da visão **Pedidos\_v**. Da AC de **listaltens** ( $T_{pedido\_v.listaltens} \equiv T_{pedido\_rel.fk_2^{-1}}$ ) temos que o caminho  $= fk_2^{-1}$ , onde a ligação multivalorada ( $fk_2^{-1}$ ) é a última. Figura 5.20 mostra o tradutor para remoções na coleção aninhada **listaltens** de **Pedidos\_v**, gerado pelo algoritmo.

De acordo com o tradutor gerado, um pedido de remoção de um objeto (:old) do tipo  $T_{item}$  na coleção **listaltens** é traduzido em uma remoção de uma tupla  $t_{itens\_rel}$  da tabela **Itens\_rel**, tal que  $:old \equiv t_{itens\_rel}$ . Note que, de acordo com a ACO de  $T_{item}$  &  $T_{itens\_rel}$  [ $T_{item\_v,\{codigo\}} \equiv [T_{itens\_rel,\{codigo\}}]$ ],  $:old \equiv t_{itens\_rel}$  SSS “ $t_{itens\_rel} \bullet icodigo = :old \bullet codigo$ ”. Sempre que for realizada uma remoção na coleção **listaltens** da visão **Pedidos\_v**, este tradutor é disparado.

```

CREATE OR REPLACE TRIGGER RemoçãoEmListaItens
INSTEAD OF DELETE ON NESTED TABLE listaItens OF Pedidos_v
BEGIN
Delete from Itens_rel titens_rel where titens_rel • icodigo =:old • codigo;
END;

```

**Figura 5.20:** Tradutor “RemoçãoEmListaItens”

### **Caso2: Ligação multivalorada não é a última**

Neste caso, como mostrado em [37], para garantirmos que não existe ambigüidade no nível de dados, as seguintes condições devem ser satisfeitas:

A ACC de **lista\_Tc** é dada por  $[T_v \bullet lista\_Tc] \equiv [T_{R_b} \bullet \varphi]$ , onde:

1.  $\varphi = \ell_1 \bullet \ell_2 \bullet \dots \bullet \ell_j \bullet \dots \bullet \ell_n$  é um caminho de  $T_{R_b}$ , com ligações  $\ell_1: T_{R_b} \rightarrow T_{R_{\ell_1}}$ ,  $\ell_i: T_{R_{\ell_{i-1}}} \rightarrow T_{R_{\ell_i}}$ ,  $2 \leq i \leq n$ , como apresentado na Figura 5.18;

2.  $\ell_j$  não é a última ligação do caminho  $\varphi$  ( $j < n$ ), então as ligações  $\ell_1, \dots, \ell_{j-1}$  e  $\ell_{j+1}, \dots, \ell_n$  e suas inversas são monovaloradas. Desta forma, temos que cada objeto de  $R_b$  está relacionado com um único objeto de  $R_{\ell_{j-1}}$  através do caminho  $\ell_1 \bullet \ell_2 \bullet \dots \bullet \ell_{j-1}$  e vice-versa. Temos ainda que cada objeto de  $R_{\ell_j}$  está relacionado com um único objeto de  $R_{\ell_n}$  através do caminho  $\ell_{j+1} \bullet \dots \bullet \ell_n$ .

A Figura 5.21 mostra o molde do tradutor “RemoçãoEm lista\_Tc\_Caso2” para este caso. De acordo com o tradutor, um pedido de remoção de um objeto (:old) do tipo  $T_c$  na coleção **lista\_Tc** do objeto pai (:parent) é traduzido em uma remoção de uma tupla  $t_{R_{\ell_j}}$  da tabela  $R_{\ell_j}$ , tal que  $t_{R_{\ell_j}} \bullet \ell_{j+1} \bullet \dots \bullet \ell_n = t_{R_{\ell_n}}$ , onde  $t_{R_{\ell_n}} \equiv :old$ , e  $t_{R_b} \bullet \ell_1 \bullet \dots \bullet \ell_j = t_{R_{\ell_j}}$ , onde  $t_{R_b} \equiv :parent$ . Na seção A.2.2 do Anexo A mostramos que o tradutor gerado realiza a atualização solicitada na visão.

```

CREATE OR REPLACE TRIGGER RemoçãoEm lista_Tc_Caso1
INSTEAD OF DELETE ON NESTED TABLE lista_Tc OF V
BEGIN
DELETE FROM R_{\ell_j} t_{R_{\ell_j}}
WHERE t_{R_{\ell_j}} \bullet f_s^{\ell_{j+1}} = (Select t_{R_{\ell_{j+1}}} \bullet g_s^{\ell_{j+1}}
From R_{\ell_{j+1}} t_{R_{\ell_{j+1}}}, \dots, R_{\ell_n} t_{R_{\ell_n}}
Where t_{R_{\ell_{j+1}}} \bullet f_q^{\ell_{j+2}} = t_{R_{\ell_{j+2}}} \bullet g_q^{\ell_{j+2}}, 1 \le k \le m_{j+2} AND t_{R_{\ell_{p-1}}} \bullet f_q^{\ell_p} = t_{R_{\ell_p}} \bullet g_q^{\ell_p},
1 \le q \le m_p, j+1 \le p \le n AND t_{R_{\ell_n}} \bullet f_q^{\ell_n} = :old \bullet d_q), 1 \le s \le m_{j+1}
AND
t_{R_{\ell_j}} \bullet g_s^{\ell_j} = (Select t_{R_{\ell_{j-1}}} \bullet f_s^{\ell_j}
From R_{R_b} t_{R_b}, R_{\ell_1} t_{R_{\ell_1}}, \dots, R_{\ell_{j-1}} t_{R_{\ell_{j-1}}}
Where t_{R_b} \bullet f_q^{\ell_1} = t_{R_{\ell_1}} \bullet g_q^{\ell_1}, 1 \le q \le m_1 and t_{R_{\ell_{k-1}}} \bullet f_q^{\ell_k} = t_{R_{\ell_k}} \bullet g_q^{\ell_k}, 1 \le q \le m_k,
2 \le k \le j-1 and t_{R_b} \bullet f_1^{\ell_1} = :parent \bullet d_1 and ... and
t_{R_b} \bullet f_m^{\ell_1} = :parent \bullet d_m), 1 \le s \le m_j;
END.

```

Figura 5.21: Tradutor para “RemoçãoEm lista\_Tc\_Caso2”

## 5.5 Definição de Tradutores para Operações de Adição em Visões

Nesta seção apresentamos o algoritmo para geração dos tradutores para a operação de adição em visões de objetos. Para adicionar um pedido na visão **Pedidos\_v** da Figura 5.5,

podemos usar a atualização mostrada na Figura 5.22. No Oracle 9i, **new** refere-se ao objeto inserido na visão **Pedidos\_v**.

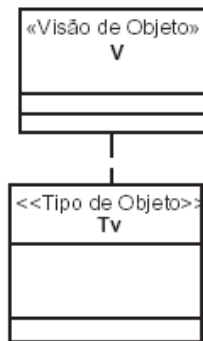
```

INSERT INTO Pedidos_v
(codigo,data, dataEntrega, enderecoEntrega, cliente_ref, listaItens)
VALUES (1,'11/09/2004','23/09/2004',
        Tendereço_v('rua x','tabuleiro','ceara','60960000',
        Select REF(c) From Clientes_v Where c.código='1',
        TlistaItens(Titem(1,2,10),Titem(2,3,20));

```

**Figura 5.22:** Exemplo de inserção na visão **Pedidos\_v**

No resto desta seção, considere a visão **V** cujos objetos são do tipo **T<sub>v</sub>**, como mostrado na Figura 5.23. Suponha que: (i) a extensão da visão **V** é definida por uma ACE de equivalência  $V \equiv R_b$  ou de subconjunto  $V \subset R_b$ , onde **R<sub>b</sub>** é a tabela base cujos objetos são do tipo **T<sub>b</sub>** e (ii)  $[T_v, \{c_1, c_2, \dots, c_w\}] \equiv [T_{R_b}, \{d_1, d_2, \dots, d_w\}]$  é a ACO de **T<sub>v</sub>** & **T<sub>R<sub>b</sub></sub>**.



**Figura 5.23:** Esquema da Visão **V**

O algoritmo gera tradutores para inserção na visão **V**. Como mostrado em [37], para garantirmos que não existe ambigüidade a nível de dados, as seguintes condições devem ser satisfeitas:

1. As assertivas de correspondência dos atributos multivalorados de **T<sub>v</sub>** devem ser de um dos tipos definidos abaixo:
  - 1.1.  $[T_v \bullet a] \equiv [T_{R_b} \bullet \phi]$ , onde **a** é uma coleção aninhada de **T<sub>v</sub>** e  $\phi = \ell_1 \bullet \ell_2 \dots \bullet \ell_n$ , como definido na seção 5.3;
  - 1.2.  $[T_v \bullet a] \equiv [T_{R_b} \{b_1, b_2, \dots, b_n\}]$ , onde **a** é um atributo multivalorado de valor atômico e **b<sub>1</sub>, b<sub>2</sub>, ..., b<sub>n</sub>** atributos de valor atômico de **T<sub>R<sub>b</sub></sub>**;

2. As assertivas de correspondência de caminhos monovalorados entre  $T_v$  e  $T_{R_b}$  podem ser de um dos tipos definidos abaixo:

2.1.  $[T_v \bullet a] \equiv [T_{R_b} \bullet b]$ , onde  $a$  é um atributo monovalorado de  $T_v$  e  $b$  é um atributo de valor atômico de  $T_{R_b}$ ;

2.2.  $[T_v \bullet a, \{a_1, a_2, \dots, a_n\}] \equiv [T_{R_b} \{b_1, b_2, \dots, b_n\}]$ , onde  $a$  um atributo de  $T_v$ , cujo tipo  $T_a$  contém atributos atômicos  $a_1, a_2, \dots, a_n$  e  $b_1, b_2, \dots, b_n$  atributos de valor atômico de  $T_{R_b}$ ;

Para os casos 2.3 e 2.4 abaixo, considere  $\varphi = \ell_1 \bullet \ell_2 \dots \bullet \ell_p$  um caminho de  $T_{R_b}$ , onde  $\ell_1$  é uma chave estrangeira de  $R_b$  dada por  $R_b [f_1^{\ell_1}, \dots, f_{m_1}^{\ell_1}] \subset R_{\ell_1} [g_1^{\ell_1}, \dots, g_{m_1}^{\ell_1}]$ , e  $\ell_i$ , é uma ligação de chave estrangeira dada por  $R_{\ell_{i-1}} [f_1^{\ell_i}, \dots, f_{m_i}^{\ell_i}] \subset R_{\ell_i} [g_1^{\ell_i}, \dots, g_{m_i}^{\ell_i}]$  ou inversa da chave estrangeira dada por  $R_{\ell_i} [g_1^{\ell_i}, \dots, g_{m_i}^{\ell_i}] \subset R_{\ell_{i-1}} [f_1^{\ell_i}, \dots, f_{m_i}^{\ell_i}]$ ,  $2 \leq i \leq p$ , tal que:  $\ell_1$  é uma ligação monovalorada direta cuja inversa pode ser multivalorada ou monovalorada. As ligações  $\ell_2 \bullet \dots \bullet \ell_p$  e suas inversas são monovaloradas. Desta forma, temos que cada objeto de  $R_{\ell_1}$  está relacionado com um único objeto de  $R_{\ell_p}$  e vice-versa;

2.3.  $[T_v \bullet a] \equiv [T_{R_b} \bullet \varphi \bullet k]$ , onde  $a$  é um atributo de valor atômico de  $T_v$  e  $k$  é um atributo e identificador de  $R_{\ell_p}$ . Esta condição garante que uma seleção em  $R_{\ell_p}$ , dado um valor de  $k$ , retorna uma única instância de  $R_{\ell_p}$ ;

2.4.  $[T_v \bullet a] \equiv [T_{R_b} \bullet \varphi]$ , onde  $a$  é um atributo de valor estruturado ou de referência do tipo  $T_a$ .

A Figura 5.24 mostra o molde do tradutor “AdiçãoNaVisaoV” para adição na visão  $V$ . De acordo com o tradutor, um pedido de adição de um objeto (:new) do tipo  $T_v$  na visão  $V$  é traduzido em uma atualização no banco de dados em dois passos. No passo1, é efetuada uma inserção da tupla  $t_{\text{nov}} = (V_{b_1}, \dots, V_{b_n})$  na tabela  $R_b$ . O valor do atributo  $b_i$  ( $V_{b_i}$ ),  $1 \leq i \leq n$ , de  $t_{\text{nov}}$  é definido pela subconsulta  $Q_{b_i}$ , a qual computa o valor do atributo  $b_i$ ,  $1 \leq i \leq n$ , a partir do objeto inserido (:new), e é definida com base nas ACs de  $T_v \& T_{R_b}$ , de acordo com os casos definidos do procedimento  $GVA_3$  (Gera Valor de Atributo) na Tabela 5.3. Neste passo, são atribuídos valores somente aos atributos monovalorados e multivalorados, cuja AC é da forma  $[T_v \bullet a] \equiv [T_{R_b} \{b_1, b_2, \dots, b_n\}]$ , do objeto :new. Os outros tipos de atributos multivalorados do objeto :new são tratados no Passo 2.

```

CREATE OR REPLACE TRIGGER AdiçãoNaVisãoV
INSTEAD OF INSERT ON V
[DECLARE ]
BEGIN
Lista_Tc_nt := :new.lista_Tc
/*Passo 1 */
INSERT INTO Rb
( b1, ..., bn)
values (Qb1, ..., Qbn);
/* Passo 2 - Para cada atributo multivalorado Lista_Tc em V faça: */
FOR I in.. Lista_Tc_nt.count LOOP
    INSERT into TABLE(Select v.lista_tc FROM V v Where v. c1 = :new.c1.....AND v.
cw = :new.cw)
    VALUES(Lista_Tc_nt(i));
END Loop;END;

```

**Figura 5.24:** Template do tradutor “AdiçãoNaVisãoV”

No Passo 2, para cada atributo multivalorado **Lista-T<sub>c</sub>** do objeto :new é solicitado a adição dos objetos na coleção aninhada **Lista-T<sub>c</sub>** do objeto inserido :new, isto é, do objeto da visão **V**. Note que o pedido de atualização na coleção aninhada é traduzido em atualizações no banco de dados usando o tradutor para adição na tabela aninhada **Lista-T<sub>c</sub>** (AdiçãoEmLista\_Tc) da visão **V**, o qual é gerado como discutido na Seção 5.3. Na Seção A.3 do Anexo A mostramos que o tradutor gerado realiza a atualização solicitada na visão. A seguir mostramos um exemplo desse caso de tradutor.

**Caso 1:** **b** monovalorado de valor atômico e  $\psi: [T_v \bullet a] \equiv [T_{R_b} \bullet b]$ , onde **a** é um atributo monovalorado de **T<sub>v</sub>**  
**Q<sub>b</sub>** := :new. **a** ;

**Caso 2:** **b** = **d<sub>i</sub>**, **d<sub>i</sub>** é monovalorado de valor atômico e  $\psi: [T_v \bullet a] \equiv [T_{R_b}, \{d_1, d_2, \dots, d_w\}]$ , onde **a** é um atributo multivalorado de **T<sub>v</sub>** do tipo varray  
**Q<sub>b</sub>** := :new. **a**[i] ;

**Caso 3:** **b** = **d<sub>i</sub>**, **d<sub>i</sub>** é monovalorado de valor atômico e  $\psi: [T_v \bullet a, \{a_1, a_2, \dots, a_w\}] \equiv [T_{R_b}, \{d_1, d_2, \dots, d_w\}]$   
**Q<sub>b</sub>** := :new. **a**. **a<sub>i</sub>** ;

Para os casos 4 e 5 considere  $\varphi = \ell_1 \bullet \ell_2 \dots \bullet \ell_p$  um caminho de **T<sub>R<sub>ℓ<sub>b</sub></sub></sub>**, onde  $\ell_1$  é uma chave estrangeira de **R<sub>b</sub>** dada por  $R_b[f_1^{\ell_1}, \dots, f_{m_1}^{\ell_1}] \subset R_{\ell_1}[g_1^{\ell_1}, \dots, g_{m_1}^{\ell_1}]$ , e  $\ell_i$  é uma ligação de chave estrangeira dada por  $R_{\ell_{i-1}}[f_1^{\ell_i}, \dots, f_{m_i}^{\ell_i}] \subset R_{\ell_i}[g_1^{\ell_i}, \dots, g_{m_i}^{\ell_i}]$  ou inversa da chave estrangeira dada por  $R_{\ell_i}[g_1^{\ell_i}, \dots, g_{m_i}^{\ell_i}] \subset R_{\ell_{i-1}}[f_1^{\ell_i}, \dots, f_{m_i}^{\ell_i}]$ ,  $2 \leq i \leq p$ ;

**Caso 4:** **b** é um atributo da ligação  $\ell_1$  e  $[T_v \bullet a] \equiv [T_{R_b} \bullet \varphi \bullet k]$  e **b** = **f<sub>q</sub><sup>ℓ<sub>1</sub></sup>**,  $1 \leq q \leq m_1$ .  
**Q<sub>b</sub>** := Select **t<sub>R<sub>ℓ<sub>1</sub></sub></sub>**. **g<sub>q</sub><sup>ℓ<sub>1</sub></sup>**  
From **R<sub>ℓ<sub>1</sub></sub>** **t<sub>R<sub>ℓ<sub>1</sub></sub></sub>**, ..., **R<sub>ℓ<sub>p</sub></sub>** **t<sub>R<sub>ℓ<sub>p</sub></sub></sub>**  
Where **t<sub>R<sub>ℓ<sub>i-1</sub></sub></sub>**. **f<sub>k</sub><sup>ℓ<sub>i</sub></sup>** = **t<sub>R<sub>ℓ<sub>i</sub></sub></sub>**. **g<sub>k</sub><sup>ℓ<sub>i</sub></sup>**,  $1 \leq k \leq m_j$ ,  $2 \leq j \leq p$  and **t<sub>R<sub>ℓ<sub>p</sub></sub></sub>**. **k** = :new. **a**

**Caso 5:** **b** é um atributo da ligação  $\ell_1$  e  $[T_v \bullet a] \equiv [T_{R_b} \bullet \varphi]$ .

**Caso 5.1:** **a** é um atributo de valor estruturado do tipo **T<sub>a</sub>**

**Caso 5.1.1:**  $\phi$  possui somente uma ligação  $\ell_1$  ( $[T_v \bullet a] \equiv [T_{R_b} \bullet \ell_1]$ ),  $b = f_q^{\ell_1}$ ,  $1 \leq q \leq m_1$ , e ACO de  $T_{R_{\ell_1}}$  com  $T_a$  é dada por:  $[T_a, \{h_1, \dots, h_{m_1}\}] \equiv [T_{R_{\ell_1}}, \{g_1^{\ell_1}, \dots, g_{m_1}^{\ell_1}\}]$

$Q_b := :new \bullet a \bullet h_q$

**Caso 5.1.2:**  $\phi$  possui mais que uma ligação ( $p > 1$ ) e  $b = f_q^{\ell_1}$ ,  $1 \leq q \leq m_1$  e ACO de  $T_{R_{\ell_p}}$  com  $T_a$  é dada por:  $[T_a, \{h_1, \dots, h_m\}] \equiv [T_{R_{\ell_p}}, \{e_1, \dots, e_m\}]$

$Q_b := \text{Select } t_{R_{\ell_1}} \bullet g_q^{\ell_1}$

**From**  $R_{\ell_1} t_{R_{\ell_1}}, \dots, R_{\ell_p} t_{R_{\ell_p}}$

**where**  $t_{R_{\ell_{j-1}}} \bullet f_k^{\ell_j} = t_{R_{\ell_j}} \bullet g_k^{\ell_j}$ ,  $1 \leq k \leq m_j$ ,  $2 \leq j \leq p$  and  $t_{R_{\ell_p}} \bullet e_i = :new \bullet a \bullet h_i$ ,  $1 \leq i \leq m$

**Caso 5.2:**  $a$  é um atributo de referência do tipo  $T_a$

/\* Seja  $\$a$  o objeto referenciado por  $:new.a$ . Nesse caso é realizada a chamada da função UTL\_REF\_SELECT OBJETC( $\$a$ ,  $:new.a$ ) no tradutor gerado. UTL\_REF\_SELECT OBJETCT é uma função do Oracle utilizada para “desreferenciar” um objeto, então temos que a variável  $\$a$  do tipo  $T_a$  recebe o objeto da referência “ $:new.a$ ”;

**Caso 5.2.1:**  $\phi$  possui somente uma ligação  $\ell_1$  ( $[T_v \bullet a] \equiv [T_{R_b} \bullet \ell_1]$ ),  $b = f_q^{\ell_1}$ ,  $1 \leq q \leq m_1$ , e ACO de  $T_{R_{\ell_1}}$  com  $T_a$  é dada por:  $[T_a, \{h_1, \dots, h_{m_1}\}] \equiv [T_{R_{\ell_1}}, \{g_1^{\ell_1}, \dots, g_{m_1}^{\ell_1}\}]$

$Q_b := :\$a \bullet h_q$

**Caso 5.2.2:**  $\phi$  possui mais que uma ligação ( $p > 1$ ) e  $b = f_q^{\ell_1}$ ,  $1 \leq q \leq m_1$  e ACO de  $T_{R_{\ell_p}}$  com  $T_a$  é dada por:  $[T_a, \{h_1, \dots, h_m\}] \equiv [T_{R_{\ell_p}}, \{e_1, \dots, e_m\}]$

$Q_b := \text{Select } t_{R_{\ell_1}} \bullet g_q^{\ell_1}$

**From**  $R_{\ell_1} t_{R_{\ell_1}}, \dots, R_{\ell_p} t_{R_{\ell_p}}$

**Where**  $t_{R_{\ell_{j-1}}} \bullet f_k^{\ell_j} = t_{R_{\ell_j}} \bullet g_k^{\ell_j}$ ,  $1 \leq k \leq m_j$ ,  $2 \leq j \leq p$  and  $t_{R_{\ell_p}} \bullet e_i = :\$a \bullet h_i$ ,  $1 \leq i \leq m$

**Tabela 5.3:** Casos do Procedimento GVA<sub>3</sub>

### EXEMPLO 5.7:

Considere o esquema relacional apresentado na Figura 5.2, o esquema da visão **Pedidos\_v**, apresentado na Figura 5.1 e as ACs de **V** definidas na seção 5.1.5. Suponha que desejamos gerar o tradutor para inserções na visão **Pedidos\_v**. Figura 5.25 mostra o tradutor para adições na visão **Pedidos\_v**, gerado de acordo com o molde da Figura 5.24.

De acordo com o tradutor gerado, um pedido de adição de um objeto ( $:new$ ) do tipo  $T_{pedido}$  na visão **Pedidos\_v** é traduzido em uma atualização no banco de dados em dois passos.

No Passo 1, ocorre uma inserção da tupla  $t_{novo} = (new \bullet codigo, \$cliente\_ref \bullet codigo, :new \bullet data, :new \bullet dataEntrega, :new \bullet enderecoEntrega \bullet rua, :new \bullet enderecoEntrega \bullet cidade, :new \bullet enderecoEntrega \bullet estado, :new \bullet enderecoEntrega \bullet cep)$  na tabela **Pedido\_rel**. Sempre que for realizada uma adição na visão **Pedidos\_v**, o tradutor é disparado.

No Passo 2 são tratados os atributos multivalorados, cuja AC é da forma  $T_v \bullet a] \equiv [T_{R_b} \bullet \phi]$ , onde  $a$  é uma coleção aninhada de  $T_v$ . Este é o caso do atributo multivalorado

**listaitens** da visão **Pedidos\_v**. Neste passo, para cada objeto do tipo  $T_{item}$  na coleção **listaitens** é efetuada uma inserção na coleção aninhada **listaitens** do objeto **:new**, o qual foi inserido no passo 1. Dado que **codigo** é um identificador de **Pedidos\_v** então temos que **v•codigo** = **:new•codigo**. Note que o pedido de atualização na coleção aninhada é traduzido em atualizações no banco de dados usando o tradutor para adição na coleção aninhada **listaitens** da visão **Pedidos\_v**, mostrado na Figura 5.11.

A seguir mostramos como foram geradas, pelo procedimento **GVA<sub>3</sub>**, as subconsultas que computam os valores dos atributos **pcodigo**, **pcliente**, **pdata**, **pdataentrega**, **prua**, **pcidade**, **pestado** e **pcep**.

- O atributo **pcodigo** é um atributo monovalorado de valor atômico. Do Caso 1 do procedimento **GVA<sub>3</sub>** e da ACC  $\psi_3$ :  $[T_{pedido\_v} \bullet \text{codigo}] \equiv [T_{pedidos\_rel} \bullet \text{pcodigo}]$ , temos que  $Q_{pcodigo} = \text{:new.codigo}$  ;

- O atributo **pdata** é um atributo monovalorado de valor atômico. Do Caso 1 do procedimento **GVA<sub>3</sub>** e da ACC  $\psi_4$ :  $[T_{pedido\_v} \bullet \text{data}] \equiv [T_{pedidos\_rel} \bullet \text{pdata}]$ , temos que  $Q_{pdata} = \text{:new.data}$  ;

- O atributo **pdataentrega** é um atributo monovalorado de valor atômico. Do Caso 1 do procedimento **GVA<sub>3</sub>** e da ACC  $\psi_5$ :  $[T_{pedido\_v} \bullet \text{dataEntrega}] \equiv [T_{pedidos\_rel} \bullet \text{pdataEntrega}]$ , temos que  $Q_{pdataentrega} = \text{:new.dataentrega}$  ;

-O atributo **pcliente** é um atributo da chave estrangeira  $Fk1: Pedidos\_rel[pcliente] \subset Clientes\_rel[ccodigo]$  e **cliente\_ref** é um atributo de referência do tipo  $T_{cliente}$ . Nesse caso é realizada a chamada da função `UTL_REF_SELECT OBJECT($cliente_ref, :new.cliente_ref)` no tradutor gerado. `UTL_REF_SELECT OBJECT` é uma função do Oracle utilizada para “desreferenciar” um objeto, então temos que a variável **\$cliente\_ref** do tipo  $T_{cliente}$  recebe o objeto da referência “**:new.cliente\_ref**”. Dado que o caminho  $\varphi$  ( $fk_1$ ) possui somente uma ligação, do Caso 5.2.1 procedimento **GVA<sub>3</sub>** e da ACC  $\psi_7$ :  $[T_{pedido\_v} \bullet \text{cliente\_ref}] \equiv [T_{pedidos\_rel} \bullet \text{fk}_1]$  , temos que  $Q_{pcliente} = \text{\$cliente\_ref.codigo}$ ;

- Os atributos **prua**, **pcidade**, **pestado** e **pcep** são monovalorados de valor atômico. Do caso 3 do procedimento **GVA<sub>3</sub>** e da ACC  $\psi_6$ :  $[T_{pedido\_v} \bullet \text{enderecoEntrega}], \{\text{rua, cidade, estado, cep}\} \equiv [T_{pedidos\_rel}, \{\text{prua, pcidade}, \text{pestado}, \text{pcep}\}]$ , temos que:

$$Q_{prua} = \text{:new•enderecoEntrega•rua,}$$

**Q<sub>pcidade</sub> := new•enderecoEntrega•cidade,**  
**Q<sub>pestado</sub> := new•enderecoEntrega•estado,**  
**Q<sub>pcep</sub> = :new• enderecoEntrega• cep.**

```

CREATE OR REPLACE TRIGGER Adiciona_Pedidos
INSTEAD OF INSERT ON Pedidos_v
DECLARE Lista_nt ListaItem; $cliente_ref Tcliente;
BEGIN
Lista_nt := :new•listaItens;
UTL_REF_SelectObject($cliente_ref,:new•cliente_ref);

/*PASSO 1*/
Insert into Pedidos_rel
(pcodigo, pcliente, pdata, pdataentrega, prua, pcidade,pestado,pcep )
Values (new•codigo, (de ψ3)
        $cliente_ref•codigo, (de ψ7)
        :new•data, (de ψ4)
        :new•dataEntrega, (de ψ5)
        :new•enderecoEntrega•rua, (de ψ6)
        :new•enderecoEntrega•cidade, (de ψ6)
        :new•enderecoEntrega•estado, (de ψ6)
        :new•enderecoEntrega•cep); (de ψ6)
/*PASSO 2*/
FOR i in 1..Lista_nt.count LOOP
  Insert into Table( Select p•listaItens From Pedidos_v p Where p•codigo = :new•codigo)
  Values(Lista_nt(i));

```

**Figura 5.25:** Tradutor Adiciona\_Pedidos

## 5.6 Definição de Tradutores para Operações de Remoção em Visões

Nesta seção apresentamos o algoritmo para geração dos tradutores para a operação de remoção em visões de objetos. Para remover um pedido da visão **Pedidos\_v** da Figura 5.5, cujo código é 1, podemos usar a atualização mostrada na Figura 5.26. No Oracle 9i, **:old** refere-se ao objeto removido da visão **Pedidos\_v**, isto é, o pedido de código=1.

```

DELETE FROM Pedidos_v v
WHERE v.código='1';

```

**Figura 5.26:** Exemplo de remoção na visão **Pedidos\_v**

No resto desta seção, considere a visão **V** cujos objetos são do tipo **T<sub>v</sub>**, como mostrado na Figura 5.23. Suponha que (i) a extensão da visão **V** é definida por uma ACE de

equivalência  $V \equiv R_b$  ou de subconjunto  $V \subset R_b$ , onde  $R_b$  é a tabela base cujos objetos são do tipo  $T_{R_b}$  e (ii)  $[T_v, \{c_1, c_2, \dots, c_w\}] \equiv [T_{R_b}, \{d_1, d_2, \dots, d_w\}]$  é a ACO de  $T_v$  &  $T_{R_b}$ .

Figura 5.27 mostra o molde do tradutor “RemoçãoNaVisãoV” para remoção na visão  $V$ . De acordo com o tradutor, um pedido de remoção de um objeto (:old) do tipo  $T_v$  na visão  $V$  é traduzido em uma remoção da tupla  $t_{R_b}$  na tabela  $R_b$ , tal que  $:old \equiv t_{R_b}$ . Note que, de acordo com a ACO  $[T_v, \{c_1, c_2, \dots, c_w\}] \equiv [T_{R_b}, \{d_1, d_2, \dots, d_w\}]$  de  $T_v$  &  $T_{R_b}$ ,  $:old \equiv t_{R_b}$  sss “ $t_{R_b} \bullet d_k = :old \bullet c_k$ ,  $1 \leq k \leq w$ ”. Na Seção A.4 do Anexo A mostramos que o tradutor gerado realiza a atualização solicitada na visão. A seguir mostramos um exemplo deste tradutor.

```
CREATE OR REPLACE TRIGGER RemoçãoNaVisãoV
INSTEAD OF DELETE ON V
BEGIN

DELETE FROM R_b t_Rb
WHERE t_Rb • d1 = :old • c1 ... AND t_Rb • d_w = :old • c_w

/*onde [T_v, {c_1, c_2, ..., c_w}] ≡ [T_R_b, {d_1, d_2, ..., d_w}] é a ACO de T_v & T_R_b */
END;
```

**Figura 5.27:** Tradutor para “RemoçãoNaVisãoV”

### **EXEMPLO 5.8:**

Considere o esquema do banco de dados apresentado na Figura 5.2, o esquema da visão **Pedidos\_v**, apresentado na Figura 5.1 e as ACs de  $V$  definidas na Seção 5.1.5. Suponha que desejamos gerar o tradutor para remoções na visão **Pedidos\_v**. Figura 5.28 mostra o tradutor para remoções na visão **Pedidos\_v**, gerado pelo algoritmo.

De acordo com o tradutor gerado, um pedido de remoção de um objeto (:old) do tipo  $T_{pedido}$  na visão **Pedidos\_v** é traduzido em uma remoção da tupla  $t_{pedidos\_rel}$  na tabela **Pedidos\_rel**, tal que  $:old \equiv t_{pedidos\_rel}$ . Note que, de acordo com a ACO  $\psi_2: [T_{pedido\_v}, \{codigo\}] \equiv [T_{pedidos\_rel}, \{pcodigo\}]$ ,  $:old \equiv t_{pedidos\_rel}$  sss “ $t_{pedidos\_rel} \bullet pcodigo = :old \bullet codigo$ ”. Sempre que for realizada uma remoção na visão **Pedidos\_v**, o tradutor é disparado.

```
CREATE OR REPLACE TRIGGER Remove_Pedidos
INSTEAD OF DELETE ON Pedidos_v
BEGIN
DELETE FROM Pedidos_rel p
WHERE p.pcodigo = :old.codigo;
END;
```

Figura 5.28: Tradutor Remove\_Pedidos

## 5.7 Definição de Tradutores para Operações de Modificação de Atributos Monovalorados da Visão

Nesta seção apresentamos o algoritmo para geração dos tradutores para a operação de modificação de atributo monovalorado da visão de objetos. Para modificar o valor do atributo **dataEntrega** da visão **Pedidos\_v** da Figura 5.5, onde o código do pedido é 1, podemos usar a atualização mostrada na Figura 5.28. No Oracle 9i, **:new** refere-se ao objeto modificado na visão de objetos, que no exemplo é o pedido de código=1 da visão **Pedidos\_v**.

```
UPDATE Pedidos_v v
SET v.dataEntrega='23/09/2004'
WHERE v.código='1';
```

Figura 5.28: Exemplo de Atualização na visão Pedidos\_v

No resto desta seção, considere a visão **V** cujos objetos são do tipo **T<sub>v</sub>**, como mostrado na Figura 5.23. Suponha que: (i) a extensão da visão **V** é definida por uma ACE de equivalência  $V \equiv R_b$  ou de subconjunto  $V \subset R_b$ , onde **R<sub>b</sub>** é a tabela base cujos objetos são do tipo **T<sub>Rb</sub>** e (ii)  $[T_v, \{c_1, c_2, \dots, c_w\} \equiv T_{R_b} \{d_1, d_2, \dots, d_w\}]$  é a ACO de **T<sub>v</sub>** & **T<sub>Rb</sub>**.

O algoritmo gera tradutores para os três casos descritos a seguir:

### Caso 1: ACC é do tipo $[T_v \bullet a] \equiv [T_{R_b} \bullet b]$

Este caso trata a modificação de atributos monovalorados de valor, cuja ACC é do tipo  $[T_v \bullet a] \equiv [T_{R_b} \bullet b]$ , onde **a** é um atributo monovalorado e **b** é um atributo de **T<sub>Rb</sub>**.

Figura 5.29 mostra o molde do tradutor “ModificaVisaoVCaso1” para este caso. De acordo com o tradutor, um pedido de modificação do atributo monovalorado **a** de um objeto (:new) do tipo **T<sub>v</sub>** na visão **V** é traduzido em uma modificação do atributo **b** da tupla **t<sub>b</sub>** na tabela **R<sub>b</sub>**, tal que  $:new \equiv t_b$ . Note que, de acordo com a ACO  $[T_v, \{c_1, c_2, \dots, c_w\}] \equiv [T_{R_b} \{d_1, d_2, \dots, d_w\}]$  de **T<sub>v</sub>** & **T<sub>Rb</sub>**,  $:new \equiv t_b$  sss “ $t_b \bullet d_k = :new \bullet c_k, 1 \leq k \leq w$ . Na seção A.5.1 do Anexo A mostramos que o tradutor gerado realiza a atualização solicitada na visão.

```

CREATE OR REPLACE TRIGGER ModificaVisaoV
INSTEAD OF UPDATE ON V
BEGIN

UPDATE R_b r_b
SET r_b•b = :new•a
WHERE r_b•d_1 = :new•c_1 ...AND r_b•d_w = :new•c_w;
END;

```

**Figura 5.29:** Tradutor “ModificaVisãoVCaso1”

**Caso2:** ACC é do tipo  $[T_v \bullet a, \{a_1, a_2, \dots, a_n\}] \equiv [T_{R_b}, \{b_1, b_2, \dots, b_n\}]$

Este caso trata a modificação de atributos monovalorados de valor, cuja ACC é do tipo  $[T_v \bullet a, \{a_1, a_2, \dots, a_n\}] \equiv [T_{R_b}, \{b_1, b_2, \dots, b_n\}]$ , onde **a** um atributo de  $T_v$ , cujo tipo  $T_a$  contém atributos atômicos  $a_1, a_2, \dots, a_n$  e  $b_1, b_2, \dots, b_n$  atributos de valor atômico de  $T_{R_b}$ .

Figura 5.30 mostra o molde do tradutor “ModificaVisaoVCaso2” para este caso. De acordo com o tradutor, um pedido de modificação do atributo monovalorado estruturado **a**, onde **a** é um atributo de  $T_v$ , cujo tipo  $T_a$  contém atributos atômicos  $a_1, a_2, \dots, a_n$  de um objeto (:new) do tipo  $T_v$  na visão **V**, é traduzido em modificações dos atributos de valor atômico  $b_1, b_2, \dots, b_n$  da tupla  $t_b$  na tabela  $R_b$ , tal que  $:new \equiv t_b$ . Note que, de acordo com a ACO  $[T_v, \{c_1, c_2, \dots, c_w\}] \equiv [T_{R_b}, \{d_1, d_2, \dots, d_w\}]$  de  $T_v$  &  $T_{R_b}$ ,  $:new \equiv t_b$  sss “ $r_b \bullet d_k = :new \bullet c_k, 1 \leq k \leq w$ ”. Na Seção A.5.2 do Anexo A mostramos que o tradutor gerado realiza a atualização solicitada na visão. A seguir mostramos um exemplo deste tradutor.

```

CREATE OR REPLACE TRIGGER ModificaVisaoV
INSTEAD OF UPDATE ON V
BEGIN

UPDATE R_b r_b
SET r_b•b_1 = :new•a•a_1 AND ... r_b•b_n = :new•a•a_n
WHERE r_b•d_1 = :new•c_1 ...AND r_b•d_w = :new•c_w;
END;

```

**Figura 5.30:** Tradutor “ModificaVisãoVCaso2”

**EXEMPLO 5.9:**

Considere o esquema relacional apresentado na Figura 5.2, o esquema da visão Pedidos\_v, apresentado na Figura 5.1 e as ACs de Pedidos\_v definidas na Seção 5.1.5.

Suponha que desejamos gerar o tradutor para modificação do atributo monovalorado **endereçoEntrega** da visão **Pedidos\_v**. A Figura 5.31 mostra o tradutor para modificações de **endereçoEntrega** de um pedido em **Pedidos\_v**.

De acordo com o tradutor gerado, um pedido de modificação do atributo monovalorado **endereçoEntrega**, cujo ACC é  $[T_{pedido\_v} \bullet endereçoEntrega]$ ,  $\{rua, cidade, estado, cep\} \equiv [T_{pedidos\_rel}, \{prua, pcidade, pestado, pcep\}]$ , de um pedido em **Pedidos\_v**, é traduzido em modificações dos atributos  $crua, ccidade, cestado, ccep$  da tupla  $t_{pedido\_rel}$  na tabela **Pedidos\_rel**, tal que  $:new \equiv t_{pedido\_rel}$ . Note que, de acordo com a ACO de  $T_{pedido\_v} \& T_{pedido\_rel}$ , “ $t_{pedido\_rel} \bullet pcodigo = :new \bullet codigo$ ”. Sempre que for realizada uma modificação no atributo monovalorado **endereçoEntrega** da visão **Pedidos\_v**, o tradutor é disparado.

```
CREATE OR REPLACE TRIGGER ModificaEnderecoEntregaVisaoPedidos_v
INSTEAD OF UPDATE ON V
BEGIN

UPDATE Pedidos_rel t_pedido_rel
SET t_pedido_rel.crua = :new.endereçoEntrega.rua AND
   t_pedido_rel.ccidade = :new.endereçoEntrega.cidade AND
   t_pedido_rel.cestado = :new.endereçoEntrega.estado AND
   t_pedido_rel.ccep = :new.endereçoEntrega.cep
WHERE t_pedido_rel.pcodigo = :new.codigo;
END;
```

**Figura 5.31:** Tradutor “ModificaEnderecoEntregaVisaoPedidos\_v”

### Caso 3: ACC é do tipo $T_v \bullet a \equiv T_{R_b} \bullet \varphi \bullet k$

Este caso trata a modificação de atributos monovalorados de valor, cuja ACC é do tipo  $[T_v \bullet a] \equiv [T_{R_b} \bullet \varphi]$ , onde **a** é um atributo monovalorado e  $\varphi$  é um caminho de  $T_{R_b}$ .

Neste caso, como mostrado em [37], para garantirmos que não existe ambigüidade no nível de dados, as seguintes condições devem ser satisfeitas:

1. A assertiva de correspondência do atributo monovalorado **a** é dado por:  $T_v \bullet a \equiv T_{R_b} \bullet \varphi$ , onde  $\varphi$  é um caminho de  $T_{R_b}$  definido por  $\varphi = \ell_1 \bullet \ell_2 \bullet \dots \bullet \ell_j \bullet \dots \bullet \ell_n$  (Figura 5.32), tal que:
  - 1.1.  $\ell_1$  é uma ligação de chave estrangeira dada por  $R_b [f_1^{\ell_1}, \dots, f_{m_1}^{\ell_1}] \subset R_{\ell_1} [g_1^{\ell_1}, \dots, g_{m_1}^{\ell_1}]$  ou inversa da chave estrangeira dada por  $R_{\ell_1} [g_1^{\ell_1}, \dots, g_{m_1}^{\ell_1}] \subset R_b [f_1^{\ell_1}, \dots, f_{m_1}^{\ell_1}]$ ; e  $\ell_i, 2 \leq i \leq n$ , é uma ligação de chave estrangeira dada por  $R_{\ell_{i-1}} [f_1^{\ell_i}, \dots,$

$\mathbf{f}_{m_i^{\ell_i}} \subset \mathbf{R}_{\ell_i} [\mathbf{g}_1^{\ell_i}, \dots, \mathbf{g}_{m_i^{\ell_i}}]$  ou inversa da chave estrangeira dada por  $\mathbf{R}_{\ell_i} [\mathbf{g}_1^{\ell_i}, \dots, \mathbf{g}_{m_i^{\ell_i}}] \subset \mathbf{R}_{\ell_{i-1}} [\mathbf{f}_1^{\ell_i}, \dots, \mathbf{f}_{m_i^{\ell_i}}]$ .

1.2. Considere  $\ell_{j+1}$ ,  $1 \leq i \leq n$ , a ligação monovalorada direta onde será realizada a atualização, a qual é definida em tempo de projeto. Só poderá existir no máximo uma ligação  $\ell_i$  no caminho  $\varphi$  cuja inversa é multivalorada. Caso contrário, como mostrado em [37], existe ambigüidade no nível de dados e o tradutor não poderá ser definido em tempo de projeto. No caso em que  $\varphi$  possui uma ligação cuja inversa é multivalorada, então esta ligação deve ser escolhida, uma vez que se uma das outras ligações de  $\varphi$  fosse escolhida existiria ambigüidade [37]. No caso de todas as inversas das ligações serem monovaloradas, então qualquer uma das ligações do caminho pode ser escolhida. Portanto o projetista deve ser consultado para determinar a ligação em tempo de projeto. Assim, temos que as ligações  $\ell_1, \dots, \ell_j$  e  $\ell_{j+2}, \dots, \ell_n$  e suas inversas são monovaloradas e a inversa de  $\ell_j$  pode ser multivalorada ou monovalorada. Na nossa abordagem, não permitimos a modificação de atributos que sejam identificadores, portanto  $\ell_{j+1}$  não é um identificador de  $\mathbf{R}_{\ell_j}$ .

1.3.  $\mathbf{k}$  é um atributo de  $\mathbf{T}_{R_{\ell_n}}$ , tal que  $\mathbf{k}$  é um identificador de  $\mathbf{R}_{\ell_n}$ . Esta condição garante que com o valor de  $\mathbf{k}$  iremos recuperar apenas uma instância de  $\mathbf{R}_{\ell_n}$ .

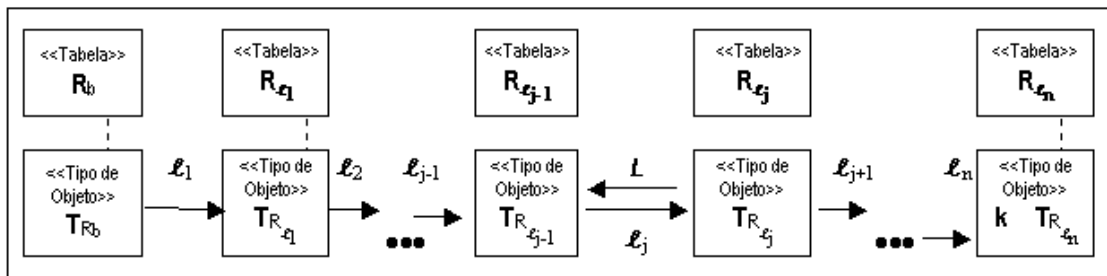


Figura 5.32: Caminho  $\ell_1 \bullet \ell_2 \bullet \dots \bullet \ell_{j-1} \bullet \dots \bullet \ell_n \bullet \mathbf{k}$  do tipo base  $\mathbf{T}_{R_b}$

A Figura 5.33 mostra o molde do tradutor “ModificaVisaoV” para este caso. De acordo com o tradutor, um pedido de modificação do atributo monovalorado  $\mathbf{a}$  de um objeto (:new) do tipo  $\mathbf{T}_v$  na visão  $\mathbf{V}$  é traduzido em uma modificação dos atributos da chave estrangeira  $\ell_{j+1}$  da tupla  $\mathbf{t}_{R_{\ell_j}}$ , onde  $\mathbf{t}_{R_{\ell_j}} = \mathbf{t}_{R_b} \bullet \ell_1 \bullet \dots \bullet \ell_j$  e  $\mathbf{t}_{R_b} \equiv \text{:new}$ . Note que, de acordo com a

ACO de  $T_v$  &  $T_{R_b}$  [ $T_{R_b}, \{c_1, c_2, \dots, c_w\}$ ]  $\equiv$  [ $T_v, \{d_1, d_2, \dots, d_w\}$ ],  $:new \equiv t_{R_b}$  sss “ $t_{R_b} \bullet c_i = :new \bullet d_i, 1 \leq i \leq w$ . Na Seção A.5.3 do Anexo A, mostramos que do novo valor atribuído a  $\ell_{j+1}$ , temos que  $t_{R_{\ell_j}} \bullet \ell_{j+1} = t_{R_{\ell_{j+1}}}$ , onde  $t_{R_{\ell_{j+1}}} \bullet \ell_{j+1} \bullet \dots \bullet \ell_n \bullet k = :new \bullet a$ . Assim temos que  $T_{R_b} \bullet \phi \bullet k = :new \bullet a$ . A seguir mostramos um exemplo deste tradutor.

```

CREATE OR REPLACE TRIGGER ModificaVisaoVCaso3
INSTEAD OF UPDATE ON V
BEGIN
UPDATE Rℓj tRℓj
SET tRℓj • fsℓj+1 = (Select tRℓj+1 • gsℓj+1
      From Rℓj+1 tRℓj+1, ..., Rℓn tRℓn
      Where tRℓj+1 • fqℓj+2 = tRℓj+2 • gqℓj+2, 1 ≤ k ≤ mj+2 AND tRℓp-1 • fqℓp = tRℓp • gqℓp,
      1 ≤ q ≤ mp, j+1 ≤ p ≤ n AND tRℓn • k = :new • a), 1 ≤ s ≤ mj+1
WHERE tRℓj • gsℓj = (Select tRℓj-1 • fsℓj
      From Rb tRb, ..., Rℓj-1 tRℓj-1
      Where tRb • fqℓ1 = tRℓ1 • gqℓ1, 1 ≤ q ≤ m1 and tRℓk-1 • fqℓk = tRℓk • gqℓk, 1 ≤ q ≤ mk,
      2 ≤ k ≤ j-1 and tRb • c1 = :new • d1 ... AND tRb • cw = :new • dw), 1 ≤ s ≤ mj
END;

```

Figura 5.33: Tradutor “ModificaVisãoVCaso3”

### EXEMPLO 5.10:

Considere o esquema do banco de dados apresentado na Figura 5.34 (b), o esquema da visão **Gerentes\_v**, apresentado na Figura 5.34 (a) e as ACs de **V** definidas abaixo.

Suponha que desejamos gerar o tradutor para modificação do atributo monovalorado **#proj\_v** da visão **Pedidos\_v**. Da AC de **#proj\_v** [**Tgerente\_v**•**#proj\_v**]  $\equiv$  [**Tgerente**•**FK<sub>1</sub>**•**FK<sub>2</sub>**•**#proj\_v**], temos que neste exemplo, como todas as inversas das ligações do caminho **FK<sub>1</sub>**•**FK<sub>2</sub>** são monovaloradas então qualquer uma das ligações pode ser escolhida para ser realizada a atualização. Suponha que a ligação **FK<sub>1</sub>** do caminho **FK<sub>1</sub>**•**FK<sub>2</sub>** foi escolhida. Figura 5.35 mostra o tradutor para modificação do atributo **#proj\_v** de **Gerentes\_v**, gerado pelo molde da Figura 5.33.

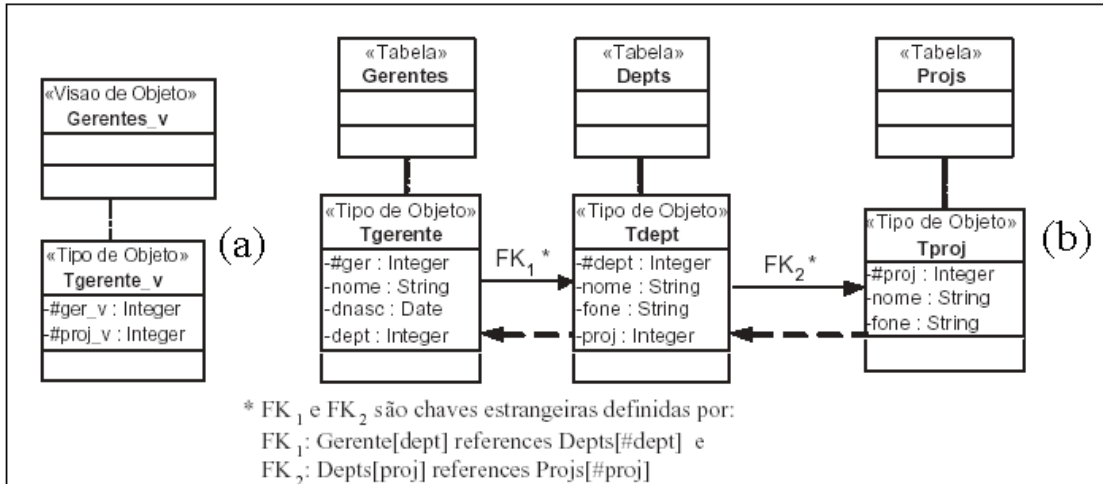


Figura 5.34: Esquema do Banco de Dados (a) da Visão de Objetos **Gerentes\_v** (b)

Assertiva de Correspondência de Extensão:

$\psi_1: [\mathbf{Gerentes\_v}] \equiv [\mathbf{Gerentes}]$

Assertivas de Correspondência de Objetos:

$\psi_2: [\mathbf{Tgerente\_v}, \{\#ger\_v\}] \equiv [\mathbf{Tgerente}, \{\#ger\}]$

Assertivas de Correspondência de Caminho

$\psi_3: [\mathbf{Tgerente\_v} \bullet \#proj\_v] \equiv [\mathbf{Tgerente} \bullet FK_1 \bullet FK_2 \bullet \#proj\_v]$

$\psi_4: [\mathbf{Tgerente\_v} \bullet \#ger\_v] \equiv [\mathbf{Tgerente} \bullet \#ger]$

```
CREATE OR REPLACE TRIGGER ModificaProjeto
INSTEAD OF UPDATE ON Gerentes_v
BEGIN

UPDATE Gerentes g
SET g.dept = ( Select d.#dept
              From Depts, Projs p
              Where p.#proj=:new.proj_v and d.proj = p.#proj)

WHERE g.#ger = :new.#ger_v;
END;
```

Figura 5.35: Tradutor “ModificaProjeto”

De acordo com o tradutor gerado, um pedido de modificação do atributo monovalorado **#proj\_v** de um objeto (:new) na visão **Gerentes\_v** é traduzido na modificação do valor do atributo **#dept** (de FK<sub>1</sub>) da tupla **g** em Gerentes, tal que **g** ≡ :new (da ACO

[**Tgerente\_v**, {**#ger\_v**}]  $\equiv$  [**Tgerente**, {**#ger**}]). Do novo valor atribuído, temos que **g•FK<sub>1</sub>•FK<sub>2</sub>•#proj\_v** = :new.**#proj\_v**. Sempre que for realizada uma modificação no atributo monovalorado **#proj-v** da visão **Gerentes\_v**, o tradutor é disparado.

## Capítulo 6 – *XUpdateTranslator* - O Tradutor de Atualizações do XML Publisher

---

Neste capítulo, discutimos a implementação do *XUpdateTranslator*, o tradutor de atualizações *XQuery* do XML *Publisher*. Inicialmente, descrevemos as fases de tradução de atualizações no XML *Publisher*. Na Seção 6.2, abordamos os tipos de atualização *XQuery* que podem ser traduzidas no *XUpdateTranslator*. Os tipos de atualizações que podem ser traduzidas foram definidos na extensão da linguagem de consulta *XQuery* proposta em [16]. Nas demais seções, apresentamos os algoritmos que implementam as funções do *XUpdateTranslator*.

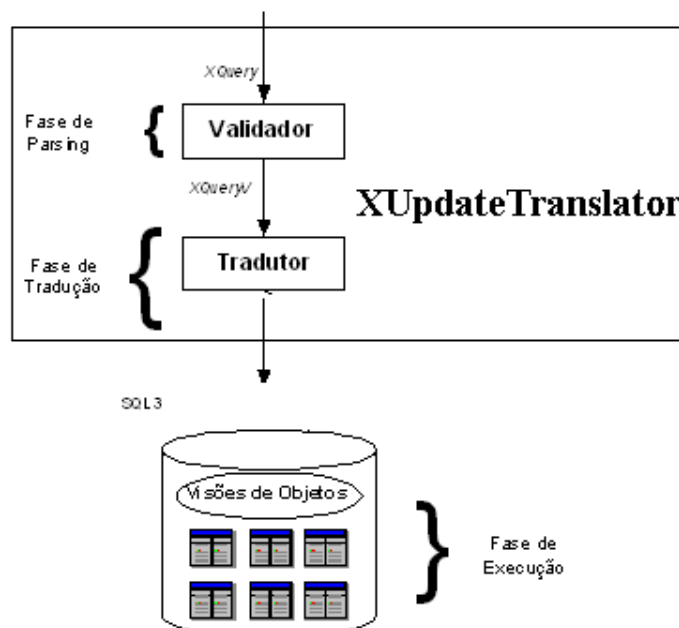
### 6.1 Tradução de atualizações no *XUpdateTranslator*

Como discutido anteriormente, as visões XML publicadas no XML *Publisher* podem ser atualizadas usando a extensão da linguagem *XQuery* proposta em [16]. A tradução de atualizações *XQuery* no XML *Publisher* é realizada pelo *XUpdateTranslator*. Basicamente, o *XUpdateTranslator* é um software para tradução de atualizações *XQuery* em SQL3. Como ilustrado na Figura 6.1, a arquitetura do *XUpdateTranslator* é composta pelos módulos Validador e Tradutor, sendo que as fases envolvidas na tradução de atualizações *XQuery* no *XUpdateTranslator* são: Parsing, Tradução, e Execução.

#### 6.1.1 Fase de *Parsing*

No *XUpdateTranslator*, assim como no processamento de atualizações em SGBD's convencionais, na fase de *parsing* ocorre a análise léxica e sintática da atualização *XQuery*. Em seguida, ocorre a análise semântica, ou validação, onde são verificados se todas as expressões de caminhos (*XPath*) da atualização são válidas e semanticamente significativas para o XML *Schema* da respectiva visão XML. A validação nos permite avaliar com mais precisão erros de sintaxe e semântica na atualização *XQuery* de entrada. Se a validação não existisse, a atualização *XQuery* seria traduzida erroneamente em SQL3 durante a fase de

tradução. Sendo assim, os erros seriam detectados durante a fase de execução da atualização SQL3 e a mensagem de erro gerada pelo SGBD talvez não fosse suficiente para depurar o erro na *XQuery*.



**Figura 6.1:** Arquitetura do *XUpdateTranslator*.

A fase de *parsing* no *XUpdateTranslator* acontece no módulo Validador. Sua implementação não é discutida nesta dissertação. Maiores detalhes sobre as análises léxica, sintática e semântica podem ser encontrados em textos especializados em compiladores [59]. Para este trabalho, é suficiente saber que toda atualização *XQuery* validada corretamente pelo módulo Validador é denominada atualização *XQuery* Válida (*XQueryV*). Na Seção 6.2 descrevemos em que condições uma atualização *XQuery* é válida.

### 6.1.2 Fase de Tradução

Na fase de tradução a atualização é traduzida numa atualização SQL3, que é a linguagem de consulta e atualização para bancos de dados objeto-relacionais. A fase de tradução no *XUpdateTranslator* é executada no módulo Tradutor, no qual a atualização *XQueryV* é diretamente traduzida em uma seqüência de atualizações SQL3 sobre a VOD. Nessa tradução, as cláusulas *for* e *where* do comando de atualização *XQueryV* são diretamente mapeadas nas cláusulas *FROM*, *WHERE*, respectivamente, do comando de

atualização SQL3. As cláusulas *update insert*, *update delete* e *update replace* são mapeadas em cláusulas de atualização SQL3. Na Seção 6.3 discutimos detalhadamente os algoritmos de tradução.

### 6.1.3 Fase de Execução

A fase de execução da atualização *XQuery* no *XUpdateTranslator* corresponde então ao processamento das atualizações SQL3 nas Visões de Objetos do SGBD. As atualizações na Visões de Objetos são por sua vez traduzidas pelos “*instead od triggers*”, em atualizações definidas sobre o esquema do banco de dados, como definido no Capítulo 5. Os “*instead of triggers*” das Visões de Objetos são gerados em tempo de projeto.

## 6.2 Atualizações XQuery Válidas

A linguagem de consulta aceita pelo XML *Publisher* é a XQuery. Essa linguagem foi escolhida por ser largamente aceita, além do que está se tornando um padrão para consulta a dados XML. Neste trabalho, utilizamos a extensão da linguagem de consulta XQuery proposta em [18]. Esta extensão corresponde à implementação dos operadores que são necessários para efetuarmos operações de atualização em visões XML. São definidos os seguintes operadores: insert (inserção), delete (remoção) e replace (modificação).

XQuery foi estendida com a seguinte estrutura para atualizações: FOR... WHERE (opcional)...UPDATEOP (Figura 6.2 (a)). Sendo especificada uma seqüência de sub-operações na cláusula UPDATEOP (Figura 6.2 (b)). As atualizações que podem ser processadas no *XUpdateTranslator* são chamadas de atualizações *XQuery* Válidas (XQueryV), ou seja, atualizações que podem ser validadas pelo módulo Validador.

<pre>FOR \$v<sub>1</sub> IN \$V/δv<sub>1</sub>, \$v<sub>2</sub>in \$v<sub>1</sub>/δv<sub>2</sub>, ..., \$v<sub>n</sub> in \$v<sub>n-1</sub>/δv<sub>n</sub> WHERE Cond<sub>v<sub>1</sub></sub>, Cond<sub>v<sub>2</sub></sub>....., Cond<sub>v<sub>n-1</sub></sub> UPDATEOP</pre>	<pre>UPDATE \$v<sub>n</sub> {<b>subOp</b>, {<b>subOp</b>} *} E <b>subOp</b> é: DELETE \$filho   INSERT \$filho   REPLACE \$filho WITH \$conteudo</pre>
(a)	(b)

**Figura 6.2-** Operadores da extensão XQuery

Neste trabalho, utilizamos comandos de atualização XQuery que possuam uma expressão FWU (FOR WHERE UPDATE) contém uma ou mais variáveis, cada variável  $v_i$ ,  $1 \leq i \leq n$ , tem associado:

- Uma expressão de caminho  $\delta v_i = e_1/e_2/\dots/e_p$ ,  $p > 0$ , onde  $e_1, e_2, \dots, e_{p-1}$  são elementos monocorrência e  $e_p$  pode ser monocorrência( $v_n$ ) ou multiocorrência ( $v_1, \dots, v_n$ );
- Uma condição  $Cond v_i$ , a qual é opcional.

### **Exemplo 6.1: Inserção XQuery**

No exemplo a seguir considere a visão de XML apresentada na Figura 6.6. A atualização  $XQueryV$  é uma inserção (INSERT) de um item para o Pedido cujo cliente é “Wamberg”.  $\$V$  é a visão Pedidos\_v, os caminhos  $\delta v_1 = \text{“Pedidos/Pedido”}$  e  $\delta v_2 = \text{“listaItens”}$  são associados, respectivamente, as variáveis  $\$v_1$  e  $\$v_2$ ,  $Cond v_1$  é a condição associada à variável  $\$v_1$  e  $\$filho$  é o elemento item.

```

for $v1 in view("Pedidos_v")/Pedidos/Pedido,
    $v2 in $v1/listaltens
where $v1/cliente = "Wamberg"
update $v2
insert
<item>
  <codigo>10</codigo>
  <produto>Impressora</produto>
  <quantidade>100</quantidade>
</item>

```

} \$filho

**Figura 6.3 – Atualização XQuery  $Q_1$**

## **6.3 Módulo Tradutor**

A fase de tradução no  $XUpdateTranslator$  ocorre no Módulo Tradutor. Sua função é traduzir cada atualização XQueryV em atualizações SQL3 sobre a respectiva visão de objetos *default*. Essa tradução é realizada de uma forma direta, na qual as cláusulas *for* e *where* da atualização XQueryV são diretamente mapeadas nas cláusulas *FROM*, *WHERE*, respectivamente, da atualização SQL3 correspondente. As cláusulas *update insert*, *update delete* e *update replace* são mapeadas em cláusulas de atualização SQL3 correspondente.

A seguir apresentamos os algoritmos para realizar essa tradução. Os algoritmos que implementam as funções do  $XUpdateTranslator$  recebem como parâmetro de entrada uma operação de atualização XQuery e traduzem esta atualização em uma seqüência de atualizações SQL3 a serem executadas nas Visões de Objetos. O restante do capítulo está dividido como se segue. Na Seção 6.3.1 discutimos o algoritmo da operação de inserção

XQuery. Na Seção 6.3.2 discutimos o algoritmo da operação de remoção XQuery. Finalmente, na Seção 6.3.3, discutimos o algoritmo da operação de modificação XQuery.

### 6.3.1 Algoritmo para Traduzir uma Inserção XQueryV em Inserções ou Modificações SQL3

Nesta seção apresentamos o algoritmo implementado no módulo Tradutor do *XUpdateTranslator* para transformar inserções XQueryV de uma visão XML  $V_x$ , em atualizações SQL3 sobre a respectiva visão de objetos *default* VO, a partir do esquema de  $V_x$ .

Como apresentado na Figura 6.4, o algoritmo **TraduzInserçãoXQuery** recebe como entrada uma atualização XQueryV e o XML Schema da respectiva visão XML. O algoritmo **TraduzInserçãoXQuery** transforma inserções XQueryV de uma visão XML  $V_x$ , em atualizações SQL3 sobre a respectiva visão de objetos *default* VO para os três casos apresentados na Figura 6.4. A seguir, descrevemos cada um destes casos.

**Algoritmo TraduzInserçãoXQuery** (XQ: Expressão XQueryV)  
 $\varphi = \emptyset$ ;  
Seja  $\delta = \delta_{v_1}/\delta_{v_2}/\dots/\delta_{v_n}$  o caminho da raiz até  $\delta_{v_n}$  e Seja  $S$  o esquema default de objetos  
**Caso 1:** O caminho  $\delta$ /label (\$filho) corresponde a uma visão de objeto VO em  $S$   
**Caso 2:** O caminho  $\delta$ /label (\$filho) corresponde a uma coleção aninhada NT em  $S$   
**Caso 3:** O caminho  $\delta$ /label (\$filho) corresponde a um atributo monovalorado em  $S$

**Figura 6.4:** Algoritmo TraduzInserçãoXQuery

#### Caso 1:

Neste caso, uma inserção XQueryV é traduzida em uma inserção em uma visão de objetos VO, isto é, o caminho  $\delta$ /label(\$filho)<sup>4</sup> corresponde a uma visão de objeto VO em  $S$ . Essa correspondência é obtida na geração do esquema da VOD, o qual faz um mapeamento entre os elementos do esquema da visão XML e o esquema da VOD, como definido no Capítulo 4.

Como apresentado na Figura 6.5, o Caso 1 do algoritmo **TraduzInserçãoXQuery** é dividido em dois subcasos.

<sup>4</sup> label(\$filho) é uma função que recebe como parâmetro de entrada \$filho, ou seja, o elemento a ser inserido, e retorna o nome deste elemento.

<p><b>Caso 1:</b> O caminho <math>\delta/\text{label}(\text{\\$filho})</math> corresponde a uma visão de objeto VO em S</p> <p><b>Caso 1.1:</b> N° de aninhamento de coleções aninhadas de valor em <math>T_{\text{\\$filho}} \leq 1</math>  <math>\varphi = \text{INSERT INTO VO VALUES (CriaObjeto1}(T_{\text{\\$filho}}, \text{\\$filho}))</math>;</p> <p><b>Caso 1.2:</b> N° de aninhamento de coleções aninhadas de valor em <math>T_{\text{\\$filho}} &gt; 1</math>  <math>\varphi = \text{INSERT INTO VO VALUES (CriaObjeto2}(T_{\text{\\$filho}}, \text{\\$filho})) + \text{CriaInserção}(T_{\text{\\$filho}}, \text{\\$filho})</math>;</p>
---

**Figura 6.5:** Caso 1 do Algoritmo TraduzInserçãoXQuery

**Caso 1.1:**

No Caso 1.1, o número de aninhamentos de coleções aninhadas de valor em  $T_{\text{\$filho}}$  é menor ou igual a 1, onde  $T_{\text{\$filho}}$  é o tipo do elemento a ser inserido ( $\text{\$filho}$ ).

Observe que no Caso 1.1 é efetuada uma chamada ao procedimento CriaObjeto1. Esse algoritmo recebe como entrada  $T_{\text{\$filho}}$  e  $\text{\$filho}$ , onde  $T_{\text{\$filho}}$  define o tipo do objeto a ser criado e  $\text{\$filho}$  seus valores. Os valores obtidos pelo procedimento são definidos efetuando uma chamada ao procedimento Valor (Tabela 6.2). O objeto criado pelo procedimento CriaObjeto1 é inserido na visão de objetos VO. As tabelas a seguir mostram como este objeto é criado. O procedimento CriaObjeto1 também é utilizado nos casos 2 e 3, como veremos a seguir.

Casos	CriaObjeto1( $T_{\text{\$filho}}, \text{\$filho}$ )
<p><b>1.</b> <math>T_{\text{\\$filho}}</math> é um ComplexType, <math>\text{label}(\text{\\$filho})</math> e <math>\text{parent}^5(\text{label}(\text{\\$filho}))</math> são multiocorrências            Seja <math>T_{\text{\\$filho\_item}}</math> o tipo dos objetos de <math>T_{\text{\\$filho}}</math> no Esquema Default de Objetos (EDO)            Seja <math>e_1, e_2, \dots, e_n</math> os elementos de <math>T_{\text{\\$filho}}</math> em <math>\text{\\$filho}</math></p>	$T_{\text{\$filho\_item}}(\text{valor}(e_1), \text{valor}(e_2), \dots, \text{valor}(e_n))$
<p><b>2.</b> <math>T_{\text{\\$filho}}</math> é um ComplexType            Seja <math>e_1, e_2, \dots, e_n</math> os elementos de <math>T_{\text{\\$filho}}</math> em <math>\text{\\$filho}</math></p>	$T_{\text{\$filho}}(\text{valor}(e_1), \text{valor}(e_2), \dots, \text{valor}(e_n))$
<p><b>3.</b> <math>T_{\text{\\$filho}}</math> é um Simple Type</p>	$\text{\$filho.getvalue}()$
<p><b>4.</b> <math>T_{\text{\\$filho}}</math> é uma referência para <math>T'</math>, onde <math>T'</math> é um tipo do Esquema Default de Objetos (EDO)            /* <math>\text{\\$V'}</math> é a visão de objetos associada a <math>T'</math> e <math>\text{OID}</math> é o identificador único (object identifier) da visão <math>\text{\\$V'}</math></p>	$\text{Select REF}(v) \text{ From } \text{\$V'} \text{ v where } \text{OID} = \text{\$filho.getvalue}()$

**Tabela 6.1:** Procedimento CriaObjeto1

Casos	Valor( $e_i$ )
<p><b>1.</b> <math>e_i</math> é multiocorrência, possui irmãos e <math>e_i</math> é uma referência para um elemento do tipo <math>T'</math>, onde <math>T'</math> é um tipo do Esquema Default de Objetos (EDO)            Seja <math>T_{e_i}</math> o tipo de <math>e_i</math>            Seja <math>\text{\\$S}_1, \text{\\$S}_2, \dots, \text{\\$S}_n</math> instâncias de <math>T_{e_i}</math></p>	$T'(\text{CriaObjeto1}(T_{e_i}, \text{\$S}_1), \text{CriaObjeto1}(T_{e_i}, \text{\$S}_2), \dots, \text{CriaObjeto1}(T_{e_i}, \text{\$S}_n))$
<p><b>2.</b> <math>e_i</math> é multiocorrência, possui irmãos e <math>T_{e_i}</math> não é uma referência para <math>T'</math></p>	$T_{e_i}(\text{CriaObjeto1}(T_{e_i}, \text{\$S}_1), \text{CriaObjeto1}(T_{e_i}, \text{\$S}_2), \dots, \text{CriaObjeto1}(T_{e_i}, \text{\$S}_n))$

<sup>5</sup> parent é uma função que recebe com parâmetro de entrada um elemento e retorna o seu elemento pai.

Seja $T_{e_i}$ o tipo de $e_i$ Seja $\$S_1, \$S_2, \dots, \$S_n$ instâncias de $T_{e_i}$	
3. $e_i$ é multiocorrência e não possui irmãos Seja $T_{e_i}$ o tipo de $e_i$ Seja $\$S_1, \$S_2, \dots, \$S_n$ instâncias de $T_{e_i}$	$CriaObjeto1(T_{e_i}, \$S_1), CriaObjeto1(T_{e_i}, \$S_2), \dots, CriaObjeto1(T_{e_i}, \$S_n)$
4. $e_i$ é monocorrência Seja $T_{e_i}$ o tipo de $e_i$ Seja $\$S_1, \$S_2, \dots, \$S_n$ instâncias de $T_{e_i}$	$CriaObjeto1(T_{e_i}, \$S_1)$

**Tabela 6.2:** Casos do procedimento **Valor( $e_i$ )** para **CriaObjeto1**

Observe que nos Casos 3 e 4 (Tabela 6.1) o objeto criado é obtido de forma direta. No entanto, nos Casos 1 e 2 o esquema da visão XML precisa ser analisado para determinarmos os valores do objeto criado. Sendo assim, os Casos 1 e 2 fazem chamadas recursivas ao procedimento **CriaObjeto1** (Tabela 6.2).

Nos exemplos apresentados neste capítulo, considere o esquema da visão XML Pedidos\_v representado na Figura 6.6 (a) e o esquema da sua respectiva VOD, mostrado na Figura 6.6 (b). Para essa discussão o esquema do banco de dados pode ser ignorado uma vez que a execução da atualização SQL3 na VOD é traduzida em atualizações nas tabelas do banco de dados pelos Triggers INSTEAD OF. A geração semi-automática dos tradutores de atualização foi discutida no Capítulo 5.

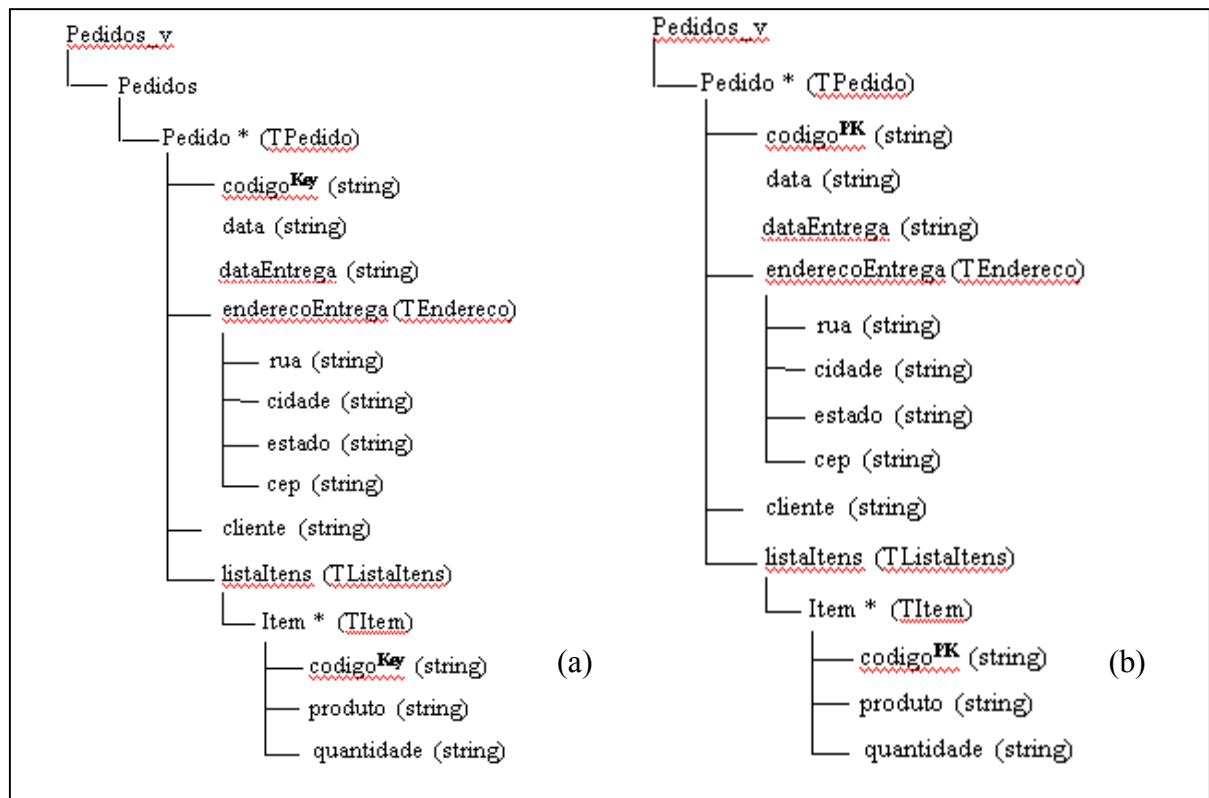
**Exemplo 6.2:**

Considere a atualização  $A_1$  (Figura 6.7 (a)) que insere um elemento Pedido na Visão XML Pedidos\_v. A atualização *XQuery*  $A_1$  será traduzida na atualização SQL3 da Figura 6.7 (b). Dado que  $\delta_{v_1} = \text{Pedidos}$  e  $\text{label}(\$filho) = \text{Pedido}$ , de acordo com os mapeamentos obtidos durante a geração do esquema da VOD, temos que o caminho  $\delta_{v_1} / \text{label}(\$filho)$  corresponde à visão de objetos **Pedidos\_v**.

O número de aninhamentos de coleções aninhadas na estrutura do tipo Tpedido ( $T_{\$filho} = T_{\text{pedido}}$ ) (Figura 6.7 (a)) é igual a 1, pois, o elemento item é o único elemento multiocorrência que descende de Tpedido. E, seja Titem o tipo do elemento item, a estrutura do tipo Titem não possui elementos multiocorrência. Assim, temos uma inserção na visão de objetos **Pedidos\_v**

O procedimento **CriaObjeto1** gera, a partir dos valores dos elementos do tipo Tpedido da visão XML (Linhas 4 a 27), os valores dos atributos do tipo Tpedido da visão de

objetos **Pedidos\_v** (Linhas 3 a 16). Dado que Tpedido é um ComplexType e parent(Pedido)=Pedidos não é multiocorrência, pelo Caso 2 do procedimento **CriaObjeto1**, o tipo do objeto a ser inserido na visão de objetos é Tpedido. Os elementos código, data e dataEntrega são monocorrência e seus tipos são SimpleType, assim, pelo Caso 3 do procedimento **CriaObjeto1**, os valores são mapeados, respectivamente, para as linhas 4, 5 e 6 da Figura 6.7(b). O elemento enderecoEntrega é monocorrência e seu tipo é um ComplexType, assim os valores dos elementos monocorrência rua, cidade, cep e estado são mapeados para linha 7 da Figura 6.7(b).



**Figura 6.6:** Esquemas da visão XML **Pedidos** (a) e da visão de objetos **Pedidos\_v** (b)

O elemento listaltens é monocorrência e seu tipo TListaltens é um ComplexType (linha 9 da Figura 6.7(b)). Como Tlistaltens possui somente o elemento item, que é multiocorrência, e o tipo do elemento item é Titem (ComplexType) (linhas 9 e 13 da Figura 6.7(b)), o Caso 2 do procedimento **CriaObjeto1** deve ser aplicado. Titem contém os elementos monocorrência código, produto e quantidade, cujos tipos são SimpleType. Os valores destes elementos são mapeados para linha 9 a 16 da Figura 6.7(b). Neste caso, os valores são obtidos através do Caso 3 do procedimento **CriaObjeto1**.

<pre> 1. For \$v1 in view("Pedidos")/Pedidos 2. update \$v1 3. insert 4. &lt;Pedido&gt; 5.   &lt;codigo&gt;2&lt;/codigo&gt; 6.   &lt;data&gt;10/11/2002&lt;/data&gt; 7.   &lt;dataEntrega&gt;12/12/2002&lt;/dataEntrega&gt; 8.   &lt;enderecoEntrega&gt; 9.     &lt;rua&gt;rua b&lt;/rua&gt; 10.    &lt;cidade&gt;sobral&lt;/cidade&gt; 11.    &lt;estado&gt;CE&lt;/estado&gt; 12.    &lt;cep&gt;60000660&lt;/cep&gt; 13.  &lt;/enderecoEntrega&gt; 14.  &lt;cliente&gt;Fernando&lt;/cliente&gt; 15.  &lt;listaItens&gt; 16.    &lt;item&gt; 17.      &lt;codigo&gt;10&lt;/codigo&gt; 18.      &lt;produto&gt;Impressora&lt;/produto&gt; 19.      &lt;quantidade&gt;100&lt;/quantidade&gt; 20.    &lt;/item&gt; 21.    &lt;item&gt; 22.      &lt;codigo&gt;14&lt;/codigo&gt; 23.      &lt;produto&gt;Placa-som&lt;/produto&gt; 24.      &lt;quantidade&gt;80&lt;/quantidade&gt; 25.    &lt;/item&gt; 26.  &lt;/listaItens&gt; 27. &lt;/Pedido&gt; </pre> <p style="text-align: right;"><b>(A)</b></p>	<pre> INSERT INTO Pedidos_v v1 (código,data, dataEntrega, enderecoEntrega, cliente, listaItens) VALUES( TPedido(       '2',       '10/11/2002',       '12/12/2002',       Tendereco('rua b', 'sobral','CE', '6000'),       'Fernando',       TlistaItens(         Titem('10',               'Impressora',               '100'),         )       ) ); </pre> <p style="text-align: right;"><b>(B)</b></p>
---	--

**Figura 6.7:** Atualização *XQueryVC*  $A_1$  (A) e tradução SQL3 de  $A_1$  (B)

### Caso 1.2:

No Caso 1.2, o número de aninhamentos de coleções aninhadas de valor em  $T_{\$filho}$  é maior que 1, onde  $T_{\$filho}$  é o tipo do elemento a ser inserido ( $\$filho$ ).

Observe que o no Caso 1.2 é efetuada uma chamada ao procedimento *CriaObjeto2* (Tabela 6.3). Esse procedimento recebe como entrada  $T_{\$filho}$  e  $\$filho$ , onde  $T_{\$filho}$  define o tipo do objeto a ser criado e  $\$filho$  seus valores. O procedimento *CriaObjeto2* cria parcialmente o objeto a ser inserido na visão de objetos VO, isto é, trata somente os valores para os elementos monocorrência. A Tabela 6.3 mostra como este objeto é criado

Casos	<i>CriaObjeto2</i> ( $T_{\$filho}$ , $\$filho$ )
Seja $e_1, e_2, \dots, e_n$ os elementos de $T_{\$filho}$ em $\$filho$	
1. $e_i$ é monocorrência, possui irmãos e $e_i$ é uma referência para um elemento do tipo $T'$ , onde $T'$ é um tipo do Esquema Default de Objetos (EDO) Seja $T_{e_i}$ o tipo de $e_i$	<pre> Select REF(v) From \$V' v where <b>OID</b> = <b>e_i.getvalue();</b> /* Onde \$V' é a visão de objetos associada a <u>T'</u> e <b>OID</b> é o identificador único (object identifier) da visão \$V' */ </pre>

Seja $SS_1$ a instância de $T_{e_i}$	
2. $e_i$ é monocorrência e $T_{e_i}$ é um SimpleType, onde $T_{e_i}$ é o tipo de $e_i$	$e_i.getvalue()$
3. $e_i$ é monocorrência e $T_{e_i}$ é um ComplexType, onde $T_{e_i}$ é o tipo de $e_i$ Seja $SS_1$ a instância de $T_{e_i}$	$CriaObjeto1(T_{e_i}, SS_1)$
4. $e_i$ é multiocorrência	$T_{e_i}()$

**Tabela 6.3:** Procedimento **CriaObjeto2**

No Caso 1.2 (Figura 6.3) também é efetuada uma chamada ao procedimento **CriaInserção** (Tabelas 6.4 ,6.5 e 6.6). Esse procedimento recebe como entrada  $T_{\$filho}$  e **\$filho**. Então, o procedimento gera comandos de inserção nas visões de objetos e coleções aninhadas do esquema default de objetos que correspondem às coleções aninhadas de **\$filho**.

Casos	<b>CriaInserção(<math>T_{\\$filho}</math>, \$filho)</b>
1. Seja $e_i$ , $1 < i < n$ , elemento multiocorrência filho de label( <b>\$filho</b> ) Seja $T_{e_i}$ o tipo complexo (complex type) de $e_i$ Seja $SS_1, SS_2, \dots, SS_n$ instâncias de $T_{e_i}$	$Valor(SS_1); Valor(SS_2); \dots; Valor(SS_n)$
1. Seja $e_i$ , $1 < i < n$ , um elemento monocorrência filho de label ( <b>\$filho</b> ) Seja $T_{e_i}$ o tipo $e_i$ $T_{e_i}$ possui somente um elemento( <b>k</b> ) multiocorrência. Seja $T_k$ o tipo de <b>k</b> Seja $SS^k_1, SS^k_2, \dots, SS^k_n$ instâncias de $T_k$	$Valor(SS^k_1); Valor(SS^k_2); \dots; Valor(SS^k_n)$

**Tabela 6.4:** Algoritmo **CriaInserção**

Casos	Valor( $SS_j$ )
1. $T_{e_i}$ tem no máximo um nível de aninhamento de valor  Seja $VO_i$ a VO do tipo $T_{e_i}$	<pre>INSERT INTO VO<sub>i</sub> VALUES(CriaObjeto1(<math>T_{e_i}</math>, <math>SS_j</math>)) + INSERT INTO TABLE (SELECT v.ei FROM VO v WHERE v.OID=&lt;(key<sup>6</sup> de <math>T_{\\$filho}</math>).getvalue(&gt;)) VALUES (SELECT REF (vo<sub>i</sub>) FROM VO<sub>i</sub> vo<sub>i</sub> WHERE vt.OID= &lt;(key de <math>T_{e_i}</math>).getvalue() &gt; );</pre>
2. $T_{e_i}$ tem mais de um nível de aninhamento de valor  Seja $VO_i$ a VO do tipo $T_{e_i}$	<pre>INSERT INTO V.O VALUES (CriaObjeto2(<math>CT_{e_i}</math>, <math>SS_j</math>)) + CriaInserção(<math>T_{\\$filho}</math>, \$filho) + INSERT INTO TABLE (SELECT v.ei FROM VO v WHERE v.OID=&lt;(key de <math>T_{\\$filho}</math>).getvalue(&gt;)) VALUES (SELECT REF (vo<sub>i</sub>) FROM VO<sub>i</sub> vo<sub>i</sub> WHERE vt.OID= &lt;(key de <math>T_{e_i}</math>).getvalue() &gt; );</pre>

**Tabela 6.5:** Casos do procedimento **Valor( $SS_j$ )** para **CriaInserção**

<sup>6</sup> Key é o elemento chave de um tipo.

Casos	Valor( $\$S_j^k$ )
<p>1. <math>T_k</math> tem no máximo um nível de aninhamento de valor</p> <p>Seja <math>VO_k</math> a VO do tipo <math>T_k</math></p>	<pre>INSERT INTO VO<sub>k</sub> VALUES(CriaObjeto(<math>T_k, \\$S_j^k</math>)) + INSERT INTO TABLE (SELECT v.ei FROM VO v WHERE v.OID=&lt;(key de <math>T_{\\$filho}</math>).getvalue(&gt;)) VALUES (SELECT REF (v<sub>o<sub>k</sub></sub>) FROM VO<sub>k</sub> v<sub>o<sub>k</sub></sub> WHERE vt.OID= &lt;(key de <math>T_k</math>).getvalue(&gt; );</pre>
<p>2. <math>T_k</math> tem mais de um nível de aninhamento de valor</p> <p>Seja <math>VO_k</math> a VO do tipo <math>T_k</math></p>	<pre>INSERT INTO VO<sub>k</sub> VALUES(CriaObjeto(<math>T_k, \\$S_j^k</math>)) + CriaInserção(<math>T_{\\$filho}, \\$filho</math>) + INSERT INTO TABLE (SELECT v.ei FROM VO v WHERE v.OID=&lt;(key de <math>T_{\\$filho}</math>).getvalue(&gt;)) VALUES (SELECT REF (v<sub>o<sub>k</sub></sub>) FROM VO<sub>k</sub> v<sub>o<sub>k</sub></sub> WHERE vt.OID= &lt;(key de <math>T_k</math>).getvalue(&gt; );</pre>

**Tabela 6.6:** Casos do procedimento **Valor( $\$S_j^k$ )** para **CriaInserção**

Observe que nos Casos 1 e 2 (Tabela 6.4), o esquema da visão XML precisa ser analisado para determinarmos as inserções geradas. Sendo assim, o Caso 1 (Tabela 6.5 e Tabela 6.6) faz chamada ao procedimento **CriaObjeto1** e o Caso 2 (Tabela 6.5 e Tabela 6.6) faz chamada aos procedimento **CriaObjeto2** e **CriaInserção**.

### Caso 2:

Neste caso, uma inserção  $XQueryV$  é traduzida em uma inserção na coleção aninhada NT da visão de objetos  $VO_i$ , onde  $VO_i$  é a visão de objetos correspondente ao caminho  $\delta_1/.. \delta_i$  e  $e_1^{\delta_i}, .., e_p^{\delta_i}$  os elementos em  $\delta_i$  que possuem um atributo correspondente em  $S$ . Assim, o caminho  $\delta/label (\$filho)$  corresponde à coleção aninhada NT da visão de objeto  $VO_i$  em  $S$ . Essa correspondência é obtida na geração do esquema da VOD, o qual faz um mapeamento entre os elementos do esquema da Visão XML e o esquema da VOD, como definido no Capítulo 4.

Como apresentado na Figura 6.8, o Caso 2 do algoritmo **TraduzInserçãoXQuery** é dividido em dois subcasos: Caso 2.1, o elemento label ( $\$filho$ ) pertence a um **TipoColeção** e Caso 2.2, o elemento label ( $\$filho$ ) não pertence a um **TipoColeção**. Um **TipoColeção** é um tipo complexo (ComplexType) do XML *Schema* composto por uma única definição de elemento multiocorrência.

Em ambos os casos, primeiramente cria-se o cursor TabObjPai. O cursor criado retorna um conjunto de referências dos objetos da visão de objetos  $VO_{n-1}$  (Caso 2.1 e “Senão” do Caso 2.2) ou  $VO_n$  (“Se” do Caso 2.2). Para cada referência do cursor TabObjPai, uma inserção na coleção aninhada da visão de objetos  $VO_{n-1}$  (Caso 2.1 e “Senão” do Caso 2.2) ou  $VO_n$  (“Se” do Caso 2.2) é efetuada.

**Caso 2:** O caminho  $\delta/\text{label}(\text{\$filho})$  corresponde a uma coleção aninhada NT em  $\mathcal{S}$   
 Seja  $VO_i$  a VO correspondente ao caminho  $\delta_i/. \delta_i$  e  $e_1^{\delta_i}, \dots, e_p^{\delta_i}$  os elementos em  $\delta_i$  que possuem um atributo correspondente em  $\mathcal{S}$

$\varphi = \varphi + \text{DECLARE Referencia};$

**Caso 2.1:** O elemento label ( $\text{\$filho}$ ) pertence a um **TipoColeção**

$\varphi = \varphi + \text{CURSOR TabObjPai IS}$   
     Select REF( $vo_{n-1}$ )  
     From  $VO_1 vo_1, \text{TABLE}(vo_1.e_1^{\delta_2} \dots e_p^{\delta_2}) vo_2, \dots, \text{TABLE}(vo_{n-2}.e_1^{\delta_{n-1}} \dots e_p^{\delta_{n-1}}) vo_{n-1}$   
     Where  $\text{Condv}_1, \text{Condv}_2, \text{Condv}_{n-1};$

$\varphi = \varphi + \text{BEGIN OPEN TabObjPai}$   
 $\varphi = \varphi + \text{LOOP FETCH TabObjPai INTO Referencia};$   
 $\varphi = \varphi + \text{EXIT WHEN TabObjPai}\% \text{NOTFOUND};$   
 /\*Seleciona as referências dos objetos pais da coleção aninhada NT( $e_p^{\delta_n}$ )da visão  $VO_{n-1}$  \*/

$\varphi = \varphi + \text{INSERT INTO TABLE( SELECT } vo_{n-1}.e_1^{\delta_n} \dots e_p^{\delta_n} \text{ FROM } VO_{n-1} vo_{n-1} \text{ WHERE REF}(vo_{n-1}) =$   
     **Referencia**) VALUES(CriaObjeto( $T_{\text{\$filho}}, \text{\$filho}$ ));

**Caso 2.2:** O elemento label ( $\text{\$filho}$ ) não pertence a um **TipoColeção**  
 Se o caminho  $\delta_n$  possui elemento multiocorrência  
 /\*Inserção na coleção aninhada NT(label( $\text{\$filho}$ ))da visão  $VO_n$  \*/

$\varphi = \varphi + \text{CURSOR TabObjPai IS}$   
     Select REF( $vo_n$ ) as **Referencia**  
     From  $VO_1 vo_1, \text{TABLE}(vo_1.e_1^{\delta_2} \dots e_p^{\delta_2}) vo_2, \dots, \text{TABLE}(vo_{n-1}.e_1^{\delta_n} \dots e_p^{\delta_n}) vo_n$   
     Where  $\text{Condv}_1, \text{Condv}_2, \text{Condv}_n$

$\varphi = \varphi + \text{BEGIN OPEN TabObjPai}$   
 $\varphi = \varphi + \text{LOOP FETCH TabObjPai INTO Referencia};$   
 $\varphi = \varphi + \text{EXIT WHEN TabObjPai}\% \text{NOTFOUND};$   
 $\varphi = \varphi + \text{INSERT INTO TABLE( SELECT } vo_n.\text{label}(\text{\$filho}) \text{ FROM } VO_n vo_n \text{ WHERE REF}(vo_n) =$   
     **Referencia**) VALUES(CriaObjeto ( $T_{\text{\$filho}}, \text{\$filho}$ ));

**Senão** /\* Inserção na col.aninhada NT( $e_1^{\delta_n} \dots e_p^{\delta_n}$ , label( $\text{\$filho}$ ))da visão  $VO_{n-1}$  \*/

$\varphi = \varphi + \text{CURSOR TabObjPai IS}$   
     Select REF( $vo_{n-1}$ ) as **Referencia**  
     From  $VO_1 vo_1, \text{TABLE}(vo_1.e_1^{\delta_2} \dots e_p^{\delta_2}) vo_2, \dots, \text{TABLE}(vo_{n-2}.e_1^{\delta_{n-1}} \dots e_p^{\delta_{n-1}}) vo_{n-1}$   
     Where  $\text{Condv}_1, \text{Condv}_2, \text{Condv}_{n-1}$

$\varphi = \varphi + \text{BEGIN OPEN TabObjPai}$   
 $\varphi = \varphi + \text{LOOP FETCH TabObjPai INTO Referencia};$   
 $\varphi = \varphi + \text{EXIT WHEN TabObjPai}\% \text{NOTFOUND};$   
 $\varphi = \varphi + \text{INSERT INTO TABLE( SELECT } vo_{n-1}.e_1^{\delta_n} \dots e_p^{\delta_n} \text{ label}(\text{\$filho}) \text{ FROM } VO_{n-1} vo_{n-1} \text{ WHERE}$   
     REF( $vo_{n-1}$ ) = **Referencia**) VALUES(CriaObjeto ( $T_{\text{\$filho}}, \text{\$filho}$ ));

$\varphi = \varphi + \text{END\_LOOP}; \text{END.}$

**Figura 6.8:** Caso 2 do Algoritmo TraduzInserçãoXQuery

Assim como no Caso 1.1, o Caso 2 também efetua uma chamada ao procedimento *CriaObjeto1*. Neste caso, o procedimento cria o objeto a ser inserido na coleção aninhada de uma visão de objetos  $VO_{n-1}$  ou  $VO_n$ .

### **Exemplo 6.3:**

Considere a atualização  $A_2$  (Figura 6.9 (a)) que insere um elemento *item* para o elemento *listaltens* da Visão XML *Pedidos\_v* onde o cliente é “Wamberg”. A atualização *XQuery*  $A_2$  será traduzida na atualização SQL3 da Figura 6.9 (b). Dado que  $\delta_{v_1} = \text{Pedidos/Pedido}$ ,  $\delta_{v_2} = \text{listaltens}$  e  $\text{label}(\$filho) = \text{item}$ , de acordo com os mapeamentos obtidos durante a geração do esquema da VOD, temos que o caminho  $\delta_{v_1}/\delta_{v_2}/\text{label}(\$filho)$  corresponde à tabela aninhada *listaltens* da visão de objetos **Pedidos\_v**. O elemento  $\text{label}(\$filho) = \text{item}$  pertence ao tipo *Tlistaltens*, o qual é composto por uma única definição de elemento multiocorrência, *item*. Assim, temos que *Tlistaltens* é um *TipoColeção* (Caso 2.1).

Primeiramente cria-se o cursor *TabObjPai* (linhas 3 a 6 da Figura 6.9 (b)). O cursor criado retorna um conjunto de referências dos objetos da visão de objetos **Pedidos\_v**. A expressão de caminho da cláusula *FOR* da linha 1 (Figura 6.9 (a)) é mapeada na cláusula *FROM* da linha 5 (Figura 6.9 (b)) do cursor *TabObjPai*. A cláusula *WHERE* da linha 3 (Figura 6.9 (a)) é mapeada na cláusula *WHERE* da linha 6 (Figura 6.9 (b)). A cláusula *SELECT* da linha 4 (Figura 6.9 (b)) retorna as referências dos objetos selecionados.

Para cada referência de objeto de **Pedidos\_v** retornada pelo cursor *TabObjPai*, uma inserção na coleção aninhada *listaltens* da visão de objetos **Pedidos\_v** é efetuada (linhas 11 a 13 da Figura 6.9 (b)), isto é, para cada pedido onde *cliente* = ‘Wamberg’ será inserido um *item* na coleção aninhada *listaltens* da visão de objetos **Pedidos\_v**. Os valores inseridos (linha 14 da Figura 6.9 (b)) são obtidos efetuando uma chamada ao procedimento **CriaObjeto1**. No Exemplo 6.2, descrevemos como obter estes valores.

### **Caso 3:**

Neste caso, uma inserção *XQueryV* é traduzida em atualizações (*UPDATE*) de um atributo monovalorado de uma visão de objetos *VO* ou de uma coleção aninhada da visão de objetos *VO*, isto é, o caminho  $\delta/\text{label}(\$filho)$  corresponde a um atributo monovalorado em *S*. Essa correspondência é obtida na geração do esquema da VOD, o qual faz um

mapeamento entre os elementos do esquema XML e o esquema da VOD, como definido no Capítulo 4.

<ol style="list-style-type: none"> <li>1. for \$v1 in view("Pedidos_v")/Pedidos/Pedido,</li> <li>2.     \$v2 in \$v1/listaItens</li> <li>3. where \$v1/cliente = "Wamberg"</li> <li>4. update \$v2</li> <li>5. insert</li> <li>6.     &lt;item&gt;</li> <li>7.         &lt;codigo&gt;10&lt;/codigo&gt;</li> <li>8.         &lt;produto&gt;Impressora&lt;/produto&gt;</li> <li>9.         &lt;quantidade&gt;100&lt;/quantidade&gt;</li> <li>10.     &lt;/item&gt;</li> <li>11.</li> <li>12.</li> <li>13.</li> <li>14.</li> <li>15.</li> <li>16.</li> </ol>	<pre> DECLARE Referencia NUMBER; CURSOR TabObjPai IS     SELECT REF(v1)     FROM Pedidos_v v1     WHERE v1.cliente = 'Wamberg' BEGIN OPEN TabObjPai; LOOP     FETCH TabObjPai INTO Referencia;     EXIT WHEN TabObjPai %NOTFOUND;     INSERT INTO TABLE( SELECT v1.listaItens                         FROM Pedidos_v v1                         WHERE REF(v1)= Referencia)     VALUES(Titem('10','Impressora','100')) END_LOOP; END. </pre>
---	---

**Figura 6.9:** Atualização *XQueryVC*  $A_2$  (A) e tradução SQL3 de  $A_2$  (B)

Como apresentado na Figura 6.10, o Caso 3 do algoritmo **TraduzInserçãoXQuery** é dividido em dois subcasos: Caso 3.1, onde  $\delta$  possui um único elemento multiocorrência e e Caso 3.2, onde  $\delta$  possui mais de um elemento multiocorrência.

### Caso 3.1:

Neste caso, dado que o caminho  $\delta$  possui um único elemento multiocorrência e, uma inserção *XQueryV* é traduzida em atualizações (UPDATE) de um atributo monovalorado de uma visão de objetos VO. O atributo monovalorado da VO a ser modificado corresponde ao elemento label(\$filho).

Seja  $\delta v_i$  o caminho em  $\delta$  que contém o elemento e. Caso  $Condv_i$  seja “null”, isto é, não exista condição para o caminho  $\delta v_i$ , a cláusula WHERE do comando de atualização SQL3 não é utilizada, caso contrário, a cláusula WHERE do comando de atualização SQL3 recebe  $Condv_i$ .

Assim como nos Casos 1.1 e 2, o Caso 3.1 também efetua uma chamada ao procedimento CriaObjeto1. Neste caso, o procedimento cria o objeto que atualiza o valor de um atributo monovalorado da visão de objetos VO.

**Caso 3:** O caminho  $\delta$ /label (\$filho) corresponde a um atributo monovalorado em  $\mathcal{S}$

**Caso 3.1:**  $\delta$  possui um único elem. multiocorrência e  
 Seja  $\delta v_i$  o caminho em  $\delta$  que contém  $e$ . O caminho  $\delta v_1 / \dots / \delta v_i / \dots e$  corresponde a uma visão de objeto **VO** em  $\mathcal{S}$

**Caso 3.1.1:**  $\text{Cond}v_i$  é null /\*Não existe condição para o caminho  $\delta v_i$ \*/  
 $\varphi = \text{UPDATE VO SET label}(\$filho).\delta v_{i+1} = \text{CriaObjeto}(\mathbf{T}_{\$filho}, \mathbf{\$filho})$

**Caso 3.1.2:**  $\text{Cond}v_i$  não é null /\*Existe condição para o caminho  $\delta v_i$ \*/  
 $\varphi = \text{UPDATE VO SET label}(\$filho).\delta v_{i+1} = \text{CriaObjeto}(\mathbf{T}_{\$filho}, \mathbf{\$filho}) \text{ WHERE } \text{Cond}v_i$

**Caso 3.2:**  $\delta$  possui mais de um elemento multiocorrência  
 $\varphi = \varphi + \text{DECLARE Referencia};$   
 Seja  $\text{VO}_i$  a visão de objetos correspondente ao caminho  $\delta_1 / \dots / \delta_i$  e  $e_1^{\delta_1}, \dots, e_p^{\delta_1}$  os elementos em  $\delta_i$  que possuem um atributo correspondente em  $\mathcal{S}$

**Caso 3.2.1:** O caminho  $\delta_n$  possui elemento multiocorrência  
 $\varphi = \varphi + \text{CURSOR TabObjPai IS}$   
     Select REF( $\text{vo}_{n-1}$ ) as **Referencia**  
     From  $\text{VO}_1 \text{vo}_1, \text{TABLE}(\text{vo}_1.e_1^{\delta_2} \dots e_p^{\delta_2}) \text{vo}_2, \dots, \text{TABLE}(\text{vo}_{n-2}.e_1^{\delta_{n-1}} \dots e_p^{\delta_{n-1}}) \text{vo}_{n-1}$   
     Where  $\text{Cond}v_1, \text{Cond}v_2, \text{Cond}v_{n-1}$   
 $\varphi = \varphi + \text{BEGIN OPEN TabObjPai}$   
 $\varphi = \varphi + \text{LOOP FETCH TabObjPai INTO Referencia};$   
 $\varphi = \varphi + \text{EXIT WHEN TabObjPai \%NOTFOUND};$

**Caso 3.2.1.1:**  $\text{Cond}v_n$  é null  
 $\varphi = \varphi + \text{UPDATE TABLE}(\text{SELECT } \text{vo}_{n-1}.e_1^{\delta_n} \dots e_p^{\delta_n} \text{ FROM } \text{VO}_{n-1} \text{vo}_{n-1}$   
     WHERE REF( $\text{vo}_{n-1}$ ) = **Referencia**) t  
     SET t.label(\$filho) = CriaObjeto( $\mathbf{T}_{\$filho}, \mathbf{\$filho}$ );

**Caso 3.2.1.2:**  $\text{Cond}v_n$  não é null  
 $\varphi = \varphi + \text{UPDATE TABLE}(\text{SELECT } \text{vo}_{n-1}.e_1^{\delta_n} \dots e_p^{\delta_n} \text{ FROM } \text{VO}_{n-1} \text{vo}_{n-1}$   
     WHERE REF( $\text{vo}_{n-1}$ ) = **Referencia**) t  
     SET t.label(\$filho) = CriaObjeto( $\mathbf{T}_{\$filho}, \mathbf{\$filho}$ )  
     WHERE  $\text{Cond}v_n$ ;

**Caso 3.2.2:** O caminho  $\delta_n$  não possui elemento multiocorrência  
 $\varphi = \varphi + \text{CURSOR TabObjPai IS}$   
     Select REF( $\text{vo}_{n-2}$ ) as **Referencia**  
     From  $\text{VO}_1 \text{vo}_1, \text{TABLE}(\text{vo}_1.e_1^{\delta_2} \dots e_p^{\delta_2}) \text{vo}_2, \dots, \text{TABLE}(\text{vo}_{n-2}.e_1^{\delta_{n-2}} \dots e_p^{\delta_{n-2}}) \text{vo}_{n-2}$   
     Where  $\text{Cond}v_1, \text{Cond}v_2, \text{Cond}v_{n-2}$   
 $\varphi = \varphi + \text{BEGIN OPEN TabObjPai}$   
 $\varphi = \varphi + \text{LOOP FETCH TabObjPai INTO Referencia};$   
 $\varphi = \varphi + \text{EXIT WHEN TabObjPai \%NOTFOUND};$

**Caso 3.2.2.1:**  $\text{Cond}v_{n-1}$  é null  
 $\varphi = \varphi + \text{UPDATE TABLE}(\text{SELECT } \text{vo}_{n-2}.e_1^{\delta_{n-1}} \dots e_p^{\delta_{n-1}} \text{ FROM } \text{VO}_{n-2} \text{vo}_{n-2}$   
     WHERE REF( $\text{vo}_{n-2}$ ) = **Referencia**) t  
     SET t. $\delta_n$ .label(\$filho) = CriaObjeto( $\mathbf{T}_{\$filho}, \mathbf{\$filho}$ );

**Caso 3.2.1:**  $\text{Cond}v_{n-1}$  não é null  
 $\varphi = \varphi + \text{UPDATE TABLE}(\text{SELECT } \text{vo}_{n-2}.e_1^{\delta_{n-1}} \dots e_p^{\delta_{n-1}} \text{ FROM } \text{VO}_{n-2} \text{vo}_{n-2}$   
     WHERE REF( $\text{vo}_{n-2}$ ) = **Referencia**) t  
     SET t. $\delta_n$ .label(\$filho) = CriaObjeto( $\mathbf{T}_{\$filho}, \mathbf{\$filho}$ ) WHERE  $\text{Cond}v_{n-1}$ ;

$\varphi = \varphi + \text{END\_LOOP}; \text{END.}$

**Figura 6.10:** Caso 3 do Algoritmo TraduzInserçãoXQuery

### Caso 3.2:

Neste caso, dado que o caminho  $\delta$  possui mais de um elemento multiocorrência. Uma inserção  $XQueryV$  é traduzida em atualizações (UPDATE) de um atributo monovalorado de uma coleção aninhada da visão de objetos  $VO_{n-1}$  (Caso 3.2.1) ou  $VO_{n-2}$  (Caso 3.2.2). O atributo monovalorado a ser modificado corresponde ao elemento `label($filho)`.

Em ambos os casos (Caso 3.2.1 e Caso 3.3.2), primeiramente cria-se o cursor `TabObjPai`. O cursor criado retorna um conjunto de referências dos objetos da visão de objetos  $VO_{n-1}$  (Caso 3.2.1) ou  $VO_{n-2}$  (Caso 3.2.2). Para cada referência do cursor `TabObjPai`, uma modificação do atributo da coleção aninhada da visão de objetos  $VO_{n-1}$  (Caso 3.2.1) ou  $VO_n$  (Caso 3.2.2) é efetuada. Os Casos 3.2.1 e 3.2.2 são subdivididos para considerar as situações onde existe ou não uma condição.

Assim como no Caso 3.1, o Caso 3.2 também efetua uma chamada ao procedimento `CriaObjeto1`. Neste caso, o procedimento cria o objeto que atualiza o valor de um atributo monovalorado da coleção aninhada da visão de objetos  $VO_{n-1}$  ou  $VO_{n-2}$ .

### Exemplo 6.4:

Considere a atualização  $A_3$  (Figura 6.11 (a)) que insere um elemento quantidade para o elemento item na Visão XML `Pedidos_v`. A atualização  $XQuery A_3$  será traduzida na atualização SQL3 da Figura 6.11 (b). Dado que  $\delta_{v_1} = \text{Pedidos/Pedido}$ ,  $\delta_{v_2} = \text{listaItens/item}$  e `label($filho)=quantidade`, de acordo com os mapeamentos obtidos durante a geração do esquema da VOD, temos que o caminho  $\delta_{v_1}/\delta_{v_2}/\text{label}(\$filho)$  corresponde ao atributo monovalorado quantidade da coleção aninhada `listaItens` da visão de objetos `Pedidos_v`.

Como  $\delta$  possui mais de um elemento multiocorrência, `Pedido` e `item`, o caminho  $\delta_{v_2}$  possui um elemento multiocorrência, e `Condv2` não é nulo. Desta forma, o Caso 3.2.1.2 do Algoritmo `TraduzInserçãoXQuery` deve ser aplicado.

Primeiramente, cria-se o cursor `TabObjPai` (linhas 3 a 6 da Figura 6.11 (b)). O cursor criado retorna um conjunto de referências dos objetos da visão de objetos `Pedidos_v`. A expressão de caminho da cláusula FOR da linha 1 (Figura 6.11 (a)) é mapeada na cláusula FROM da linha 5 (Figura 6.11 (b)) do cursor `TabObjPai`. A cláusula WHERE da linha 3

(Figura 6.11 (a)) é mapeada na cláusula WHERE da linha 6 (Figura 6.11 (b)). A cláusula SELECT da linha 4 (Figura 6.11 (b)) retorna as referências dos objetos selecionados.

Para cada referência de objeto da visão **Pedidos\_v** retornada pelo cursor TabObjPai, uma modificação do atributo quantidade da coleção aninhada listaltens da visão de objetos **Pedidos\_v** é efetuada (linhas 11 a 15 da Figura 6.11 (b)), isto é, para cada pedido onde cliente = 'Wamberg', é atribuído ao atributo quantidade da coleção aninhada listaltens da visão de objetos **Pedidos\_v** o valor "100", onde o código é "10". O valor atribuído ao atributo quantidade (linha 14 da Figura 6.11 (b)) é obtido efetuando uma chamada ao **CriaObjeto1**. No Exemplo 6.1, descrevemos como obter este valor.

<ol style="list-style-type: none"> <li>1. for \$v1 in view("Pedidos_v")/Pedidos/Pedido,</li> <li>2.     \$v2 in \$v1/listaltens/item</li> <li>3. where \$v1/cliente = "Wamberg" AND</li> <li>4.     \$v2/codigo = 10</li> <li>5. update \$v2</li> <li>6. insert</li> <li>7.     &lt;quantidade&gt;100&lt;/quantidade&gt;</li> <li>8.</li> <li>9.</li> <li>10.</li> <li>11.</li> <li>12.</li> <li>13.</li> <li>14.</li> <li>15.</li> <li>16.</li> </ol>	<pre> DECLARE Referencia NUMBER; CURSOR TabObjPai IS     SELECT REF(v1)     FROM Pedidos_v v1     WHERE v1.cliente = 'Wamberg' BEGIN OPEN TabObjPai; LOOP     FETCH TabObjPai INTO Referencia;     EXIT WHEN TabObjPai %NOTFOUND;     UPDATE TABLE( SELECT v1.listaltens                    FROM Pedidos_v v1                    WHERE REF(v1)=Referencia) v2     SET v2.quantidade =100     WHERE v2.codigo =10 END_LOOP; END. </pre>
--	--

**Figura 6.11:** Atualização *XQueryVC*  $A_3$  (A) e tradução SQL3 de  $A_3$  (B)

### 6.3.2 Algoritmo para Traduzir uma Remoção *XQueryV* em Remoções ou Modificações em SQL3

Nesta seção apresentamos o algoritmo implementado no módulo Tradutor do *XUpdateTranslator* para traduzir remoções *XQueryV* de uma visão XML  $V_x$ , em atualizações SQL3 sobre a respectiva visão de objetos *default* VO, a partir do esquema de  $V_x$ .

Como apresentado na Figura 6.12, o algoritmo **TraduzRemoçãoXQuery** recebe como entrada uma atualização *XQueryV* e o XML *Schema* da respectiva visão XML. O algoritmo **TraduzRemoçãoXQuery** traduz remoções *XQueryV* de uma visão XML  $V_x$ , em atualizações

SQL3 sobre a respectiva visão de objetos *default* VO para os dois casos apresentados a seguir.

**Algoritmo TraduzRemoçãoXQuery** (XQ: Expressão *XqueryV*)  
 $\varphi$ : string;  
**Início**  
 $\varphi = \emptyset$ ;  
 Seja  $\delta = \delta v_1 / \delta v_2 / \dots / \delta v_n$  o caminho da raiz até  $\delta v_n$   
 Seja  $\mathcal{S}$  o esquema default de objetos  
**Caso 1:** O caminho  $\delta$  corresponde a uma visão de objeto VO em  $\mathcal{S}$   
**Caso 2:** O caminho  $\delta$  corresponde a uma tabela aninhada NT em  $\mathcal{S}$

**Figura 6.12:** Algoritmo TraduzRemoçãoXQuery

**Caso 1:**

Neste caso, o caminho  $\delta$  corresponde a uma visão de objeto VO em  $\mathcal{S}$ . Esta correspondência é obtida na geração do esquema da VOD, a qual faz um mapeamento entre os elementos do esquema de  $V_x$  e o esquema da VOD VO, como definido no Capítulo 4. Como apresentado na Figura 6.13, o Caso 1 do algoritmo TraduzRemoçãoXQuery é dividido em dois subcasos.

**Caso 1:** O caminho  $\delta$  corresponde a uma visão de objeto VO em  $\mathcal{S}$   
**Caso 1.1:**  $\text{label}(\$filho) \neq \delta$   
**Caso 1.1.1:**  $\text{Condv}_1$  é null  
 $\varphi = \text{UPDATE VO SET label}(\$filho) = \text{NULL};$   
**Caso 1.1.2:**  $\text{Condv}_1$  não é null  
 $\varphi = \text{UPDATE VO SET label}(\$filho) = \text{NULL WHERE Condv}_1;$   
**Caso 1.2:**  $\text{label}(\$filho) = \delta$   
**Caso 1.2.1:**  $\text{Condv}_1$  é null  
 $\varphi = \text{DELETE FROM VO};$   
**Caso 1.2.1:**  $\text{Condv}_1$  não é null  
 $\varphi = \text{DELETE FROM VO WHERE Condv}_1;$

**Figura 6.13:** Caso 1 do Algoritmo TraduzRemoçãoXQuery

**Caso 1.1:**

No Caso 1.1,  $\text{label}(\$filho)$  é diferente de  $\delta$ , isto é,  $\text{label}(\$filho)$  corresponde a um atributo da visão de objeto VO em  $\mathcal{S}$ . Assim, uma remoção *XQueryV* de uma visão XML  $V_x$  é traduzida em uma modificação (UPDATE) SQL3 do atributo da VO que corresponde a  $\text{label}(\$filho)$ . Caso  $\text{Condv}_1$  seja nula, a cláusula WHERE da modificação SQL3 não é utilizada.

### **Exemplo 6.5:**

Considere a atualização **A<sub>4</sub>** (Figura 6.14 (a)) que remove o elemento dataentrega na Visão XML Pedidos\_v onde o cliente é “Denis”. A atualização *XQuery* **A<sub>4</sub>** será traduzida na atualização SQL3 da Figura 6.14 (b). De acordo com os mapeamentos obtidos durante a geração do esquema da VOD, o caminho  $\delta_{v_1}$  =Pedidos/Pedido corresponde à visão de objetos **Pedidos\_v**. Dado que  $\delta_{v_1}$  está associado a variável \$v<sub>1</sub>, Cond<sub>v<sub>1</sub></sub> não é nula, e label(\$filho) = dataentrega, que é diferente de  $\delta_{v_1}$ , então **A<sub>4</sub>** é traduzida em uma modificação do valor do atributo dataentrega da visão de objetos **Pedidos\_v** onde cliente é “Denis”.

A expressão de caminho da cláusula for da linha 1 (Figura 6.14 (a)) é mapeada na cláusula UPDATE da linha 1 (Figura 6.14 (b)). A cláusula WHERE da linha 2 (Figura 6.14 (a)) é mapeada na cláusula WHERE da linha 3 (Figura 6.14 (b)). A cláusula SET (Linha 2 da Figura 6.14 (a)) atribui ao atributo dataentrega o valor NULL.

1.	For \$v1 in view("Pedidos_v")/Pedidos/Pedido	UPDATE Pedidos v1
2.	where \$v1/cliente = "Denis"	SET v1.dataentrega = NULL
3.	update \$v1	WHERE v1.cliente = 'Denis'
4.	delete \$v1/dataentrega (A)	(B)
5.		
6.		

**Figura 6.14:** Atualização *XQueryVC* **A<sub>4</sub>** (A) e tradução SQL3 de **A<sub>4</sub>** (B)

### **Caso 1.2:**

No Caso 1.2, label(\$filho) é o próprio caminho  $\delta$ , isto é, label(\$filho) corresponde a a visão de objetos VO. Assim, uma remoção *XQueryV* de uma visão XML V<sub>x</sub> é traduzida em uma remoção SQL3 em VO. Assim como no Caso 1.1, caso Cond<sub>v<sub>1</sub></sub> seja nula, a cláusula WHERE da modificação SQL3 não é utilizada.

### **Exemplo 6.6:**

Considere a atualização **A<sub>5</sub>** (Figura 6.15 (a)) que remove o elemento pedido na Visão XML Pedidos\_v onde o cliente é ”Denis”. A atualização *XQuery* **A<sub>5</sub>** será traduzida na atualização SQL3 da Figura 6.15 (b). De acordo com os mapeamentos obtidos durante a geração do esquema da VOD, o caminho  $\delta_{v_1}$  =Pedidos/Pedido corresponde à visão de

objetos **Pedidos\_v**. Dado que  $\delta_{v_1}$  está associado a variável  $\$v_1$ ,  $Condv_1$  não é nulo, e  $label(\$filho) = \$v_1$ , então  $A_5$  é traduzida em uma remoção na visão de objetos **Pedidos\_v** onde cliente é “Denis”.

A expressão de caminho da cláusula for da linha 1 (Figura 6.15 (a)) é mapeada na cláusula DELETE da linha 1 (Figura 6.15 (b)). A cláusula WHERE da linha 2 (Figura 6.15 (a)) é mapeada na cláusula WHERE da linha 2 (Figura 6.15 (b)).

1.	for \$v1 in view("Pedidos_v")/Pedidos/Pedido	DELETE FROM Pedidos_v v1
2.	where \$v1/cliente = "Denis"	WHERE v1.cliente = 'Denis'
3.	update \$v1	
4.	delete \$v1	
5.		
6.		

**Figura 6.15:** Atualização *XQueryVC*  $A_5$  (A) e tradução SQL3 de  $A_5$  (B)

### Caso 2:

Neste caso, o caminho  $\delta$  corresponde a uma coleção aninhada NT da visão de objeto  $VO_i$ , onde  $VO_i$  é a visão de objetos correspondente ao caminho  $\delta_1.. \delta_i$  e  $e_1^{\delta_i}, \dots, e_p^{\delta_i}$  os elementos em  $\delta_i$  que possuem um atributo correspondente em  $\mathcal{S}$ . Como apresentado na Figura 6.16, o Caso 2 do algoritmo **TraduzRemoçãoXQuery** é dividido em dois subcasos.

Em ambos os casos, primeiramente cria-se o cursor TabObjPai. O cursor criado retorna um conjunto de referências dos objetos da visão de objetos  $VO_{n-1}$ , onde  $VO_{n-1}$  é a visão de objetos correspondente ao caminho  $\delta_1.. \delta_{n-1}$ . Para cada referência do cursor TabObjPai, uma atualização SLQ3 (UPDATE ou DELETE) é efetuada.

### Caso 2.1:

No Caso 2.1,  $label(\$filho)$  é diferente de  $\delta$ , isto é,  $label(\$filho)$  corresponde a um atributo da coleção aninhada NT da visão de objeto  $VO_{n-1}$  em  $\mathcal{S}$ . Assim, uma remoção *XQueryV* de uma visão XML  $V_x$  é traduzida em uma atualizações (UPDATE) de um atributo da coleção aninhada NT da visão de objetos  $VO_{n-1}$ . O atributo monovalorado a ser modificado corresponde ao elemento  $label(\$filho)$ . A modificação ocorre na coleção aninhada NT da visão de objetos  $VO_{n-1}$ , pois  $label(\$filho)$  pertence ao tipo do o elemento

$e_p^{\delta_n}$ , do caminho  $\delta_n$ . Caso a condição  $Cond_{v_n}$  seja nula, a cláusula WHERE da modificação SQL3 não é utilizada.

```

Caso 2: O caminho  $\delta$  corresponde a uma coleção aninhada NT em  $\mathcal{S}$ 
Seja  $VO_i$  a visão de objetos correspondente ao caminho  $\delta_i/\dots/\delta_i$  e  $e_1^{\delta_i}, \dots, e_p^{\delta_i}$  os elementos em  $\delta_i$  que possui
um atributo correspondente em  $\mathcal{S}$ 
 $\varphi = \varphi + \text{DECLARE Referencia};$ 
     $\varphi = \varphi + \text{CURSOR TabObjPai IS}$ 
        Select REF( $v_{o_{n-1}}$ )
        From  $VO_{n-1} v_{o_{n-1}}$ 
        Where  $Cond_{v_{n-1}}$ 
     $\varphi = \varphi + \text{BEGIN OPEN TabObjPai}$ 
     $\varphi = \varphi + \text{LOOP FETCH TabObjPai INTO Referencia};$ 
     $\varphi = \varphi + \text{EXIT WHEN TabObjPai}\%NOTFOUND;$ 

    Caso 2.1:  $label(\$filho) \triangleleft \delta$ 
    Caso 2.1.1:  $Cond_{v_n}$  não é null
         $\varphi = \varphi + \text{UPDATE TABLE( SELECT } v_{o_{n-1}} \cdot e_1^{\delta_n} \dots e_p^{\delta_n} \text{ FROM } VO_{n-1} v_{o_{n-1}}$ 
            WHERE REF( $v_{o_{n-1}}$ ) = Referencia)
            SET  $label(\$filho) = NULL$ 
            WHERE  $Cond_{v_n}$ ;
    Caso 2.1.2:  $Cond_{v_n}$  é null
         $\varphi = \varphi + \text{UPDATE TABLE( SELECT } v_{o_{n-1}} \cdot e_1^{\delta_n} \dots e_p^{\delta_n} \text{ FROM } VO_{n-1} v_{o_{n-1}}$ 
            WHERE REF( $v_{o_{n-1}}$ ) = Referencia)
            SET  $label(\$filho) = NULL;$ 
    Caso 2.2:  $label(\$filho) = \delta$ 
    Caso 2.2.1:  $Cond_{v_n}$  não é null
         $\varphi = \varphi + \text{DELETE FROM TABLE( SELECT } v_{o_{n-1}} \cdot e_1^{\delta_n} \dots e_p^{\delta_n} \text{ FROM } VO_{n-1}$ 
             $v_{o_{n-1}}$  WHERE REF( $v_{o_{n-1}}$ ) = Referencia)
            WHERE  $Cond_{v_n}$ ;
    Caso 2.2.2:  $Cond_{v_n}$  é null
         $\varphi = \varphi + \text{DELETE FROM TABLE( SELECT } v_{o_{n-1}} \cdot e_1^{\delta_n} \dots e_p^{\delta_n} \text{ FROM } VO_{n-1}$ 
             $v_{o_{n-1}}$  WHERE REF( $v_{o_{n-1}}$ ) = Referencia);

 $\varphi = \varphi + \text{END LOOP}; \text{END.}$ 

```

**Figura 6.16:** Caso 2 do Algoritmo TraduzRemoçãoXQuery

### Caso 2.2:

No Caso 2.2,  $label(\$filho)$  é o próprio caminho  $\delta$ , isto é,  $label(\$filho)$  corresponde a coleção aninhada NT da a visão de objetos  $VO_{n-1}$ . Assim, uma remoção  $XQueryV$  de uma visão XML  $V_x$  é traduzida em uma remoção SQL3 na coleção aninhada NT da visão de objetos  $VO_{n-1}$ . A remoção ocorre na coleção aninhada NT da visão  $VO_{n-1}$ , pois  $label(\$filho)$

pertence ao tipo do elemento  $e_p^{\delta_n}$ . Assim como no Caso 2.1, caso  $Condv_n$  seja nula, a cláusula WHERE do comando de modificação SQL3 não é utilizada.

### **Exemplo 6.7:**

Considere a atualização  $A_6$  (Figura 6.17 (a)) que remove o elemento item do elemento listaltens na Visão XML Pedidos\_v onde o cliente do Pedido é “Denis” e o produto é “Mouse”. A atualização *XQuery*  $A_6$  será traduzida na atualização SQL3 da Figura 6.17(b). O caminho  $\delta = \delta_{v_1}/\delta_{v_2}$ , onde  $\delta_{v_1} = \text{Pedidos/Pedido}$  e  $\delta_{v_2} = \text{listaItens/item}$  corresponde à coleção aninhada **listaltens** da visão de objetos **Pedidos\_v**, de acordo com os mapeamentos obtidos durante a geração do esquema da VOD. Dado que  $\delta_{v_2}$  está associado a variável  $\$v_2$ ,  $Condv_2$  não é nulo, e  $\text{label}(\$filho) = \$v_2$ ,  $A_6$  é traduzida em uma remoção na coleção aninhada **listaltens** da visão de objetos **Pedidos\_v**. Desta forma, o Caso 2.2.1 do Algoritmo **TraduzRemoçãoXQuery** deve ser aplicado.

Primeiramente cria-se o cursor TabObjPai (linhas 3 a 6 da Figura 6.17 (b)). O cursor criado retorna um conjunto de referências dos objetos da visão de objetos **Pedidos\_v**. A expressão de caminho da cláusula FOR da linha 1 (Figura 6.17 (a)) é mapeada na cláusula FROM da linha 5 (Figura 6.17 (b)) do cursor TabObjPai. A cláusula WHERE da linha 3 (Figura 6.17 (a)) é mapeada na cláusula WHERE da linha 6 (Figura 6.17 (b)). A cláusula SELECT da linha 4 (Figura 6.17 (b)) retorna as referências dos objetos selecionados.

Para cada referência de objeto de Pedidos\_v retornada pelo cursor TabObjPai, uma remoção na coleção aninhada listaltens do objeto referenciado (linhas 12 a 15 da Figura 6.17 (b)) é efetuada, isto é, para cada pedido do cliente “Wamberg”, remover os itens da coleção listaltens onde produto é “Mouse”. A cláusula WHERE da linha 4 (Figura 6.17 (a)) é mapeada na cláusula WHERE da linha 15 (Figura 6.17 (b)).’

1. For \$v1 in view("Pedidos_v")/Pedidos/ 2. Pedido, \$v2 in \$v1/listaItens/item 3. where \$v1/cliente = "Wamberg" and 4.     \$v2/produto = "Mouse" 5. update \$v2 6. delete \$v2 7. 8. 9. 10. 11. 12. 13. 14. 15.                   (A) 16. 17.	DECLARE Referencia NUMBER; CURSOR TabObjPai IS SELECT REF(v1) FROM Pedidos_v v1 WHERE v1.cliente = 'Wamberg' BEGIN OPEN TabObjPai; LOOP FETCH TabObjPai INTO Referencia; EXIT WHEN TabObjPai %NOTFOUND; DELETE FROM TABLE ( SELECT v1.listaItens FROM Pedidos_v v1 WHERE REF(v1)= Referencia) v2 WHERE v2.produto = 'Mouse' END_LOOP; END.                   (B)
--	--

**Figura 6.17:** Atualização *XQueryVC*  $A_6$  (A) e tradução SQL3 de  $A_6$  (B)

### 6.3.3 Algoritmo para Traduzir uma Modificação *XQueryV* em Modificações SQL3

Nesta seção apresentamos o algoritmo implementado no módulo Tradutor do *XQueryTranslator* para transformar modificações *XQueryV* de uma visão XML  $V_x$ , em atualizações SQL3 sobre a respectiva visão de objetos *default* VO, a partir do esquema de  $V_x$ .

Como apresentado na Figura 6.18, o algoritmo **TraduzModificaçãoXQuery** recebe como entrada uma atualização *XQueryV* e o XML *Schema* da respectiva visão XML. O algoritmo **TraduzModificaçãoXQuery** traduz modificações *XQueryV* de uma visão XML  $V_x$ , em atualizações SQL3 sobre a respectiva visão de objetos *default* VO para os dois casos apresentados a seguir:

<p><b>Algoritmo TraduzModificaçãoXQuery</b> (XQ: Expressão <i>XQueryV</i>)</p> <p><math>\varphi</math>: string;  Início  <math>\varphi = \emptyset</math>;  Seja <math>\delta = \delta_{v_1}/\delta_{v_2}/\dots/\delta_{v_n}</math> o caminho da raiz até <math>\delta_{v_n}</math>  Seja <math>S</math> o esquema default de objetos</p> <p><b>Caso 1:</b> O caminho <math>\delta</math> corresponde a uma visão de objeto VO em <math>S</math></p> <p><b>Caso 2:</b> O caminho <math>\delta</math> corresponde a uma tabela aninhada NT em <math>S</math></p>
---

**Figura 6.18:** Algoritmo TraduzModificaçãoXQuery

### Caso 1:

Neste caso, o caminho  $\delta$  corresponde a uma visão de objeto VO em  $\mathcal{S}$ . Esta correspondência é obtida na geração do esquema da VOD, o qual faz um mapeamento entre os elementos do esquema de  $V_x$  e o esquema da da VOD VO, como definido no capítulo 4. Como apresentado na Figura 6.19, o Caso 1 do algoritmo **TraduzModificaçãoXQuery** é dividido em dois subcasos.

#### Caso 1.1:

No Caso 1.1,  $label(\$filho)$  é uma referência para um elemento do tipo T'. Seja VO' a visão de objetos associada a T' e **OID**, o identificador único da visão VO'. Então, uma modificação  $XQueryV$  de uma visão XML  $V_x$  é traduzida em uma modificação (UPDATE) SQL3 do atributo da VO que corresponde a  $label(\$filho)$ . O atributo modificado recebe a referência de um objeto do tipo T'. Caso  $Condv_1$  seja nula, a cláusula WHERE da modificação SQL3 não é utilizada.

<p><b>Caso 1:</b> O caminho <math>\delta</math> corresponde a uma visão de objeto VO em <math>\mathcal{S}</math> Caso 1.1: <math>\\$filho</math> é uma referência para um elemento do tipo T' Seja VO' a visão de objetos associada a T' e <b>OID</b>, o identificador único da visão VO'. Caso 1.1.1: <math>Condv_1</math> não é null <math>\varphi =</math> UPDATE VO SET <math>label(\\$filho) = (Select REF(vo') From VO' vo' Where vo'.OID = label(\\$conteudo).getvalue())</math> WHERE <math>Condv_1</math>; Caso 1.1.2: <math>Condv_1</math> é null <math>\varphi =</math> UPDATE VO SET <math>label(\\$filho) = (Select REF(vo') From VO' vo' Where vo'.OID = label(\\$conteudo).getvalue());</math> Caso 1.2: <math>\\$filho</math> não é uma referência para um elemento do tipo T' Caso 1.2.1: <math>Condv_1</math> não é null <math>\varphi =</math> UPDATE VO SET <math>label(\\$filho) = label(\\$conteudo).getvalue()</math> WHERE <math>Condv_1</math>; Caso 1.2.2: <math>Condv_1</math> é null <math>\varphi =</math> UPDATE VO SET <math>label(\\$filho) = label(\\$conteudo).getvalue();</math></p>
---

**Figura 6.19:** Caso 1 do Algoritmo **TraduzModificaçãoXQuery**

#### Caso 1.2:

No Caso 1.2,  $label(\$filho)$  não é uma referência para um elemento do tipo T'. Então, uma modificação  $XQueryV$  de uma visão XML  $V_x$  é traduzida em uma modificação (UPDATE) SQL3 do atributo da VO que corresponde a  $label(\$filho)$ . O atributo modificado



utilizada. A modificação ocorre na coleção aninhada NT da visão de objetos  $VO_{n-1}$ , pois  $label(\$filho)$  pertence ao tipo do elemento  $e_p^{\delta_n}$ , do caminho  $\delta_n$

Como apresentado na Figura 6.21, primeiramente cria-se o cursor **TabObjPai**. O cursor criado retorna um conjunto de referências dos objetos da visão de objetos  $VO_{n-1}$ . Para cada referência do cursor **TabObjPai**, uma modificação SLQ3 (UPDATE) é efetuada.

### **EXEMPLO 6.9:**

Considere a atualização  $A_8$  (Figura 6.22(a)) que modifica o valor do elemento produto do elemento item na Visão XML Pedidos\_v para “Mouse”, onde o cliente é “Wamberg” e a quantidade “3”. A atualização *XQuery*  $A_8$  será traduzida no comando de atualização SQL3 da Figura 6.22(b). O caminho  $\delta = \delta v_1 / \delta v_2$ , onde  $\delta v_1 = \text{Pedidos/Pedido}$  e  $\delta v_2 = \text{listaItens/item}$ , corresponde à coleção aninhada **listaltens** da visão de objetos **Pedidos\_v**, de acordo com os mapeamentos obtidos durante a geração do esquema da VOD. Assim,  $Q_8$  é traduzida em uma modificação do atributo produto da coleção aninhada **listaltens** da visão de objetos **Pedidos\_v**.

```

Caso 2: O caminho  $\delta$  corresponde a uma coleção aninhada NT em  $S$ 
Seja  $VO_i$  a visão de objetos correspondente ao caminho  $\delta_1 / \dots / \delta_i$  e  $e_1^{\delta_1}, \dots, e_p^{\delta_i}$  os elementos em  $\delta_i$  que possui
um atributo correspondente em  $S$ 
 $\varphi = \varphi + \text{DECLARE Referencia};$ 
 $\varphi = \varphi + \text{CURSOR TabObjPai IS}$ 
        Select REF( $v_{0_{n-1}}$ ) as Referencia
        From  $VO_{n-1} v_{0_{n-1}}$ 
        Where  $Cond_{v_{n-1}}$ 

 $\varphi = \varphi + \text{BEGIN OPEN TabObjPai}$ 
 $\varphi = \varphi + \text{LOOP FETCH TabObjPai INTO Referencia};$ 
 $\varphi = \varphi + \text{EXIT WHEN TabObjPai \% NOTFOUND};$ 
        Caso 2.1:  $Cond_{v_n}$  não é null
                 $\varphi = \varphi +$ 
                        UPDATE TABLE( SELECT  $v_{0_{n-1}} \cdot e_1^{\delta_n} \cdot \dots \cdot e_p^{\delta_n}$  FROM  $VO_{n-1} v_{0_{n-1}}$ 
                                WHERE REF( $v_{0_{n-1}}$ ) = Referencia)
                        SET label( $\$filho$ ) = label( $\$filho$ ).getvalue()
                        WHERE  $Cond_{v_n}$ ;

        Caso 2.2:  $Cond_{v_n}$  é null
                 $\varphi = \varphi +$ 
                        UPDATE TABLE( SELECT  $v_{0_{n-1}} \cdot e_1^{\delta_n} \cdot \dots \cdot e_p^{\delta_n}$  FROM  $VO_{n-1} v_{0_{n-1}}$ 
                                WHERE REF( $v_{0_{n-1}}$ ) = Referencia)
                        SET label( $\$filho$ ) = label( $\$filho$ ).getvalue();

 $\varphi = \varphi + \text{END LOOP}; \text{END.}$ 

```

**Figura 6.21:** Caso 2 do Algoritmo TraduzModificaçãoXQuery

Primeiramente cria-se o cursor TabObjPai (linhas 3 a 6 da Figura 6.22 (b)). O cursor criado retorna um conjunto de referências dos objetos da visão de objetos **Pedidos\_v**. A expressão de caminho da cláusula FOR da linha 1 (Figura 6.22 (a)) é mapeada na cláusula FROM da linha 5 (Figura 6.22 (b)) do cursor TabObjPai. A cláusula WHERE da linha 3 (Figura 6.22 (a)) é mapeada na cláusula WHERE da linha 6 (Figura 6.22 (b)). A cláusula SELECT da linha 4 (Figura 6.22 (b)) retorna as referências dos objetos selecionados.

Para cada referência de objeto de Pedidos\_v retornada pelo cursor TabObjPai, uma modificação do atributo produto na tabela aninhada listaltens do objeto referenciado (linhas 12 a 16 da Figura 6.14 (b)) é efetuada, isto é, para cada pedido do cliente “Wamberg”, atribuir “Mouse” ao atributo produto onde a quantidade seja 3. A cláusula replace (Linha 7 da Figura 6.22 (a)) é mapeada na cláusula SET (Linha 15 da Figura 6.22 (b)). A cláusula *WHERE* da linha 4 (Figura 6.22 (a)) é mapeada na cláusula WHERE da linha 16 (Figura 6.22 (b)).

1. 2. 3. 4. 5. 6. 7. 8. 9. 10. 11. 12. 13. 14. 15. 16. 17.	<pre> For \$v1 in view("Pedidos_v")/Pedidos/ Pedido, \$v2 in \$v1/listaltens/item where \$v1/cliente = "Wamberg" and     \$v2/quantidade = 3 update \$v2 replace \$v2/produto with     &lt;produto&gt;Mouse&lt;/produto&gt;           (A)         </pre>	<pre> DECLARE Referencia NUMBER; CURSOR TabObjPai IS     SELECT REF(v1)     FROM Pedidos_v v1     WHERE v1.cliente = 'Wamberg' BEGIN OPEN TabObjPai; LOOP FETCH TabObjPai INTO Referencia; EXIT WHEN TabObjPai %NOTFOUND; UPDATE TABLE     ( SELECT v1.listaltens FROM Pedidos_v v1     WHERE REF(v1)= Referencia) v2 SET v2.produto = 'Mouse' WHERE v2.quantidade = 3 END_LOOP; END.          (B)         </pre>
--	--	---

**Figura 6.22:** Atualização *XQueryVC* **A<sub>8</sub>** (A) e tradução *SQL3* de **A<sub>8</sub>** (B)

## Capítulo 7 - Conclusões

---

Neste trabalho abordamos o problema de atualização de bancos de dados objeto-relacionais através de visões XML. No nosso enfoque, usamos visões de objeto *default* (VOD) como interface entre visões XML e o banco de dados. Uma VOD é uma visão de objetos que possui esquema compatível com o esquema da visão XML, isto é, possui os mesmos tipos e a mesma estrutura do esquema da visão XML. Assim, a tradução de atualizações definidas sobre a visão XML em atualizações sobre a VOD é facilitada.

No enfoque proposto, utilizamos o *XML Publisher*, um *framework* para publicar dados objeto-relacionais derivados do *Oracle 9i* na *web*, através de visões XML. Para publicar uma visão XML no *XML Publisher*, o projetista deve definir uma VOD através de uma consulta SQL3 que especifica como os objetos da visão são sintetizados a partir dos dados do banco de dados e definir os tradutores de atualização da VOD através de um bloco de comandos PL/SQL3 que especificam como atualizações definidas sobre a visão de objeto são traduzidas em atualizações especificadas sobre o banco de dados. Em seguida, a visão XML pode ser atualizada usando uma extensão da linguagem *XQuery* definida em [18]. *XML Publisher* define o seguinte conjunto de operações de acesso: *GetCapabilities*, *GetSchema*, *ExecuteQuery* e *ExecuteUpdate*.

A execução das atualizações *XQuery* no *XML Publisher* é feita no *XUpdateTranslator*, onde atualizações *XQuery* são traduzidas em atualizações SQL3 na VOD. A tradução é feita com base no *XML Schema* da visão XML.

Outra contribuição deste trabalho foi o TAV (Tradutor de Atualização de Visão), um protótipo de uma ferramenta para auxiliar a tarefa da geração dos tradutores (*instead of triggers*) de atualização da VOD. A novidade do enfoque proposto é que as visões de objetos são especificadas através de assertivas de correspondência que especificam formalmente o relacionamento entre o esquema da visão e o esquema do banco de dados. O formalismo permite especificar várias formas de correspondência, inclusive casos onde os esquemas possuem estruturas diferentes. A ferramenta oferece uma interface gráfica para apoiar a criação do tipo da visão e a edição de suas assertivas de correspondência, e gera, de forma automática, os tradutores de atualização que realizam o mapeamento definido pelas assertivas da visão. Os algoritmos apresentados no Capítulo 5 recebem como entrada o

esquema da visão, o esquema do banco de dados e as assertivas da visão de objetos, e geram, de forma automática, os tradutores de atualização. A vantagem do formalismo utilizado é que permite provar formalmente que os tradutores gerados pelos algoritmos traduzem corretamente as atualizações.

Desenvolvemos ainda um ambiente que dá suporte ao processo de publicação de visões XML no XML *Publisher*. O processo de publicação compreende os seguintes passos: (i) o projetista define, através de uma interface gráfica, o tipo dos elementos da visão XML; (ii) a ferramenta *CriaEsquemaVOD* gera automaticamente o esquema da VOD; (iii) o projetista deve então carregar o esquema do banco e, através de uma GUI, definir as assertivas de correspondência do esquema VOD com o esquema do banco de dados; e (iv) com base no conjunto de assertivas de correspondência da visão, a ferramenta *TAV* gera automaticamente os tradutores (*instead of triggers*) de atualização da visão de acordo o mapeamento definido pelas assertivas.

Como trabalhos futuros pretendemos:

- Estender o *XUpdateTranslator* para traduzir atualizações XQuery em atualizações definidas diretamente sobre as tabelas do banco de dados. Assim, o *XUpdateTranslator* poderá ser usado também para bancos de dados que não oferecem o mecanismo de visões de objetos;
- Estender o *XUpdateTranslator* para suportar um conjunto maior de atualizações XQuery;
- Estender o TAV para:
  - Gerar tradutores de atualização para outros tipos de visão de objeto, i.e; definidas com novas formas de assertivas. Neste trabalho consideramos apenas as visões que preservam objetos;
  - Gerar tradutores de visões de objetos para bancos de dados objeto-relacionais.

# ANEXO A

---

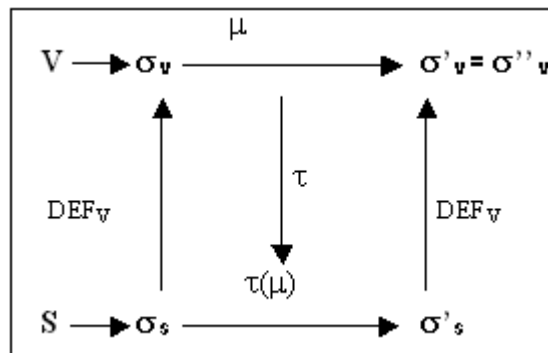
Neste Anexo mostramos que os tradutores de atualização gerados pelos algoritmos apresentados no Capítulo 5 são corretos; i.é; traduzem corretamente a atualização na visão solicitada. Nas seções seguintes, seja:

- $U$  a lista de atualizações requisitadas pelo tradutor ( $U = \tau(\mu)$ );
- $\sigma_s$  e  $\sigma'_s$  são os estados de  $S$  imediatamente antes e depois de  $U$ ;
- $\sigma_v$  e  $\sigma'_v$  os estados da visão  $V$  em  $\sigma_s$  e  $\sigma'_s$ ;
- $\sigma''_v$  é o novo estado de  $V$  após a atualização solicitada  $\mu$ .

## A.1: Tradutores de Inserção em Coleção Aninhada

### A.1.1: Caso 1- Ligação multivalorada é a última

A seguir mostramos que o tradutor `AdiçãoEmLista_Tc_Caso1` da figura 5.10 realiza a atualização  $\mu$  solicitada na visão; i.é, a adição do objeto `:new` do tipo  $T_c$  na coleção aninhada `lista_Tc` do objeto `:parent` da visão  $V$  de tipo  $T_v$ .



**Figura A.1:** Tradução de Atualização de Visão

- Temos que provar que:

$$(1) \sigma'_v(\text{:parent} \bullet \text{lista\_Tc}) = \sigma''_v(\text{:parent} \bullet \text{lista\_Tc}). \text{ (vide Figura A.1).}$$

De  $\mu$  temos que:

$$(2) \sigma''_v(\text{:parent} \bullet \text{lista\_Tc}) = \sigma_v(\text{:parent} \bullet \text{lista\_Tc}) \cup \{ :new \}.$$

Seja  $\mathbf{t}_{\text{nov}} a$  a tupla inserida em  $R_{\ell_n}$  por  $U$ , e  $\mathbf{t}_{\text{pai}}$  a tupla em  $R_b$  tal que  $\mathbf{t}_{\text{pai}} \equiv \text{parent}$ .

Do procedimento  $\mathbf{GVA}_1$ , temos que:

(3)  $\mathbf{t}_{\text{nov}} \bullet \varphi^{-1} = \mathbf{t}_{\text{pai}}$ , i.é.,  $\mathbf{t}_{\text{nov}} \in \mathbf{t}_{\text{pai}} \bullet \varphi$ . Segue do caso 1 do procedimento  $\mathbf{GVA}_1$ , como mostrado abaixo:

- **Caso 1.1:** Nesse caso temos que  $\mathbf{t}_{\text{nov}} \bullet \mathbf{g}_q^{\ell_1} = \text{parent} \bullet \mathbf{d}_q$ ,  $1 \leq q \leq m_1$ . Da ACO  $[\mathbf{T}_{R_b}, \{\mathbf{f}_1^{\ell_1}, \dots, \mathbf{f}_{m_1}^{\ell_1}\}] \equiv [\mathbf{T}_v, \{\mathbf{d}_1, \dots, \mathbf{d}_{m_1}\}]$ , temos que  $\mathbf{t}_{\text{pai}} \bullet \mathbf{f}_q^{\ell_1} = \text{parent} \bullet \mathbf{d}_q$ ,  $1 \leq q \leq m_1$ . Então temos,  $\mathbf{t}_{\text{nov}} \bullet \mathbf{g}_q^{\ell_1} = \mathbf{t}_{\text{pai}} \bullet \mathbf{f}_q^{\ell_1}$ ,  $1 \leq q \leq m_1$ . Dado que  $\ell_1$  é inversa da chave estrangeira dada por  $R_{\ell_1} [\mathbf{g}_1^{\ell_1}, \dots, \mathbf{g}_{m_1}^{\ell_1}] \subset R_b [\mathbf{f}_1^{\ell_1}, \dots, \mathbf{f}_{m_1}^{\ell_1}]$ , então temos que  $\mathbf{t}_{\text{nov}} \bullet \ell_1^{-1} = \mathbf{t}_{\text{pai}}$ . Logo,  $\mathbf{t}_{\text{nov}} \in \mathbf{t}_{\text{pai}} \bullet \ell_1$ .
- **Caso 1.2:** Seja  $\mathbf{t}_{R_{\ell_{n-1}}}$  a tupla em  $R_{\ell_{n-1}}$  tal que  $\mathbf{t}_{R_{\ell_{n-1}}} = \mathbf{t}_{\text{pai}} \bullet \ell_1 \bullet \dots \bullet \ell_{n-1}$ . Do caso 1.2 de  $\mathbf{GVA}_1$ , temos que  $\mathbf{t}_{\text{nov}} \bullet \mathbf{g}_q^{\ell_n} = \mathbf{t}_{R_{\ell_{n-1}}} \bullet \mathbf{f}_q^{\ell_n}$ ,  $1 \leq q \leq m_n$ . Dado que  $\ell_n$  é inversa da chave estrangeira dada por  $R_{\ell_{n-1}} [\mathbf{f}_1^{\ell_n}, \dots, \mathbf{f}_{m_n}^{\ell_n}] \subset R_{\ell_n} [\mathbf{g}_1^{\ell_n}, \dots, \mathbf{g}_{m_n}^{\ell_n}]$ , então temos que  $\mathbf{t}_{\text{nov}} \bullet \ell_n^{-1} = \mathbf{t}_{R_{\ell_{n-1}}}$ . Logo,  $\mathbf{t}_{\text{nov}} \in \mathbf{t}_{R_{\ell_{n-1}}} \bullet \ell_n$ . Como  $\mathbf{t}_{R_{\ell_{n-1}}} = \mathbf{t}_{\text{pai}} \bullet \ell_1 \bullet \dots \bullet \ell_{n-1}$  então temos que  $\mathbf{t}_{\text{nov}} \in \mathbf{t}_{\text{pai}} \bullet \ell_1 \bullet \dots \bullet \ell_{n-1} \bullet \ell_n$ .

(4)  $\mathbf{t}_{\text{nov}} \equiv \text{new}$ , i.é.,  $\mathbf{t}_{\text{nov}}$  satisfaz todas as assertivas de correspondência de  $\mathbf{T}_c$  &  $\mathbf{T}_{R_{\ell_n}}$ . Segue dos casos 2-6 do procedimento  $\mathbf{GVA}_1$ , como mostrado abaixo:

- **Caso 2:** Do Caso 2 de  $\mathbf{GVA}_1$  temos que  $\mathbf{t}_{\text{nov}} \bullet \mathbf{b} = \text{new} \bullet \mathbf{a}$ . Logo a ACC  $[\mathbf{T}_c \bullet \mathbf{a}] \equiv [\mathbf{T}_{R_{\ell_n}} \bullet \mathbf{b}]$ , é satisfeita.
- Os Casos 3 e 4 são similares ao Caso 2.
- **Caso 5:** Seja  $\mathbf{t}_{R_{\ell'_p}}$  a tupla em  $R_{\ell'_p}$  tal que  $\mathbf{t}_{R_{\ell'_p}} \bullet \mathbf{k} = \text{new} \bullet \mathbf{a}$ . Seja  $\mathbf{t}_{R_{\ell'_1}}$  a tupla em  $R_{\ell'_1}$  tal que  $\mathbf{t}_{R_{\ell'_1}} \bullet \ell'_2 \bullet \dots \bullet \ell'_p = \mathbf{t}_{R_{\ell'_p}}$ . Do Caso 5 de  $\mathbf{GVA}_1$ , temos que  $\mathbf{t}_{\text{nov}} \bullet \mathbf{f}_q^{\ell'_1} = \mathbf{t}_{R_{\ell'_1}} \bullet \mathbf{g}_q^{\ell'_1}$ ,  $1 \leq q \leq m_1$ . Dado que  $\ell'_1$  é uma chave estrangeira dada por  $R_{\ell'_1} [\mathbf{f}_1^{\ell'_1}, \dots, \mathbf{f}_{m_1}^{\ell'_1}] \subset R_{\ell'_1} [\mathbf{g}_1^{\ell'_1}, \dots, \mathbf{g}_{m_1}^{\ell'_1}]$ , então temos que  $\mathbf{t}_{\text{nov}} \bullet \ell'_1 = \mathbf{t}_{R_{\ell'_1}}$ . Como  $\mathbf{t}_{R_{\ell'_1}} \bullet \ell'_2 \bullet \dots \bullet \ell'_p = \mathbf{t}_{R_{\ell'_p}}$  então temos que  $\mathbf{t}_{\text{nov}} \bullet \ell'_1 \bullet \ell'_2 \bullet \dots \bullet \ell'_p = \mathbf{t}_{R_{\ell'_p}}$ . Como  $\mathbf{t}_{R_{\ell'_p}} \bullet \mathbf{k} = \text{new} \bullet \mathbf{a}$  então,  $\mathbf{t}_{\text{nov}} \bullet \ell'_1 \bullet \ell'_2 \bullet \dots \bullet \ell'_p \bullet \mathbf{k} = \text{new} \bullet \mathbf{a}$ . Logo, temos que a ACC  $[\mathbf{T}_c \bullet \mathbf{a}] \equiv [\mathbf{T}_{R_{\ell_n}} \bullet \varphi' \bullet \mathbf{k}]$  é satisfeita.
- **Caso 6.1.1:** Seja  $\mathbf{t}_{R_{\ell'_1}}$  a tupla em  $R_{\ell'_1}$  tal que  $\mathbf{t}_{R_{\ell'_1}} \equiv \text{new} \bullet \mathbf{a}$ . Da ACO  $[\mathbf{T}_a, \{\mathbf{h}_1, \dots, \mathbf{h}_{m_1}\}] \equiv [\mathbf{T}_{R_{\ell'_1}}, \{\mathbf{g}_1^{\ell'_1}, \dots, \mathbf{g}_{m_1}^{\ell'_1}\}]$  temos que  $\mathbf{t}_{R_{\ell'_1}} \bullet \mathbf{g}_q^{\ell'_1} = \text{new} \bullet \mathbf{a} \bullet \mathbf{h}_q$ ,  $1 \leq q \leq m_1$ . Do Caso 6.1.1 de

**GVA**<sub>1</sub>, temos que  $\mathbf{t}_{\text{nov}} \bullet \mathbf{f}_q^{\ell'1} = : \text{new} \bullet \mathbf{a} \bullet \mathbf{h}_q, 1 \leq q \leq m_1$ . Logo temos que  $\mathbf{t}_{\text{nov}} \bullet \mathbf{f}_q^{\ell'1} = \mathbf{t}_{R_{\ell'1}} \bullet \mathbf{g}_q^{\ell'1}, 1 \leq q \leq m_1$ . Dado que  $\ell'1$  é uma chave estrangeira dada por  $R_{\ell_n}[\mathbf{f}_1^{\ell'1}, \dots, \mathbf{f}_{m_1}^{\ell'1}] \subset R'_{\ell_1}[\mathbf{g}_1^{\ell'1}, \dots, \mathbf{g}_{m_1}^{\ell'1}]$ , então temos que  $\mathbf{t}_{\text{nov}} \bullet \ell_1 = \mathbf{t}_{R_{\ell'1}}$ . Como  $\mathbf{t}_{R_{\ell'1}} \equiv : \text{new} \bullet \mathbf{a}$ , então  $\mathbf{t}_{\text{nov}} \bullet \ell_1 \equiv : \text{new} \bullet \mathbf{a}$ . Logo, temos que a ACC  $[\mathbf{T}_c \bullet \mathbf{a}] \equiv [\mathbf{T}_{R_{\ell_n}} \bullet \Phi']$  é satisfeita.

- **Caso 6.1.2:** Seja  $\mathbf{t}_{R_{\ell'p}}$  a tupla em  $R_{\ell'p}$  tal que  $\mathbf{t}_{R_{\ell'p}} \equiv : \text{new} \bullet \mathbf{a}$ . Da ACO  $[\mathbf{T}_a, \{\mathbf{h}_1, \dots, \mathbf{h}_m\}] \equiv [\mathbf{T}_{R_{\ell'p}}, \{\mathbf{e}_1, \dots, \mathbf{e}_m\}]$  temos que  $\mathbf{t}_{R_{\ell'p}} \bullet \mathbf{e}_i = : \text{new} \bullet \mathbf{a} \bullet \mathbf{h}_i, 1 \leq i \leq m$ . Seja  $\mathbf{t}_{R_{\ell'1}}$  a tupla em  $R_{\ell'1}$  tal que  $\mathbf{t}_{R_{\ell'1}} \bullet \ell'_2 \dots \bullet \ell'_p = \mathbf{t}_{R_{\ell'p}}$ . Do Caso 6.1.2 de **GVA**<sub>1</sub>, temos que  $\mathbf{t}_{\text{nov}} \bullet \mathbf{f}_q^{\ell'1} = \mathbf{t}_{R_{\ell'1}} \bullet \mathbf{g}_q^{\ell'1}, 1 \leq q \leq m_1$ . Dado que  $\ell'1$  é uma chave estrangeira dada por  $R_{\ell_n}[\mathbf{f}_1^{\ell'1}, \dots, \mathbf{f}_{m_1}^{\ell'1}] \subset R'_{\ell_1}[\mathbf{g}_1^{\ell'1}, \dots, \mathbf{g}_{m_1}^{\ell'1}]$ , então temos que  $\mathbf{t}_{\text{nov}} \bullet \ell_1 = \mathbf{t}_{R_{\ell'1}}$ . Como  $\mathbf{t}_{R_{\ell'1}} \bullet \ell'_2 \dots \bullet \ell'_p = \mathbf{t}_{R_{\ell'p}}$  então temos que  $\mathbf{t}_{\text{nov}} \bullet \ell_1 \bullet \ell'_2 \dots \bullet \ell'_p = \mathbf{t}_{R_{\ell'p}}$ . Como  $\mathbf{t}_{R_{\ell'p}} \equiv : \text{new} \bullet \mathbf{a}$  então,  $\mathbf{t}_{\text{nov}} \bullet \ell_1 \bullet \ell'_2 \dots \bullet \ell'_p \equiv : \text{new} \bullet \mathbf{a}$ . Logo, temos que a ACC  $[\mathbf{T}_c \bullet \mathbf{a}] \equiv [\mathbf{T}_{R_{\ell_n}} \bullet \Phi']$  é satisfeita.
- Os Casos 6.2.1 e 6.2.2 são similares aos Casos 6.1.1 e 6.1.2, respectivamente.

De U e (3) temos que:

$$(5) \sigma'_s(\mathbf{t}_{\text{pai}} \bullet \Phi) = \sigma_s(\mathbf{t}_{\text{pai}} \bullet \Phi) \cup \{ \mathbf{t}_{\text{nov}} \}.$$

Dado que  $[\mathbf{T}_v \bullet \text{lista\_T}_c] \equiv [\mathbf{T}_{R_b} \bullet \Phi]$ , e  $:\text{parent} \equiv \mathbf{t}_{\text{pai}}$ , temos que :

$$(6) \sigma'_v(:\text{parent} \bullet \text{lista\_T}_c) \bullet \sigma'_s(\mathbf{t}_{\text{pai}} \bullet \Phi).$$

De (4), (5) e (6) temos que:

$$(7) \sigma'_v(:\text{parent} \bullet \text{lista\_T}_c) = \sigma_v(:\text{parent} \bullet \text{lista\_T}_c) \cup \{ : \text{new} \}.$$

De (2) e (7) temos que:

$$\sigma'_v(:\text{parent} \bullet \text{lista\_T}_c) = \sigma''_v(:\text{parent} \bullet \text{lista\_T}_c),$$

como queríamos demonstrar.

### A.1.2: Caso 2- Ligação multivalorada não é a última

A seguir mostramos que o tradutor  $\text{AdiçãoEmLista\_Tc\_Caso2}$  da figura 5.14 realiza a atualização  $\mu$  solicitada na visão; i.é, a adição do objeto `:new` do tipo  $T_c$  na coleção aninhada  $\text{lista\_Tc}$  do objeto `:parent` da visão  $V$  de tipo  $T_v$ .

- Temos que provar que:

$$(1) \sigma'_v(\text{:parent}\bullet\text{lista\_Tc}) = \sigma''_v(\text{:parent}\bullet\text{lista\_Tc}). \text{ (vide Figura A.1).}$$

De  $\mu$  temos que:

$$(2) \sigma''_v(\text{:parent}\bullet\text{lista\_Tc}) = \sigma_v(\text{:parent}\bullet\text{lista\_Tc}) \cup \{ \text{:new} \}.$$

Seja  $t_{\text{nov}}o$  a tupla inserida em  $R_{\ell_j}$  por  $U$ ,  $t_{\text{pai}}$  a tupla em  $R_b$  tal que  $t_{\text{pai}} \equiv \text{:parent.}$ , e  $t_{R_{\ell_n}}$  a tupla em  $R_{\ell_n}$  tal que  $t_{R_{\ell_n}} \equiv \text{:new.}$

Do procedimento  $\mathbf{GVA}_2$ , temos que:

(3)  $t_{\text{nov}}o \in t_{\text{pai}} \bullet \varphi'$ . Segue do caso 1 do procedimento  $\mathbf{GVA}_2$ . A prova é similar a do caso 1 do procedimento  $\mathbf{GVA}_1$ .

(4)  $t_{\text{nov}}o \bullet \varphi'' = t_{R_{\ell_n}}$ . Segue do caso 2 do procedimento  $\mathbf{GVA}_2$ . A prova é similar a prova do caso 6 do procedimento  $\mathbf{GVA}_1$ .

De (3) e (4) temos que:

$$(5) t_{R_{\ell_n}} \in t_{\text{pai}} \bullet \varphi.$$

De  $U$  e (5) temos que:

$$(6) \sigma'_s(t_{\text{pai}} \bullet \varphi) = \sigma_s(t_{\text{pai}} \bullet \varphi) \cup \{ t_{R_{\ell_n}} \}.$$

Dado que  $[T_v \bullet \text{lista\_Tc}] \equiv [T_{R_b} \bullet \varphi]$ , e  $\text{:parent} \equiv t_{\text{pai}}$ , temos que :

$$(7) \sigma'_v(\text{:parent}\bullet\text{lista\_Tc}) = \sigma'_s(t_{\text{pai}} \bullet \varphi).$$

Dado que  $t_{R_{\ell_n}} \equiv \text{:new}$ , de (6) e (7) temos que :

$$(8) \sigma'_v(\text{:parent}\bullet\text{lista\_Tc}) = \sigma_v(\text{:parent}\bullet\text{lista\_Tc}) \cup \{ \text{:new} \}.$$

De (2) e (8) temos que:

$$\sigma'_v(\text{:parent}\bullet\text{lista\_Tc}) = \sigma''_v(\text{:parent}\bullet\text{lista\_Tc}),$$

como queríamos demonstrar.

## A.2: Tradutores para Remoção em Coleção Aninhada

### A.2.1: Caso 1- Ligação multivalorada é a última

A seguir mostramos que o tradutor “RemoçãoEm lista\_Tc\_Caso1” da figura 5.19 realiza a atualização  $\mu$  solicitada na visão; i.é, a remoção do objeto :old do tipo  $T_c$  na coleção aninhada lista\_Tc do objeto :parent da visão  $V$  de tipo  $T_v$ .

- Temos que provar que:

$$(1) \sigma'_v(:parent \bullet lista\_Tc) = \sigma''_v(:parent \bullet lista\_Tc) \text{ (vide Figura A.1).}$$

De  $\mu$  temos que

$$(2) \sigma''_v(:parent \bullet lista\_Tc) = \sigma_v(:parent \bullet lista\_Tc) - \{ :old \}.$$

Seja  $t_{R_{\ell_n}}$  a tupla removida em  $R_{\ell_n}$  por  $U$ , e  $t_{pai}$  a tupla em  $R_b$  tal que  $t_{pai} \equiv :parent$ .

Seja  $\varphi = \ell_1 \bullet \dots \bullet \ell_n$ . Dado que  $t_{R_b} \bullet \ell_1 \bullet \dots \bullet \ell_n = t_{R_{\ell_n}}$  então  $t_{R_{\ell_n}} \in t_{pai} \bullet \varphi$ .

De  $U$  temos que:

$$(3) \sigma'_s(t_{pai} \bullet \varphi) = \sigma_s(t_{pai} \bullet \varphi) - \{ t_{R_{\ell_n}} \}.$$

Dado que  $[T_v \bullet lista\_Tc] \equiv [T_{R_b} \bullet \varphi]$ , e  $:parent \equiv t_{pai}$ , temos que :

$$(4) \sigma'_v(:parent \bullet lista\_Tc) \bullet \sigma'_s(t_{pai} \bullet \varphi).$$

Da ACO de  $T_c$  &  $T_{R_{\ell_n}}$   $[T_c, \{f_1, f_2, \dots, f_w\}] \equiv [T_{R_{\ell_n}}, \{g_1, g_2, \dots, g_w\}]$ , e dado que  $t_{R_{\ell_n}} \bullet f_k = :old \bullet g_k$ ,  $1 \leq k \leq w$ , temos que:

$$(5) :old \equiv t_{R_{\ell_n}}$$

De (3),(4) e (5) temos que :

$$(6) \sigma'_v(:parent \bullet lista\_Tc) = \sigma_v(:parent \bullet lista\_Tc) - \{ :old \}.$$

De (2) e (6) temos que:

$$\sigma'_v(:parent \bullet lista\_Tc) = \sigma''_v(:parent \bullet lista\_Tc),$$

como queríamos demonstrar.

### A.2.2: Caso 2 - Ligação multivalorada não é a última

A seguir mostramos que o tradutor “RemoçãoEm lista\_Tc\_Caso2” da figura 5.21 realiza a atualização  $\mu$  solicitada na visão; i.é, a remoção do objeto :old do tipo  $T_c$  na coleção aninhada lista\_Tc do objeto :parent da visão V de tipo  $T_v$ .

- Temos que provar que:

$$(1) \sigma_v(:parent \bullet lista\_T_c) = \sigma'_v(:parent \bullet lista\_T_c) \text{ (vide Figura A.1).}$$

De  $\mu$  temos que

$$(2) \sigma_v(:parent \bullet lista\_T_c) = \sigma'_v(:parent \bullet lista\_T_c) - \{ :old \}.$$

Seja:

$t_{R_{\ell_n}}$  a tupla em  $R_{\ell_n}$  onde  $t_{R_{\ell_n}} \equiv :old$ , e

$t_{pai}$  a tupla em  $R_b$  tal que  $t_{pai} \equiv :parent$ .

Seja  $t_{R_{\ell_j}}$  a tupla em  $R_{\ell_j}$  tal que  $\sigma_s(t_{pai} \bullet \ell_1 \bullet \dots \bullet \ell_j) = t_{R_{\ell_j}}$  e  $\sigma_s(t_{R_{\ell_j}} \bullet \ell_{j+1} \bullet \dots \bullet \ell_n) = t_{R_{\ell_n}}$

Logo temos que :

$$(3) t_{R_{\ell_j}} \in \sigma_s(t_{pai} \bullet \varphi').$$

$$(4) \sigma_s(t_{R_{\ell_j}} \bullet \varphi'') = t_{R_{\ell_n}}.$$

De (3) e (4) temos que:

$$(5) t_{R_{\ell_n}} \in \sigma_s(t_{pai} \bullet \varphi).$$

De U e (5) temos que:

$$(6) \sigma'_s(t_{pai} \bullet \varphi) = \sigma_s(t_{pai} \bullet \varphi) - \{ t_{R_{\ell_n}} \}.$$

Dado que  $[T_v \bullet lista\_T_c] \equiv [T_{R_b} \bullet \varphi]$  e  $:parent \equiv t_{pai}$ , temos que :

$$(7) \sigma'_v(:parent \bullet lista\_T_c) = \sigma'_s(t_{pai} \bullet \varphi).$$

Da ACO de  $T_c \& T_{R_{\ell_n}} [T_c, \{f_1, f_2, \dots, f_w\}] \equiv [T_{R_{\ell_n}} \{g_1, g_2, \dots, g_w\}]$  e dado que  $t_{R_{\ell_n}} \bullet f_k = :old \bullet g_k$ ,  $1 \leq k \leq w$ , então temos:

$$(8) :old \equiv t_{R_{\ell_n}}$$

De (6), (7) e (8) temos que:

$$(9) \sigma_v(:parent \bullet lista\_T_c) = \sigma'_v(:parent \bullet lista\_T_c) \cup \{ :old \}.$$

De (2) e (9) temos que:

$$\sigma_v(:parent \bullet lista\_T_c) = \sigma'_v(:parent \bullet lista\_T_c),$$

como queríamos demonstrar.

### A.3: Inserção na Visão V

A seguir mostramos que o tradutor “AdiçãoNaVisaoV” da figura 5.24 realiza a atualização  $\mu$  solicitada na visão; i.é, a adição do objeto :new do tipo  $T_v$  na visão  $V$ .

- Temos que provar que:

$$(1) \sigma'_v = \sigma''_v \text{ (vide Figura A.1).}$$

De  $\mu$  temos que:

$$(2) \sigma''_v = \sigma_v \cup \{ :new \}.$$

Seja  $t_{novo}$  a tupla inserida em  $R_b$  por  $U$ .

Do passo 1 e do procedimento  $GVA_3$ , temos que  $t_{novo}$  satisfaz todas as assertivas de correspondência de  $T_v$  &  $T_{R_b}$ , para os atributos de cujos valores foram atribuídos no Passo 1. (No Passo1 são atribuídos valores somente aos atributos de :new que são monovalorados ou multivalorados, cuja AC é da forma  $[T_v \bullet a] \equiv [T_{R_b} \{b_1, b_2, \dots, b_n\}]$ ). Segue dos casos 1-5 do procedimento  $GVA_3$ . Essa prova é semelhante a dos casos 2-6 do procedimento  $GVA_1$  (Caso 1 de inserção em coleção aninhada).

Do passo 2 temos que  $t_{novo}$  satisfaz todas as assertivas de correspondência de  $T_v$  &  $T_{R_b}$ , para os atributos multivalorados  $a$  com AC da forma  $[T_v \bullet lista\_T_c] \equiv [T_{R_b} \bullet \phi]$ . De acordo com o passo 2 de  $U$ , para cada atributo multivalorado **Lista- $T_c$**  do objeto :new é solicitado a adição dos objetos na coleção aninhada **Lista- $T_c$**  do objeto inserido :new, isto é, do objeto da visão  $V$ . Note que o pedido de atualização na coleção aninhada é traduzido em atualizações no banco de dados usando o tradutor para adição na tabela aninhada **Lista- $T_c$**  (AdiçãoEmLista\_ $T_c$ ) da visão  $V$ , o qual é gerado como discutido na Seção 5.3. Assim temos que  $:new \bullet lista\_T_c \equiv t_{novo} \bullet \phi$ .

Dado que  $t_{novo}$  satisfaz todas as assertivas de correspondência de  $T_v$  &  $T_{R_b}$ , então:

$$(3) t_{novo} \equiv :new$$

De U, temos que:

$$(4) \sigma'_s = \sigma_s \cup \{t_{\text{novo}}\}.$$

Da ACE  $[V] \equiv [R_b]$  e de (4) temos que

$$(5) \sigma'_v = \sigma_v \cup \{:\text{new}\}$$

De (2) e (5) temos que:

$$\sigma'_v = \sigma''_v,$$

como queríamos demonstrar.

## A.4 : Remoção na Visão V

A seguir mostramos que o tradutor “RemoçãoNaVisaoV” da figura 5.27 realiza a atualização  $\mu$  solicitada na visão; i.é, a remoção do objeto :old do tipo  $T_v$  da visão V .

- Temos que provar que:

$$(1) \sigma'_v = \sigma''_v \text{ (vide Figura A.1).}$$

De  $\mu$  temos que

$$(2) \sigma''_v = \sigma_v - \{:\text{old}\}.$$

Seja  $t_{R_b}$  a tupla removida em  $R_b$  por U.

De U temos que:

$$(3) \sigma'_s = \sigma_s - \{t_{R_b}\}.$$

Da ACO de  $T_v$  &  $T_{R_b}$   $[T_v, \{c_1, c_2, \dots, c_w\}] \equiv T_{R_b} \{d_1, d_2, \dots, d_w\}$ , e dado que  $t_{R_b} \bullet d_k = :\text{old} \bullet c_k$ ,  $1 \leq k \leq w$ , temos que:

$$(4) :\text{old} \equiv t_{R_b}$$

Da ACE  $[V] \equiv [R_b]$ , de (3) e (4) temos que:

$$(5) \sigma'_v = \sigma_v - \{:\text{old}\}.$$

De (2) e (5) temos que:

$$\sigma_v = \sigma''_v,$$

como queríamos demonstrar.

## A.5: Modificação de Atributos Monovalorados da Visão V

### A.5.1: Caso 1 - ACC é do tipo $[T_v \bullet a] \equiv [T_{Rb} \bullet b]$

A seguir mostramos que o tradutor “ModificaVisaoVCaso1” da figura 5.29 realiza a atualização  $\mu$  solicitada na visão; i.é, a modificação do atributo monovalorado  $a$  de um objeto :new do tipo  $T_v$  da visão  $V$ .

Seja  $t_v$  a tupla em  $\sigma'_v$  tal que  $t_v \equiv :new$

Temos que provar que:

$$(1) \sigma'_v(t_v \bullet a) = \sigma''_v(t_v \bullet a) \text{ (vide Figura A.1).}$$

De  $\mu$  temos que

$$(2) \sigma''_v(t_v \bullet a) = :new \bullet a$$

Seja  $t_{Rb}$  a tupla em  $R_b$  onde  $t_{Rb} \equiv :new$ .

De  $U$  e da ACO de  $T_v$  &  $T_{Rb}$   $[T_v, \{c_1, c_2, \dots, c_w\}] \equiv [T_{Rb}, \{d_1, d_2, \dots, d_w\}]$ , temos que:

$$(3) \sigma'_s(t_{Rb} \bullet b) = :new \bullet a$$

Da ACC  $[T_v \bullet a] \equiv [T_{Rb} \bullet b]$  e dado que  $t_v \equiv :new$ :

$$(4) \sigma'_v(t_v \bullet a) = \sigma'_s(t_{Rb} \bullet b)$$

De (3) e (4) temos que:

$$(5) \sigma'_v(t_v \bullet a) = :new \bullet a$$

De (2) e (5) temos que:

$$\sigma_v = \sigma''_v,$$

como queríamos demonstrar.

### A.5.2: Caso 2 - ACC é do tipo $[T_v \bullet a, \{a_1, a_2, \dots, a_n\}] \equiv [T_{Rb}, \{b_1, b_2, \dots, b_n\}]$

A seguir mostramos que o tradutor “ModificaVisaoVCaso2” da figura 5.30 realiza a atualização  $\mu$  solicitada na visão; i.é, a modificação do atributo monovalorado  $\mathbf{a}$  de um objeto :new do tipo  $\mathbf{T}_v$  da visão  $V$ .

Seja  $\mathbf{t}_v$  a tupla em  $\sigma'_v$  tal que  $\mathbf{t}_v \equiv \text{:new}$

Temos que provar que:

$$(1) \sigma'_v(\mathbf{t}_v \bullet \mathbf{a} \bullet \mathbf{a}_i) = \sigma''_v(\mathbf{t}_v \bullet \mathbf{a} \bullet \mathbf{a}_i), 1 \leq i \leq n ; \text{ (vide Figura A.1)}$$

De  $\mu$  temos que

$$(2) \sigma''_v(\mathbf{t}_v \bullet \mathbf{a} \bullet \mathbf{a}_i) = \text{:new} \bullet \mathbf{a} \bullet \mathbf{a}_i, 1 \leq i \leq n ;$$

Seja  $\mathbf{t}_{Rb}$  a tupla em  $\mathbf{R}_b$  onde  $\mathbf{t}_{Rb} \equiv \text{:new}$

De  $U$  e da ACO de  $\mathbf{T}_v$  &  $\mathbf{T}_{Rb}$  [ $\mathbf{T}_v, \{\mathbf{c}_1, \mathbf{c}_2, \dots, \mathbf{c}_w\} \equiv \mathbf{T}_{Rb} \{\mathbf{d}_1, \mathbf{d}_2, \dots, \mathbf{d}_w\}$ ], temos que:

$$(3) \sigma'_s(\mathbf{t}_{Rb} \bullet \mathbf{b}_i) = \text{:new} \bullet \mathbf{a} \bullet \mathbf{a}_i, 1 \leq i \leq n ;$$

Da ACC [ $\mathbf{T}_v \bullet \mathbf{a}, \{\mathbf{a}_1, \mathbf{a}_2, \dots, \mathbf{a}_n\} \equiv \mathbf{T}_{Rb} \{\mathbf{b}_1, \mathbf{b}_2, \dots, \mathbf{b}_n\}$ ] e dado que  $\mathbf{t}_v \equiv \text{:new}$ :

$$(4) \sigma'_v(\mathbf{t}_v \bullet \mathbf{a} \bullet \mathbf{a}_i) = \sigma'_s(\mathbf{t}_{Rb} \bullet \mathbf{b}_i), 1 \leq i \leq n ;$$

De (3) e (4) temos que:

$$(5) \sigma'_v(\mathbf{t}_v \bullet \mathbf{a} \bullet \mathbf{a}_i) = \text{:new} \bullet \mathbf{a} \bullet \mathbf{a}_i, 1 \leq i \leq n ;$$

De (2) e (5) temos que:

$$\sigma_v = \sigma''_v,$$

como queríamos demonstrar.

### A.5.3: Caso 3 - ACC é do tipo $\mathbf{T}_v \bullet \mathbf{a} \equiv \mathbf{T}_{Rb} \bullet \varphi \bullet \mathbf{k}$

A seguir mostramos que o tradutor “ModificaVisaoVCaso3” da figura 5.33 realiza a atualização  $\mu$  solicitada na visão; i.é, a modificação do atributo monovalorado  $\mathbf{a}$  de um objeto :new do tipo  $\mathbf{T}_v$  da visão  $V$ .

Seja  $\mathbf{t}_v$  a tupla em  $\sigma'_v$  tal que  $\mathbf{t}_v \equiv \text{:new}$

Temos que provar que:

$$(1) \sigma'_v(\mathbf{t}_v \bullet \mathbf{a}) = \sigma''_v(\mathbf{t}_v \bullet \mathbf{a}) \text{ (vide Figura A.1).}$$

De  $\mu$  temos que

$$(2) \sigma'_v(\mathbf{t}_v \bullet \mathbf{a}) = \text{new} \bullet \mathbf{a}$$

Seja  $\mathbf{t}_{R_b}$  a tupla em  $R_b$  onde  $\mathbf{t}_{R_b} \equiv \text{new}$

Seja:

$\mathbf{t}_{R_b}$  a tupla em  $R_b$  onde  $\mathbf{t}_{R_b} \equiv \text{new}$ ,

$\mathbf{t}_{R_{\ell_j}}$  a tupla em  $R_{\ell_j}$  onde  $\mathbf{t}_{R_{\ell_j}} = \mathbf{t}_{R_b} \bullet \ell_1 \bullet \dots \bullet \ell_j$ .

De U temos que:

$$(3) \sigma'_s(\mathbf{t}_{R_{\ell_j}} \bullet \ell_{j+1} \bullet \dots \bullet \ell_n \bullet \mathbf{K}) = \text{new} \bullet \mathbf{a},$$

Da ACC  $[\mathbf{T}_v \bullet \mathbf{a}] \equiv [\mathbf{T}_{R_b} \bullet \varphi \bullet \mathbf{K}]$ , e de (3) temos que:

$$(4) \sigma'_v(\mathbf{t}_v \bullet \mathbf{a}) = \text{new} \bullet \mathbf{a}$$

De (2) e (4) temos que:

$$\sigma'_v(\mathbf{t}_v \bullet \mathbf{a}) = \sigma'_v(\mathbf{t}_v \bullet \mathbf{a})$$

como queríamos demonstrar.

## Referências Bibliográficas

---

- [1] World Wide Web Consortium, “Extensible Markup Language (XML) Version 1.1”, W3C Recommendation, 04th February 2004. Disponível em <http://www.w3.org/TR/2004/REC-xml11-20040204>. Acesso em: 25 de março de 2004.
  
- [2] DEUTSCH, A.; FERNANDEZ, M.; FLORESCU, D.; LEVY, A.; SUCIU, D. *XML-QL: A Query Language for XML*. 8 th International WWW Conference, Toronto, May 1999.
  
- [3] World Wide Web Consortium. *XML Path Language (XPath) Version 1.0*. W3C Recommendation, 16 November 1999. Disponível em: <http://www.w3.org/TR/xpath>. Acesso em: 21 abril 2004.
  
- [4] World Wide Web Consortium. *XQuery 1.0: An XML Query Language*. W3C Working Draft, 23 July 2004. Disponível em: <http://www.w3.org/TR/xquery/>. Acesso em: 8 abril 2004.
  
- [5] CAREY, M., et al. XPERANTO: Publishing object-relational data as XML. In: *Proceedings Third International Workshop on the Web and Databases*. Dallas, Texas: May 2000, pages 105-110.
  
- [6] SHANMUGASUNDARAM, J., et al. Querying XML Views of Relational Data. In: *Proceeding of 27th VLDB Conference*. Roma, Italy: 2001, pages 261-270.
  
- [7] SHANMUGASUNDARAM, J., et al. XPERANTO: Bridging Relational Technology and XML. *IBM Research Report*. June, 2001.

- [8] FERNÁNDEZ, M.; KADIYSKA, Y.; SUCIU, D.; MORISHIMA, A.; TAN, W.. SilkRoute: A Framework for Publishing Relational Data in XML. In: *ACM Transactions on Database Systems*, Vol. 27, Nº. 4, December 2002, Pages 438-493.
- [9] FERNÁNDEZ, M.; TAN, W.; SUCIU, D.. Silkroute: Trading between relations and XML. In: *Proceedings of the Ninth International World Wide Web Conference*, Amsterdam: May 2000.
- [10] ABITEBOUL, S.; BUNEMAN, P.; SUCIU, D.. *Gerenciando Dados na WEB*. Rio de Janeiro: Campos, 2000.
- [11] BARU, C.; GUPTA, A.; LUDASCHER, B.; MARCIANO, R.; PAPAKOSTATINOY, Y.; VELIKHOV, P.; CHU, V.. XML-Based Information Mediation with MIX. In: *Proceedings of ACM SIGMOD Conf. on Management of Data*, p. 597-599, Philadelphia, Pennsylvania, USA, June 1999.
- [12] MELLO, R. S.; HEUSER, C. A. A Bottom-Up Approach for Integration of XML Sources. In: *WIIW International Workshop on Data Integration on the Web*. Rio de Janeiro, Brazil, 2001.
- [13] VIDAL, V. M. P.; LÓSCIO, B. F., SALGADO, A. C. Using correspondence assertions for specifying the semantics of xml-based mediators. In: WIIW 2001 -International Workshop on Information Integration on the Web – Technologies and Applications, Rio de Janeiro, 2001. *Proceedings of the International Workshop on Information Integration on the Web*. Rio de Janeiro: 2001, pages 3 – 11.
- [14] LÓSCIO, B. F.. *Atualização de múltiplas bases de dados através de mediadores*. Fortaleza. Dissertação de Mestrado em Ciência da Computação, Universidade Federal do Ceará - UFC, 1998.

- [15] Oracle Object Views. Oracle Corporation, 2001. Disponível em: <http://technet.oracle.com/doc/server.815/a67781/c13obvw.htm>
- [16] TATARINOVI, I.; IVES, Z.G.; HALEVY, A .Y.; Weld, D.S. "Updating XML". In Proceedings of Sigmod, May de 2001.
- [17] BANCILHON, F; SPYRATOS, N., "Updates semantics and relational view," *ACM Transactions on Database Systems*, vol. 6, December 1993.
- [18] DAYAL, U.; BERNSTEIN A., "On the correct translation of update operations on relational views," *ACM Transactions on Database Systems*, vol. 7, Setembro 1982.
- [19] FURTADO, A. L; CASANOVA, M. A, "Updating relational views query processing in database system," *New York: Ed. Springer Verlag*, 1985.
- [20] MEDEIROS, C; TOMPA, F.W., "Understanding the implications of view update policies," *In Proc. of 11th International Conference on Very Large Databases*, 1985.
- [21] KELLER, A. M.; "The role of semantics in translating view updates," *IEEE Computer*, vol.19, p. 63–73, January 1986.
- [22] BARSALOU,T.; KELLER, A. M.; et al., "Updating relational databases through object-based views," *SIGMOD Conference*, p. 248–257, 1991.
- [23] KELLER, A. M.; WIEDERHOLD, G., "Penguin: Objects for programs, relations for persistence," p. 75–88, Julho 2000.

- [24] WIEDERHOLD, G.; BARSALOU, T.; LEE, B. S.; SIAMBELA, N.; SUJANSKY, W. "Use of relational storage and a semantic model to generate objects: The penguin project," Database'91: Merging Policy, Standards and Technology, p. 503–515, 1991.
- [25] BRAGANHOLO, V.; DAVIDSON, S.; HEUSER, C. UXQuery: building updatable XML views over relational databases. In: Brazilian Symposium on Databases, Manaus, AM, Brazil, Proceedings... 2003. p. 26-40.
- [26] BRAGANHOLO, V.; DAVIDSON, S.; HEUSER, C. From XML View Updates to Relational View Updates: old solutions to a new problem. In: International Conference on Very Large Data Bases, Toronto, Canada, 2004.
- [27] BRAGANHOLO, V.; DAVIDSON, S.; HEUSER, C. On the updatability of XML views over relational databases. In: WebDB, held in conjunction with SIGMOD/PODS, San Diego, California, 2003. Informal Proceedings... p. 31-36.
- [28] TATARINOVI, I.; IVES, Z.G.; HALEVY, A .Y.; Weld, D.S. "Updating XML". In Proceedings of SIGMOD 2001, May de 2001.
- [29] RYS, M. Bringing the Internet to Your Database: Using SQL Server 2000 e XML to Build Loosely-Coupled Systems. In: *Proceedings of the International Conference on Data Engineering*. Heidelberg, Germany: 2001, p. 465-472.
- [30] HAYASHI, L. S.; HATTON, J. Combining UML, XML and Relational Database Technologies – The Best of All Worlds for Robust Linguistic Databases. In: *Proceedings of the IRCS Workshop on Linguistic Databases*. Philadelphia, USA: University of Pennsylvania, December 2001, p. 115-124.
- [31] MUENCH, S. *Building Oracle XML Applications*. O'Reilly, September 2000.

- [32] UMESHWAR, D.; BERNSTEIN, P. A. On the correct translation of update operations on relational views. *ACM Transactions on Database Systems*, 8(2):381-416, September 1982.
- [33] Oracle Corporation. Disponível em: <<http://technet.oracle.com>>. Acesso em: 19 maio 2004.
- [34] World Wide Web Consortium. *XSL Transformation (XSLT) Version 1.0*. W3C Recommendation, 16 November 1999. Disponível em: <<http://www.w3.org/TR/xslt>>. Acesso em: 22 Setembro 2003.
- [35] SANTOS, L. A. L.. *XML Publisher: Um Framework para Publicar Dados Objeto Relacionais Através de Visões XML*. Fortaleza. Dissertação de Mestrado em Ciência da Computação, Universidade Federal do Ceará, Agosto/2004.
- [36] O. Corporation, “PL/SQL - User’s Guide and Reference”, vol. Release 2 (9.2) - A96624-01, March, 2002. Disponível em: <[http://downloadwest.oracle.com/docs/cd/B10501\\_01/appdev.920/a96624.pdf](http://downloadwest.oracle.com/docs/cd/B10501_01/appdev.920/a96624.pdf)>. Acesso em: 12 Agosto 2004.
- [37] COSTA, J. P. – Gerando Tradutores para Atualização de Banco de Dados através de Visões de Objetos. Dissertação de Mestrado, Universidade Federal do Ceará, 2002.
- [38] World Wide Web Consortium. *XML Schema Part 1: Structures*. W3C Recommendation, 02 May 2001. Disponível em: <<http://www.w3.org/TR/xmlschema-1/>>. Acesso em: 15 Outubro 2003.
- [39] World Wide Web Consortium. *XML Schema Part 2: Datatypes*. W3C Recommendation, 02 May 2001. Disponível em:

<<http://www.w3.org/TR/xmlschema-2/>>. Acesso em: 17 Agosto 2003.

- [40] O. Corporation, *Oracle9i - Application Developer's Guide - Object-Relational Features*, vol. Release 2 (9.2) - A96594-01, March 2002. Disponível em: <[http://download-west.oracle.com/docs/cd/B10501\\_01/appdev.920/a96594.pdf](http://download-west.oracle.com/docs/cd/B10501_01/appdev.920/a96594.pdf)>. Acesso em: 27 March 2004.
- [41] SILBERSCHARTZ, A.; KORTH, H. F. *Sistemas de Banco de Dados*. McGraw Hill, 3ª ed., 1998.
- [42] FURLAM, J. D. *Modelagem de Objetos Através de XML. Análise e Desenho Orientados a Objeto*. Makron Books, 1998.
- [43] ZEDULKA, J. Object-relational modeling in UML. In: *Proceedings of the Conference*. Information Systems Modelling, Ostrava, CZ, March, 2001, p. 17-24.
- [44] ELMASRI, R.; NAVATHE, S. *Fundamentals of Database Systems*. Addison-Wesley, 3ª ed., 2000.
- [45] *World Wide Web Consortium*. Disponível em: <<http://www.w3.org/>>. Acesso em: 7 Janeiro 2004.
- [46] World Wide Web Consortium. *HTML Version 4.0.1*. W3C Recommendation, 24 December 1999. Disponível em: <<http://www.w3.org/TR/html4/>>. Acesso em: 4 Dezembro 2003.
- [47] SAHUGUET, A.. Everything you ever wanted to know about dtDs, but were afraid to ask. International Workshop on the Web and Databases. In: *Proceedings of WebDB'2000*, pages 69-74.

- [48] VILAS BOAS, R. M. F. XMLS+Matcher: Um método para matching de XML Schemas Semânticos. Dissertação de Mestrado, Universidade Federal do Ceará, Agosto de 2002.
- [49] World Wide Web Consortium. *Resource Description Framework (RDF): Concepts and Abstract Syntax*. W3C Recommendation, 10 February 2004. Disponível em: <<http://www.w3.org/TR/rdf-concepts/>>. Acesso em: 20 Março 2004.
- [50] LEE, D.; CHU, W. Comparative Analysis of Six XML Schema Language. In: *ACM SIGMOD Record*, p.76-87, vol. 29, nº 3, September 2000.
- [51] DUCKETT, J.; GRIFFIN, O.; MOHR, S.; NORTON, F.; STOKES-REES, I.; WILLIAMS, K.; CAGLE, K.; OZU, N.; TENNISON, J.. *Professional XML Schemas*. Wrox Press Ltd. Birmingham, 2001.
- [52] FLORESCU, D.; DEUTSCH, A.; LEVY, A.; SUCIU, D.; FERNANDEZ, M.. A Query Language for XML. In: *Proceedings of Eighth International Conference on World Wide Web*. Toronto, Canadá, 1999, pages 1155-1169.
- [53] ABITEBOUL, S. et al. "The Lorel query language for semistructured data", *International Journal on Digital Libraries*, vol. 1, no.1, p.66-68, 1997.
- [54] VIDAL, V.M.P, LÓSCIO, B.F.: *Solving the Problem of Semantic Heterogeneity in Defining Mediator Update Translators*. In Proc. of 18th Intern. Conf. on Conceptual Modeling, Paris, France, p. 293-308, 1999.
- [55] TAKAHASHI, T.; KELLER, A.M.. *Implementation of object view query on relational database*. In: *Int'l Conf. on Data and Knowledge Systems for Manufacturing and Engineering - DKSME*. Hong Kong, May 1994.
- [56] MADHAVAN, J.; BERNESTEIN, P.; RAHM, E. Generic Schema Matching

with Cupid. In: *Proceedings of VLDB*. 2001, pages 49-58.

- [57] POPA, L.; VELEGRAKIS, Y.; MILLER, R. J.; HERNANDEZ, M. A.; FAGIN, R. Translating Web Data. In: *VLDB*. August 2002, p. 598–609.
- [58] RAHM, E.; BERNSTEIN, P. A. A Survey of Approaches to Automatic Schema Matching. In: *VLDB Journal*, 2001, p. 334–350.
- [59] AHO, A. V.; SETHI, R.; ULLMAN, J.D. *Compiladores: Princípios, Técnicas e Ferramentas*. LTC, 1995.